

# НИЖНИЙ КАРБОН

## Средней Сибири

АКАДЕМИЯ НАУК СССР  
СИБИРСКОЕ ОТДЕЛЕНИЕ  
ТРУДЫ ИНСТИТУТА ГЕОЛОГИИ И ГЕОФИЗИКИ  
Выпуск 432

# НИЖНИЙ КАРБОН СРЕДНЕЙ СИБИРИ

Ответственный редактор  
д-р геол.-мин. наук В. Н. Дубатолов



ИЗДАТЕЛЬСТВО «НАУКА»  
СИБИРСКОЕ ОТДЕЛЕНИЕ  
Новосибирск • 1980

НИЖНИЙ КАРБОН СРЕДНЕЙ СИБИРИ. -Новосибирск: "Наука", 1980.

В работе рассматривается нижний карбон Сибирской платформы и Саяно-Алтайской области, его биостратиграфия, типы пород, условия осадконакопления, палеобиогеографическое районирование. Приводится характеристика опорных разрезов и монографическое описание миоспор (25 видов) и фораминифер (40 видов).

Монография представляет интерес для широкого круга геологов, палеонтологов и стратиграфов, занимающихся верхним палеозоем.

В книге рассматривается широкий круг вопросов по нижнему карбону Средней Сибири (Сибирская платформа, Саяно-Алтайская область): биостратиграфия, типы пород, условия осадконакопления, палеобиогеографическое районирование; приводятся описания опорных разрезов и органических остатков (миоспор, фораминифер).

Предлагаемая стратиграфическая схема отражает основные успехи, достигнутые в изучении нижнекаменноугольных отложений Средней Сибири за последние 13 лет, прошедшие после Межведомственного стратиграфического совещания в Новосибирске (1964 г.). Результаты исследований связаны с деятельностью большой группы геологов, литологов, палеонтологов и стратиграфов: А.А. Аксенова, В.А. Анальева, Р.Н. Бенедиктовой, О.А. Бетехтиной, О.И. Богуш, Л.С. Бушминой, О.В. Ваага, М.И. Грайзера, Р.Т. Грациановой, Л.Л. Дрягиной, А.И. Казенинова, Е.П. Касперович, Г.В. Коробкова, К.Е. Колдезникова, Н.Н. Лапиной, Н.С. Малича, Р.Г. Матухина, В.В. Мениера, С.Ф. Павлова, Н.Г. Пашкевич, Л.Н. Петерсон, В.Г. Рыбакова, Ф.С. Ульмасовой, В.А. Федоренко, Г.С. Фрадкина, Ф.М. Чернова, О.В. Юферева и др.

Изучение фораминифер, брахиопод, миоспор, флоры, литологии, стратиграфии, а также использование историко-геологического метода позволило выделить в нижнем карбоне Сибирской платформы нижний турне, верхний турне - низы визе (?) и визейско-серпуховские отложения, а из более дробных подразделений слои с *Chernyshinella*, слои с *Planendothys* и в визейско-серпуховских отложениях три толщи: нижнюю, среднюю и верхнюю. Верхний турне - низы визе (?) и окский (?) уровень выделяются по морской фауне, миоспорам и историко-геологическим данным, остальные - по миоспорам, флоре и историко-геологическим данным.

Таким образом, впервые сделана попытка создания для Сибирской платформы единой стратиграфической схемы морских и континентальных отложений, детальность расчленения которых отвечает разработанным одновременно палеобиогеографическим реконструкциям.

В западной части Саяно-Алтайской области установлено наличие морского нижнего карбона на севере Горного Алтая, в составе которого выделены отложения турне и визе. В Кузнецком бассейне и Горловском прогибе, главным образом с помощью фораминифер, уточнено расчленение нижнекаменноугольных отложений. В северо-западной мористой части области они расчленены на лоны более дробные, чем горизонты; в юго-восточной и южной окраинных частях бассейна - на более крупные подразделения.

По восточной части Саяно-Алтайской области уточнена флористическая характеристика и обоснование возраста выделяемых подразделений.

Проведенные литологические исследования позволили уточнить размещение и особенности накопления основных фаций и групп фаций на северо-западе Сибирской платформы.

© Издательство "Наука", 1980

Н 20801-857  
055(02)-80 БЗ-94-8-79.1904040000

7 97443



В специальной главе рассматривается палеобиогеографическое районирование Тунгусско-Кузнецкой области в позднем турне и в визе. Выделенные провинции и районы отражают закономерности размещения в пространстве важнейших комплексов фауны и их связь с местными подразделениями биостратиграфии.

Во второй части книги приводятся подробные описания опорных разрезов нижнего карбона Сибирской платформы. По Кузнецкому бассейну подобная работа была ранее выполнена Т.Г. Сарычевой и др. (1963), по Горловскому прогибу – А.И. Казенновым и др. (1975); по Минусинским впадинам – М.И. Грайзером (1967) и по северу Горного Алтая – О.И. Богуш и др. (1978).

В монографической части описываются миоспоры (25 видов, в основном новые) и фораминиферы (40 видов, из них 10 новые).

## СТРАТИГРАФИЯ НИЖНЕКАМЕННОУГОЛЬНЫХ ОТЛОЖЕНИЙ СРЕДНЕЙ СИБИРИ

На Сибирской платформе и в Саяно-Алтайской области нижнекаменноугольные отложения распространены достаточно широко: на платформе они развиты в Тунгусской синеклизе, в Кютюнгдинском грабене, а также южной части платформы – в Казачинской, Рыбинской, Кулаковско-Погромненской, Канско-Тасеевской, Кемпендейской, Ыгыаттинской впадинах, в среднем течении Ангары, в верховьях р. Чоны и, возможно, в депрессиях Лено-Хатангского прогиба; в Саяно-Алтайской области ими выполнены Кузнецкий и Горловский прогибы и межгорные впадины (Минусинские и др.).

Нижний турне, развитый на востоке Сибирской платформы, в нижней части представлен карбонатно-терригенными, в верхней – карбонатно-сульфатно-терригенными отложениями с остатками рыб, флоры и спорами.

Верхний турне в северо-западной и северо-восточной частях платформы представлен известняками и доломитами; визейский – серпуховский ярус – в нижней части доломитами, известняками, аргиллитами, в верхней – терригенными лагуно-континентальными, прослоями прибрежно-морскими образованиями. При движении с северо-запада и севера на юг и юго-восток происходит аналогичная смена фаций.

В Саяно-Алтайской области, в западной ее части (Кузнецкий и Горловский бассейны, север Горного Алтая), турнейский – низы визейского яруса представлены главным образом известняками, верхний визе – серпуховский ярус – терригенно-карбонатными и терригенными мелководными морскими отложениями. В восточной части Саяно-Алтайской области, в пределах Минусинских котловин и Тувинского прогиба, мелководные морские образования нижнего карбона Кузбасса замещаются терригенными лагунными, лагуно-континентальными и континентальными отложениями, а на западе и северо-западе, в пределах Обь-Зайсанской области, преимущественно глинистыми, глубоководными.

Большое разнообразие фаций (от морских до континентальных) и заключенных в них органических остатков (фораминиферы, кораллы, брахиоподы, остракоды, мшанки, неморские двустворки, споры, флора) делает разработку стратиграфии нижнего карбона Средней Сибири исключительно трудной, чем объясняется обилие нерешенных вопросов, особенно в областях развития континентальных отложений Сибирской платформы, расчленение которых основывается на литостратиграфических данных, остатках флоры и миоспорах. В настоящей работе отражен прогресс в изучении миоспор из каменноугольных отложений Сибирской платформы, впервые в этой области использованных для создания единой схемы расчленения нижнекаменноугольных отложений разных ее частей.

## СИБИРСКАЯ ПЛАТФОРМА

### I. СЕВЕРО-ЗАПАДНАЯ, ЗАПАДНАЯ, ЮГО-ВОСТОЧНАЯ, ВОСТОЧНАЯ И СЕВЕРО-ВОСТОЧНАЯ ЧАСТИ ПЛАТФОРМЫ

Согласно стратиграфической схеме, принятой в 1974 г. рабочим совещанием СИБРМСК в г. Новосибирске, в составе морских турнейских – нижней части визейских (?) отложений в северо-западной части платформы выделены ханельбирийский и серебрянский горизонты. В настоящее время в результате изучения фораминифер ханельбирийский горизонт подразделяется на слои с *Chernyshinella* и слои с *Planoendothyra*, позволяющие уверенно сопоставлять заключающие их отложения с верхнетурнейскими образованиями Кузбасса и европейской части СССР. Серебрянский горизонт содержит смешанную турнейско-визейскую фауну.

В более южных районах платформы (реки Сухая Тунгуска, Фатьяниха, Бахта) многокамерные турнейские, в их числе верхнетурнейские фораминиферы, встречаются вoolитах, широко распространенных в джалтулинской свите (Матухин, Меннер, 1974). В Кемпендейской впадине турнейские однокамерные фораминиферы встречены в третьей пачке курунгуряжской свиты совместно со вторым комплексом миоспор.

Присутствующие в ханельбирийском и серебрянском горизонтах, джалтулинской и курунгуряжской свитах фораминиферы позволяют датировать их возраст как турнейский – низы визейского (?). Одновременно это уточняет возраст второго комплекса миоспор третьей пачки курунгуряжской свиты. Поскольку аналогичный комплекс миоспор характеризует также и чедуйскую свиту (р. Непа), сопоставляемую И.П. Кулаковой и др. (1974) с джалтулинской свитой, получается, что все названные отложения принадлежат к верхнему турне – низам визе (?), который для нижнего карбона Сибирской платформы является важнейшим биостратиграфическим уровнем, позволяющим выделять как более древние нижнетурнейские, так и более молодые визейско-серпуховские отложения. Расчленение нижнетурнейских и визейско-серпуховских отложений в основном базируется на литостратиграфии, спорах, флоре и немногочисленных рыбах.

#### Турнейский ярус

##### Нижний турне,

В восточной части Сибирской платформы (Ыгыаттинская и Кемпендейская впадины) нижний турне представлен первой и второй пачками курунгуряжской свиты, эмаксинской и онкучахской свитами, а в бассейне р. Чоны и чодинской свитой. Эти отложения с размывом лежат на верхнем девоне и более древних породах палеозоя, а в непрерывных разрезах Кемпендейской впадины и Кютюнгдинского грабена перекрыты согласно пластующимися с ними известняками и доломитами верхнего турне.

В Ыгыаттинской впадине и в остальных частях Вилойской синеклизы нижнюю часть разреза нижнего турне слагают пески и песчаники эмаксинской свиты (до 390 м). Сложенная светло-серыми средне- и мелкозернистыми кварцевыми и аркозовыми хорошо отсортированными и окатанными песчаниками с подчиненными прослойками известковистых косослоистых песчаников, пестроцветных алевритистых глин и алевролитов, эта свита заключает мио-

споры *Knoxisporites amplectus* (Luber) Luber, *Hymenozonotrites subsutus* Naz., остатки ихтиофауны и флоры. Отложения свиты трансгрессивно, со стратиграфическим несогласием залегают на пестроцветных породах вилочанской свиты девона, в верхней части которых развита кора выветривания. Полный разрез этой свиты ни в одном пункте Ыгыаттинской впадины не вскрыт и потому представление о строении свиты можно получить лишь по отдельным фрагментам.

В юго-западном борту впадины вскрыта нижняя половина свиты (250 м), представленная зеленовато-серыми мелкозернистыми песчаниками и песками с маломощными прослойками зеленовато-серых известковистых алевролитов и аргиллитов. В нижней части разреза здесь залегает мощный (до 30 м) покров плагиофирировых базальтов, в верхней – пестроцветная пачка (4–5 м) чередующихся зеленовато-серых аргиллитов, красно-бурых алевролитов и мощная толща (150 м) серых мелкозернистых песчаников и зеленоватых алевритистых известняков; в пестроцветной пачке обнаружена линза внутриформационных конгломератов с обильной ихтиофауной.

В юго-восточном борту впадины обнажен покров плагиофирировых базальтов и толща (390 м) сероцветных мелко-среднезернистых песков и рыхлых песчаников. В виде тонких выклинивающихся прослоев и линз встречаются голубовато-серые аргиллиты и алевролиты, а также линзы внутриформационных конгломератов с ихтиофауной.

В южном борту впадины нижняя часть свиты из разреза выпадает и он начинается базальным покровом (30 м), выше которого после небольшого перерыва в обнажениях залегает толща (85 м) зеленовато-серых мелкозернистых песков с сидеритовыми конкрециями и линзами зеленоватых аргиллитов с ихтиофауной.

Д.В. Обручев определил из эмаксинской свиты остатки *Osteolepididae* (виды *Thysanolepis micans* Obr., *Lamprotolepis verrucosa* Obr.), *Palaeoniscidae* (*Ctenodus* sp., *Moythomasia cf. nitida* Griss.) и др. Из них род *Ctenodus* характерен для карбона, а *Moythomasia* известна и в отложениях верхнего девона. Остальная ихтиофауна обнаруживает некоторое сходство с остатками рыб из нижнекаменноугольных быстрянской, алтайской и камыштинской свит Минусинской впадины. В разные годы Г.С. Фрадкиным, К.Е. Колодезниковым, В.В. Меннером и другими исследователями на нескольких стратиграфических уровнях в районе г. Эмээхсин-Хайата и устья р. Онкучах собраны кости кистеперых рыб семейства *Osteolepididae*: *Thysanolepis micans* Obr., *Wiluichthus fradkini* Vorobyeva, *Ruscocatenion jacuticus* Vorobyeva, *Lamprotolepididae*: *Lamprotolepis verrucosa* Obr.; *Rhizodontidae*: *Strepsodus*, *Rhizodopsis*.

Встречены двоякодышащие рыбы семейства *Ctenodontidae*: *Ctenodus* и *Parasagenodus*, акуловые *Ctenocanthys triangularis* Newberry и хрящевые гаюнды *Palaeoniscidae*: *Oxypteriscus* (?).

Э.И. Воробьевой из верхней части эмаксинской свиты описан *Ruscocatenion jacuticus* Vorobyeva, обнаруживающий большое сходство в строении чешуи с *Ruscocatenion rybinskensis* Vorobyeva. В целом эти органические остатки свидетельствуют о нижнекаменноугольном возрасте эмаксинской свиты.

Верхняя часть нижнего турне в Ыгыаттинской впадине представлена онкучахской свитой, нижняя граница которой проводится по резкой смене сероцветных песков и песчаников эмаксинской свиты преимущественно красноцветными отложениями.

В стратотипическом разрезе (левобережье р. Вилой у устья р. Онкучах) онкучахская свита по литологическим признакам подразделяется на две толщи.

Нижняя – красноцветная толща (50 м) сложена глинисто-алевритовыми мелкозернистыми доломитами с маломощными прослойками красноцветных известковистых алевролитов, кварцевых песчаников и зеленовато-серых туфов; выше по разрезу нарастает глинистость отложений и преобладающими становятся доломитистые аргиллиты.

Верхняя – сероцветная толща (105 м) представлена чередованием аргиллитов, алевролитов, известняков с частыми маломощными прослойками витрокластических туфов; доминируют аргиллиты; в нижней половине толщи прослеживается небольшой прослой известняков со строматолитами. В нижней части этой толщи обнаружены следующие споры: *Leiotriletes microrugosus* Naum., *L. pullatus* Naum., *L. simplex* Naum., *Turrisporites pyramidalis* Luber, *Trachytriletes nigratus* Kedo, *T. microrugosus* Kedo, *Retusotriletes granulatus* Pash., *Lophotriletes rugosus* Naum., *L. subrotundus* granulatus Pash., *L. subrotundus* Naum., *Umbonatisporites sibiricus* Pash., *Broshotriletes cf. foedolatus* (Naum.), *Hymenozonotriletes kurungurachus* Pash., *H. (Archaezonotriletes) luteolus* (Naum.).

В литологически сходном разрезе по правобережью р. Вилойчан между устьем рч. Улахан-Таала-Юрях и Суордаах-Юрях из аргиллитов верхней толщи обнаружены споры *Trachytriletes tumidus* V. Umnova, *Hymenozonotriletes cassis* Kedo, *H. hyalinus* Naum., *H. luteolus* (Naum.) Kedo, *Knoxisporites amplexus* (Naum.) Kedo (определения Н.Г. Пашкевич).

На левом берегу р. Вилой против устья р. Нээчик в свите собраны лепидофиты, из которых М.Ф. Нейбург определены *Heleniella typ. theodori* Zal. и *Lepidodendron cf. stilicum* (сборы В.А. Комара), *Adiartites* sp. и *Cyclostigma* sp. (сборы Г.С. Фрадкина). Н.М. Петровая из сборов В.В. Менинера и Г.С. Фрадкина определила флору *Diplotema pseudokuechani* Stockm. и *Dimeripteris* sp. И.М. Варенцов описал листоноги *Palaeolimnadiopsis vilujensis* Var., близких к *P. jonesi* Raymond из нижнего карбона Шотландии.

Состав флоры указывает на верхнедевонский – нижнекаменноугольный возраст вмещающих пород: *Heleniella typ. theodori* Zal. и *Lepidodendron cf. stilicum* (последняя наиболее характерна для самых нижних карбонов).

В Кемпендейской впадине карбонатно-терригенные отложения первой пачки курунгуряжской свиты (песчаники, алевролиты, известняки, доломиты, до 140 м) лежат на красно-бурых алевритистых аргиллитах намдырской свиты девона.

Вторая, гипсонасная, пачка курунгуряжской свиты (до 150 м) сложена ангидритами, гипсами, доломитами и мергелями. Присутствуют прослои голубовато- и зеленовато-серых известковистых туфогенных и загипсованных аргиллитов, алевролитов и известняков. Пачка заключает богатый комплекс миоспор, наиболее полно представленный в скважинах Р-1 (1400–1470 м) и К-4 (876,3–930 м). Кроме общих с онкучахской свитой *Retusotriletes granulatus* Pash. и *Hymenozonotriletes hyalinus* Naum., комплекс спор характеризуется широким развитием форм со сложными скульптурными элементами – кеглевидными выростами. Это виды *Umbonatisporites sibiricus* (Pash.) Pash. comb. nov., *Hymenozonotriletes kurungurachus* Pash. и *Archaezonotrile-*

*tes turbiformis* Pash. Доминирует вид *Umbonatisporites sibiricus* Pash. В комплексе также встречаются *Turrisporites pyramidalis* (Luber) Luber, *Knoxisporites amplexus* (Luber) Luber, *K. literatus* (Waltz) Luber, *Camptotriletes crispatus* Drjagina sp. nov. Комплекс не имеет аналогов на территории СССР. Однако в работах западноевропейских палинологов (Bertelsen, 1972; Clayton, 1974) описаны формы, являющиеся их синонимами. Это *Schopfites claviger* Sullivan (синоним *Umbonatisporites sibiricus* Pash.), *Auroria macra* Sullivan (синоним *Hymenozonotriletes hyalinus* Naum.), *Retusotriletes incohatus* Sullivan (синоним *Retusotriletes granulatus* Pash.). В Северной Англии и Шотландии эти виды характеризуют отложения группы Cementstone (зоны *Schopfites claviger* – *Auroria macra*), возраст которой определяется в объеме кораллово-брахиоподовой зоны "z" (Neves, Gueinn, Clayton, Ioanides, Neville, Kruszewska, 1973). Подстилаемые песчаниками Old Red Sandstone отложения Cementstone Group соответствуют утинскому – кизеловскому горизонтам европейской части СССР. Поскольку, однако, вышележащие отложения третьей пачки курунгуряжской свиты сопоставляются с ханельбирийским горизонтом (см. табл. 1), возраст которого установлен в объеме черепетского – кизеловского горизонтов, вторая (гипсонасная) пачка курунгуряжской свиты должна относиться к верхней части нижнего турне и примерно может быть сопоставлена с утинским горизонтом Русской платформы.

В Кютюнгдинском грабене, судя по положению в разрезе, ниже нижней карбонатной толщи верхнего турне, расположена верхняя часть нижнего турне, примерно одновозрастная гипсонасной пачке курунгуряжской свиты и представленная терригенной толщей (20–35 м). Сложенная песчаниками с прослойями алевролитов и конгломератами в основании, терригенная толща с размытым несогласно налегает на кембрий. В составе ее преобладают песчаники разнозернистые желтовато-серые с редкими прослойками красноцветных и серо-зеленых алевролитов. Конгломераты сероцветные известняковые, образуют в основании разреза пачку мощностью 3,5–7 м.

На юго-востоке платформы, на р. Чоне, нижний турне представлен ичо-динской свитой. В нижней части это мергели розовые, лиловые, коричневые, реже серые известково-доломитовые (30 м); в верхней – мергели зеленоцветные известково-доломитовые с прослойками аргиллитов и линзами брекчийвидных и водорослевых известняков (до 20 м). В верхней части свиты встречены рыбы рода *Moythomasia*, общие с таковыми онкучахской свиты.

#### Верхний турне – нижняя часть визе (?)

На северо-западе платформы верхний турне – нижняя часть визе (?) представлены известняками ханельбирийского и серебрянского горизонтов с фораминиферами, кораллами и брахиоподами. В более южных областях, на реках Сухой Тунгуске, Фатьянине и Бахте, одновозрастные отложения представлены известковистыми песчаниками джалтулинской свиты. Характерной их особенностью является присутствие довольно многочисленных известковистых оолитов и обломков известняков с остатками фораминифер, брахиопод, иглокожих и др. В юго-восточных и восточных частях платформы та же часть разреза представлена карбонатно-терригennыми (челедуйская сви-

та) и терригенно-карбонатными (сорбская пачка курунгуряжской свиты) отложениями со спорами, остатками рыб и фораминиферами. Известняки и доломиты с фораминиферами и брахиоподами развиты в Кютюнгдинском грабене (табл. 1).

## Ханельбиринский и серебрянский горизонты

Темно-серые, прослоями черные органогенные известняки ханельбинского и серебрянского горизонтов распространены на северо-западе платформы, от оз. Пясино на севере до р. Курейки на юге.

**Ханельбирийский горизонт.** Известняки ханельбирийского горизонта на северо-западе платформы известны как по естественным выходам около Норильска и на реках Фокина, Брус, Курейка, так и по буровым скважинам на Плясинской (скв. П-8бис, П-10, П-15, Т-151, Т-158, Т-185); Кетайрбинской (скв. ЮИС-5, ЮИС-6, ЮИС-13) и Тундрийской площадях (Матухин и др., 1966; Матухин и др., 1969; Матухин, Мениэр, 1974; Богуш и др., 1975).

Нижняя граница ханель-бирильского горизонта в Норильском районе проводится в основании пачки карбонатных брекчий мощностью от 2 до 10 м. Сложены брекчии обломками известняков и доломитов (от 2–3 до 20 см в поперечнике), сцементированными доломитово-известняковым, иногда с примесью глины (гидрослюды) материалом. Ниже залегают известково-доломитовые сульфатоносные породы фокинской свиты верхнего девона. В изученных разрезах неясно положение пачки пород мощностью до 20 м, отнесенной нами к верхней части фокинской свиты. Эта пачка представлена серо-цветными доломитами с прослойями известняков. В породах отмечена примесь терригенного (алевритового и глинистого) материала. В некоторых разрезах (скв. ЮИС-5, ЮИС-6) имеются прослои брекций до 0,5–2 м и включения кремней. Прослои гипсов и ангидритов, характерные для фокинской свиты этих районов, появляются ниже данной пачки. Таким образом, по литологическим признакам этой пачкой с равной степенью условности можно либо завершить разрез фокинской свиты, либо начинать разрез турийского яруса.

Первое появление фораминифер в ханельбиринском горизонте отмечается на различных расстояниях от его нижней границы. Мощность бесфораминиферовой части ханельбиринских отложений колеблется от 6 до 39 м, но фиксируется она не во всех разрезах. Эта пачка пород имеет довольно пестрый состав: наряду с чистыми известняками в ней присутствуют их доломитовые разности, а также прослои доломитов, примесь глинистого материала и включения кремней. Породы зачастую брекчированы; в керне скважины П-15 встречен прослой (1,5 м) известнякового песчаника. Эта часть разреза отличается своим преимущественно доломитовым составом. В кернах скважин П-10 и П-15 отмечаются оолитовые разности известняков и доломитовых известняков.

Выше этого неохарактеризованного фораминиферами интервала повсеместно, как и везде на северо-западе Сибирской платформы (восточное побережье оз. Пясино, ст. Тундра, бассейн р. Фокина, долины рек Брус и Курейка), залегают органогенные дестритовые известняки с многочисленными фораминиферами, брахиоподами, остракодами и другими органическими остатками. Мощность этой пачки ханельбиринского горизонта (от первого появления в разрезе фораминифер до их исчезновения) колеблется от 17–24 м на севере (Пясинская площадь) до 37–39 м в районе оз. Кета (Кета-Ирбинская площадь). Из брахиопод в ней встречены:

льных

Общая стратиграфическая шкала				Региональные стратиграфические подразделения			
				Фораминиферовые зоны			
Система	Отдел	Ярус	Подярус	По О.А. Лапиной	по О.И. Богуш, О.В.Юфереву (для Сибирского пояса)	Горизонт	Лона
Ковская громкая дина 13	Средн Англ 14				<i>Archaeodiscus commutabilis</i>		
убозеристый оченик					<i>Eoendothyranopsis eremakiensis</i>	Бердюгово Москва	
				<i>Eoparastarfella - Eoendothyranopsis</i>	<i>Palaeospirolectammina diversa - Mediocris</i>	Полыковский	<i>Eoendothyranopsis eremakiensis</i>
				<i>Endothyra elegia - P.diversa</i>	<i>P.diversa - Endothyra koavensis</i>	Федоровский	<i>Endothyra excelsa - P.diversa</i>
				<i>Spinoendothyra</i>			<i>Sept. evoluta - P.diversa - Tetrataxis paraminima</i>
				<i>Latiendothyra tuberculata</i>	<i>Endothyra tuberculata</i>		<i>Endothyra tuberculata</i>
				<i>Chernyshinella - Septabrunsiina krainica</i>	<i>Endothyra tuberculata</i>	Чайковский	<i>Planoendothyra</i>
					<i>Chernyshinella - Bispiraea (?)</i>		<i>Tournayella discoidea - Endothyra parakovensis</i>
				<i>Quasiendothyra kobelitusa</i>	<i>Q.kobelitusa</i>		
				<i>na</i>	<i>- Septaglomerospiranella</i>		
					<i>Q.kobelitusa</i>		
					<i>- Septaglomerospiranella</i>		

Таблица 5

ИГРАФИЧЕСКАЯ СХЕМА  
НИЙ ВОСТОЧНОЙ ЧАСТИ САЯНО-АЛТАЙСКОЙ ОБЛАСТИ

Корреляция местных стратиграфических разрезов						Стратиграфические схемы смежных регионов
Бийская впадина	Бийско-Минусинская впадина	Сыдо-Ергинская впадина	Северо-Минусинская впадина	Назаровская впадина	Кузнецкий прогиб	
Бийская впадина	Бийско-Минусинская впадина	Сыдо-Ергинская впадина	Северо-Минусинская впадина	Назаровская впадина	Кузнецкий прогиб	
	Конгломератовая свита					
	Подсийская свита					
	Байновская свита					
	Бийская свита					
	Согринская подсвита					
	Комарковская подсвита					
	Соломенская свита					
	Кривинская свита					
	Самохвальская свита					
	Камыштинская свита					
	Алтайская свита					
	Быстрянская свита					
D <sub>2</sub> D <sub>3</sub>	D <sub>2</sub> D <sub>3</sub>	D <sub>2</sub> D <sub>3</sub>	D <sub>2</sub> D <sub>3</sub>	B <sub>2</sub> B <sub>3</sub>	D <sub>1</sub> Aбышевский горизонт	

1. В окрестностях Норильска, у железнодорожного моста через руч. Каларгон - *Fusella cf. tornacensis* Kon., *F. ussiensis* Tolm., *F. platynotus* Well., *Martiniopsis cf. waschkuricus* (Fred.), *Rugosochonetes ex gr. hardrensis* (Phill.) (определения Н.Н. Лапиной, Г.П. Афанасьевой, А.И. Сокольской).

2. В скважине ЮИС-4 (район оз. Кета), глубина 48,3 м - *Rugosochonetes hardrensis* Phill. (много), *Tomiproductus ex gr. elegantulus* Tolm. (определения Н.Н. Лапиной).

3. В скважине ЮИС-5 (район оз. Кета) глубина 311 м - *Schuchertella? sp.*, *Rugosochonetes hardrensis* Phill., *Tomiproductus elegantulus* Tolm., *Camarotoechina* sp. (определения Н.Н. Лапиной).

4. В скважинах ЮИС-11, ЮИС-13, ЮИС-24 (район оз. Кета) - *Fusella ussiensis* (Tolm.), *F.tornacensis* (Kon.), *F.crenistra* (Kon.), *F.mediocris* (Tolm.), *Orbiculoides* sp., *Pustula pustilosiformis* Rot., *Schuchertella cf. magna* Tolm., *S. cf. valentinae* Sok., *Rugosochonetes* sp., *Rhipidomella cf. burlingtonensis* (Hall.), *Rhynchotreta* sp., *Punctospirifer kusbassicus* Besn., *Girtyella taidonensis* (Tolm.) (определения А.В. Санжара).

5. В скважине П-4 (район оз. Пискино), интервал 333,2-349,2 м - *Tomiproductus elegantulus* Tolm., *Schuchertella ex gr. lens* (Wnite); *Rugosochonetes hardrensis* Phill., *Fusella ussiensis* Tolm., *Leiorhynchus* sp., *Punctospirifer* sp., *Orthotetinae* gen. et sp. indet (определения Н.Н. Лапиной).

6. В скважине П-10, интервал 214,7 - 237,3 м - *Schuchertella* sp., *Rugosochonetes hardrehsis* Phill., *Fusella ussiensis* Tolm., *Camarotoechia* sp., *Athyris* sp., *Orthotetes* gen. et sp. indet, *Phricodothyris?* sp., *Leiorhynchus* sp. (определения Н.Н. Лапиной).

7. В скважине П-15, интервал 151,3-170 м - *Rugosochonetes hardrensis* Tolm., *Fusella ussiensis* Tolm. (много) (определения Н.Н. Лапиной).

8. На р. Фокина в стратотипе ханельбиринского горизонта - *Rhipidomella altaica* Tolm., *Tomiproductus elegantulus* (Tolm.), *Camarotoechia biplex* (Tolm.), *Fusella ussiensis* (Tolm.), *F. taidonensis* (Tolm.).

По составу брахиопод ханельбиринский горизонт сопоставляется Н.Н. Лапиной с тайдонским горизонтом Кузбасса.

Из кораллов в ханельбиринском горизонте встречаются *Syringopora ramulosa* Goldf. и *Michelinia cf. tenuisepta* Phill.

По фораминиферам в органогенно-известняковой пачке выделяются две части: внизу - слои с *Cherryshinella*, вверху - слои с *Planoendothyra*.

Слои с *Cherryshinella* в скважине ЮИС-5, где они наиболее полно охарактеризованы фораминиферами в интервале 339-326,8 м, представлены органогенно-обломочными серыми, темно-серыми мелкозернистыми известняками с включениями (до 1 см) кремней голубовато-белого цвета. В известняках отмечаются стилолитовые швы с черным органическим материалом на соприкасающихся поверхностях. Местами заметна тонкая горизонтально-волнистая слоистость. Комплекс фораминифер в основном состоит из многочисленных турнейеллид; особенно обильны септабрунзинны, септагломероспиралеллы и чернышиеллы. Отсюда определены: *Ser-*

*tabrunsiina minuta* (Lip.), *S. kraiinica* (Lip.), *Glomospiranella rara* (Lip.), *Septaglomospiranella primaeva* (Raus.), *S. kasa-khanica* Reitl. forma angusta, *S. compressa* Lip., *S. postkakhstanica* Brazhn., *S.? aleussica* Bog., *Chernyshinella glo-miformis* (Lip.), *Ch. paraglomiformis* Lip., *Ch. tundrica* Bog. sp. nov., *Ch. paucicamerata* Lip., *Ch. multicamerata* Lip., *Tourna-yella kisella* Malakh., *T. discoidea* Dain., *T. disccidea* var. *an-gusta* Lip., *Tournayellina beata* (Malakh.).

Особенно обильны в некоторых прослоях *Septabrunsiina minuta* Lip., чернышиеллы и септагломоспиранеллы. В меньшем количестве в комплексе присутствуют вицинесфера, паратураммы и эрландин. Из эндотир встречены лишь немногочисленные примитивные *Endothyra parakos-vensis* Lip., *E. chernyshirelliformis* (Lip.) и медиэндотиры. В других разрезах присутствуют также планоэндотиры.

Этот комплекс сходен с комплексом черепетского горизонта Урала и Русской платформы, отличаясь лишь отсутствием палеоспироплектамми и редким нахождением *Septabrunsiina kraiinica* (Lip.) при обилии *S. minuta* Lip. Содержащие его отложения соответствуют зоне *Cherny-shinella* и *Septabrunsiina kraiinica* О.А. Липиной (1973).

В Кузбассе с рассматриваемыми слоями могут быть сопоставлены первые три пачки тайдонского горизонта Кемеровского района (по р. Томи между деревнями Мозжухой и Денисово и по левому берегу р. Малая Мозжуха, близ устья), в Горловском бассейне – нижекитеринская подсвита (Богуш, Чиликин, 1975).

Слои с *Planoendothyra*, развитые на северо-западе платформы, наиболее полно охарактеризованы фаунистически в районе оз. Кета. В скважине ЮИС-5 в интервале 326,8–300,2 м они сложены органогенно-обломочными мелкозернистыми темно-серыми известняками с прослойками (до 20–30 см) микрозернистого известняка. Кремнистый материал присутствует в виде неправильной формы стяжений, а также местами выполняет внутренние полости раковин. По систематическому составу фораминиферы слоев с *Planoendothyra* тесно связаны с комплексом подстилающих слоев и содержат практически все виды, известные в предыдущем комплексе. Однако здесь к ним присоединяются многочисленные эндотириды и некоторые неизвестные ниже турнейеллиды. Из них можно отметить *Septabrunsiina aff. donica* Lip., *Septaglomospiranella quadriloba* (Dain.), *S. aff. endothyroides* (Dain.), *Chernyshinella aff. multicamerata* Lip., *Granuliferella solida* (Conil et Lys), *Endothyra tybercu-lata* var. *magna* Lip., *E. distincta* Schlyk., *E. aff. distincta* Schlyk., *E. aff. cuneata* Malakh., *E. kosvensis* Lip., *E. aff. kosvensis* Lip., *E. ex gr. recta* Lip., *E. pilugirensis* Lip., *E. antiqua* var. *concavacamerata* Lip., *E. cf. quaesita* Gan., *E. cf. honesta* Schlyk., *Planoendothyra ccompta* Schlyk., *P. aff. compta* Schlyk., *P. aff. diserta* Leb., *P. cf. rotai* (Dain.), *P. aff. rotai* (Dain.), *P. aff. umbonata* Bog. et Juf.

Наряду с обогащением верхнетурнейскими эндотирами для комплекса слоев с *Planoendothyra* характерно обилие планоэндотир, представленных как общими с европейской частью СССР, так и сибирскими видами.

Отложения с рассматриваемым комплексом могут быть сопоставлены с кизеловским горизонтом европейской части СССР, с зоной *Endothyra*

*tuberculata* и *Spinoendothyra* и в Кузбассе – с верхней частью тай-донского (четвертая пачка) – низами фоминского горизонта (пезас-ская толща).

Серебрянский горизонт. В стратотипической местности, на р. Фокина, отложения горизонта без видимых следов размыва залегают на известняках ханельбиринского горизонта. Никаких "карстовых воронок", заполненных обломками подстилающих известняков" [Ульмастай, 1978], на этом уровне нет. Детальные полевые исследования, выполненные О.В. Баагом и Т.А. Дивиной летом 1979 г., показали, что в серебрянском горизонте на р. Фокина выделяется три литологические пачки.

Нижняя пачка (4,5–4,6 м) начинается выдержаными по мощности (1,2–1,4 м) глинистыми известняками с мелкообломочной брекчии в основании. Основная часть пачки (2,6–2,8 м) сложена оолитовыми и органогенно-обло-мочными известняками с остатками фораминифер, остракод, иглокожих, двустворок (?), гастropод (?) и брахиопод.

Средняя пачка (8,5–9,3 м) в основном представлена органогенно-обло-мочными, реже оолитовыми и афанитовыми известняками.

Верхняя пачка (4,2–4,3 м) отличается от средней появлением прослоев известковистых доломитов и доломитов.

В верхней части нижней и в средней пачках серебрянского горизонта встречаются фораминиферы *Ammodiscus planus* (Moell.), *A.volgensis* Raus., *Glomospira dublicata* Lip., *Brunisia aff.tiksinensis* Bog. et Juf., *B.aff.irregularis* (Moell.), *Planoarchaediscus aff.monstratus* (Grozdt. et Leb.), *P.aff.eospiillinoides* Brazhn., *P.ex gr. eospiillinoides* Brazhn., *Planodiscus aff.involutus* (Brazhn.), *Tournayella discoidea* (Dain) forma maxima, *T.gigantea* minoris Lip., *T.kisella* Malakh. forma maxima, *Uvatournayella annularis* Gan., *U.astricta* Gan., *Septatournayella segmentata* (Dain), *S.cf.recida* Lip., *Rectoseptatournayella* sp., *Glomospiranella rara* Lip., *G.rara* Lip. forma angusta, *Septaglomospiranella compressa* Lip., *S.oviformis* Brazhn., *S.primaeva* (Raus.), *Septabrunsiina kraiinica* (Lip.), *Granuliferella borealis* Bog., *Endothyra cf. kosvensis* Lip., *E.cf.latispiralis* Lip., *E.cf.grata* Voiz., *E.paraprisca* Schlyk., *Planoendothyra cf.crassitheca* (Lip.), *Glboendothyra* sp., *Mediocris aff.minima* Durk., *M.evolutus grandiosa* Ros., *M.aff.brevicula* (Gan.), *Mediendothyra aff.excelsa* (Gan.), *M.angusta* (Durk.).

Комплекс фораминифер серебрянского горизонта существенно отличается от фораминифер ханельбиринского горизонта. В нем нет характерных для ханельбиринского горизонта верхнетурнейских турнейеллид и эндотирид. Самую крупную группу (12 видов) образуют формы, не встречающиеся в других областях в отложениях древнее визеяского яруса (*Ammodiscus volgen-sis* Raus., *Brunisia aff.tiksinensis* Bog. et Juf., *Planoarchaediscus aff.monstratus* (Grozdt. et Leb.), *P.aff.eospiillinoides* Brazhn., *Planodiscus aff.involutus* (Brazhn.), *Mediendothyra aff.excelsa* (Gan.), *M.angusta* (Durk.), *Mediocris mediocris* (Viss.), *M.aff.mi-nima* Durk., *M.evolutus grandiosa* Ros.), заставляющие рассматривать его как ранневизеяский.

Бесфораминиферовые породы, выделяемые на Пясинской, Кета-Ирбинской и других площадях поверх известняков ханельбиринского горизонта, видимо, венчают разрез верхнего турне. Ранее они относились к серебрянскому горизонту.

## Джалтулинская свита

В западной части платформы (реки Сухая Тунгуска, Маршрутная, Дельтула, Северная, Фатьянхиха) широко развиты отложения джалтулинской свиты (40–74 м), залегающие на различных горизонтах среднего и верхнего девона и перекрытые фатьянховской или катской свитами.

Джалтулинская свита представлена песчаниками, алевролитами и аргиллитами с подчиненными прослоями мергелей и известняков. Песчаники разнозернистые, алевритистые. Характерной их особенностью является присутствие довольно многочисленных известковых оолитов, псевдооолитов и обломков известняков, иногда содержащих остатки фораминифер, иглокожих и брахиопод. Некарбонатные обломки представлены кварцем, кремнями и редкими полевыми шпатами. Цемент карбонатный. Алевролиты и аргиллиты известковистые. В верхней части свиты появляются прослои бескарбонатных аргиллитов. В средней части свиты встречаются прослои мергелей и глинистых известняков. В песчаниках (в оолитах и обломках известняков) найдены фораминиферы *Glomospiranella?* cf. *asiatica* Lip., *Glomospira ex. gr. gordialis* Jón. et Park., *Septaglomospiranella cf. primaeva* (Raus.), *Tournayella cf. discoidea* Dain, *Septatournayella cf. minuta* Lip., (*-Septabrunsiina cf. minuta* (Lip.)), *Endothyra?* cf. *taimyrica* Lip., E.? ex gr. *latispiralis* Lip. (Рейтлингер и др., 1973). Из этих же отложений О.И. Богуш определены *Archaesphaera* sp., *Eovolutina* sp., *Vicinesphaera angulata* Antrop., *V. squalida* Antrop., *Corbielia* sp., *Parathurammina?* sp., *Bisphaera minima* Lip., *Earlandia cf. elegans* (Raus.), *Chernyshinella tumulosa* Lip., *Planoendothyra?* sp., *Endothyridae*, *Eoendothyranopsis?* sp. Фораминиферы турнейские, скорее верхнетурнейские. Присутствие среди них *Eoendothyranopsis?* sp. не исключает корреляции этих отложений с верхним турне – нижним визе. Заключающие их оолиты и обломки известняков несут следы переотложения. В то же время отмечается, что псевдооолиты на контактах с зернами кварца иногда немного сплюснуты, что могло иметь место лишь при взламывании не вполне литифицированного осадка (Вага и др., 1973). Это, а также обилие остатков турнейских фораминифер свидетельствует в пользу турнейского возраста джалтулинской свиты. Поскольку на северо-западе платформы многокамерные турнейские фораминиферы широко распространены в ханельбиринском горизонте, а редкие их представители известны также в серебрянском горизонте, известняки ханельбиринского – серебрянского горизонтов и песчаники джалтулинской свиты вероятнее всего должны рассматриваться как различные фации верхнего турне – нижнего визе (?).

В юго-восточных и восточных частях платформы выделяются отложения, одновозрастные ханельбиринскому и серебрянскому горизонтам. В юго-восточной части платформы, в бассейне р. Нижней Тунгуски, они представлены терригенными и карбонатно-терригенными с прослоями известняков породами чаледуйской свиты; на востоке, в Кемпендейской впадине, – карбонатными отложениями соросской пачки курунгуряжской свиты.

Чаледуйская свита на р. Непе представлена частым переслаиванием, разнозернистых песчаников, алевролитов и аргиллитов в различной степени известковистых, глинисто-алевритистых известняков и известковистых туф-фитов и туфов (более 160 м). В них встречены споры *Umbonatisporites sibiricus* (Pash.) Pash., *Densosporites dentatus* (Pash.) Pash., *Endocullospora palentis* (Luber) Pash., *Neogemina angularia* Pash., sp. nov., *N. tungusica* Pash. sp. nov., *N. plicata* Pash. sp. nov.

Соросская пачка курунгуряжской свиты сложена голубовато-серыми строматолитовыми известняками с прослоями темно-серых аргиллитов, мергелей, песчаников и алевролитов; в виде тонких прослоев – голубовато-серые пепловые туфы. Характерной особенностью данной пачки следует считать наличие микропалеонтологических остатков и присутствие горизонтов доломитовых песчаников, хорошо распознающихся в удаленных участках (до 120 м). Комплекс миоспор из этой части курунгуряжской свиты (скв. Р-1, глубина 1300–1440 м; скв. К-4, глубина 812–875 м; обнажение на р. Сорос) характеризуется чрезвычайно богатым и разнообразным видовым составом. Доминирующие виды выделить невозможно, так как в спектрах их обычно не более 5% при общем количестве видов 30–40%. Помимо миоспор широкого стратиграфического распространения (роды *Punctatospores*, *Cyclogranisporites* и др.) в комплексе присутствуют миоспоры сложного морфологического строения (возможно большая их часть принадлежит лепидофитам). Наиболее характерны для данного комплекса следующие виды миоспор: *Neogemina tungusica* Pash. sp. nov., *N. angaria* Pash. sp. nov., *Acanthozonotriletes sentus* Pash., *Densosporites dentatus* (Pash.) Pash. comb. nov., *Lophozonotriletes sorosus* Pash., *Endoculeospora palentis* (Luber) Pash. comb. nov., *Vallatisporites vulgaris* Pash. sp. nov. По И.П. Кулаковой с соавторами (1974), подобный комплекс встречен в отложениях чаледуйской свиты (верхнее течение р. Нижней Тунгуски, междуречье р. Непы и Большой Еремы, р. Катанга), которую авторы сопоставляют с джалтулинской свитой.

Общими для соросской пачки и чаледуйской свиты являются *Neogemina tungusica* Pash. sp. nov., *N. plicata* Pash. sp. nov., *N. angaria* Pash. sp. nov., *Acanthozonotriletes sentus* Pash., *Lophozonotriletes sorosus* Pash., *Endoculeospora palentis* (Luber) Pash. comb. nov.

В известняках, вскрытых скв. К-4 в интервале 842–846,2 м, в соросской пачке обнаружены фораминиферы *Archaesphaera minima* Sul., *A. crassa* Lip., *Vicinesphaera squalida* Antrop., *Parathurammina suleimanovi* Lip.; *P. cushmani* Sul., *P. cf. tuberculata* Lip., *P. paulis* Byk., *Bisphaera cf. malevkensis* Bir., *Gribrospheeroides* sp. По заключению Е.А. Рейтлингер, этот комплекс напоминает малевско-упинский мелководный комплекс Русской платформы. Можно добавить, что во всяком случае подобные фораминиферы не характерны для отложений моложе турне. Из ихтиофауны встречаются остатки *Rhizodontidae*, *Palaeoniscidae* и др.

Данные по миоспорам и фораминиферам, из которых первые свидетельствуют о визейском, вторые о турнейском возрасте соросской пачки, заставляют рассматривать ее возраст как турнейско-нижневизейский (?) и сопоставлять с чаледуйской и джалтулинской свитами и ханельбиринским – серебрянским горизонтами.

На северо-западе платформы, в Кютюнгинском грабене, развиты доломиты и известковистые доломиты нижней карбонатной толщи. Доломиты коричневато-серые и серые, в отдельных прослоях с примесью глинистого материала (45–55 м). По характеру встреченных брахиопод (*Ovatis laevicosta* (White), *Tomiproductus elegantulus* (Tolm.), *Camarotoechia pandeli* (Sem. et Moell.), *Schuchertella lens* (White), *Fusella ussiensis* (Tolm.) и др.) нижняя карбонатная толща долж-

на быть отнесена к верхнему турне и сопоставлена с ханельбиринским – нижней частью серебрянского горизонта северо-западных районов платформы.

### Визейско-серпуховские отложения

Разнообразные по составу бедные органическими остатками отложения рассматриваемого возраста образуют три выдержаные в пространстве толщи, последовательно сменяющие друг друга в разрезе.

Нижняя толща на северо-западе платформы представлена тундринской свитой (доломиты, известняки, аргиллиты серо- и красноцветные с красноцветной брекчияй и ангидритами в основании). В Кютюнгдинском грабене к этому уровню приурочена красноцветная гипсоносная толща и в Кемпендейской впадине – нижняя часть туфогенно-карбонатно-терригенных отложений четвертой пачки курунгуряжской свиты. На северо-западе платформы между этой толщей и подстилающими отложениями обычно наблюдается размыт; в Кютюнгдинском грабене и Кемпендейской впадине разрезы непрерывные.

Средняя толща на северо-западе и западе платформы представлена брусской, фатьяниховской и шушукской свитами (песчаники, алевролиты, аргиллиты известковистые с брахиоподами и спорами), лежащими с размывом на подстилающих отложениях. В Кемпендейской впадине сюда относится большая верхняя часть туфогенно-карбонатно-терригенных отложений четвертой пачки курунгуряжской свиты со спорами, общими с комплексом шушукской свиты, и в Кютюнгдинском грабене верхняя карбонатная пачка с фораминиферами и брахиоподами.

Верхняя толща в рассматриваемых областях имеется только в нижнем течении Подкаменной Тунгуски, где представлена песчаниками и конгломератами кондроминской свиты.

### Отложения нижней толщи

На северо-западе платформы, в районе Норильска, оз. Пясино и в бассейне рек Фокина, Куломбе и Курейка, нижняя толща представлена тундринской свитой.

К западу от Норильска у ст. Тундра тундринская свита вскрыта скважиной С-12 в интервале 328–426 м, из которых 28 м приходится на интрузию габбро-долеритов. Свита здесь представлена серыми и темно-серыми, иногда зеленовато-серыми известняковыми и доломитовыми брекчиями, глинистыми доломитами, известняками и мергелями, лежащими на известняках и доломитах серебрянского горизонта.

В районе оз. Пясино, в скважине Т-151 над известняками серебрянского горизонта залегает пачка (около 20 м) серых доломитистых известняков, доломитов и ангидритов, сменяющаяся выше по разрезу серыми ангидритами с прослойями доломитов и зеленовато-серых доломитовых мергелей (25 м).

Выше залегает пачка (33 м) красных мергелей с редкими зелено-серыми пятнами, линзами и пластами ангидритов со стяжениями кремней в верхней части.

Венчается разрез пачкой (58 м) зеленовато-серых мергелей с прослоями глинистых известняков, возможно являющейся аналогом бруссской свиты (Матухин, Мениер, 1974).

Южнее, в междуречье Куломбе и Курейки, увеличивается содержание в тундринской свите алевролитов и аргиллитов. В основании разреза, как и на севере, залегает красноцветная осадочная конгломерато-брекчия.

В пределах Пясинского и Фокинского районов на различных пачках тундринской свиты с размывом залегают верхнепалеозойские, мезозойские и четвертичные отложения. Органических остатков тундринская свита не содержит, и ее возраст может быть определен только исходя из ее стратиграфического положения – выше серебрянского горизонта, на котором она залегает без существенного перерыва и к которому близка по составу пород. Поскольку возраст серебрянского горизонта датируется в пределах верхней части верхнего турне – нижней части нижнего визе (?), тундринская свита, вероятнее всего, должна быть отнесена к верхнему визе.

В Кютюнгдинском грабене примерно тот же возраст имеет красноцветная гипсоносная толща (65–80 м). Сложенная красно- и пестроцветными глинями, аргиллитами и алевролитами с прослойями и прожилками гипса и ангидрита, она содержит в верхней части прослои песчаников, гравелитов и алевролитов.

В Кемпендейской впадине, где имеется непрерывный разрез от нижнего турне до окского подъяруса визе включительно (к последнему относится верхняя часть четвертой пачки курунгуряжской свиты); тундринской свите, по-видимому, соответствует нижняя часть четвертой пачки, подстилаемая соросской пачкой, относящейся к ханельбиринскому и серебрянскому горизонтам.

### Отложения средней толщи

Для пород средней толщи в северо-западных и западных районах Сибирской платформы характерна зеленовато-серая окраска аргиллитов, алевролитов и песчаников, слабая карбонатность, присутствие морской фауны и пирокластических отложений, с которыми связана преобладающая окраска отложений.

В междуречье Курейки и Куломбе средняя толща представлена брусской свитой. Слабо обнаженная, испытавшая сильный метаморфизм от трапповых интрузий, брусская свита сложена песчаниками и алевролитами с подчиненными пластами аргиллитов и глинистых, алевритистых известняков. Песчаники преимущественно полевошпатово-кварцевые с примесью обломков пород, среди которых заметную роль играют эфузивы. Цемент песчаников глинистый, реже карбонатный.

На р. Курейке в песчаниках нижней части свиты найдены кости рыб? *Rusnopetenion siberiacus* (Chab.).

Взаимоотношения брусской свиты с выше- и нижележащими отложениями, равно как и мощность (до 35 м, возможно и больше), ввиду плохой обнаженности остаются неясными.

К югу от р. Курейки, в бассейнах рек Сухой Тунгуски, Фатьянихи и Маршрутной средняя толща представлена фатьяниховской свитой. По литологическому облику (песчаники и алевролиты серые, желтовато- или зеленовато-серые с примесью пирокластического материала) и редким находкам морской фауны фатьяниховская свита сопоставляется с брусской. В нижней

части свиты встречаются прослой глинисто-алевритистых известняков. Терригенные породы верхней части свиты слабо известковистые. Фауна представлена брахиоподами *Schuchertella sp.*, *Camarotoechia sp.* и *Neospirifer sp.* Мощность 37-59 м.

В бассейне рек Подкаменной Тунгуски - Тычаны литологически сходные отложения представлены аргиллитами и алевролитами шушукской свиты (17-40 м). Породы серые с зеленоватым оттенком, известковистые, распространены по левобережью р. Шушук; залегают на размытой поверхности пролетарской свиты ордовика и перекрыты, местами трансгрессивно, угленосными отложениями катской свиты.

В алевролитах и аргиллитах шушукской свиты обнаружены многочисленные хорошие сохранившиеся мицелии. Среди них значительное количество (до 25%) мицелии инфратурм *Laevigati* и *Apiculati*. Это *Punctatisporites platyrugosus* (Waltz) Oschurkova, *Leiotriletes ineemis* (Waltz) Kedo, *Calamospora plicata* (Waltz) Siverceva, *Retusotriletes granulatus* Pash., *Verrucosisporites verrucatus* Drjagina, различные виды рода *Apiculiretusispora* и др. Основной фон комплекса (до 30%) составляют мицелии морфологически сложно устроенные: *Asperispora nova* Pash. sp. nov., *Lycospora breviapiculata* (Luber) Luber, *Acanthozonotriletes sentus* Pash., *Hymenozonotriletes luteolus* Naum., *H. hyalinus* Naum., *H. kurungurachus* Pash., *Venustisporites viduus* (Medv.) comb. nov., *Geninospora punctulosa* (Luber) comb. nov., *Vallatisporites krasnojaricus* Peterson sp. nov., *V. angaricus* Peterson sp. nov., *Densosporites dentatus* (Pash.) comb. nov.

В Кемпендейской впадине к одновозрастным отложениям относятся породы верхней четвертой туфогенно-карбонатно-терригенной пачки курунгуряжской свиты. Пачка (мощностью до 200 м) состоит из переслаивающихся серых и голубовато-серых известняков, аргиллитов, алевролитов, песчаников, диамиктов, брекчий и пепловых туфов. Характерна заметно повышенная роль пепловых туфов, а также наличие горизонтов диамиктов и брекчий. В основании и верхней части отдельные горизонты пепловых туфов достигают 50 м. Породы четвертой пачки в скважинах (скв. К-2, интервал 416-425 м; скв. К-3, интервал 892-906 м; скв. К-4, интервал 695-785 м) характеризуются количественным преобладанием спор *Acanthozonotriletes sentus* Pash., *Lophozonotriletes sorosus* Pash., *Densosporites dentatus* (Pash.) comb. nov., *Asparispora nova* Pash. sp. nov., *Vallatisporites notabilis* Peterson sp. nov., *V. acerosus* Peterson sp. nov., *Tumulispora malevkensis* (Kedo) comb. nov., *T. sorosa* Pash. sp. nov., *Viduusisporites viduus* (Medv.) comb. nov. Отмечено появление *Lycospora breviapiculata* (Luber) Luber.

Наиболее близки между собой комплексы из отложений шушукской свиты, из четвертой пачки курунгуряжской свиты и из верхотомского горизонта Кузбасса. Из них два первых комплекса относительно богаты мицелиями, принадлежащими, вероятно, лепидофитам. Общими для них являются: *Verrucosisporites verrucatus* Drjagina sp. nov., *Lycospora breviapiculata* (Luber) Luber, *Hymenozonotriletes luteolus* Naum., *H. hyalinus* Naum., *H. kurungurachus* Pash., *Densosporites dentatus* (Pash.) comb. nov., *Vallatisporites vulgaris* Pash. sp. nov., *V. acerosus* Peterson sp. nov., *V. notabilis* Peterson sp. nov., *Asperispora nova* Pash. sp. nov.

Поскольку верхотомский горизонт непосредственно перекрывается евсеевской свитой с серпуховской фауной, возраст верхотомского горизонта и его аналогов - шушукской свиты и верхней части четвертой пачки курунгуряжской свиты, а также условно бруссской и фатьяновской свит, должен быть определен как окский.

В Кюлюндинском грабене красноцветные гипсонасные отложения перекрыты верхней карбонатной толщей (40-50 м) (лона *Eoendothyranopsis ermakiensis*), представленной известняками коричневато-серого и серого цвета, массивными и слоистыми, с прослойками аргиллитов. Органогенные разности известняков содержат остатки фораминифер, брахиопод, мшанок, иглокожих и других организмов. Из фораминифер (сборы О.В. Баага, 1976, определения О.И. Богуш) здесь найдены *Palaeospiroplectammina aff. diversa* (N. Tchern.), *Endothyra perfida* var. *perfida* Leb., *E. ex gr. latispiralis* Lip., *E. kjutingensis* Bogush. sp. nov., *Eoendothyranopsis ermakiensis* (Leb.), *E. pressa* (Groz.). Из брахиопод присутствуют *Athyris* (*Actinoconchus*) *sublamellosa* (Hall), *Schellwienella burlingtonensis* Well. В этом комплексе наряду с турнейско-визейскими формами присутствуют виды, известные в основном или только в виже, в подъяковском горизонте Кузбасса и сырдарасайском - венитинском горизонтах Восточного Таймыра (*Endothyra perfida* var. *perfida* Leb., *Eoendothyranopsis ermakiensis* (Leb.), *E. pressa*, (Groz.), что позволяет относить верхнюю известняковую толщу к визейско-му ярусу.

#### Отложения верхней толщи

В рассматриваемых частях Сибирской платформы верхняя толща условно представлена кварцевыми песчаниками кондроминской свиты (до 50 м), распространенными в нижнем течении рек Подкаменной Тунгуски и Чуни. Песчаники белые и светло-серые кварцевые чередуются с алевролитами, с размывом налегают на различные горизонты ордовика, силура и девона. Песчаники и алевролиты кондроминской свиты с юга и юго-востока обрамляют области распространения джалтулинской свиты. Возраст кондроминской свиты дискуссионен. К тому же в разных районах к ней относят породы не вполне одинакового состава и положения в разрезе (Матухин, Меннер, 1974).

#### II. ЮГО-ЗАПАДНАЯ И ЮЖНАЯ ЧАСТИ ПЛАТФОРМЫ

На юге Сибирской платформы нижнекаменноугольные отложения распространены в Казачинской, Рыбинской, Кемчугской, Каинско-Тасеевской, Кулаковско-Погромнейской, Кокуйской впадинах, в среднем течении р. Ангары и в верхних течениях рек Подкаменной и Нижней Тунгуски.

Характерная особенность всех южных разрезов - преимущественно терригенный состав, широкое развитие пирокластических пород, наличие флоры и практически полное отсутствие остатков морской фауны. В этом отношении юг Сибирской платформы более схож с Минусинским прогибом, чем с северными районами платформы.

Наиболее полным в группе южных разрезов является казачинский. В Рыбинской и Кемчугской впадинах, где флора лучше, нижнекаменноугольные отложения мало чем отличаются от казачинского разреза.

Нижний карбон в этих впадинах начинается окремнельными известняками ловатской и мамотовской свит, залегающими на коре выветривания, развитой по породам верхнего протерозоя и девона. Нижнетурнейский возраст свит определяется их положением ниже красногорьевской свиты и ее аналогов – двух нижних толщ казачинской свиты, заключающих в нижней части характерные для верхнего турне *Sublepidodendron igrischense* (A. Ananiev) V. Ananiev.

Верхняя туфогенно-песчаниковая толща красногорьевской свиты (в Казачинской впадине средняя часть казачинской свиты) содержит флору, которая в Минусинских впадинах встречается от соломенской до байновской свит включительно, что отвечает интервалу от фоминского до нижней части верхотомского горизонта Кузнецкого бассейна.

Туфогенная толща Рыбинской и Кемчугской впадин с *Sublepidodendron anomalum* (Neub.) An. et Mikh. по флоре сопоставляется с подсийской свитой Минусинской впадины (верхняя часть верхотомского горизонта Кузнецкого бассейна).

Наконец, венчающие разрез каолинит-халцедоновый горизонт и в Казачинской впадине нижняя часть рождественской толщи по спорам сопоставляются с конгломератовой свитой Минусинской впадины и евсеевской – нижней частью каезовской свиты Кузнецкого бассейна.

В Канско-Тасеевской впадине распространена суховская свита, литологическая характеристика которой очень сходна с мамотовской и ловательской свитами.

В Кулаковской и Погромненской впадинах, расположенных вблизи устья р. Ангары, бурением также вскрыты нижнекаменноугольные отложения. Согласно их описанию в литературе (Павлов, 1974), здесь выше шунтарской свиты синия уверенно выделяется интервал разреза, сходный с мамотовской, суховской и ловательской свитами, выше которого залегает толща, близкая по составу с низами казачинской и красногорьевской свит.

В среднем течении Ангары и в верховьях Подкаменной и Нижней Тунгуски (р. Непа) развита тушамская свита, подразделяемая на две подсвиты. Нижнетушамская подсвита коррелируется с туфогенно-песчаниковой толщей казачинской свиты и ее аналогами, с которыми она имеет сходные литологическую и палеоботаническую (споры и макрофлора) характеристики. Верхнетушамская подсвита сопоставляется с туфогенной толщей Рыбинской впадины; содержащаяся в ней флора встречается в байновской и подсийской свитах Минусинского прогиба (Анаиев и др., 1969).

#### Турнейский ярус

##### Нижний турне

В Рыбинской и Кемчугской впадинах нижний турне представлен ловательской свитой. Свита сложена известняками с прослоями кварцевых песчаников и линзами туфогенных пород. Известняки светло-серые, микро- и мелкозернистые, иногда пятнистые, часто оолитовые и сильно окремнельные, содержат терригенную и туфогенную примесь. Песчаники кварцевые разнозернистые, иногда средне- и крупнозернистые, хорошо окатанные, наряду с кварцем содержат большое количество обломков известняка. Нижняя граница свиты определяется по появлению пестроцветных алевролитов, песчаников или известняков с прослоями обломочных известняков, характерных

для кунгусской и амонашской свит верхнего девона. Верхняя граница фиксируется по полному исчезновению известняков и их смене вверх по разрезу глинистыми туфами красногорьевской свиты. Органических остатков в ловательской свите, за исключением водорослей типа *Girvanella* sp., не выявлено. Мощность свиты 20–40 м. Стратотип свиты расположен в 0,6 км к юго-западу от с. Карапель, примерно в 10 км восточнее г. Канска. Выделена она в 1948 г. А. В. Лесгафтом. Возраст определяется ее положением ниже красногорьевской свиты с верхнетурнейской флорой в нижней части.

В Казачинской впадине литологически сходные породы представлены окремнельными известняками, глинизованными туфами и туффитами мамотовской свиты (Боголепов, 1961). Залегают они с угловым несогласием на сланцах и гнейсах верхнего протерозоя и согласно перекрываются казачинской свитой, граница с которой проводится по исчезновению известняков и полной смене их песчано-туфогенными породами. Органические остатки не найдены. Мощность 50 м. Нижнетурнейский возраст свиты устанавливается по ее положению ниже верхнетурнейских отложений нижней толщи казачинской свиты, с которой она связана постепенным переходом.

В Канско-Тасеевской впадине по литологическим признакам аналогичный возраст имеет суховская свита, распространенная главным образом в центральной части впадины. Она представлена сильно окремненными, массивными, часто пятнистыми и оолитовыми известняками с прослоями зеленовато-серых и красно-коричневых известковистых песчаников, алевролитов и пепловых туфов, с крупногалечными конгломератами в основании. Залегает на верхнем кембрии; перекрывается каолинитово-халцедоновым горизонтом, лежащим в основании угленосных отложений среднего – верхнего карбона. Мощность до 40 м.

В Кулаковской и Погромненской впадинах сходные с мамотовской, ловательской и суховской свитами отложения представлены пестроцветными конгломерато-брекчиями, аргиллитами с прослоями песчаников и алевролитов, в верхней части с пластом известняка с халцедоном. Мощность до 65 м. Подобно мамотовской свите, эти отложения с размывом залегают на породах верхнего протерозоя.

##### Верхний турне

В Рыбинской и Кемчугской впадинах к верхнему турне относится нижняя часть красногорьевской свиты. Представлена она толщей глинистых туфов и алевролитов с прослоями песчаников. Туфы и алевролиты серые, желтовато- и зеленовато-серые, иногда буровато-коричневые. Песчаники, как правило, имеют резко подчиненное значение, местами образуют пачки мощностью до 60 м. Как и в ловательской свите, они кварцевые, иногда с обломками известняка, часто прекрасно окатанными, разнозернистые, мелко-среднезернистые и мелкозернистые. Цемент песчаников кальцитовый или туфогенный. Флора *Pseudolepidodendron igrischense* (A. Ananiev) V. Ananiev, *Asterocalamites scrobiculatus* (Schloth.) Zeitl.; ихтиофауна *Rhizodopsis savenkovi* Obr., *Picnoctenion rybinskensis* Vor. Флора характерна для кривинской, самохвальской и особенно камыштинской (надалтайской) свит Минусинского прогиба, сопоставляемых (Грайзер, 1967) с тайдонским горизонтом Кузнецкого бассейна. Мощность 120–130 м.

В Казачинской впадине аналогичный возраст имеет нижняя тuffогенная толща казачинской свиты. Пестроцветные, в основном зеленые, туфы и тuffиты этой толщи заключают подчиненные прослои светло-серых песчаников. Песчаники кварцевые, реже кварц-полевошпатовые, иногда с окатанными обломками известняка, мелко-, средне- и крупнозернистые с тuffогенным и кальцитовым цементом, по составу сходны с песчаниками ловатской - нижней части красногорьевской свиты Рыбинской впадины. Мощность 100-110 м. М.И. Грайзером отсюда определен общий с нижней частью красногорьевской свиты *Pseudolepidodendron cf. igrischense* (A.Anan.) V. Ananiev - вид-индекс одноименной лоны верхнего турне Минусинской впадины.

#### Верхняя часть турнейского яруса - визейский ярус

В южных и юго-западных частях Сибирской платформы в этой части разреза выделяются (снизу вверх): 1) отложения с *Sublepidodendron alternans* и 2) отложения с *Sublepidodendron anomalum*.

#### Отложения с *Sublepidodendron alternans*

В Рыбинско-Кемчугской и Казачинской впадинах, а также на Средней Ангаре широко распространены тuffогенно-песчаные отложения с флорой *Sublepidodendron alternans*. В Рыбинско-Кемчугской впадине к ним относится верхняя часть красногорьевской свиты, в Казачинской - средняя тuffогенно-песчаниковая толща казачинской свиты, на Средней Ангаре - нижняя часть тушамской свиты.

В Рыбинско-Кемчугской впадине на толще глинистых туфов нижней части красногорьевской свиты согласно залегает верхняя тuffогенно-песчаниковая толща той же свиты, состоящая из песчаников и туфов. Песчаники по составу обломочной части (эффузивы, кремнистые породы, вулканическое стекло), угловато-округлой форме зерен и тuffогенному цементу резко отличаются от песчаников нижней толщи той же свиты и ловатской свиты. Флора *Sublepidodendron alternans* (Schmalh.) An. et Mikh., *De metria subasiatica* An. et Mikh., *Ursodendron distans* (Chachl.) V. Ananiev. Мощность около 100 м. Так как приведенная флора характерна для соломенской свиты Минусинского прогиба, а из основания вышележащей тuffогенной толщи А.Р. Анаьевым определен *Sublepidodendron anomalum* (Neub.) An. et Mikh., встречающийся в подсийской свите Минусинского прогиба, верхняя тuffогенно-песчаниковая толща красногорьевской свиты должна сопоставляться с соломенской - байновской свитами Минусинского прогиба и фоминским - нижней частью верхотомского горизонта Кузнецкого бассейна.

В Казачинской впадине тот же возраст имеет средняя тuffогенно-песчаниковая толща казачинской свиты. Сложенная зелеными песчаниками, в основном состоящими из обломков вулканического стекла и эффузивов основного состава, она имеет большое сходство с верхней толщей красногорьевской свиты. Среди песчаников встречаются прослои туфов и тuffитов. Мощность до 150 м.

Из растительных остатков в ней присутствуют общие с верхней толщей красногорьевской свиты *Sublepidodendron alternans* (Schmalh.) An. et Mikh. и *Ursodendron distans* (Chachl.) Ananiev. Из других видов определены *Lepidostrobophyllum neuburgae* (Anan.) comb. nov. и *Lepidophyllum* sp.

В среднем течении Ангары, среднем течении р. Непы (левом притоке р. Нижней Тунгуски) и в районе Чемдальска развиты наиболее полные разрезы тушамской свиты. В этих районах тушамская свита залегает на ордовикских и силурийских отложениях, иногда с переотложенными корами коры выветривания в основании.

Нижняя часть тушамской свиты сложена песчаниками с прослоями туфов. Песчаники зеленовато-серые в основном мелко- и среднезернистые с хорошо окатанными обломками кварца. Туфы кислые витрокластические, иногда лито-витрокластические, пелитовые. Встречаются редкие маломощные прослои известняка. Флора *Lepidostrobophyllum neuburgae* (Ananiev) comb. nov. Мощность 20-30 м.

Названный вид встречается в Казачинской впадине - в средней толще казачинской свиты и в Минусинском прогибе - в соломенской свите, свидетельствуя в пользу одновозрастности названных свит и принадлежности нижней части тушамской свиты к отложениям с *Sublepidodendron alternans*.

#### Отложения с *Sublepidodendron anomalum*

На юге Сибирской платформы к ним относятся: в Рыбинско-Кемчугской впадине - тuffогенная толща, в Казачинской впадине - верхняя карбонатно-тuffогенная толща казачинской свиты и на Средней Ангаре - верхняя часть тушамской свиты.

В Кемчугской впадине отложения с *Sublepidodendron anomalum* представлены тuffогенной толщей, выделенной в 1964 г. М.И. Грайзером и И.С. Боровской около дер. Поперечка в скв. 2 в интервале 148-277 м. Толща представлена зелеными туфами и тuffитами с подчиненными прослоями песчаников, алевролитов, алевропесчаников и единичными пропластками коричневато-серых известняков. Мощность 130 м. С глубины 257 м в скважине А.Р. Анаьевым определена флора *Sublepidodendron anomalum* (Neub.) An. et Mikh., встречающаяся в подсийской свите Минусинского прогиба, сопоставляемой с верхней частью верхотомского горизонта Кузнецкого бассейна.

В Казачинской впадине одновозрастные отложения представлены литологически сходными с тuffогенной толщей зеленовато-серыми туфами и тuffитами, реже песчаниками верхней карбонатно-тuffогенной толщи казачинской свиты (125 м). Встречаются единичные прослои серых микрозернистых известняков. Контакт с подстилающими отложениями средней толщи казачинской свиты согласный. В основании вышележащих отложений рожденской толщи выделяется горизонт с переотложенными корами выветривания.

На Средней Ангаре тот же возраст имеют породы верхней части тушамской свиты, представленные песчаниками с подчиненными прослоями туфов. Песчаники зеленовато-серые полимиктовые с преобладанием обломков эффузивов и пирокластов. Характерно наличие прослоев песчаника, обога-

щенных глинистыми окатышами серого, зеленовато- и голубовато-серого цвета размером до нескольких дециметров, как правило, хорошо окатанных. Туфы кислые витрокластические, иногда лито-витрокластические, пелитовые. Перекрывает тушамская свита угленосными образованиями катской свиты, по-видимому, с перерывом. Мощность 60–170 м.

По флоре *Sublepidodendron kemeroviense* (Chachl.) An. et Mikh., *S. tyrgani* (Chachl.) An. et Mikh. и литологическим признакам верхняя часть тушамской свиты может быть сопоставлена с туфогенной толщей Рыбинско-Кемчугской впадины и верхней карбонатно-туфогенной толщей Казачинской впадины.

Рассмотренным отложениям с *Sublepidodendron alternans* и *S. anomalum* в Минусинской впадине отвечают отложения, охарактеризованные флорой одноименных лон, т.е. свиты от соломенской до подсийской включительно.

#### Серпуховский ярус

К серпуховскому ярусу по спорам относятся каолинит-халцедоновый горизонт (Рыбинско-Кемчугская, Канско-Тасеевская, Кокуйская, Кулаковская и Погромненская впадины) и в Казачинской впадине рождественская толща (см. табл. 1).

#### Каолинит-халцедоновый горизонт\*

В Рыбинско-Кемчугской, Канско-Тасеевской, Кокуйской, Кулаковской и Погромненской впадинах горизонт представляет собой каолинит-халцедоновую брекчию, состоящую из обломков халцедона, скементированных каолинит-кремнистым веществом, содержащим незначительную терригенную примесь. Каолинит встречается в виде прослоев и линз пластичных и сухарных глин типа флинтклей. Залегает он с ясно выраженным размывом на туфогенной толще (Рыбинско-Кемчугская впадина), более древних отложениях нижнего карбона или кембрия. В большинстве случаев вверх по разрезу без перерыва переходит в угленосные отложения листвяжинской или катской свиты. Мощность от 6 до 70 м.

В Кокуйской, Кулаковско-Погромненской и Канско-Тасеевской впадинах в породах каолинит-халцедонового горизонта найдены миоспоры, изученные Л.Н. Петерсон. На Изыхском угольном месторождении однотипный комплекс миоспор найден в конгломератовой свите.

Среди спор присутствуют виды с гладкой, шагреневой, шиповатой, грубоугорчатой, сетчатой скульптурой экзины, с четко выраженной ареа, с тонкой широкой оторочкой. Преобладают споры с оторочкой *Remyisporites psilopterus* (Lub.) Lub. и *R. mirabilis* (Lub.) Lub., составляющие в сумме 26–40%. Заметную роль (до 20%) играют споры с ареа рода *Retu-*

\* Совещание по разработке унифицированных стратиграфических схем по докембрию, палеозою и четвертичной системе Средней Сибири (Новосибирск, 1979 г.) приняло решение об отнесении каолинит-халцедонового горизонта к основанию среднего карбона.

*sotriletes* Naum., – *R. simplex* Naum., *R. coniferus* Kedo, *Apiculiretusispora ciliaris* Ret., *A. parvimmammatus* (Naum.).

Характерны разнообразные крупные споры рода *Turrisporites* Lub.: *T. pyramidalis* Lub., *T. sinuatus* Lub., *T. resistens* Lub., *T. rigidispinosus* Lub., *T. planiusculus* Lub.

В небольшом количестве (от 0,5 до 5,5%), но постоянно в комплексе присутствуют виды *Planisporites mollis* (Lub.) Lub., *Cyclogranisporites larvatus* (Lub.) Lub., *Capillatisporites lunatus* (Kust.) Andr., *Verrucosisporites scrobiculatus* Lub., *V. phaleratus* Lub., *V. rubiginosus* Lub., *V. ermakovianus* Kov., *Foveolatisporites perforatus* Lub., *Dictyotriletes medioreticulatus* Lub., *Zonotriletes punctulosus* Lub., *Granulatisporites grossepunctatus* Lub.

Спор пепидофитов немного, до 5%. Это виды *Lycospora curvata* Lub., *L. verriculifera* Lub., *L. breviapiculata* Lub.

Разнообразны гладкие споры, имеющие широкое стратиграфическое распространение: *Calamospora microrugosa* (Ibr.) S.W. et B., *Punctatisporites platyrugosus* (Lub.) Oschurk., *Nigrisporites nigritellus* (Lub.) Lub., *Leiotriletes inermis* Lub.

В пыльцевой части комплекса преобладают одномешковые хвойные роды: *Florinites* Medv.: *F. grandis* Lub., *F. macropterus* Lub., *F. katskaiensis* Nedv., *F. longus* Kov.

Пыльца кордантов представлена видами *Liburnella rugulifera* (Lub.) Sam., *Cordaitina rotata* (Lub.) Sam., *C. papyriforma* (Andr.) Medv. и присутствует в комплексе в небольшом количестве (6–8%), иногда отсутствует совсем.

Древние двухмешковые хвойные архаичного облика *Protopodocarpus alatus* (Lub.) Lub., *Vestigisporites pliciformis* Pet. составляют 0,5–3%. Характерно присутствие ребристой пыльцы *Vittatina* Lub. Постоянно встречается своеобразная форма *Zonaletes saccatus* Trosh. и обрывки водорослей *Pastillus cellulosus* Zal. Единично среди спор отмечаются формы типа *Tetraporina* Naum., которые А.А. Любэр считает планктоном.

Руководящими для рассматриваемого комплекса являются *Cyclogranisporites larvatus* (Lub.) Lub., *Capillatisporites lunatus* (Kust.) Lub., *Retusotriletes ciliaris* Pet., *Planisporites mollis* (Lub.) Lub., *Turrisporites rigidispinosus* (Lub.) Lub., *Lycospora verruculifera* (Lub.) Lub., *Florinites longus* Kov., *F. grandis* Medv.

В каолинит-халцедоновом горизонте появляются также более молодые, характерные для катской свиты, споры *Cyclobaculisporites trichacanthus* Lub., *C. gibberulus* Lub., *Vallatisporites radiatus* (Lub.) Sul. в количестве не более 10%.

Приведенный комплекс миоспор сопоставляется с таковым из нижней части каэзовской свиты Кузнецкого бассейна, серпуховский возраст которого установлен Л.А. Коваленко (1956) и Л.Л. Дрягиной (1966).

В Канско-Тасеевской впадине, в обнажении Красный Яр, каолинит-халцедоновый горизонт перекрыт песчаниками рождественской толщи. В основании толщи прослеживается пласт углистых глин мощностью 0,5 м. Выше лежащая часть сложена кварцевыми песчаниками с прослойками каолинитовых глин.

В Казачинской впадине рождественская толща лежит на казачинской свите и перекрыта угленосными отложениями среднего – верхнего карбона. В составе рождественской толщи преобладают кварцевые песчаники, имеют-

ся прослои каолинитовых глин, в нижней части – слабоуглистых. Мощность до 55 м. Встречаются миоспоры *Remyssporites psilopterus* Lub., *Cordaitina psiloptera* (Lub.) Samoil. и другие в большинстве общие с каолинит-халцедоновым горизонтом.

## САЯНО-АЛТАЙСКАЯ ГОРНАЯ ОБЛАСТЬ

### I. ЗАПАДНАЯ ЧАСТЬ САЯНО-АЛТАЙСКОЙ ГОРНОЙ ОБЛАСТИ

В Кузбассе, Горловском бассейне и Горном Алтае турнейский – большая часть визейского яруса сложены известняками, верхняя часть визе – серпуховский ярус – карбонатно-терригенными и терригennыми отложениями.

В Кузбассе, где нижнекаменноугольные отложения наиболее полно охарактеризованы палеонтологически, в них выделяется до 10 местных стратиграфических подразделений. В Горловском бассейне и особенно в Горном Алтае, где фауна беднее, число местных стратиграфических подразделений уменьшается соответственно до 6 и 5. Наконец в окраинной части Обь-Зайсанской геосинклинали, в Ельцовском синклиниории и в Колывань-Томской зоне, в пределах развития более глубоководных отложений, количество местных стратиграфических подразделений сокращается до 3 (табл. 2).

#### Турнейский ярус

##### Нижний турне

В Кузнецком бассейне нижний турне представлен абышевским горизонтом. Нижняя его часть – топкинская толща на северо-западе Кузбасса сложена известняками (до 75 м), залегающими в ряде разрезов непосредственно на девонских песчаниках и алевролитах. На контакте с девоном известняки обломочные, переходящие в гравелистый известняковый песчаник или органогенный песчаник с желвачками багряных водорослей типа *paraheteres*, *girvanella* и следами деятельности сверлящих водорослей (Максимова, 1963).

Выше разрез сложен сгустково-детритусовыми, детритусовыми, криноидными, шламово-детритусовыми и мелкокристаллическими известняками с весьма обильными брахиоподами и остракодами и редкими фораминиферами и кораллами.

Из фораминифер встречены единичные *Archaesphaera* sp., *Vicinesphaera squalida* Antrop., *Bisphaera elegans* Viss., *B. irregularis* Bir., *B. malevkensis* Bir., *Parathurammina suleimanovi* Lip., *Earlandia elegans* (Raus. et Reitl.); брахиоподы *Aulacella interlineata* (Sow.), *Schuchertella valentinae* (Sok.), *Mesoplicula abyschevensis* Sar., *Sphenospira julii* (Dehee); кораллы *Thecostegites rossicus* Sok., *Cyathoclisia coniseptum* (Keys.) (Сарычева и др., 1963).

Среди брахиопод преобладают местные виды, приуроченные только к данному горизонту. Из них представители *Cyrtospiriferidae*, *Productellidae* и *Leioproductidae* очень близки к девонским видам. Другие, например *Schuchertella valentinae* Sok., родственны турнейской *Sch.*

*burlingtonensis* Well. Роды *Imbrexia* и *Rugosochonetes* – чисто турнейские. Такой смешанный характер фауны вместе с присутствием западноевропейской *Sphenospira julii* (Dehee) и уральского *Semiproductus irregularicostatus* (Krestet Karp.) позволяет сопоставлять топкинские известия со слоями этрень и относить их к самому основанию карбона (Сарычева и др., 1963).

Остракоды топкинского известия изучались Л.С. Бушминой (1965, 1968). Из форм, общих с хованскими слоями Русской платформы, здесь встречена *Eridoconcha socialis* (Eichw.). Некоторое сходство с остракодами хованских слоев имеют *Holinella* sp., *Healdianella* sp., *Bairdiocypris declivis* Bush., *Bairdia quasiextenuata* (Bush.). Общими со слоями киндерхук Северной Америки являются роды *Bairdia* и *Bairdiocypris*. Комплекс остракод указывает на принадлежность топкинских известиям к самым низам карбона.

Обращает на себя внимание некоторое сходство топкинских известиям и малевского горизонта Русской платформы, также содержащего бедный комплекс однокамерных фораминифер (Липина, 1961; Богуш, Фефелов, 1977), а также значительная роль в обоих случаях сгустковых, шламовых и спонгоглиновых разностей.

В Присалаирье топкинская толща (50 м) представлена коричневато-серыми микрозернистыми известиями с примесью вулканогенного материала и включением черных кремней и красного халцедона. На юго-востоке Кузбасса известия серые массивные, иногда микрооколитовые с желваками халцедона (20–50 м). Органические остатки в топкинских известиях здесь не встречаются, однако так же как на северо-западе Кузбасса, они залегают на девоне и перекрыты вулканогенными отложениями крутовской толщи.

Верхняя – крутовская толща абышевского горизонта сложена различными туффитами, туфогенными алевролитами и туфопелитами (30–115 м). От подстилающих известия топкинский толши эти породы отделены перерывом (Максимова, 1963). Возраст толши предположительно нижнетурнейский (Сарычева и др., 1963):

В Горловском бассейне фауна, однотипная топкинской толще, характеризует ургунскую толщу (Казеннов, 1973; Богуш, Фефелов, 1977). Сложенная в нижней части микрозернистыми, криноидными, дегритовыми известиями, переслаивающимися с зеленовато-серыми песчаниками, алевролитами, аргиллитами (120 м), отложения ургунской толши залегают с постепенным переходом на подстилающих пестроцветных породах верхнего девона. В породах ургунской толши встречены фораминиферы *Archaesphaera crassa* Lip., *Vicinesphaera squalida* Antrop., *Bisphaera elegans* Viss., *R. elegans* var. *subsphaerica* Viss., *B. irregularis* Bir., *Paracaligelloides cf. muricatiformis* Tschuv., *P. obicus* Bog., *Earlandia cf. minima* Bir., в основном общие с видами, распространенными в топкинской толще Кузбасса. Среди брахиопод (*Leptaenella* sp., *Schuchertella valentinae* Sok., *Rugosochonetes injensis* Sok., *Plicoconetes* sp., *Steinhagella kusbassica* Sar., *Avonia inflata* (Sok.), *Sphenospira julii* (Dehee), *Iniathyris topkensis* Besn.) также преобладают формы, общие с комплексом топкинского горизонта.

Крутовской толще по положению в разрезе в Горловском бассейне, по-видимому, соответствует нижняя, лишенная органических остатков, известково-глинистая пачка (54 м) нижнекитеринской подсвиты. Представленная дегритовыми и дегритово-шламовыми известиями, выше по разрезу глинистыми известиями с прослойками известковых глинисто-алевривитовых пород,

она залегает с размывом на различных горизонтах девона. На ургунской толще, по А.И. Казеннову (1973), китеринская свита лежит согласно.

В Северном Алтае нижнетурнейские отложения наиболее полно развиты на севере Ануиско-Чуйского синклиниория. Нижний турне представлен слоями с *Sphenospira julii*, сложенными песчаниками, алевролитами, гравелитами и мелкогалечными красно-бурыми, желтовато-серыми и зелено-ватными конгломератами (240 м), с несогласием налегающими на разновозрастные породы фундамента. Верхняя граница нижнего турне проводится условно по смене терригенных пород карбонатными. В породах встречены *Cystospirifer kusbassicus* Besn., *C. insulcifer sphaeroides* Nal., *Tenticospirifer tychensis* Besn., *Sphenospira julii* (Dehee), *Semiproductus cf. altaicus* Gretch., *Imbrexia tarkhanensis* Bubl., *Hinnanospirifer (?) kureki* (Bubl.). По Р.Т. Грациановой (Богуш и др., 1978), этот комплекс позволяет говорить об одновозрастности рассматриваемых отложений слоям с *Imbrexia tarkhanensis* Центрального Алтая абышевскому горизонту Кузбасса, тарханская свите Рудного Алтая и симоринскому горизонту Центрального Казахстана.

В Ельцовском синклиниории нижняя часть нижнего турне, соответствующая топкинским известнякам, представлена чингискими слоями, охарактеризованными фауной лоны *Quasiendothyra kobeitusana* - *Septaglomospiranella*. Развиты в районе селений Алеус и Чингисы на р. Оби в 120 км юго-западнее Новосибирска, эти слои представлены глинистыми известняками с однокамерными фораминиферами, общими с таковыми топкинского известняка Кузбасса и ургунской толщей Горловского бассейна, а также обильными разнообразными турнейеллидами, эндотиридами и остракодами. Из турнейеллид развиты главным образом септабрунзинны и септагломоспиранеллы, из эндотиридов - *Quasiendothyra kobeitusana* (Raus.) и многочисленные представители группы *Q. communis* (Raus.) (Богуш, Бушмина, Домников, 1970; Юферев, 1973). Отложения с этим комплексом соответствуют зоне *Quasiendothyra kobeitusana* и отложениям Тн1а - Тн1б Бельгии и Франции.

#### Верхний турне.

В Кузнецком бассейне к верхнему турне относятся известняки тайдонского и фоминского горизонтов (Сарычева и др., 1963; Юферев, 1973). По характеру фораминиферовых комплексов в них выделяются лоны *Tournayella discoidea* - *Endothyra parakosvensis*, *Endothyra tuberculata* - *Planoendothyra* и *Septatournayella evoluta* - *Palaeospirolectammina diversa* - *Tetrataxis paraminima*.

#### Лона *Tournayella discoidea* - *Endothyra parakosvensis*

Рассматриваемая лона представлена известняками первых трех пачек тайдонского горизонта (95 м). Известняки алевритистые, дегритовые, олиговидные и микрозернистые с бедным комплексом фораминифер. В них присутствуют *Tournayella discoidea* Dain forma maxima, T. cf. moelleri Malakh., *Septabrunsiina* sp., *Septaglomospiranella* cf. *compressa* Lip., *Endothyra parakosvensis* Lip., E. ex gr. *latispiralis* Lip., *E. inopinata* Schlyk., *Planoendothyra obscura* (Brazhn.),

эрландии и однокамерные фораминиферы. Значительно более бедный, чем на Сибирской платформе, этот комплекс сходен с комплексом черепетского горизонта европейской части СССР. Кораллы *Syringopora ramulosa* Goldf., S. *distans* Fisch., *Michelinia megastoma* Phill., *Zaphrentis ex gr. enniskilleni* E. et H.; брахиоподы *Schuchertella planumbona* kondomensis Sok., *Tomiproductus elegantulus* (Tolm.), *Camarotoechia bplex* (Tolm.), C. *davidsoni* Tolm., *Syringothyris* typa Winch., *Unispirifer ussiensis* (Tolm.), U. *taidonensis* (Tolm.); остракоды *Incisurella nana* Busch., *Moorites rectus* Busch., *Knoxiella taidonica* Busch., *Glyptopleura plicata* (J. et K.), *Cavellina subeichwaldi* Busch. Кораллы, брахиоподы и остракоды подтверждают принадлежность рассматриваемых отложений к верхнему турне.

Из миоспор помимо форм широкого стратиграфического распространения (*Stenozonotrilites simplex* Naum., *Punctatisporites platyrugosus* (Waltz.) Oschurkova и др.) встречаются виды, характерные для турнейских отложений Евразийской флористической области (*Lophozonotrilites malevkensis* Kedo, *Knoxisporites literatus* (Waltz.) Luber, *Geminospora punctulosa* (Luber) Drjagina comb.nov.). Присутствуют *Retusotrilites granulatus* Pash., *Antisporites magnus* Drjagina gen. et sp. nov. и др.

В южной и юго-восточной частях Кузбасса в пределах рассматриваемого уровня также развиты кораллы, более богаты и разнообразны брахиоподы, среди которых имеются представители родов *Leptaenella*, *Rugosochonetes*, *Setigerites*, *Torynifer*, *Cleiothyridina*, *Girtyella*, *Beecheria* и др., не встреченные в остальных районах области; фораминиферы, как правило, отсутствуют.

#### Лона *Endothyra tuberculata* - *Planoendothyra*

В Кузнецком бассейне к этой зоне относятся известняки четвертой пачки тайдонского и пезасской толщи фоминского горизонта (67-87 м). Известняки темно- и голубовато-серые дегритово-шламовые и мозаичные с фораминиферами, кораллами, брахиоподами и остракодами.

Комплекс зон, тесно связанный с предыдущим по систематическому составу фораминифер, содержит практически все виды, известные в предыдущем комплексе. Он состоит из турнейеллид и многочисленных типично верхнетурнейских (Кизеловского облика) эндотиридов: *Endothyra inopinata* Schlyk., E. *gibbera* Conil. et Lys (-E. *tuberculata* var. *magna* Lip.), E. cf. *pauciseptata* Raus., E. *maximovae* Leb., *Planoendothyra obscura* (Brazhn.), P. *rotai* (Dain.), P. *diserta* Leb., *Plectogyrina admiranda* (Leb.), *Globoendothyra* ex gr. *parva* (N.Tchern.) и других, в том числе общих для Кузбасса и Сибирской платформы *Endothyra kosvensis* Lip., E. *honesta* Schlyk., E. *piluginensis* Lip., *Planoendothyra compta* Schlyk. Отложения с этим комплексом могут быть сопоставлены с кизеловским горизонтом европейской части СССР и зонами *Latendothyra tuberculata* и *Spinoendothyra*.

Кораллы *Michelinia megastoma* Phill., *Zaphrentis omaliusi* E. et H. var. *densa* Carr. и брахиоподы *Syringothyris hannibalensis* (Swall.), S. typa Winch., *Unispirifer tornacensis* (Kon.), U. *ussiensis* (Tolm.), *Tomiproductus elegantulus* (Tolm.) и острако-

ды *Knoxiella gemina* Busch., *Cavellina cornuta* Busch., *Paraparchites armstrongianus* (I. et K.) и другие также указывают на верхнетурнейский возраст рассматриваемых отложений (Сарычева и др., 1963; Бушмина, 1968). На юго-востоке Кузбасса ни турнейеллид, ни эндотирид на этом уровне нет, из фораминифер развиты только представители рода *Earlandia*.

В Горловском бассейне, где рассмотренные выше лоны не выделяются, одновозрастные отложения представлены средней и верхней пачками нижнекимеринской подсвиты (Казеннов, 1973; Богуш, Чиликин, 1975). Средняя пачка сложена органогенными и хемогенными известняками с линзами кремней (106–123 м); верхняя, мергелистая, представлена глинистыми известняками, аргиллитами, алевролитами и песчаниками (60 м). Из брахиопод в них встречены *Aulacella interlineata* (Sok.), *Chonetes* sp., *Fuselina osipovensis* Besn., *F. mediocris* (Tolm.), *Spirifer taigensis* Besn. Фораминиферы средней пачки сходны с комплексом лон *Tournayella discoidea* – *Endothyra parakosvensis*; фораминиферы верхней пачки отличаются от комплекса лон *Endothyra tuberculata* – *Planoendothyra* Кузбасса более богатым турнейеллидовым фоном.

В Северном Алтае отложения, одновозрастные лонам *Tournayella discoidea* – *Endothyra parakosvensis* и *Endothyra tuberculata* – *Planoendothyra*, представлены слоями с *Planoendothyra rotai*. Эта толща серых органогенных известняков с подчиненными прослоями известковистых алевролитов и аргиллитов (236 м), залегающая на пестроцветных гравелитах, песчаниках, алевролитах и аргиллитах нижнего турне. Известняки криноидные и криноидно-мшанковые с фораминиферами, остракодами, редкими брахиоподами и водорослями. Из немногочисленных фораминифер в них встречены *Earlandia elegans* (Raus. et Reitl.), *E. ex gr. vulgaris* (Raus.), *Planoendothyra rotai* (Dain.), *Endothyra similis* Raus. et Reitl., характерные для верхнего турне и нижнего визе Донбасса, Кузнецкого бассейна, Сибирской платформы и др. В Кузбассе *Planoendothyra rotai* наиболее часто встречается в верхней части тайдонского – низах фоминского горизонтов и на Сибирской платформе – в верхней части ханельбиринского горизонта.

Остракоды нижней части рассматриваемых слоев состоят из *Coryellina aff. triceratina* (Posn.), *Holinella* sp., *Knoxiella aff. archedensis* Tschig., *Cavellina aff. taidonensis* Busch., *Carbonita submalevkensis* Busch. и др. Часть видов этого комплекса сходна с нижнетурнейскими малевско-упинскими, другая близка с верхнетурнейскими – тайдонскими и кизеловскими. В верхней части слоев в состав комплекса остракод входят *Moorites ornatus* Busch., *Scrobicula levigata* Busch., *Knoxiella gemina* Busch., *Shivaella quasiporrecta* (Busch.), *Griboconcha quasicornigera* Busch. и другие виды, широко распространенные в Кузнецком бассейне в тайдонском и фоминском горизонтах.

Из брахиопод определены *Rhipidomella altaica* (Tolm.), *Schuchertella plana* Sok., *Sch. lens* (White), *Rugosochonetes hardensis* (Phill.), *Pustula interrupta* Thomas, *P. pilosa* Thomas, *Avonia minima* (Tolm.), *Tomiproductus fomikhensis* Sar., *Spirifer tersiensis* Rot., *Unispirifer pesassica* (Tolm.), *U. osipovensis* (Besn.) и другие. Брахиоподы тайдонско-фоминские, в основном общие с Кузбассом.

Таким образом, по фораминиферам, остракодам и брахиоподам возраст слоев с *Planoendothyra rotai* устанавливается в пределах тайдонской нижней части фоминского горизонта (Богуш и др., 1978).

Лоны *Septatournayella evoluta* – *Palaeospirolectammina diversa* – *Tetrataxis paraminima*

Отложения лонны распространены в Кузнецком и Горловском бассейнах, а также в Северо-Западном и Северном Алтае.

В Кузнецком бассейне к лонне относятся известняки крапивинской и костенковской толщ фоминского горизонта (120 м). Известняки темно-серые биоморфно-детритовые криноидные, криноидно-мшанковые и спикуловые. Для них характерно появление рода *Tetrataxis*, увеличение роли визейских эндотир (группа *Endothyra prisca* – *E. similis* и др.), примитивных представителей родов *Globoendothyra* и *Eoendothyranopsis*. Одновременно, хотя и не одинаково в различных разрезах и регионах, уменьшается роль турнейеллид и турнейских эндотир. Увеличивается удельный вес в комплексе эндемичных форм. Для комплекса типично присутствие *Septatournayella evoluta* (Leb.), *S. mrasuensis* (Leb.), *Endothyra prisca* Raus et Reitl., *E. perfida* Leb., *Planoendothyra compta* Schlyk. forma sigma, *Globoendothyra ex gr. parva* (N.Tchern.), *G. cf. mikutzkii* Leb., *Eoendothyranopsis transita* (Lip.), появляются *Eoendothyranopsis cf. pressa* (Grozd.), *Palaeospirolectammina diversa* (N.Tchern.) и тетратаксисы. Среди брахиопод на этом уровне впервые встречаются *Schuchertella globosa* Tolm., *Stegacanthia sibirica* (Sar.), *Pustula pyxidiformis* (Kon.), *Setigerites newtanensis* (More), *Spirifer subgrandis* Rotai, *S. attenuatus* Sow. Из кораллов достигает максимального развития *Caninophyllum tomiense* (Tolm.) и появляются одиночные кораллы, принадлежащие к роду *Adamophyllum*, *Tachyphyllum artyshtense* Dобр., многочисленные представители колониальных *Stelechophyllum* (Добролюбова и др., 1966). Отложения с этим комплексом могут быть сопоставлены с косьвинским (елховским) горизонтом европейской части СССР и зоной *Endothyra elegia* – *Palaeospirolectammina diversa*.

В северо-западной части Кузбасса фораминиферы представлены эндотиридовыми и эндотирово-тетратаксисовыми комплексами, реже эрландиевыми. Очень разнообразны брахиоподы, среди которых 9 родов и 28 видов не встречаются на юге и юго-востоке области (роды *Crurithiris*, *Eomartiniopsis*, *Tomiopsis*, *Beecheria*, *Chonetes*, *Plicoconchites*, *Dieasma verkhotorumica* Besn., *Avonia semicostata* (Tolm.), *Spirifer taigensis* Besn., *S. tersiensis* Rotai и др.). Разнообразны кораллы – 30 видов представителей 17 родов.

На юго-востоке Кузбасса кораллы и брахиоподы менее разнообразны; фораминиферы представлены эрландиевым комплексом с единичными тетратаксисами и эндотиридами.

В Горловском бассейне рассматриваемая лона представлена известняками верхнекимеринской подсвиты (150–160 м). Известняки различных типов с прослоями песчаников, алевролитов и аргиллитов. По А.И. Казеннову (1973), отличительной чертой подсвиты является обилие в ее составе песчаников и отсутствие оолитовых известняков. Среди фораминифер здесь появляются глобоэндотиры и из брахиопод *Spirifer subgrandis* Rot. Фораминиферы *Archaeosphaera minima* Sul., *Vicnesphaera squalida* Antrop., *Earlandia cf. elegans* (Raus.), *Septatournayella mrasuensis* (Leb.), *Septabrunsiina krainica* Lip., *Septaglomospiranella primaeva* (Raus.), *Chernyshinella* (Rectochernyshinella) cf. *kipchakensis* Lip., *Endothyra latispiralis* Lip., *E. 31*

*ex gr. tuberculata* Lip., *Globoendothyra* cf. *parva ukrainica* Vdov., *G. cf. dilatata* Gan., *G. aff. inconstans* Grozd. et Leb., *Tetrataxis angusta* Viss., *T. eominima* Raus., *T. brazhnikovae* Bog. et Juf. Брахиоподы *Rhipidomella altaica* Tolm., *Schuchertella plana* Sok., *Chonetes ischimicus* Nal., *Rugosochonetes hardrensis* (Phill.), *Tomiproductus elegantulus* (Tolm.), *Camarotoechia bplex* (Tolm.), *Fusella mediocris* (Tolm.), *F. osipovaensis* Besn., *F. konkdomensis* Besn. и др. (Казеннов, 1973).

В Северном Алтае аналогичный возраст имеют слои с *Septatournayella evoluta* (150 м). По внешнему облику и составу эти отложения не обнаруживают заметных отличий от подстилающих. Они сложены толщей полидетритовых органогенных известняков с преобладанием в них остатков криноидей и мшанок. В известняках много стяжений черных кремней. Основное отличие рассматриваемых отложений от подстилающих – богатый комплекс фораминифер. Из этой группы здесь встречены *Septatournayella evoluta* (Leb.), *S. mraszuensis* (Leb.), *Endothyra kosvensis* Lip., *Planoendothyra compta* (Schlyk.), *Plectogirina somichaensis* (Leb.), *Globoendothyra mikutzkii* Leb., *Eoendothyranopsis cf. lebedeva* M. F. Sol., *Tetrataxis eominima* Raus.; брахиоподы *Rhipidomella altaica* (Tolm.), *Schuchertella lens* (White), *Tomiproductus somikhensis* Sar., *Spirifer acceptus* Besn.; остракоды *Neokloedenella notata* Busch., *Knoxiella gemina* Busch., *Moorites rectus* Busch. и др. (Богуш и др., 1978).

Обилие глобоэндотир и тетратаксисов придает комплексу, на первый взгляд, скорее визейский, нежели турнейский облик, однако встреченные в нем турнейеллы плектогирины, пленоэндотиры и эндотиры при отсутствии характерных для вышележащей семенушкинской толщи *Endothyra excelsa formis* позволяют говорить об аналогии с верхней частью фоминского горизонта Кузбасса, относимой к турнейскому ярусу (Сарычева и др., 1963; Богуш, Чиликин, 1975; Богуш и др., 1978; Юферев, 1973).

Большинство остракод распространены в верхнетурнейских, преимущественно фоминских, отложениях Кузбасса. Брахиоподы также представлены видами, характерными главным образом для фоминского горизонта.

Таким образом, фораминиферы, брахиоподы и остракоды однозначно свидетельствуют о верхнетурнейском, в объеме фоминского, по фораминиферам верхнефоминском возрасте отложений.

В Северо-Западном Алтае нижний карбон известен на правом берегу р. Локтевки севернее с. Курья (праволоктевская свита). Развитые здесь слои с *Planoendothyra compta* и *Tetrataxis* представлены известняками средней части праволоктевской свиты (около 90 м). Известняки грязно-серые мусористые криноидные и полидетритовые. В них встречены фораминиферы *Endothyra ex gr. prisca* Raus. et Reitl., *Planoendothyra compta* (Schlyk.), *Pl. ex gr. rotai* (Dain), *Tetrataxis* sp.; брахиоподы *Overtonia borodencovensis* (Tolm.), *Pustula altaica* Tolm., *Syringothyris typa* Winch., *Spirifer subgrandis* Rotai; остракоды *Moorites subbrevis* Busch., *Paraparchites armstrongianus* (J. et K.), *Healdia diffusa* Busch. и др. В составе комплекса много видов, общих с верхней частью фоминского горизонта Кузбасса, что и определяет его возраст.

В Кольвань-Томской зоне нерасчлененные турнейские отложения представлены яркой толщей (около 2000 м). По Р.Н.Бенедиктовой (1962), к ним относятся темно-серые неясно слоистые глинистые сланцы с редкими прослойками алевролитов, песчаников и известняков. Faunой они небогаты и, по-видимому, образовались в глубоководной обстановке.

По р. Мильтиюш, близ дер. Ульбино, выходят песчано-глинистые образования яркой толщи с *Syringothyris cuspidata* (Mart.), *Spirifer subgrandis* Rotai, *Fusella cf. ussiensis* (Tolm.), *Dictyoclostus semireticulatus* (Mart.), *Nucula oblonga* M'Coy, *N. gibbosa* Flem., *Polidevicia tomiensis* Lapsch., *P. attenuata* (Flem.), *Pseudoaam-mussium purvesi* Dem. и др.

### Визейский и серпуховский ярусы

Визейско-серпуховские отложения в Кузнецком и Горловском бассейнах в нижней части представлены известняками подъяковского горизонта, в верхней – терригенными отложениями верхотомского горизонта, евсеевской и ельбашинской свитами. В Северном Алтае терригенные отложения начинаются с середины и на юге Центрального Алтая – с основания подъяковского горизонта. В карбонатных отложениях визе по фораминиферам выделяются покы *Endothyra excelsa* – *Palaeospiroplectammina diversa* и *Eoendothyranopsis ermakiensis*.

### Подъяковский горизонт

Люди *Endothyra excelsa* – *Palaeospiroplectammina diversa*

В Кузнецком бассейне отложения рассматриваемого возраста представлены щегловской и семенушкинской толщами.

Щегловская толща сложена зелеными, реже пестроцветными туффитами, туфопелитами, туфогенными алевролитами и песчаниками с редкими прослойками известняков; распространена она везде, кроме Присалайрской полосы, и имеет мощность от 80 до 185 м (Сарычева и др., 1963). В известняках щегловской толщи присутствуют *Endothyra paraprisca* Schlyk., *Globoendothyra cf. tomiliensis* (Grozdz.), *G. mikutzkii* Leb., *G. inconstans* Grozd. et Leb., *G. aff. ischimica* Raus., *Eoendothyranopsis aff. transita* (Lip.), *E. pressa* (Grozdz.), *E. ermakiensis* (Leb.), *Haplophragmella?* sp. Из брахиопод отмечается присутствие *Schuchertella ovata* Tolm., *Chonetes artyshtensis* Sok., *Ch. ischimicus tomilensis* Sok., *Camarotoechia mutata* Hall и *Syringothyris cuspidata* (Som.) (Сарычева и др., 1963). По характеру фауны эти отложения могут быть сопоставлены с зоной *Eoparastaffella* – *Eoendothyranopsis* европейской части СССР.

В западной, присалайрской части Кузнецкого бассейна щегловской толще по возрасту соответствует семенушкинская толща (50–70 м), сложенная переслаиванием известняков и туфогенных пород. Из фораминифер в ней преобладают мелкие эндотиры: *Endothyra prisca* Raus. et Reitl., *E. vicina* (Schlyk. et Gan.), *E. paraprisca* Schlyk., *E. similis* Raus. et Reitl., *E. altilis* Orl. и др.; много мелких *Endothyra tantilla*

Schlyk., E. exelsa Gan., E. excelsaformis Bog. sp. nov.; многочисленны тетратаксисы (*Tetrataxis eominima* Raus., *T. brazhnikovae* Bog. et Juf., *T. immatura* Grozd. et Leb., *T. paraminima* Viss., *T. perfidus* Malakh. Из ээндотиранопсисов встречаются лишь мелкие формы из группы *Eoendothyranopsis transita* (Lip.) и из глобоэндотир - *Globoendothyra ex gr. parva* (N. Tchern.) и единичные *G. arcuata* (Grozd. et Leb.); присутствуют *Palaeospirolectammina diversa* (N. Tchern.). Более многочисленны здесь также брахиоподы: *Rhipidomella cf. altaica* Tolm., *Chonetes ischimicus* Nal., *Overtonia borodencovensis* (Tolm.), *Camarotoechia mutata* (Hall.), *Syringothyris sibirica* Sok., *Neospirifer? tolmatschevi* (Rotai), *Composita megalia* Tolm., *C. oblonga* Tolm. (Сарычева и др. 1963).

На юго-востоке Кузнецкого бассейна одновозрастные отложения представлены вулканомитовыми песчаниками и алевролитами с прослойми туфов и известняков с редкими остракодами и брахиоподами (*Tomilia khalfini* Sar., *Paraparchites suborbiculatus* (Münst.)) (150-185 м).

В восточной части Кузнецкого бассейна, на Белоосиповском месторождении, в зеленых сланцах нижней части подъяковского горизонта встречены миоспоры *Dictyotrilites semirotundus* (Waltz.) Kedo, *Punctatospores platyrugosus* (Waltz.) Oschurkova, *Umbonatisporites sibiricus* (Pash.) Pash. comb. nov., *Echinospores multisetus* (Luber) Luber, *Neogemina* sp.

В Северном Алтае примерно тот же возраст имеют слои с *Endothyra excelsaformis* (40-70 м), выделенные в составе черемшанской свиты.

Непосредственно на известняках верхнего турне в северной части Ануйско-Чуйского синклиниория в Черемшанской синклинали залегают серые и темно-серые слоистые известняки. Известняки представлены теми же, что и в нижележащих слоях с *Septatournayella evoluta*, детритовыми и шламово-детритовыми криноидно-мшанковыми слабо алевритистыми разностями с фораминиферами, эхиноидеями, брахиоподами, остракодами и спикулами губок. Детрит почти целиком слагает породу, лишь в отдельных участках в значительном количестве наблюдается мелкозернистый или темный микрозернистый карбонатный цемент.

Из фораминифер в этой части разреза найдены: *Earlandia elegans* (Raus. et Reitl.), *E. cf. moderata* (Malakh.), *E. vulgaris* (Raus.), *E. vulgaris* var. *minor* (Raus.), *Septaglomospiranella* sp., *Chernyshinella cf. tumulosa* Lip., *C. paucicamerata* Lip., *Endothyra cf. similis* Raus. et Reitl., *E. amplis* Schlyk., *E. finitima* Voiz., *E. aff. ovoidea* Voiz., *E. wjasmensis* Can., *E. excelsaformis* Bogush sp. nov., *Planoendothyra cf. arta* (Leb.), *P. aff. compta* (Schlyk.), *Plectogyrina cf. affecta* Ros., *Globoendothyra ex gr. parva* (N. Tchern.), *G. aff. tumida* Voiz., *G. cf. tomiliensis* (Grozd.), *Eoendothyranopsis pressa* (Grozd.), *Eoendothyranopsis* sp. и различные тетратаксисы. Присутствующие в комплексе мелкие *Endothyra wjasmensis* (Can.), *E. excelsaformis* Bog. sp. nov., а также *Globoendothyra ex gr. arcuata* (Grozd. et Leb.), *Eoendothyranopsis pressa* (Grozd.), характерные для подъяковского горизонта, встречены совместно с перешедшими из турне чернишнеллами, септагломоспирланеллами и планоэндотирами, что заставляет относить их к визе и сопоставлять с самой нижней частью этого яруса, с семенушкинской и щегловской толщами Кузбасса, с которыми рассматриваемые слои имеют много общих видов.

Из остракод найдены *Paraschmidtella* sp., *Shemonella suborbiculata* (Münst.), *Microcheilinella* sp., *Covellina* aff. *cornuta* Busch., *C. aff. benniei* var. *intermedia* (J. K. et B.), *Praepilatina truncatiformis* (Zan. et Busch.), *Bairdia* aff. *nikomagensis* var. *delicata* Tschig., *B. brevis* var. *janesi* Posn., *B. quasikuznecovae* Busch., *B. galeiformis* Zan. По заключению Л. С. Бушминой, виды этого комплекса распространены в отложениях фоминского - подъяковского горизонтов Кузнецкого бассейна и в визе Русской платформы и Урала.

### Лона *Eoendothyranopsis ermakiensis*

В Кузнецком бассейне лона представлена мозжухинской толщей, в Северном Алтае - верхней подсвитой черемшанской свиты.

Мозжухинская толща (20-95 м) в северной, северо-западной и юго-восточной частях Кузнецкого бассейна (район Артышты) состоит из трех пачек. Нижняя и верхняя пачки сложены оолитовыми, копрогенным и ортонелловыми известняками, средняя состоит из дегритусовых известняков (Сарычева и др., 1963).

Глобоэндотиро-ээндотиранопсисовый комплекс фораминифер мозжухинской толщи включает все виды, свойственные щегловской толще и, кроме того, *Globoendothyra cf. nevskiensis* (Leb.), *Eoendothyranopsis subtilis* M. F. Sol., *Tetrataxis cf. brazhnikovae* Bog. et Juf., *T. cf. acutiformis* Pot., немногочисленные вицинесферы, эрландин и единичные чернишнеллы (?). Кораллы: *Lithostrotion affine* Flem., *L. irregulare* Phill., *Caninia ussowi Gabunia*, *C. ticticensis* Tolm.; мшанки: *Tabulipora rotata* Tr., *Petalothyra tomensis* Tr., *Fenestella rufa* Ulr., *F. multispinosa* Ulr., *F. serrula* Ulr., *F. triserialis* Ulr., *Hemitrypa proutana* Ulr., *H. microfrenestrata* Tr., *Polypora spininodata* Ulr.; брахиоподы: *Schuchertella tomilensis* Tolm., *S. ovata* Tolm., *S. plana* Sok., *Pseudodoorthotetes borodencovensis* Sok., *Streptorhynchus costatum* Sok., *S. ruginosum parvum* Sok., *Chonetes artshtensis* Sok., *C. ischimicus tomilensis* Sok., *Setigerites altonensis* (Norw. et Pratt.) и др. (Сарычева и др., 1963; Добролюбова и др., 1966; Гризина, 1958).

По характеру фораминифер, кораллов, брахиопод отложения лоны *Endothyra excelsa* - *Palaeospirolectammina diversa* и *Eoendothyranopsis ermakiensis*, т.е. подъяковского горизонта в целом, могут быть сопоставлены с верхней частью малиновского подъяруса, яснополянским и большей частью окского подъяруса Русской платформы, в объеме зон *Eoparastaffella*. - *Eoendothyranopsis* - нижней части зоны *Eostaffella ikensis*.

В западной присалаирской части Кузнецкого бассейна в мозжухинской толще развит эндотиро-тетратаксисовый комплекс фораминифер, переходящий из семенушкинской толщи: *Earlandia ex gr. vulgaris* (Raus. et Reitl.), *Endothyra prisca* Raus. et Reitl., *E. cf. similis* Raus. et Reitl., *E. altilis* Orlova, *Endothyra cf. tantilla* (Schlyk.), *Endostaffella parva* (Moell.), *Globoendothyra arcuata* Grozd. et Leb., *Eoendothyranopsis ex gr. transita* (Lip.), *Tetrataxis* aff. *dzhezkazganicus* Vdov. и др.

На юге и юго-востоке Кузнецкого бассейна, где нижняя и верхняя пачки мозжухинской толщи сложены преимущественно микрозернистыми из-

вестняками и известковистыми туфопелитами, и средняя гастроподово-пелепи-  
подовыми и остракодовыми известняками, фораминифер нет, а другие груп-  
пы представлены сильно обедненными комплексами.

Верхняя подсвита черемшанской свиты или слои с мшан-  
ками. В Северном Алтае, в северной части Ануйско-Чуйского синкли-  
ниория к пачке *Eoendothyranopsis eremakiensis* условно отнесены слои  
с мшанками (46-70 м).

Выше слоев с *Endothyra excelsaformis*, представленных из-  
вестняками с разнообразной фауной, в Черемшанской синклинали лежит спло-  
бо обнаженная терригенно-карбонатная толща пород, отличающаяся от подсти-  
лающих характерной зеленовато-серой окраской. Эта толща слагает верхнюю,  
почти горизонтальную часть гребня — мульду синклинали. Преобладают алев-  
ролиты зеленовато-серые известковистые, состоящие в основном из угловатых  
зерен кварца и карбоната; цемент пелитоморфный известковистый. Встре-  
чается органогенный дегрит, плохо сохранившиеся остатки мшанок, криноидей и брахиопод. Известники алевритистые зеленовато-серые комковатые с  
органогенным дегритом, состоящим из остатков мшанок, криноидей, брахио-  
под, остракод и фораминифер *Earlandia*. Встречаются прослои более плот-  
ных известняков с члениками криноидей, проблематикой *Salebra* и други-  
ми органическими остатками, с мелко- и среднезернистым кальцитовым це-  
ментом.

Мшанки сильно вышелоченные. Найденные почти в самых верхах разреза  
фораминиферы *Earlandia* и проблематичные остатки *Salebra* не  
встречаются в Кузнецком бассейне выше подъяковского горизонта, чем опре-  
деляется верхняя возрастная граница слоев с мшанками, слагающих верхнюю  
часть черемшанской свиты (Богуш и др., 1978).

В Горловском бассейне и в Северо-Западном Алтае в ви-  
зейском ярусе выделяются более крупные подразделения, соответствующие по  
объему подъяковскому горизонту Кузнецкого бассейна. В Горловском бассей-  
не это беловская свита, в Северо-Западном Алтае слои с *Cavellina ben-  
niei* var. *intermedia*.

Беловская свита в Горловском бассейне выделена А.И. Казен-  
новым (1973). Стратотип ее расположен на р. Выдрихе в 1,0-3,2 км ниже  
с. Белово. Свита сложена известняками, известковистыми аргиллитами и алев-  
ролитами. Известники биоморфно-дегритовые и дегритовые. В северо-восточ-  
ной части бассейна в известняках наблюдается резкое увеличение примеси  
терригенного материала и появляются прослои сильно известковистых песча-  
ников. Мощность свиты 330 м. С ниже- и вышележащими отложениями по-  
роды свиты имеют согласные границы и лишь на северо-востоке бассейна  
размыты иногда полностью.

По А.И. Казеннову (1973), беловская свита по литологическим призна-  
кам разделяется на три пачки.

Нижняя, алеврито-известняковая, пачка (40 м) сложена криноидно-мшан-  
ковыми и мшанково-полидегритовыми известняками и глинистыми алевролитами,  
переполненными криноидиями, мшанками, брахиоподами и фораминиферами.

Средняя, известняково-алевритовая, пачка (214 м) сложена известня-  
ками и алевролитами с редкими остатками фауны.

Верхняя, глинистая, пачка (76 м), выдержанная по площади, по обилию  
мшанок может служить хорошим маркирующим горизонтом. По литологичес-  
ким признакам и обилию мшанок она сходна с верхней подсвитой черемшан-  
ской свиты Северного Алтая (см. выше).

Из фораминифер в беловской свите определены *Vicinesphaera squa-  
lida* Antrop., *Earlandia* cf. *elegans* (Raus. et Reitl.), *E. cf.  
moderata* Malakh., *Endothyra ex gr. prisca* Raus. et Reitl., *Pla-  
noendothyra* cf. *rotai* (Dain), *P. aff. delecta* (Leb.), *Tetrata-  
xis brazhnikovae* Bog. et Juf., *T. aff. paraminima* Viss., *Archae-  
discus?* sp., *Globoendothyra* aff. *mikutzkii* Leb., *G. cf. arcua-  
ta* (Leb.), по которым можно говорить о соответствии ее подъяковскому  
горизонту в целом (табл. 3).

Р.Н. Бенедиктовой отсюда определены брахиоподы *Rhipidoniella al-  
taica* Tolm., *Schizophoria resupinata* (Mart.), *Schuchertella  
plana* Sok., *Streptorhynchus ruginosum* (Hall et Cl.), *Chone-  
tes ischimicus* Nal., *Stegacanthia sibirica* (Sar.), *Camarotoe-  
chia fallax* Peetz., *Spirifer subgrandis* Rotai, *S. acceptus*  
Besn., *Spiriferina concentrica* Jan., *Neospirifer tomskiensis*  
Ben., *N. derjawini* (Jan.), *N. tolmatschewi* (Rotai), *Torynifer  
pseudolineatus* asiatica Besn., *Punctospirifer kusbassica* Besn.,  
*Eumetria* cf. *serpentina* (Kon.), *Beiecheria fernglensis* (Weller),  
*Pseudosyrinx* cf. *plenus* Hall. Среди них преобладают виды, общие с  
подъяковским горизонтом Кузнецкого бассейна, а кроме них формы, свойст-  
венные фоминскому (*Stegacanthia sibirica* (Sar.), *Camarotoechia  
fallax* Peetz, *Spirifer acceptus* Besn.) и верхотомскому горизон-  
там (*Streptorhynchus ruginosum* (Hall et Cl.), *Neospirifer de-  
rjawini* (Jan.) и др. (Сарычева и др., 1962). Таким образом, состав  
брахиопод подтверждает соответствие беловской свиты подъяковскому гори-  
зонту. Из мшанок определены *Fenestella ingloria* Tr., *F. bugunien-  
sis* Nik. и *F. nododorsalis* Ulr. и из пелепидов *Polidevcia* sp., *Pen-  
tagrammysia* sp. и *Sanguinolites angulatus* Kon. (Казеннов, 1973).

Верхней части подъяковского горизонта Кузнецкого бассейна в Горловс-  
ком бассейне соответствует нижняя часть выдрихинской свиты. Установлен-  
ная А.И. Казенновым (1973), она сложена частым переспаванием зеленова-  
то- и темно-серых алевролитов, аргиллитов и песчаников с редкими линза-  
ми глинистого известняка в основании. В свите выделяются три пачки, из  
которых с верхней частью подъяковского горизонта должны быть сопоставле-  
ны нижняя алевролито-аргиллитовая пачка и нижняя часть средней алевроли-  
то-песчаной пачки с прослоями известковистых пород и обильной фауной.

Нижняя алевролито-аргиллитовая пачка (365 м) представлена извест-  
ковистыми породами с горизонтальной слоистостью. Из брахиопод отсюда  
определенны общие с подъяковским горизонтом *Chonetes ischimicus kus-  
bassicus* Sok., *Dictyoclostus irsuensis* Serg., *D. ex gr. roso-  
novaee* Sar., *Tomilia khalfini* Sar., *Rotaia sibirica* (Rotai), *Bra-  
chythyris suborbicularis* Hall, *Spiriferina octoplicata* Jan., *Neo-  
spirifer kumpani* (Rotai), *N. derjawini* (Jan.) (Казеннов, 1973).

Средняя алевролито-песчаная пачка сложена алевролитами, песчаника-  
ми и аргиллитами неравномерно известковистыми, в нижней части с обиль-  
ными остатками брахиопод (100 м?). Пачка состоит из мезоритмов, зале-  
гающих на никележащих с размывом.

Верхние мезоритмы средней пачки, содержащие остатки форы, вероят-  
нее всего, уже должны сопоставляться с нижней частью верхотомского гори-  
зонта, также имеющего отчетливую границу с подъяковским горизонтом.

Распространение форманинфера между карбонатами Средней Сибири

### Таблица 3

三  
卷之三

1	2	3	4	5	6	7	8	9	10	11	12	13	14	15	16	17	18
<i>Septabrunsiina krainica</i> (Lip.)	+	+															
<i>Kingirica</i> (Reitl.)																	
<i>sibirica</i> Bog. sp. nov.	+	+															
<i>minuta</i> (Lip.)	+	+															
aff. <i>donica</i> Lip.																	
<i>postchusovensis</i> Lip.																	
<i>Glomospiranella rara</i> (Lip.)	+																
(?) <i>cf. asiatica</i> Lip.																	
<i>Septaglomospiranella grozdilovae</i> Pojark.	+																
<i>orbiculata</i> Bog.																	
<i>primaeva</i> (Raus.)	+																
<i>kazakhstanica</i> Reitl.																	
<i>postkazakhstanica</i> Brazhn.	+																
<i>compressa</i> Lip.	+																
<i>aleussica</i> Bog.	+																
<i>quadriloba</i> Dain	+																
aff. <i>endothyroides</i> (Dain)																	
<i>dainaе</i> Lip.	+																
<i>oviformis</i> Brazhn.	+																
<i>Chernyshinella glomeriformis</i> (Lip.)	+																
<i>paraglomeriformis</i> Lip.	+			*													
<i>tundrica</i> Bog. sp. nov.	+																
<i>paucicamerata</i> Lip.	+																
<i>tumulosa</i> Lip.	+																
<i>multicamerata</i> Lip.	+																
aff. <i>multicamerata</i> Lip.	+																
<i>cf. kipchakensis</i> Lip.																	
<i>Tournayellina beata</i> (Malakh.)	+																

Продолжение табл. 3

1	2	3	4	5	6	7	8	9	10	11	12	13	14	15	16	17	18
<i>Granuliferella nana</i> (Reitl.)	+																
<i>sibirica</i> Bog.																	
<i>borealis</i> Bog. sp. nov.	+																
<i>solida</i> (Coriol et Lys)	+																
<i>Palaeospirolectammina tscher-</i>																	
<i>nyshiniensis</i> (Lip.)	+																
<i>globata</i> Lip.	+																
aff.																	
<i>diversa</i> (N. Tchern.)	+																
<i>Endothyra parakosvensis</i> Lip.	+																
antiqua var. <i>concavamera-</i>																	
<i>ta</i> Lip.	+																
<i>chernyshinelliformis</i> Lip.	+																
<i>latispiralis</i> Lip.																	
<i>piluginensis</i> Lip.	+																
<i>kosvensis</i> Lip.	+																
aff.																	
<i>abb kosvensis</i> Raus.	+																
<i>ex gr. recta</i> Lip.	+																
<i>tuberculata</i> Lip. var. <i>magna</i> Lip.	+																
<i>juncta</i> Voiz.																	
<i>inflata</i> Lip.	+																
<i>quaesita</i> Gan.																	
<i>inopinata</i> Schlyk.																	
<i>wjasmensis</i> Gan.																	
<i>paraprissa</i> Schlyk.																	
<i>grata</i> Voiz.																	
<i>prisca</i> Raus.																	
<i>distincta</i> Schlyk.																	
aff. <i>distincta</i> Schlyk.																	

	1	2	3	4	5	6	7	8	9	10	11	12	13	14	15	16	17	18
<i>similis</i> Raus. et Reitl.																		
<i>attilis</i> Orlova	+																	
<i>amplis</i> Schlyk.																		
<i>nebulosa</i> Malakh.																		
<i>excelsa</i> Gan.																		
<i>tantilla</i> Schlyk.																		
<i>excelsaformis</i> Bog. sp. nov.																		
<i>honestata</i> Schlyk.																		
<i>chumyshensis</i> Leb.																		
<i>perfida</i> Leb.																		
<i>kjutljungdensis</i> Bog. sp. nov.																		
<i>aff. pepeljaevi</i> Bog. et Juf.																		
<i>Planoendothyra rotai</i> (Dain)																		
<i>aff. rotai</i> (Dain)																		
<i>compta</i> (Schlyk.)																		
<i>aff. compta</i> (Schlyk.)																		
<i>arta</i> (Leb.)																		
<i>obscura</i> Brazhn.																		
<i>aff. procera</i> (Schlyk.) x																		
<i>diserta</i> (Leb.)																		
<i>aff. diserta</i> (Leb.)																		
<i>aff. umbonata</i> Bog. et Juf.																		
<i>delecta</i> (Leb.)																		
<i>Plectogyrina somichaensis</i> Leb.																		
<i>admiranda</i> Leb.																		
<i>Globoendothyra parva</i> (N. Tchern.)																		
<i>parva</i> ukrainica Vdov.																		
<i>ex gr. parva</i> (N. Tchern.)																		
<i>kuzbassica</i> Bog. sp. nov.																		

## Окончание табл. 3

<i>cf. dilata</i> Gan.																		
<i>inconstans</i> Grozd.																		
<i>aff. inconstans</i> Grozd.																		
<i>ischimica</i> Raus.																		
<i>elegantula</i> Durk.																		
<i>mikutzkii</i> Leb.																		
<i>arcuata</i> (Grozd. et Leb.)																		
<i>nevskienensis</i> (Grozd. et Leb.)																		
<i>ignota</i> Bog. sp. nov.																		
<i>Eoendothyranopsis transitia</i> (Lip.)																		
<i>pressa</i> (Grozd.)																		
<i>ermakiensis</i> Leb.																		
<i>cf. lebedevaiae</i> M.F.Sol.																		
<i>subtilis</i> M.F.Sol.																		
<i>aff. subtilis</i> M.F.Sol.																		
<i>Quasiendothyra communis</i> (Raus.)																		
<i>irregularis</i> (Lip.)																		
<i>kobeitusana</i> kobeitusana (Raus.)																		
<i>kobeitusana</i> kobeitusana mi-																		
<i>rabilis</i> N. Tchern.																		
<i>Endostaffella parva</i> (Moell.)																		
<i>Tetrataxis eominima</i> Raus.																		
<i>brazhnikovae</i> Bog. et Juf.																		
<i>media</i> Viss.																		
<i>digna</i> Grozd.																		
<i>paraminima</i> Viss.																		
<i>angusta</i> Viss.																		
<i>cf. acutiformis</i> Pot.																		
<i>aff. paraminima</i> Viss.																		
<i>aff. dzhedzakaganicus</i> Vdov.																		
<i>Archaeodiscus(?)</i> sp.																		

Примечание. Знак + со звездочкой - форма или вид не расщепленные; x - форма встреченна только в Северо-Запад-

В Северо-Западном Алтае, севернее с. Курья, отложения, одновозрастные подъяковскому горизонту, представлены слоями с *Cavellina benniei* var. *intermedia*, к которым отнесена верхняя часть разреза праволоктевской свиты (около 40 м). Детритовые и оолитовые известняки этой части свиты содержат фораминиферы *Septatournayella* (*Neoseptatournayella*) *repentina* Bogush sp. nov., *Tetrataxis* sp., *Earlandia minima* (Bir.), *E. cf. elegans* (Raus. et Reitl.), *E. vulgaris* (Raus.), *Eoendothyranopsis* sp., *Globoendothyra* sp. и остракоды *Moorites* sp., *Kirkbyella* sp., *Sansabella* sp., *Beyrichiopsis* sp., *Knoxiella* sp., *Glyptopleura* aff. *artyshensis* Busch., *Shemonaella suborbiculata* (Mün.), *Scrobicula* aff. *concentrica* Zan., *Cavellina* aff. *phillipsiana* var. *carbonica* (J. et K.), *C. benniei* var *intermedia* (J. K. et B.), *C. forschii* Posner, *C. attenuata* (J. et K.), *Microcheilinella* sp., *Carbonita* aff. *altilis* (J. et K.), *Bairdiocyparis okensis* (Posn.), *Praepilatina truncatiformis* (Zan. et Busch.), *Bairdia* sp., *Altaecypris* sp.

Комплекс фораминифер состоит из форм, свойственных верхней части фоминского – подъяковскому горизонтам Кузнецкого бассейна. Остракоды представлены видами средневизейских отложений Русской платформы, Карагандинского и Кузнецкого бассейнов и новыми видами (Богуш и др., 1978). Расположенные выше слоев с *Planoendothyra compta* и *Tetrataxis*, одновозрастных верхней части фоминского горизонта Кузбасса, рассматриваемые отложения должны быть сопоставлены с подъяковским горизонтом.

#### Верхотомский горизонт

Отложения горизонта выделяются в Кузнецком и Горловском бассейнах и Ельцовском синклиниории.

В Кузнецком бассейне горизонт сложен в основном терригennыми, карбонатно-глинистыми и туфогенными породами (120–250 м), только ча северо-западе области содержащими мшанки и брахиоподы. Нижняя граница верхотомского горизонта отчетливая, проводится в основании терригеннои пачки пород, залегающей на мозжухинском известняке. Верхняя граница нерезкая, проводится по непостоянному прослою конгломерата, приуроченного к основанию евсеевской свиты (Сарычева и др., 1963).

Брахиоподы: *Chonetes ischimicus kusbassicus* Sok., *Dictyoclostus irsuensis* Serg., *Tomilia khalfini* Sar., *T. verhotomica* Sar., *Camarotoechia mutata* Hall, *Rotaia sibirica* (Rot.), *Verhotomia plenoides* Sok., *V. verhotomica* Sok., *Neospirifer derjawini* (Jan.), *Eomartiniopsis globeriformis* Besn., *Composita verhotomica* Besn. (Сарычева и др., 1963). Комплекс брахиопод в основном состоит из местных форм. Присутствие в нем *Camarotoechia mutata* Hall и *Dictyoclostus irsuensis* Serg. указывает на визейский возраст. Из других форм *Neospirifer derjawini* (Jan.), кроме верхотомского горизонта и каэзовской свиты Кузнецкого бассейна, известен в овчанской свите Сетте-Дабана (верхи нижнего карбона), а *Verhotomia plenoides* Sok. помимо овчанской свиты встречается в тиксинской сви-

те Северного Хараулаха. Учитывая это, а также положение верхотомского горизонта в разрезе (выше аналогов окского подъяруса), возраст его, вероятнее всего, должен быть определен в пределах верхней части окских – нижней части серпуховских отложений.

Определен богатый комплекс миоспор. Доминируют миоспоры с крупнобугорчатой экзиной из рода *Verrucosporites*. Постоянно и в довольно значительном количестве отмечаются морфологически сложно устроенные миоспоры, которые большинство палинологов относят к спорам лепидофитов (роды *Neogemina*, *Vallatisporites*, *Densosporites* и др.). Встречены различные виды из родов *Geminospora*, *Camptotriletes*, *Knoxisporites*. Следует отметить следующие виды: *Verrucosporites rarituberculatus* (Sadk.) Luber, *V. scrobiculatus* (Luber) Luber, *V. verrucatus* Drjagina sp. nov., *Vallatisporites acerosus* Petersson sp. nov., *Lycospora breviapiculata* (Luber) Luber, *Trematozonotriletes variabilis* (Waltz.) Ischenko.

В Горловском бассейне к верхотомскому горизонту относится верхняя часть мозжухинской свиты, начиная с верхней части средней пачки. Залегающие на нижележащих отложениях с размывом, отложения верхней части средней пачки содержат прослои углистых аргиллитов с растительным детритом и отпечатками корней растений. Из растительных остатков отсюда определены *Adcanidium chacassicum* Radcz. (*Angaropteridium chacasicum*), *Cardiopferoides* sp.

Верхняя алевролито-песчано-угллистая пачка (240 м) сложена песчаниками и углистыми аргиллитами. Из брахиопод Р.Н. Бенедиктовой отсюда определены *Streptorhynchus ruginosum ruginosum* (Hall et Cl.), *Orulgania plenoides* (Sok.), *O. verhotomica* (Sok.), *Neospirifer cf. kumpani* (Rotai), *N. derjawini* (Jan.), *Torynifer microspinosis* Ben., *Tomiopsis plicata* (Mon.), *T. cf. cumpani* (Jan.). О.А. Бетехтиной отсюда приводятся пелециподы *Aviculopecten khalfini* Lap., *Streblochondria elzovica* Lap. и А.В. Суховым растительные остатки *Sublepidodendron kemeroiensis* (Chachl.) An. et Mikh. (Казенинов, 1973). Брахиоподы верхней пачки обнаруживают полное сходство с верхотомским горизонтом Кузнецкого бассейна. Остальные органические остатки этому не противоречат.

В Колывань-Томской зоне подъяковскому и верхотомскому горизонтам соответствует лагерносадская толща. По Р.Н. Бенедиктовой (1962), она сложена пиритизированными глинистыми и алевролито-глинистыми сланцами. В верхних горизонтах имеются прослои сидеритов. Фауна редкая, приурочена в основном к верхней части разреза. Из органических остатков известны *Neospirifer derjawini* (Jan.), *N. tomskiensis* Bened., *Pseudosyrinx plenus* (Hall.), *Syringothyris cf. texta* Hall, *Schuchertella tomskiensis* Jan., *Productus granulosus* Phill., *Dictyoclostus semi-reticulatus* (Mart.), *Echinoconchus punctatus* (Mart.), *Fenestella plebeia* M'Coy, *F. membranacea* Phill., *F. veneris* Fisch., *Polypora sibirica* Jan., *Aviculopecten tabulatus* M'Coy, *A. plicatilis* Sow., *A. tomskiensis* Lapsch., *Parallelodon sibiricus* Jan., *Myalina cf. pernoides* Portl., *Sanguinolites tricostatus* Portl. и др.

## Верхняя часть серпуховских отложений

В Кузнецком и Горловском бассейнах, Ельцовском синклиниории и Колывань-Томской зоне верхняя часть серпуховских отложений повсеместно представлена мелководными терригеническими образованиями, обычно отделенными от нижележащих перерывом в осадконакоплении и размывом, с которым связано появление конгломератов.

В Кузнецком бассейне к этому возрасту относятся евсеевская и нижняя часть каезовской свиты.

Евсеевская свита (150–300 м) сложена песчано-глинистыми отложениями. Граница ее с верхотомским горизонтом нерезкая и условно проводится по "базальному" конгломерату, имеющему непостоянную мощность и линзовидное строение.

Нижняя часть свиты образована плохо отсортированными песчаниками с прослойями алевролитов и аргиллитов. Из органических остатков встречены лепидофиты *Lophiodendron turganense* Zal., *Angarodendron obrutschevii* Zal., *Tomiodendron ostrogianum* (Zal.) Radcz., *T. kemeroviense* (Chachl) Radcz., *T. tetragonum* Gozel., *Abacodon lутuginii* Radcz., *A. anomalum* (Neub.), *Siberiodendron elongatum* Radcz., птеридоспермы *Aphlebia ostrogiana* Gorel., *Angariopteridium cardiopterooides* (Schm.) Zal., *A. abaeanum* Zal., членистостебельные и др. (Бетехтина, Горелова, 1975). По тем же данным, фауна в ней редкая и представлена главным образом мелкими эвригалинными формами брахиопод (*Chonetes*, *Lingula*) и мелкими эврифациальными формами двустворок рода *Polidevicia*: *P. attenuata* (Flem.), *P. turgida* (Men.) и др. По комплексу флоры отложения евсеевской свиты отвечают басандайской толще Колывань-Томской зоны.

Верхняя глинистая часть свиты охарактеризована брахиоподами *Chonetes shumardianus* Kon., *C. longispinus* Roem., *Leiorhynchus carboniferus polypleurus* Girty и пелециподами *Nuculavus gibbosus* Flem., *Polidevicia karagandensis* Tschern., *P. marianna* Smirn., *P. attenuata* (Flem.) и др. По брахиоподам и пелециподам эта часть разреза соответствует виже – намюру (Сарычева и др., 1963). Здесь же встречены неморские пелециподы басандайского комплекса (*Anthraconauta?* *multa* Bet., *A. electa* Bet., *Naiadites gibbosa* Bet.), сопоставляемого О.А. Бетехтиной (Бетехтина, Горелова, 1975) с намюром "A" Бельгии.

Каезовская свита сложена преимущественно песчаниками, реже аргиллитами и алевролитами. К основанию ее приурочен слой песчаника с морской фауной. Отсюда определены *Fenestella serratula* Ulr., *Lingula squamiformis* Phill., *Rhipidomella ostrogensis* Besn., *Schellwienella cf. crenistria* Phill., *Chonetes aff. ischimicus kusbassicus* Sok., *Fluctuaria undata* (Defr.), *Striatifera striata* (Fisch.), *Neospirifer derjawini* (Jan.), *N. kumpani* (Rotai) и др. (Сарычева и др., 1963).

Поскольку мшанками, брахиоподами и пелециподами охарактеризованы только нижние горизонты каезовской свиты в разрезе у Старой Балахонки, в то время как в других разрезах той же свиты встречены другие комплексы морских и неморских пелеципод, сходные с Вестфалом "A", и флора второго фитостратиграфического горизонта, во время формирования которого, по С.В. Мейену (1968), имело место вымирание лепидофитовой формации и ее

смена кордантовой, граница между отделами карбона в Кузнецком бассейне, очевидно, должна быть проведена немного выше основания каезовской свиты.

В Горловском бассейне отложения, одновозрастные евсеевской и нижней части каезовской свиты, представлены елбашинской свитой (Матвеевская, Иванова, 1960). Стратотип свиты не был установлен, в качестве лектостратотипа, А.И. Казенновым (1973) предложены разрезы по р. Выдрихе в 4,2–5,0 км от с. Белово и по скважинам на Колыванско-Харинском месторождении угля. Свита сложена песчаниками, аргиллитами и алевролитами с редкими прослойями углистых аргиллитов. К основанию свиты приурочены конгломераты или гравелиты. В отличие от нижележащих отложений для елбашинской свиты характерны более темный цвет, наличие растительного дегрита, слабая известковистость и редкая морская фауна.

В свите выделяются три пачки: нижняя – песчано-алевролитовая (151 м); средняя – аргиллито-песчаная (132 м) и верхняя – алевролитовая (220 м). Общая мощность свиты 500 м. В основании средней пачки А.И. Казенновым (1973) встречены брахиоподы и пелециподы: *Chonetes ischimicus* Nal., *Antiquatoria insculpta* (M.W.), *Camarotoechia* sp., *Leiohynchus carboniferus polypleurus* Girty, *Neospirifer* sp., *Torynifer* sp., *Posydonomya corrugata* Ether., *P. beicheri* Bron., *Posidoniella vetusta* (Sow.), *Polydevicia cf. attenuata* (Flem.). В верхней пачке С.Г. Гореловой с соавторами (1974) найдены и определены остатки флоры: *Chacassopteris concinna* Radcz. Среди брахиопод и пелеципод много форм, общих с евсеевской и нижней частью каезовской свиты Кузнецкого бассейна.

В Колывань-Томской зоне одновозрастные евсеевской – нижней части каезовской свиты отложения представлены басандайской толщиной (1500 м). К основанию ее приурочен горизонт содержащий гальки алевролито-глинистых пород. В составе толщи преобладают песчаники и алевролиты; глинистые породы играют подчиненную роль. В толще много горизонтов с брахиоподами, мшанками, реже пелециподами, криноидиями, кораллами, встречаются редкие горизонты с наземной флорой. По Р.Н. Бенедиктовой (1962), здесь имеются брахиоподы *Neospirifer tomskiensis* Bened., *N. derjawini* (Jan.), *Schuchertella tomskiensis* Jan., *Echinoconchus cf. punctatus* (Mart.), *Torynifer microspinosis* Bened., *T. sibiricus* Bened. По последним данным О.А. Бетехтиной (Бетехтина, Горелова, 1975), пелециподы представлены видами *Anthraconauta?* *multa* Brt., *Curvirostrina electa* Bet., *Anthraconaita subquadrata* Bet., *Naiadites gibbosa* Bet., имеющими большое сходство с видами из намюра "A" Бельгии. Флора, по Р.Н. Бенедиктовой (1962), представлена видами *Angarodendron obrutschevii*, *Asterocalamites charaeophylloides*, *Koretrophyllites vulgaris*, *Chacassopteris vulgaris*, *C. concinna*, *Cardiopteridium parvulum*, *Angaropteridium abacanum*, *A. vesicum*, *A. ovoides*, известными из верхотомского горизонта и евсеевской свиты Кузнецкого бассейна.

В Ельцовском синклиниории одновозрастные отложения представлены песчаниками, аргиллитами и алевролитами ельцовской свиты (600 м). Песчаники зеленовато-серые и буроватые с мшанками, брахиоподами, реже пелециподами, гастроподами и криноидиями. По Р.Н. Бенедиктовой (1962), отсюда определены *Neospirifer tomskiensis* Ben., *Brachythryris suborbicularis* (Hall), *Torynifer microspinosis* Ben., *T. sibiricus* Ben., *Spiriferina concentrica* Jan., *Cleiothytidina obmaxima*.

Распространение флоры в отложениях нижнего карбона  
Минусинских впадин (В.А. Аниьев, 1977 г.)

M:Chesney, *Polydevcia attenuata* (Flem.), *P. tomiensis miromzzeva* и другие формы, обнаруживающие большое сходство с фауной басандайской толщи окрестностей г. Томска.

### П. ВОСТОЧНАЯ ЧАСТЬ САЯНО-АЛТАЙСКОЙ ГОРНОЙ ОБЛАСТИ

В восточной части Саяно-Алтайской области нижнекаменноугольные отложения развиты на юге Красноярского края, где они совместно с девонскими отложениями выполняют Южно-Минусинскую, Сыдо-Ербинскую, Северо-Минусинскую и Назаровскую впадины Минусинского прогиба, и в Тувинской автономной области в пределах Тувинского прогиба, протягивающегося с юго-запада области до ее северо-восточных границ. Отложения нижнего карбона, кроме того, известны в двух сравнительно небольших впадинах, расположенных в Западном Саяне - Усинской и Еринатской. В настоящей работе мы охарактеризуем лишь два наиболее крупных района распространения нижнекаменноугольных отложений востока Саяно-Алтайской области.

#### Минусинский прогиб

Принятая в настоящей работе стратиграфическая схема нижнекаменноугольных отложений Минусинского прогиба разработана М.И. Грайзером (1967). Проведенные В.А. Аниевым геологические и фитостратиграфические исследования, а также монографическое изучение флоры, позволили дать дополнительное палеонтологическое обоснование этой схемы, несколько дополнять и детализировать ее (табл. 4).

Нижняя граница карбона проводится по подошве быстрыанской свиты, содержащей смешанные девонско-каменноугольные палеонтологические остатки<sup>\*</sup> нижнекаменноугольных рыб и верхнедевонских пепеципод (*Amnigenia catskillensis* Ven.). Растительные остатки представлены в основном формами, характерными для зоны этрен (*Cyclostigma kiltorkense* Haug. и др.), но в ее низах в виде крайне редкого исключения встречаются и типично девонские формы (*Archaeopteris halliana* (Goepp.) Dawson). Близкую палеонтологическую характеристику имеет вышеперечисленная алтайская свита, Камыштинская, самохвальская, кривинская свиты содержат флору турнейского яруса, а первая из названных свит - также турнейских брахиопод и остракод; в Кузнецком бассейне этим трем свитам соответствует тайдонский горизонт (Грайзер, 1967). Вышеперечисленная соломенская свита, коррелируемая с фоминским горизонтом Кузбасса, также относится к турнейскому ярусу, хотя содержащиеся в ней растительные остатки существенно отличаются от типично турнейской флоры подстилающих отложений: на этом уровне впервые появляются и получают широкое развитие крупноподушечные *Sublepidodendron alternans* (Schmalh.) An. et Mikh.

На основании флористических остатков и результатов сопоставления с разрезом Кузбасса (Грайзер, 1967) к визейскому ярусу отнесены ямкин-

\* Определения флоры проводились А.Р. Аниевым и Ю.В. Михайловой, а также В.А. Аниевым, ихтиофауны - Д.В. Обручевым, А. Матвеевой и Э.И. Воробьевой, брахиопод - А.Н. Сокольской, пепеципод - Б.В. Наливкиным, остракод - В.А. Чижовой.

Вид	Свиты									
	Тубинская	Быстрыанская	Алтайская	Камыштинская	Самохвальская	Кривинская	Соломенская	Ямкинская	Байновская	Подсийская
<i>Cyclostigma kiltorkense</i>	-●-●-									
<i>Pseudolepidodendropsis carneggianum</i>	-+-+--									
<i>Sphenophyllum subtenerium</i>	-x-									
<i>Archaeopteris halliana</i>	-●-○-									
<i>Pseudolepidodendron irrigischense</i>		-●-								
<i>Sphenophyllum sp.</i>		-x-			-○-					
<i>Aneimites acadica</i>		-x-								
<i>Adiantites ungeri</i>		-x-								
<i>Adiantites cardiopteroides</i>		-x-								
<i>Adiantites spectabilis</i>		-x-								
<i>Triphyllopteris rarinervis</i>		-x-						-●-		
<i>Ursodendron distans</i>	-○-	+--x-	-+					-x--x-		
<i>Lepidodendropsis hirmeri</i>	-○-	-●-								
<i>Caulopteris ogurensis</i>		-x-	-x-	-+				-x--x-		
<i>Sublepidodendron alternans</i>					-●-	-○-				
<i>Tomiodendron asiaticum</i>						-●-				
<i>Lepidodendropsis sp.</i>						-x-				
<i>Tomiodendron sp.</i>						-○-	-+-			
<i>Tomiodendron kemeriense</i>						-○-	-x-			
<i>Sublepidodendron anomalam</i>							-●-			
<i>Angarodendron obrutschevii</i>								-x-		
<i>Angaropteridium sp.</i>							-○-			
<i>Angaropteridium cardiopteroides</i>								-●-		

Приложение. Относительное количество растительных остатков: -○- единично, -x- мало, -+- много, -●- преобладание.

якая, байновская и подсийская свиты и к серпуховскому - нижняя часть конгломератовой.

## Турнейский ярус

### Нижний турне

Быстрынская свита выделена в 1951 г. Н.А. Беляковым и В.С. Мелешенко (Мелешенко, 1953). Ее стратотип расположен на правом берегу р. Енисей, приблизительно в 3 км ниже дер. Быстрой. Распространена во всех впадинах Минусинского прогиба.

Свита сложена серыми, желтовато-серыми, реже красновато-коричневыми туфами, туффитами, песчаниками, известняками и доломитами, в основании ее часто встречаются конгломераты и гравелиты. В некоторых районах свита подразделяется на три пачки (снизу): доломитово-известняковую, тонкослойистых туфов и туффитов, песчанико-туфогенную.

Быстрынская свита залегает согласно на тубинской свите верхнего девона. Граница между свитами местами постепенная, нечеткая, в подавляющем же большинстве – резкая, иногда со следами кратковременного осушения и размыва. Она фиксируется по смене красноцветных терригенных и карбонатных пород тубинской свиты серыми известняками или зеленовато-серыми доломитами, иногда подстилаемыми конгломератами. Верхняя граница быстрынской свиты менее отчетливая и проводится по появлению в разрезе характерных для вышележащей алтайской свиты песчаников полимиктового и грауваккового состава, большей частью красно-коричневого, реже желтого цвета.

Для пачки тонкослоистых туфов и туффитов северной части Минусинского прогиба характерно наличие ихтиофауны, определенной Д.В. Обручевым и А.А. Матвеевой как *Acanthodes lopatini* Rohon, *Gircalepidotus schmidti* Rohon, *Ganolepis gracilis* Woodw., *G. londicauda* Math., *Palaeobergia microlepis* (Berg.), *Oxypteriscus minimus* Matv., *Cycloptychius bidens* Matv., *Rhizodopsis savenkovi* Obr. Данный комплекс, по мнению Д.В. Обручева (1958), является нижнекаменноугольным.

В этой же пачке части растительные остатки: *Cyclostigma kiltorkense* Haugh., *Pseudolepidodendropsis carneggianum* (Heer) Schweizer, *Sphenophyllum subtenererrimum* Nath. Вместе с остатками вышележащей алтайской свиты они формируют первый, самый древний, комплекс раннекаменноугольных растений в Минусинском прогибе. Существо этого комплекса определяет его ядро, представленное доминантом – видом *Cyclostigma kiltorkense* Haugh. Данный комплекс растений довольно четко прослеживается во всех впадинах восточной части Саяно-Алтайской области, давая возможность установить в пределах нижнего карбона первую местную зону. Цикlostигмовая флора раньше считалась позднедевонской. Сейчас накопилось достаточно данных, позволяющих считать растения рода *Cyclostigma* скорее раннекаменноугольными. На основании изучения микроспор слоя с *C. kiltorkense* (тунгемская серия) на Медвежьем острове помещены в самые низы турне (Kaiser, 1970). В Минусинских впадинах, как только что было отмечено, этот вид встречен в быстрынской и алтайской свитах совместно с типично нижнекаменноугольными рыбами. Цикlostигмы также были обнаружены в тарханской свите Рудного Алтая, отнесенной по фауне мшанок, пелеципод и брахиопод к зоне этрен (Некорошев, 1958; Бубличенко, 1971). Присутствие остатков типа *Cyclostigma* в танской граувакково-сланцевой толще, кварцитовом горизонте аккер-брюхбергской серии, граувакках Зельке-мульде

в Гарце и новотроицком горизонте в Донбассе также подтверждает турнейский возраст цикlostигмовой флоры (Schwan, 1950; Steiner, 1959; Айзенверг, Бражникова, 1965).

Основание быстрынской свиты относится к типу фитостратиграфических границ, отражающих существенные перестройки в развитии растительных сообществ, тесно связанные с крупными изменениями физико-географических условий. Подобного типа рубежи обычно довольно четко устанавливаются по образованию фитоценозов качественно нового экологического облика. На границе девона и карбона в Минусинском прогибе произошла смена археоптерисовой флоры: лепидофитовой "формацией". В единственном местонахождении около с. Увалы в Северо-Минусинской впадине было обнаружено пять несколько отпечатков *Archaeopteris halliana* (Loepp.). Dawson посредственной сохранности.

В верхней пачке встречаются: рыбы *Ruscoctenion siberiacus* (Chab.) Vor., *Rhizodopsis savenkovi* Obr., пелециподы *Amnigenia catskillensis* Ven., остракоды *Eridoconcha socialis* Eichw. Эта фауна является смешанной: рыбы – каменноугольные, остракоды распространены в верхах девона и нижней части нижнего карбона Русской платформы (до малевского горизонта включительно). *A. catskillensis* – форма, встречающаяся в Северной Америке в серии катскилл верхнего девона.

Мощность быстрынской свиты изменяется от нуля в прибрежных частях прогиба (юго-запад Южно-Минусинской впадины, восток Северо-Минусинской) до 50–70 м – в центральной его части.

Алтайская свита выделена в 1943 г. А.В. Тыжновым и О.В. Тыжновой. Стратотип расположен по левому берегу Енисея у с. Алтай. Распространена во всех впадинах Минусинского прогиба. Представлена полимиктовыми и граувакковыми песчаниками и туфогенными породами, окрашенными в коричнево-красный, серовато-пиловый, желтый, желтовато- и зеленовато-серый цвета. Встречаются единичные прослои известняков, реже доломитов и алевролитов.

Граница с вышележащей камыштинской свитой фиксируется появлением пластов окремнелых известняков и светлой окраски фарфоровидных туфов и туффитов, а также изменением состава органических остатков.

В алтайской свите очень редко встречаются рыбы *Ruscoctenion siberiacus* (Chab.) Vor., *Rhizodopsis savenkovi* Obr. Растительные остатки представлены *Cyclostigma kiltorkense* Haugh., *Pseudolepidodendropsis carneggianum* (Heer) Schweizer, *Pteridophachis* (?) sp., *Rhacopteris* (?) sp. Упомянутая ихтиофауна встречается также в быстрынской и особенно часто в вышележащей камыштинской свите. Растения же, как уже отмечалось, входят в состав самого древнего комплекса в разрезе нижнего карбона Минусинского прогиба.

Мощность описываемой свиты изменяется от нуля на востоке Северо-Минусинской впадины (реки Карагульная, Сисим) до 130–135 м в Центральной части Южно-Минусинской впадины (дер. Каменка). В южной и юго-западной частях Минусинского прогиба она составляет 70–75 м.

### Верхний турне

К верхнему турне относятся камыштинская, самохвальская, кривинская и соломенская свиты; первые три сопоставляются с тайдонским и последняя с фоминским горизонтами Кузнецкого бассейна (Грайзер, 1967).

Камыштинская свита выделена в 1943 г. А.В. Тыжновым и О.В. Тыжновой под названием "быстрынская Штопша". В 1951 г. она была переименована Н.А. Беляковым и В.С. Мелещенко в надалтайскую свиту и в 1967 г. М.И. Грайзером, по рекомендации МСК, переименована в камыштинскую свиту. На р. Камыште - левом притоке р. Абакан, имеется хорошее обнажение этой свиты. Ее стратотип расположен на правом берегу Енисея, примерно в 1,5 км выше дер. Каменки. Распространена во всех впадинах Минусинского прогиба. Слагается серыми, желтыми, зелеными и лиловыми туфами, туффитами, песчаниками, известняками, реже конгломератами. Известняки сильно окремнелые, содержат многочисленные включения красного халцедона, а в Северо-Минусинской впадине - и флюорита. В виде пачек мощностью около 5 м известняки встречаются в нижней, а часто и в верхней частях свиты. Характерны замещения по простирианию и в вертикальном направлении известняков песчаниками, а особенно туфами и туффитами.

Верхняя граница камыштинской свиты проводится по исчезновению окремнелых известняков и фарфоровидных туфов и появлению грубозернистых, обычно косослоистых, песчаников, практически повсеместно содержащих комплекс растительных остатков, характерный для самохвальской свиты.

Камыштинская свита на севере Минусинского прогиба содержит редкие остатки брахиопод *Schellwienella sibirica* Sok., *Schellwienella* sp., остракод *Tulenia* (?) *minusinskensis* Tschig., T. (?) *koschkolensis* Tschig., *Carbonita skorobogatovensis* Tschig., C. aff. *acutangulata* Posn., *Paraparchites* sp. и др., филлопод *Asmussielia sibirica* Nov. Очень часто встречаются остатки р. 5 *Ruscnoctenion siberiacus* (Chab.) Vor., *Rhizodopsis savenkovi* Obr., реже *Acanthodes lopatini* Rohon, *Ganolepis gracilis* Woodw. Растительные остатки представлены следующими видами: *Pseudolepidodendron igrischense* (A. Ananiev) V. Ananiev, *Ursodendron distans* (Chachl.) V. Ananiev, *Sphenophyllum* sp., *Aneimites acadica* Dawson, *Adiantites ungeri* Read, *A. cardiopteroides* Read, *A. spectabilis* Read, *Triphylopteris rarineris* Read, *Lepidodendropsis hirmeri* Lutz. Из перечисленных форм для данной свиты наиболее характерна первая. Папоротниковые имеют резко подчиненное значение, в виде единичных отпечатков встречаются *Lepidodendropsis hirmeri* и *Ursodendron distans*. Доминирующий вид *Pseudolepidodendron igrischense* присутствует в разрезах турне Северо-Минусинской впадины только в отложениях камыштинской свиты и не встречается ни в подстилающих их породах алтайской свиты, ни в перекрывающих их породах самохвальной свиты. В Южно-Минусинской впадине этот вид также обнаружен в отложениях камыштинской свиты (правда, всего лишь только в одном местонахождении). Следует отметить, что в этом районе в некоторых разрезах вышележащей самохвальной свиты в незначительном количестве были обнаружены образцы, возможно, принадлежащие *Pseudolepidodendron igrischense*, но доказать это окончательно пока невозможно из-за отсутствия полноценного материала.

Таким образом, фактический материал позволяет установить в нижнем карбоне восточной части Саяно-Алтайской области вторую местную зону - *Pseudolepidodendron igrischense*. Возраст данного зонального комплекса определяется как турнейский. Виды *Adiantites ungeri*, *A. cardiopteroides*, *A. spectabilis*, *Triphylopteris rarineris* были описаны Ч. Ридом (Read, 1955) из осадков серии Поконо в Пенсильвании и Виргинии, слагающей низы системы Mississippian Аппалачской области США

и соответствующей части турнейского яруса Европы. Вид *Aneimites acadica* известен в отложениях группы Хортон в Восточной Канаде, которая также сопоставляется с частью турнейского яруса Европы (Bell, 1960). На турнейский возраст указывают и единичные остатки вида *Lepidodendropsis hirmeri*. Присутствие форм, сходных с *Pseudolepidodendropsis igrischense*, вероятнее всего, в турнейских отложениях, отмечается на Северо-Востоке СССР и в Монголии (Дурант, 1976). Вид *Ursodendron distans*, впервые появляясь в камыштинской свите (известно 1 местонахождение), заметное распространение получает в вышележащих самохвальной (14 местонахождений), кривинской (1 местонахождение) и соломенской (5 местонахождений) свитах турне Минусинских впадин.

Брахиоподы камыштинской свиты, по заключению А.Н. Сокольской, наиболее близки к малевско-упинским формам, а комплекс остракод, по В.А. Чижовой, сопоставим с упинско-черепетским Русской платформы.

Мощность камыштинской свиты в Южно-Минусинской впадине от 55 до 115 м, в более северных впадинах - от 40 до 70 м.

Самохвальная свита впервые выделена в 1943 г. А.В. Тыжновым и О.В. Тыжновой. Ее стратотип находится на левом берегу р. Енисей у горы Самохвал (вблизи г. Абакана). Распространена во всех впадинах Минусинского прогиба. Представлена зелеными, желтыми, коричневыми песчаниками, туфами и туффитами, иногда встречаются единичные прослои известняков. Самохвальные песчаники в основном грубозернистые и, как правило, с многочисленными растительными отпечатками.

Верхняя граница свиты проводится по появлению толщи туфов, туффитов с подчиненными прослойями известняков, слагающей кривинскую свиту. Самохвальная свита чрезвычайно насыщена остатками растений *Lepidodendropsis hirmeri* Lutz., *Lepidodendropsis* sp., *Ursodendron distans* (Chachl.) V. Ananiev, *Caulopteris ogurensis* (Schm.) An. et Mikh., *Pseudolepidodendron* aff. *igrischense* (A. Ananiev) V. Ananiev.

Основным представителем этого сообщества является первый из перечисленных видов, который ни в одном из разрезов не был обнаружен выше кривинской свиты. В последней он встречен только в одном местонахождении в Южно-Минусинской впадине в виде единичных остатков кнорриевидного облика. Очень редко встречающийся в породах камыштинской свиты и отложениях самохвальной свиты вид *Lepidodendropsis hirmeri* становится уже явно доминирующим как в количественном отношении, так и в отношении распространения (20 местонахождений в Минусинском прогибе). Заметное значение приобретает в самохвальной свите и вид *Ursodendron distans*. Растения самохвальной и вышележащей кривинской свит образуют комплекс, который очень четко прослеживается во всех впадинах восточной части Саяно-Алтайской области, давая возможность установить третью местную зону - *Lepidodendropsis hirmeri*. Турнейский возраст этого комплекса очевиден. Его основной вид впервые был описан из гейгенских спанцев около Гофа в Северной Баварии, возраст которых по фауне определяется как турнейский. Достоверные лепидодендроны встречены на восточном склоне Урала в отложениях, относящихся по спорам также к турне (Ананьев, Могилев, 1976). В Монголии в низах нижнего карбона отмечается присутствие остатков типа *Lepidodendropsis* (Дурант, 1976). Из отложений серии Поконо в США и группы Хортон в Восточной Канаде известны формы, сходные с *Lepidodendropsis hirmeri* (Read, 1955; Bell, 1960). Формы, близкие к этому виду, встречены в турнейских от-

пожениях и некоторых других районов земного шара. При сопоставлениях лепидодендропсовых флор следует иметь в виду, что после выделения рода *Lepidodendropsis* его объем был сильно расширен, что обусловлено нечеткость его границ. Необходимо учитывать и совершенно очевидный, по нашему мнению, лигульный характер настоящих лепидодендропсисов. Мощность самохвальской свиты изменяется от 60 до 120 м. Лишь на востоке Северо-Минусинской впадины она уменьшается до нескольких десятков метров.

Кривинская свита впервые выделена в 1943 г. А.В. Тыжновым и О.В. Тыжновой. Стратотип ее расположен на правом берегу р. Енисей ниже с. Кривинского. Распространена во всех Минусинских впадинах. Сложена однородной толщей коричневых, желтовато- и зеленовато-серых, реже почти белых туфов и туффитов с редкими линзообразными прослоями известняков, а также алевролитов в верхней части свиты и песчаников. Контакт с вышележащей соломенской свитой устанавливается по появлению характерных для последней пачек или прослоев окремнелых известняков.

В отложениях кривинской свиты в единственном обнажении (с. Изыхские Копи) найдена флора, представленная *Lepidodendropsis* sp., *Ursodendron distans* (Chachl.) V. Ananiev, *Caulopteris ogurensis* (Schm.) An. et Mikh., *Pseudolepidodendron* aff. *igrischenense* (A. Ananiev) V. Ananiev. Данный комплекс сходен с самохвальским и характеризует турнейский ярус.

Мощность кривинской свиты изменяется: в Южно-Минусинской впадине от 110 до 255 м, а в Северо-Минусинской и Назаровской – от 80 до 135 м.

Соломенская свита впервые выделена в 1956 г. М.И. Грайзером. Стратотип ее расположен на правом берегу р. Бея – правого притока р. Абакан, в 3 км ниже с. Соломенный Стан. Распространена во всех Минусинских впадинах. Представлена серыми, зелеными и коричневыми известняками, туфами и туффитами, а также песчаниками, гравелитами и конгломератами. Известняки, как правило, сильно окремнены и содержат включения красного халицедона. Верхняя граница соломенской свиты устанавливается по исчезновению окремнелых известняков и грубозернистых песчаников и появлению туффитов с единичными прослоями алевролитов, относимых к вышележащей свите. В шлифе известковистого алевролита из соломенской свиты района с. Аскис (юго-запад Южно-Минусинской впадины) Г.Н. Бровковым обнаружены брахиоподы, криноиды, спикулы губок (Бровков и др., 1965). Эта фауна в совокупности с другими литологическими и палеонтологическими данными (Грайзер, 1967) позволила сопоставить соломенскую свиту с фоминским горизонтом Кузбасса. В соломенской свите всех впадин содержатся растительные остатки *Sublepidodendron alternans* (Schm.) An. et Mikh., *Ursodendron distans* (Chachl.) V. Ananiev, *Caulopteris ogurensis* (Schm.) An. et Mikh., *Sphenophyllum* sp., *Tomiodendron* sp. Основным видом комплекса является вид *Sublepidodendron alternans*, который за единственным исключением (единичная находка в байновской свите) был обнаружен только в отложениях соломенской свиты. Этот крупнотельный, крупногодушечный лепидофит явно доминирует в составе флоры, определяя ее лицо. В заметных количествах встречаются виды *Ursodendron distans* и *Caulopteris ogurensis*. Появляются первые единичные томидендроны. Данный комплекс очень четко прослеживается во всех впадинах восточной части Саяно-Алтайской области, давая возможность установить четвертую местную зону – *Sublepidodendron alternans* (см. табл. 4,5).

Присутствие в соломенской свите в качестве основной формы вида *S. alternans* говорит, как нам кажется, о ее визейском возрасте. На это указывает в первую очередь облик этого растения. Представители рода *Sublepidodendron* встречены в других районах преимущественно в отложениях визе – серпуховского возраста. Типовой вид этого рода (*S. mirabile*) происходит из нижнего визе Шпицбергена (Hirmer, 1927). В Казахстане в Южной Джунгарии из визе-серпуховских отложений М.И. Радченко (1967) описан вид *Sublepidodendron obovatisformis*, который ромбическим контуром листовых подушек напоминает *S. alternans*. Вид *S. anomatum* встречен в евсеевской свите (серпуховский ярус) Кузбасса и подсийской свите (визе) Минусинских впадин. В ряде районов земного шара из отложений визе-серпуховского ярусов описаны виды под родовым названием *Lepidodendron*, которые по своим морфологическим признакам скорее должны быть включены в *Sublepidodendron*.

В соломенской свите впервые появляются в виде единичных остатков представители рода *Tomiodendron*, характерного для визе-серпуховских отложений Кузбасса и Минусинского прогиба. Однако, учитывая турнейский возраст фоминского горизонта, с которым коррелируется соломенская свита, последняя, вопреки показаниям флоры, также относится к турне (самой его верхней части). Мощность соломенской свиты составляет в Южно-Минусинской впадине 50–140 м, в Северо-Минусинской и Назаровской – 120–190 м.

Положение камыштинской, самохвальной, кривинской и соломенской свит выше нижнего турне – ниже визе, а также наличие в них двух максимумов трансгрессии – камыштинского и соломенского, отвечающих тайдонской и фоминской трансгрессиям, заставляет сопоставлять первые три свиты с тайдонским и соломенской-фоминским горизонтом Кузнецкого бассейна.

### Визейский ярус

Ямкинская свита выделена в 1959 г. М.И. Грайзером. Стратотип находится на правом берегу Оя, выше с. Ямки. По объему соответствует комарковской и согринской свитам унифицированной схемы 1965 г., которые М.И. Грайзером (1962) выделяются в ранге подсвит. Распространена во всех Минусинских впадинах, кроме Сыдо-Ербинской. Сложена зелеными, коричневыми, реже серыми туфами и туффитами с резко подчиненными прослоями алевролитов, алевропесчаников, песчаников и известняков. В пределах Южно-Минусинской впадины и большей части Северо-Минусинской и Назаровской впадин нижняя часть описываемой свиты окрашена в Красновато-коричневый цвет (комарковская подсвита), а верхняя – в зеленый (согринская подсвита).

Верхняя граница ямкинской свиты отбивается по появлению характерных для вышележащей байновской свиты песчаников, иногда по чередованию песчаников и туфов, обычно содержащих многочисленные растительные остатки.

Определыми органическими остатками описываемая свита крайне бедна. В районе оз. Джирим в ней был обнаружен единственный экземпляр филlopоды, неизвестной в других районах, – *Pseudoestheria djirimica* Nov. К визейскому ярусу свита относится по положению в разрезе и исходя из сопоставления с подъяковским горизонтом Кузбасса. Мощность ямкинской свиты от 130 до 300 м. в Южно-Минусинской впадине и от 125 до 255 м. в Северо-Минусинской и Назаровской.

Байновская свита выделена в 1956 г. М.И. Грайзером. Ее стратотип расположен на правом берегу р. Абакан, выше с. Изыхские Копи, напротив улуса Байнов. По объему соответствует нижней части подсийской толщи А.В. Тыжнова и О.В. Тыжновой (1944). Развита в Южно- и Северо-Минусинской впадинах. Представлена зелеными, реже серыми, желтыми и пиловыми песчаниками с резко подчиненными прослоями алевропесчаников, алевролитов и туфов. Обломочная часть песчаников представлена эфузивами, кремнистыми породами, вулканическим стеклом. Граница с вышележащей подсийской свитой устанавливается по исчезновению песчаников и появлению туфогенных пород с редкими прослоями известняков.

В байновской свите описаны растительные остатки *Tomiodendron asiaticum* (Zal.) S. Meyen, *Tomicdendron* sp., *Tomiodendron cf. kemeroviense* (Chachl.) Radcz., *S. alternans* (Schm.) An. et Mikh. (единичная находка), *Ursodendron distans* (Chachl.) V. Ananiev, *Caulopteris ogurensis* (Schm.) An. et Mikh. Основным представителем этого сообщества является первый вид, распространенный только в пределах разреза байновской свиты. Пятый по счету зональный фтористический комплекс указывает в целом на визейско-серпуховский возраст вмещающих слоев. Представители рода *Tomiodendron* характерны для визейско-серпуховских отложений Кузбасса и Монголии (Горелова и др., 1973; Бетехтина, Горелова, 1975; Дуранте, 1976). Виды *Ursodendron distans* и *Caulopteris ogurensis* в свою очередь в значительном количестве присутствуют в отложениях самохвальской и соломенской свит. Мощность байновской свиты в трех полных ее разрезах составляет 170 м (у с. Изыхские Копи) и 260 м (о. Тагарский) в Южно-Минусинской впадине, 160 м у с. Бережеково в Северо-Минусинской впадине.

Подсийская свита по объему соответствует верхней части подсийской толщи, выделенной в 1943 г. А.В. Тыжновым и О.В. Тыжновой. Ее стратотип находится на берегу р. Абакан выше с. Изыхские Копи. Распространена незначительно в Южно-Минусинской впадине, еще меньше – в Северо-Минусинской (у с. Ижуль). Сложен зелеными и серыми туфами и туффитами с подчиненными прослоями алевролитов, песчаников и известняков.

Верхняя граница фиксируется появлением грубозернистых пород – конгломератов, гравелитов, песчаников и углисто-сажистых образований, относимых к конгломератовой свите – базальной толще угленосного комплекса пермо-карбона. Конгломератовая свита западает на подсийской согласно, местами с признаками кратковременного осушения.

В подсийской свите найдены растительные остатки *Sublepidodendron anomalum* (Neub.) An. et Mikh., *Tomiodendron kemeroviense* (Chachl.) Radcz., *Ursodendron distans* (Chachl.) V. Ananiev, *Angaropteridium* sp., *Caulopteris ogurensis* (Schm.) An. et Mikh., *Asterocalamites scrobiculatus* (Schloth.) Zell. Основным в данном комплексе является первый из перечисленных видов. Состав комплекса свидетельствует о визейско-серпуховском возрасте подсийской свиты. Виды *Sublepidodendron anomalum* и *Tomiodendron kemeroviense* распространены в верхотурском и свесевском комплексах Кузбасса (Горелова и др., 1973). Особенностью является появление *Angaropteridium* sp. – формы, характерной для вышележащих угленосных отложений нижнего карбона, относимых к серпуховскому ярусу и отложениям среднего – верхнего карбона. Мощность подсийской свиты в известных двух полных разрезах 100 м (с. Изыхские Копи) и 110 м (с. Калягино).

## Серпуховский – башкирский ярусы

Конгломератовая свита выделена в 1929 г. Г.А. Ивановым. Стратотип ее расположен по правому берегу р. Абакан вблизи верхнего края с. Изыхские Копи. Развита в погруженных частях синклинальных структур Минусинского прогиба, таких как Черногорско-Калаягинская, Аскизская, Бейская – в Южно-Минусинской впадине и Белоозерская – в Назаровской. Представлена конгломератами и гравелитами, развитыми в основном в нижней части свиты, песчаниками, алевролитами, углистыми аргиллитами и углами. Верхняя граница описываемой свиты условно проводится по подошве пачки конгломератов мощностью до 10 м, которой начинают вышележащую черногорскую свиту.

В конгломератовой свите найдены растительные остатки *Angaropteridium cardiopteroides* (Schmalh.) Zal., *Angarodendron obrutschevii* Zal., *Belenopteris ivanovii* Zal. Данный комплекс, так же как и выделенные из пород описываемой свиты споры и пыльца, указывает на соответствие конгломератовой свите острогской свите Кузбасса, нижнюю часть которой по флоре относят к серпуховскому ярусу, верхнюю – к башкирскому. Мощность ее меняется от 190 до 300 м.

## ТУВИНСКИЙ ПРОГИБ

Для территории Тувы в настоящее время применяется унифицированная схема 1964 г., при составлении которой были использованы материалы А.М. Данилевич, Я.С. Зубрилина, Н.Н. Предтеченского, И.В. Кузнецова, Н.Г. Попова, В.В. Волкова, И.С. Боровской, А.Р. Ананьева, М.И. Грайзера.

Каменноугольная система начинается суглухемской свитой, содержащей турнейские растительные остатки *Lepidodendropsis hirmeri* Lutz и ихтиофауну *Rusnopostenion tuwensis* Vor., *Rhizodopsis savenkovi* Obr. В вышележащей хербесской свите содержатся растительные остатки *Lepidodendropsis* sp. и комплекс ихтиофауны, родовой состав которой наиболее схож с турнейским Минусинских впадин. Нижнебайтагская подсвита характеризуется заметным обновлением флоры. По видовому составу последней нижнебайтагская подсвита сопоставляется с соломенской свитой Минусы и соответственно с фоминским горизонтом Кузбасса, поэтому ею заканчивается турнейский ярус. Главным образом по флоре к визейскому ярусу относятся верхнебайтагская подсвита, эккиоттугская и актальская свиты, к серпуховскому – нижняя часть онкакинской свиты.

## Турнейский ярус

Суглухемская свита выделена в 1955 г. И.В. Кузнецовым и Н.Г. Поповым (Грайзер, 1959). В унифицированной схеме 1964 г. объем свиты по сравнению с первоначальным расширен за счет включения в нее так называемой кызылчиринской свиты, названных авторов. Стратотип суглухемской свиты находится на правом берегу р. Суглуг-Хем, в 2–3 км выше ее впадения в р. Улу-Хем. Распространена на северо-востоке, юго-западе и в Центральной Туве. Представлена пестроцветными (серые, желтые, розовые, красно-коричневые) разнозернистыми песчаниками и конгломератами, в меньшем количестве – туфами, туффитами, известняками, алевролитами. Во многих рай-

онах Центральной Тулы свита подразделяется на три подсвиты: нижнесуглухемскую, сложенную песчаниками, гравелитами и конгломератами, среднесуглухемскую, преимущественно известняковую, и верхнесуглухемскую (кызылчириинскую) – туфогенно-терригенную. Нижняя граница суглухемской свиты в большинстве районов нечеткая. Она устанавливается по изменению либо-красной окраски пород, свойственной отложениям верхнего девона, на преимущественно зеленовато-серую, характерную для описываемой свиты. В центральной Туле местами залегает с угловым несогласием на отложениях от девона до нижнего кембрия. Верхняя граница суглухемской свиты, наоборот, весьма четкая, устанавливается по светлоокрашенным фарфоровидным туфогенным породам перекрывающей хербесской свиты.

В нижнесуглухемской подсвите стратотипического разреза найдена фауна *Lepidodendropsis hirnieri* Lutz, *Lepidodendropsis* sp., распространенная в турнейских отложениях многих районов мира, в том числе и в Минусинском прогибе. В среднесуглухемской подсвите встречаются остатки рыб *Picnoctenion tuvensis* Vor., *Rhizodopsis savenkovi* Obr. Из названных вторая форма часто встречается в камыштинской свите Минусы, а первая сходна с *F. siberiacus*, характерной для той же свиты. Таким образом, суглухемская свита достаточно уверенно относится к турнейскому ярусу.

Перечисленные органические остатки позволяют сопоставить суглухемскую свиту с быстрянской, алтайской, надалтайской, возможно, и самохальской свитами Минусинского прогиба и уверенно отнести ее к турнейскому ярусу. Мощность свиты изменяется от 0 до 575 м. Наибольших значений она достигает на юго-западе Тулы, наименьших – в некоторых районах центральной Тулы (гора Ак-Таг, Баян-Кол и др.).

Хербесская свита впервые описана в 1955 г. Я.С. Зубрилиным, А.М. Данилевичем, И.В. Кузнецовым, Н.Г. Поповым, Н.Н. Предтеченским (Грайзер, 1959). Ее стратотип расположен по берегам р. Суглуг-Хем, в месте пересечения горы Хербес. Широко распространена по всей Туле. Сложена в основном желтыми, серыми, светло-зелеными, изредка красно-коричневыми, часто сильно окремнельными и фарфоровидными туфами и туффитами с подчиненными прослойями мелко-среднезернистых песчаников и известняков. Хербесская свита по литологическому составу подразделяется на две подсвиты: нижнехербесскую – туфогенно-песчаниковую и верхнехербесскую – преимущественно туфогенную. Хербесская свита залегает трангрессивно, нередко с угловым несогласием на отложениях суглухемской свиты, девоне и более древних породах – до нижнего кембрия включительно.

Верхняя граница свиты определяется по исчезновению окремнельных фарфоровидных туфов и туффитов и появлению мощных пачек песчаников, характеризующих вышележащую байтагскую свиту.

В верхнехербесской подсвите встречается иктиофауна *Graiserichthys tuvensis* Kaz., *Girolepidotus*, *Cycloptychius* и остатки растений *Lepidodendropsis* sp., *Sublepidodendron cf. alternans* (Schm.) An. et Mikh., *Ursodendron distans* (Chachl.) V. Ananiev, *Tomiodendron* (?) sp.

Приведенные органические остатки недостаточны для точного установления возраста, однако в комплексе они более всего соответствуют верхней части турнейского яруса Минусы.

Мощность хербесской свиты изменяется от 90 до 160 м в центральной и северо-восточной Туле; на юго-западе, в области хр. Западный Танин-Ола, она увеличивается до 450 м.

### Верхний турне – нижняя часть визе

Байтагская свита выделена в 1955 г. А.М. Данилевичем, Я.С. Зубрилиным, И.В. Кузнецовым, Н.Г. Поповым, Н.Н. Предтеченским (Грайзер, 1959). Стратотип расположен на горе Хербес у р. Суглуг-Хем – правого притока Улу-Хем. Широко распространена по всей Туле. Представлена зелеными, изредка коричневыми песчаниками, туфами и туффитами с единичными прослойками известняков.

Байтагская свита по литологическим признакам подразделяется на две подсвиты: нижнебайтагскую, в основном песчаную, и верхнебайтагскую, существенно туфогенную. Залегает согласно и с постепенным переходом на хербесской свите. Верхняя граница определяется сменой зеленоватых песчано-туфогенных пород эккиоттугскими песчаниками, обычно коричнево-красными.

В нижнебайтагской подсвите встречаются растительные остатки *Sublepidodendron alternans* (Schm.) An. et Mikh., *Tomiodendron* (?) sp., *Caulopteris ogurensis* (Schm.) An. et Mikh. Данный комплекс наиболее близок соломенскому комплексу Минусы, в связи с чем нижнебайтагская подсвита сопоставляется с соломенской свитой.

В верхнебайтагской подсвите описаны: *Tomiodendron kemerovense* (Chachl.) Radcz., *Tomiodendron asiaticum* (Zal.) S. Meyen, *Caulopteris ogurensis* (Schm.) An. et Mikh., *Ursodendron distans* (Chachl.) V. Ananiev и другие формы, характерные для визейско-серпуховских отложений Кузбасса и Минусы. Встречается в ней и иктиофауна, принадлежащая родам *Cycloptychius*, *Girolepidotus*, *Elonichthyidae*, *Radiichtys*, однако она не дает каких-либо данных о ее возрасте.

Мощность байтагской свиты изменяется от 225 до 1400 м. Минимальные ее значения приходятся на северо-восточную и центральную Тулу, наибольшие – на юго-западные районы.

### Визейский ярус

Эккиоттугская свита впервые описана в 1955 г. А.М. Данилевичем, Я.С. Зубрилиным, И.В. Кузнецовым, Н.Г. Поповым, Н.Н. Предтеченским (Грайзер, 1959). Ее стратотип находится по берегам р. Экки-Оттуг – левого притока р. Эрбек (северо-восточная Тула). Распространена во всех районах Тулы, но меньше, чем нижележащие отложения. Сложена в основном красновато-коричневыми, иногда коричневато-серыми и зелеными мелко-, средне-, реже крупно-зернистыми песчаниками. В резко подчиненном количестве встречаются прослои туфов и туффитов, изредка также известняков и конгломератов. Граница с вышележащей актальской свитой устанавливается по изменению окраски песчаников на зеленую. Определенных органических остатков в свите не обнаружено. К визейскому ярусу относится по положению в разрезе выше байтагской свиты и ниже актальской и онкажинской свит. Нижняя часть последней по флоре сопоставляется с острогской свитой Кузбасса.

Мощность эккиоттугской свиты увеличивается с северо-востока на юго-запад от 110 до 440 м.

Актальская свита выделена в 1955 г. И.В. Кузнецовым и Н.Г. Поповым (Грайзер, 1959). Стратотип расположен на горе Аргалыкты на левом берегу р. Элегеет, около с. Ак-Тап. Распространена меньше нижележащих свит нижнего карбона. В Упукемской котловине юго-западной Тулы сохранилась лишь в трех мульдах: Актальской, Онкажинской и Верхнеэлегетской ( хр. За-

падный Танну-Ола). Сравнительно небольшие и разрозненные площади ее развития известны в центральной и северо-восточной Туве. Представлена в основном зелеными и светло-серыми грубозернистыми песчаниками, встречаются подчиненные прослои туфов и туффитов, изредка – известняков и гравелитов.

Граница с вышеупомянутой онкажинской свитой проводится по появлению зеленовато-серых песчаников с прослойями углистых аргиллитов, пропластками угля и конгломератов. Подошва нижнего конгломерата условно принимается за границу между актальской и онкажинской свитами. В центральной и северо-восточной Туве актальская свита перекрываетяется юрскими отложениями. Органическими остатками не охарактеризована, как и нижележащая эккиоттугская свита. К визейскому ярусу относится по положению в разрезе, между байтагской и онкажинской свитами.

Мощность актальской свиты в Актальской, Онкажинской и Верхнеэлегестской мульдах составляет соответственно 130, 230, 250 м. Там, где описываемые отложения перекрываются юрскими, их мощность составляет 20–135 м.

#### Серпуховский ярус – средний – верхний карбон

Онкажинская свита выделена в 1947 г. В.А. Унковым и В.А. Бобровым. Распространена в Онкажинской (р. Он-Кажаа), Актальской и Верхнеэлегестской мульдах (р. Элегест). Сложена в нижней части (мощностью около 100 м) конгломератами с прослойями песчаников. Вместе с экзотическими породами в гальке конгломератов встречаются и местные – нижнекаменноугольные туфы и туффиты. Песчаники желто-серые грубозернистые. В верхней части состоит из таких же песчаников с подчиненными прослойями темно-серых алевролитов и аргиллитов и пластами угля рабочей мощности.

В Онкажинской и Актальской мульдах онкажинская свита перекрывается без видимого углового несогласия среднеюрскими отложениями (эрбекская свита).

М.Ф. Нейбург из нижней части свиты определены растительные остатки *Angariopteridium cardioptercides* (Schm.) Zal., A. sp. *Racalamites* sp., из верхней – *Angariopteridium aff. potanini* (Schm.) Zal., *Risfloria theodori* (Tschirk. et Zal.) Meyen, R. sp., *Samaropsis* sp.

По этой флоре нижняя часть свиты (до 200 м) коррелируется с острогской свитой, а верхняя – с алькаевской и мазуровской свитами среднего – верхнего карбона.

Полная мощность онкажинской свиты составляет около 415 м.

## ТИПЫ ПОРОД НИЖНЕГО КАРБОНА СИБИРСКОЙ ПЛАТФОРМЫ

### 1. СЕВЕРНАЯ ЧАСТЬ ПЛАТФОРМЫ

(ПРИЕНИСЕЙСКАЯ ЗОНА И КЮТЮНГДИНСКИЙ ГРАБЕН)

В составе нижнекаменноугольных отложений выделяются карбонатные, сульфатные и терригенные породы. К последним с некоторой долей условности отнесены и глинистые образования. Эти группы пород распределены по основным стратиграфическим подразделениям нижнего карбона следующим образом. Карбонатные разности превалируют в турнейских (ханельбириинский и серебрянский горизонты) отложениях Приенисейской зоны, а также в нижней и верхней карбонатных пачках Кютюнгдинского грабена. Переходные типы пород смешанные, преимущественно карбонатно-глинистые и сульфатно-карбонатно-глинистые, характерны для тундринской свиты Приенисейской зоны и для гипсонасной красноцветной пачки Кютюнгдинского грабена. Глинисто-карбонатно-терригенным составом пород отличается бруссская свита бассейнов рек Брус и Курейка. Преобладание терригенных пород свойственно джаттулинской и фатьяниховской свитам междуречья Нижней и Подкаменной Тунгуски, а также терригенной пачке Кютюнгдинского грабена.

\* \* \*

Карбонатные породы подразделяются на известняки, доломиты и "смешанные" породы.

### ИЗВЕСТНИКИ

1. Известняки обломочные в чистом виде встречаются очень редко, образуя маломощные, часто пинзовидно выклинивающиеся прослои.

а. Брекчики чисто известняковые, описываются обычно как брекчированные известняки. Они характерны для ханельбириинского горизонта Восточно-Писинской площади, описаны в тундринской свите р. Фокина, где образуют пинзы мощностью до 0,15 м. Среди них выделяются брекчики высыхания или растрескивания и брекчики взламывания. Для брекчий высыхания, связанных с осушением и растрескиванием слоев известкового ила, характерно заполнение межбломочного пространства несколько более крупнозернистым карбонатным материалом, чем основная масса брекчированного слоя. Брекчики взламывания обычно более мелкообломочные, ориентировка обломков самая различная.

б. Песчаники известняковые описаны в отложениях турнейского яруса в скважине С-12 (ст. Тундра), где они наряду с конгломератами и брекчиями известнякового состава, неравномерно переслаивающимися друг с другом, образуют ханельбириинский горизонт. Мощность прослоев песчаников до

2 м. Песчаники серые и темно-серые, обычно плотные, иногда сахаровидные, изредка сплошные, сложены зернами размером 0,2-1 мм микрозернистого известняка, иногда более или менее глинистого. Тип цемента поровый, реже базальный, состав кальцитовый, в нем присутствуют ракушняковые органические остатки и их дегрит.

в. Гравелиты и конгломераты известняковые так же редки, как и песчаники, и в изученных разрезах встречены в ханельбириинском горизонте в районе ст. Тундра.

2. Известняки органогенные сложены на 60-80% фаунистическими остатками.

а. Биоморфные известняки. Среди органогенных разностей биоморфные известняки занимают очень незначительное место. Встречаются они почти во всех разрезах ханельбириинского горизонта в виде единичных маломощных (единицы сантиметров) прослоев и состоят из целых раковин брахиопод и осракод, а также остатков кораллов. Обломки и цемент обычно перекристаллизованы, часты крустификационные образования. Водорослевые известняки среди биоморфных встречаются в разрезах ханельбириинского горизонта бассейна р. Фокина, Западно-Пясинской и Кета-Ирбинской площадей.

б. Детритово-биоморфные, биоморфно-детритовые и детритовые известняки (в зависимости от соотношения целых скелетных остатков и их обломков) занимают весьма значительное место в составе ханельбириинских отложений, слагая прослои различной мощности (от 1-3 см до нескольких метров). Часто, что особенно хорошо заметно в естественных обнажениях р. Курейки, детритовые известняки образуют линзы и линзовидные прослои среди органогенно-обломочных и хемогенных разностей. Породы эти серого или темно-серого цвета, массивные, реже неясносплошные. Преимущественны полидетритовые разности, иногда с преобладанием детрига брахиопод. Биоморфные остатки составляют по 10-15% и бывают представлены крикоидеями, иглокожими, реже брахиоподами. Известняки разнозернистые (от мелко- до крупнозернистых), в расположении детрита отсутствует какая-либо сортировка. Основная часть органических остатков перекристаллизована, часто бывает перекристаллизованным также и цемент, особенно характерны крустификационные оторочки вокруг органических остатков как следствие преимущественной перекристаллизации контактовых зон. Характерным, хотя и не особенно широко распространенным явлением, можно назвать также замещение отдельных раковин кремнистым материалом. В разрезе ханельбириинского горизонта по р. Курейке, в его нижней части, отмечены многочисленные спикулы губок, сложенные кремнистым материалом. Вверх по разрезу происходит частичное замещение их карбонатным материалом. Количество цемента составляет 20-50% от площади шлифа. Внутренняя часть раковин выполняется чаще всего микрозернистым кальцитом.

в. Известняки органогенные с примесью обломочного карбонатного материала. Распространены широко, обнаружены во всех изученных разрезах ханельбириинского и серебрянского горизонтов. Диагностика этого типа известняков затруднена и не всегда однозначна. Максимальное количество их встречено в районе ст. Тундра. Наряду с детритовыми и реже биоморфными остатками фауны в этих известняках наблюдается примесь обломочного карбонатного материала гравийной и валуно-галечной размерности. Соотношение "органогенной" и "обломочной" составляющих изменяется в очень широких пределах. Обломки сложены микрозернистыми, глинистыми или комковатыми разностями. Иногда границы обломков подчеркнуты пленкой глинисто-железистого состава.

3. Известняки хемогенные – широко распространенный тип среди отложений ханельбириинского и серебрянского горизонтов, образуют как единичные прослои (до 0,6 м), так и целые пачки. Для ханельбириинского горизонта характерно такое строение, когда в крупной пачке хемогенных известняков с отдельными включениями фаунистических остатков и органогенно-обломочных их разностей присутствуют линзовидные прослои дегритовых, реже биоморфно-дегритовых известняков мощностью до 8 см. В серебрянском горизонте хемогенные разности преобладают.

Среди хемогенных известняков можно выделить:

а. Известняки зернистые (от микро- до грубозернистых). Разности с первичной структурой, неперекристаллизованные, встречаются редко, в основном породы полностью или хотя бы частично перекристаллизованы. Пелитоморфные и микрозернистые разности сложены изометричными кристалликами кальцита, тесно прилегающими друг к другу. При перекристаллизации образуются структуры от мелко- до грубозернистых. Характерны мозаичные (или пятнистые) текстуры. В хемогенных известняках часто имеется примесь глинистого обломочного материала, вкрапления пирита (особенно в пелитоморфных и микрозернистых разностях), органические остатки. Обычно терригенный материал (чаще тонкоалевритовый) рассеян в породе неравномерно, глинистый – концентрируется на контактах зерен. Максимальная раскристаллизация отмечается вблизи скоплений обломочного материала.

б. Известняки оолитовые и сферолитовые в разрезах ханельбириинского горизонта образуют прослои мощностью 0,03-0,7 м и в серебрянском горизонте пачки мощностью до 3,5 м. Чисто оолитовые или чисто сферолитовые разности встречаются редко. Обычно это "смешанные" породы (тундринская свита, Пясинская площадь Норильского района). Размер сферолитовых или оолитовых тел 0,3-1,5 мм. Центральная часть образований представляет собою чаще всего зерно кальцита, редко – ромбоэдр доломита, обломки микрозернистого известняка. Изредка встречаются сложные оолиты, когда несколько мелких оолитов окружены общей оболочкой. Наряду с оолитами и сферолитами, составляющими 30-80%, в породах обычно присутствуют густковые образования, иногда органогенный дегрит. Цемент чаще всего кальцитовый тонко-, мелкозернистый, иногда отмечается мозаичная текстура цемента, крустификационные оторочки.

4. Известняки криптогенные – густковые или комковатые. Густки, обычно сложенные пелитоморфным кальцитом, имеют округлую, овальную форму и размер 0,01-1 мм. Внутри комочеков видны обломки раковинок, реже целые раковинки, в центре других – зерна кальцита. Цемент обычно перекристаллизованный. Часто присутствует органогенный материал, обломки материалов или пород, иногда сферолитовые образования, кремнистые выделения. Криптогенные разности, образуя линзовидные прослои мощностью до 0,5 м, распространены чрезвычайно широко и встречаются среди пород ханельбириинского и серебрянского горизонтов. Вмешающимися для них служат органогенно-обломочные и хемогенные образования. Небольшое количество густков отмечалось неоднократно и в других типах известняков.

## ДОЛОМИТЫ

Доломиты в отложениях раннего карбона распространены достаточно широко. В турнейских отложениях Приенисейской зоны прослои доломитов

нностью до 1 м встречаются в низах ханельбиринского и серебрянском горизонтах, в отложениях нижней карбонатной и гипсонасной красноцветной толщах Кютюнгдинского грабена. Этими породами сложены целые пачки мощностью до 10-12 м.

Доломиты можно подразделить на седиментационные и метасоматические, хотя с полной уверенностью отделить одни от других не всегда возможно.

В турнейских отложениях приенисейской части Сибирской платформы присутствуют явно метасоматические доломиты, образовавшиеся иногда по органогенно-обломочным известнякам. Седиментационные доломиты связаны с разрезами сульфатно-карбонатного типа.

Седиментационные доломиты – породы от светло- до темно-серого цвета, плитчатые, часто слоистые, от тонко- до мелкокристаллических. Остатки искональпаемой фауны отсутствуют. В виде включений или прослоев отмечаются сульфаты кальция. Кальцит, в небольших количествах встречающийся в седиментационных доломитах, имеет вторичный, наложенный характер. Породы часто брекчированы, содержат включения кремней.

Метасоматические доломиты образуют также прослон и пачки и связаны с процессами доломитизации уже, по-видимому, литифицированных толщ. Их облик и структурно-текстурные особенности обусловлены характером замещенных толщ. Примером могут служить доломитизированные органогенно-обломочные известняки турнейского яруса в приенисейской части Сибирской платформы. Источником магния здесь явились интрузии габбро-дOLERИТОВ. Привнос магния повлек за собой не только доломитизацию кальцита, но и образование целого ряда новых минералов типа магнезиальных силикатов и алюмосиликатов. При доломитизации в первую очередь происходило замещение кальцита основной массы породы тонко- или мелкокристаллическим доломитом. В остатках фауны кальцитовая составляющая сохраняется значительно больше. Кроме того, кальцит выполняет различные пустоты, образует небольшие скопления крупных кристаллов.

#### "СМЕШАННЫЕ" КАРБОНАТНЫЕ ПОРОДЫ

Среди карбонатных пород – известняков и доломитов – значительную роль играют переходные разности – известняки доломитовые и доломитистые, а также доломиты известковые и известковистые. Рентгеноструктурное изучение отдельных образцов карбонатных пород нижнего карбона показало, что эти разности превалируют в разрезах. Мощности слагаемых ими слоев и пачек – до нескольких метров. Они характерны как для отложений серебрянского и ханельбиринского горизонтов, так и для нижней и частично верхней карбонатных толщ Кютюнгдинского грабена. Породы весьма разнообразны и включают весь спектр структурно-текстурных признаков известняков и доломитов. При всем разнообразии структур от тонко- до крупнозернистых можно отметить, что эти породы обычно перекристаллизованы, и зерна кальцита и доломита имеют чаще всего определенные очертания. Кальцит образует изометричные или лапчатые формы относительно более крупные, чем доломит, характеризующийся зачастую ромбодиэдрическими формами. Иногда в шлифах видны кристаллы кальцита, окруженные доломитовыми каемками или наоборот. Характерны пятнистые текстуры. Изредка встречаются единичные фаунистические остатки или детрит. Остатки скелетов организмов иногда почти нацело перекристаллизованы, что значительно затрудняет их определение. Присутствует небольшое количество глинистого материала, образующего главным образом "плёнки" вокруг карбонатных зерен.

#### СУЛЬФАТНЫЕ ПОРОДЫ

Гипсы и ангидриты характерны для отложений тундринской свиты, где они образуют включения и прослои от первых сантиметров до 25 м, а также в красноцветной гипсонасной толще Кютюнгдинского грабена. В последнем случае сульфаты не образуют мощных пачек, а присутствуют во вмещающих доломитовых алевроаргиллитах в виде прослоев от 0,03 до 2 м (в единичных случаях – до 8 м) и секущих прожилков, придающих пачке сетчатую текстуру. Равномерно рассеянный глинистый материал придает гипсам зеленоватую или красноватую окраску. При этом сульфаты местами составляют до 85% объема породы.

Кроме кальцитовых сульфатов в разрезах Приенисейской зоны платформы встречаются также включения цепестинов в виде конкреций, линзовидных прослоев, а также более или менее крупных скоплений кристаллов. Обычно сульфатные породы ассоциируются с доломитами, являющимися "вмещающими" для сульфатов и образующими многочисленные прожилки в крупных пластах гипсов ангидритов. Однако неоднократно отмечены случаи, когда с сульфатами как кальциевого, так и стронциевого рядов ассоциируются известняки. Примером могут служить разрезы тундринской свиты по скважинам П-15, П-8бис, особенно ее средняя пачка. Стронциевые сульфаты приурочены обычно к тонкопереслаивающимся карбонатно-ангидритовым породам.

#### ТЕРИГЕННО-КАРБОНАТНЫЕ ПОРОДЫ

В составе этой группы могут быть выделены глинистые известняки и доломиты, мергели и доломитовые мергели, а также алевритовые и алевритистые разности этих пород. Переслаиваясь между собой, эти породы составляют основную часть тундринской свиты.

а. Глинистые известняки и глинистые доломиты обычно пелитоморфны. Равномерно рассеянный глинистый материал препятствует перекристаллизации. Однако неравномерное распределение глинистого материала, алевритовая примесь кварца, полевых шпатов и обломков пород, трещиноватость пород способствуют развитию процессов перекристаллизации. Таким образом, в пелитоморфных разностях появляются разнозернистые структуры.

Породы обычно слоистые. Мощность слоев от 1 до 10-20 см. Встречаются ходы илодов, остатки фауны. Иногда породы содержат включения кремней и сульфатов, довольно часто отмечаются брекчированные разности.

б. Мергели не столь широко распространены в разрезах нижнего карбона, как глинистые известняки и доломиты, но тем не менее они образуют в тундринской свите прослои до 1,5 м мощностью, а на Западно-Пясинской площади слагают пачку мощностью 12 м. Породы сероцветные, массивные, иногда с тонкой горизонтальной сплоистостью. Для мергелей характерны пелитоморфные структуры. Глинистый материал равномерно рассеян среди карбонатного. В составе глинистой массы кроме гидрослюды и хлорита присутствуют пелитоморфные кварцы, слюды, полевые шпаты. Примесь алевропесчаной размерности обломков, трещиноватость пород, а также различные включения приводят к раскристаллизации карбонатного вещества и дифференциации глинистого и карбонатного материала.

## ТЕРИГЕННЫЕ ПОРОДЫ

Среди терригенных пород, наиболее характерных для тундринской, брусской, джалтутинской, фатьяниковской свит нижнего карбона, выделяются аргиллиты, алевролиты, песчаники, реже гравелиты и конгломераты.

а. Аргиллиты в чистом виде среди нижнекаменноугольных отложений присутствуют очень редко. Обычно же они встречаются в виде карбонатных и алевритовых разностей в отложениях тундринской, джалтутинской, фатьяниковской, редко брусской свит, где образуют слои и прослойки от 0,2 до 3,7 м. Чаще всего аргиллиты присутствуют в пачках переслаивающихся карбонатных и глинистых пород, а в тундринской свите образуют цемент крупноглыбовой известняковой брекции. Цвета аргиллитов различны: преобладают зеленовато- и темно-серые, но для тундринской свиты северо-запада и особенно для гипсоносной толщи Кютюнгдинского грабена характерны вишнево-красные. Текстуры пород в основном слоистые, иногда листоватые, реже однородные. Состав глинистых минералов чаще всего гидрослюдистый, реже с примесью хлорита. Карбонатный, и песчано-алевритовый материал образует тонкие прослойки, пинзочки, включения, иногда равномерно рассеян в глинистой массе. В Кютюнгдинском грабене описаны красноцветные уплотненные глины и их алевритовые разности, интенсивно гипсоносные. Глины образуют различные по мощности (до 0,4 м) простой и прослойки. Характерно, что глинистая часть породы сохраняет пластичность во влажном состоянии. В джалтутинской свите в известково-аргиллитовых пачках отмечены следы взмучивания осадка. В аргиллитах встречены включения пирита, гидроокислов железа, новообразования из групп магнезиальных алюмосиликатов, эпидота-ционзита и пр.

б. Алевролиты, песчаники характерны для нижнекаменноугольных отложений районов приенисейской части, Кютюнгдинского грабена и почти не встречаются (во всяком случае в чистом виде) севернее р. Брус. В брусской свите (разрезы по рекам Курейка и Брус) описаны алевролиты и мелко-, среднезернистые песчаники характерного зеленовато-серого цвета, однородные, с тонкой горизонтальной слоистостью. Цемент пород глинисто-карбонатный. Характерны многочисленные новообразования актинолита в цементе, придающего породам зеленый оттенок. В брусской свите песчано-алевритовые разности находятся в тесной ассоциации с аргиллитами и карбонатными породами.

Для джалтутинской свиты междуречья Нижней и Подкаменной Тунгуски характерны очень своеобразные песчаники, заполгающие в ее нижней части и сложенные обломками кварца, кремней, кварцитов и глинисто-карбонатных пород. Это сочетание в обломочной части карбонатных и силикатных разностей делает "джалтутинские песчаники" вполне узнаваемыми. Цемент песчаников карбонатный, пелитоморфный. Главная особенность карбонатных обломков — наличие среди них оолитов псевдооолитов, пелитоморфных известняков, содержащих остатки брахиопод, иглокожих и фораминифер, окатанных членников криноидей, раковин брахиопод.

Песчано-алевритовые породы преобладают в отложениях верхней пачки джалтутинской свиты, в фатьяниковской и кондроминской свитах, венчающих разрез нижнекаменноугольных отложений Приенисейской зоны Сибирской платформы. В Кютюнгдинском грабене песчаниками и алевролитами, в основном сложены нижняя терригенная и верхняя части гипсоносной красноцветной пачки.

Для фатьяниковской свиты характерны горизонтально-, волнисто- и ко-  
состоистые песчаники и алевролиты зеленовато-серого цвета, с заметной примесью пеплового материала, сообщающего породам зеленоватый оттенок вследствие широко развитых процессов его хлоритизации. Состав песчаников крайне изменчив, так как зависит от соотношения осадочного и вулкано-кластического материала. Цемент пород глинисто-карбонатный.

Разнозернистые песчаники и песчанистые алевролиты нижней терригенной пачки Кютюнгдинского грабена окрашены в серые и желтовато-серые тона. Слоистость пород горизонтальная и косоволнистая. В нижней части пачки встречаются линзовидные прослои пестроокрашенных рыхлых гравийных песчаников. Обломочный материал различно окатан и слабо отсортирован, представлен кварцем, кремнем, обломками карбонатных пород, реже встречаются полевые шпаты, обломки эфузивных и метаморфических пород. Повсеместно имеется примесь слюдистого материала. Цемент песчаников доломитовый с примесью известкового и глинистого материала.

Песчаники кондроминской свиты сложены хорошо отсортированными, различно окатанными зернами кварца (более 90%), кремней и микрокварцитов. Спорадически присутствуют единичные зерна полевых шпатов и обломки метаморфических пород. Цементом служит аутигенный кварц или гидрослюдисто-кремнистая масса с примесью аутигенного альбита и гидроокислов железа. Окраска пород светло-серая, до белой и желтовато-серая. Слоистость горизонтальная или косая пологая.

в. Гравелиты и конгломераты встречаются в нижнекаменноугольных отложениях лишь спорадически в виде небольших линз и линзовидных прослоев. Только в разрезе нижней терригенной толщи Кютюнгдинского грабена они играют весьма существенную роль, образуя нижнюю пачку этой толщи мощностью 3,2-8,0 м. Породы состоят из хорошо окатанных уплотненных галек и валунов карбонатных и карбонатно-глинистых пород, меньше — роговиков, кремней и микрокварцитов. Заполняющая масса — песчаник с глинисто-известковым цементом, содержащим примесь доломитового материала.

В верхней части тундринской свиты на контакте ее с перекрывающими верхнепалеозойскими породами описаны линзы гравелита, сложенные обломками кварца и кремнистых пород. Цемент заполняющего песчаника кремнистый или кальцитовый.

## ПОРОДЫ СМЕШАННОГО СОСТАВА

В эту группу целесообразно отнести некоторые брекции, наиболее характерные из которых описаны в разрезах тундринской свиты по р. Курейке и в основании ханельбиринского горизонта по р. Брус. Брекции конседиментационные карбонатные описывались выше в составе карбонатных пород. На р. Курейке в основании тундринской свиты застегает конгломерато-брекчия, состоящая из обломков светло-серых микрозернистых известняков. Обломки размером 0,05-1,0 м имеют субпараллельную ориентировку и погружены в красноцветный апоаргиллитовый силикат, образовавшийся, видимо, при окремнении алевритистого аргиллита. "Струйчатая" текстура заполняющей массы позволяет предположить, что обломки попали в полужидкий глинистый осадок, движущийся по склону. Мощность брекчии 2,5-3,5 м. Несколько выше расположена пачка брекчий (4,0-6,5 м), аналогичных выше-описанным, но пронизанная сетью прожилков, линз, гнезд, линзовидных про-слоев кремней красного, серого, кремового цвета.

В основании ханельбиринского горизонта в разрезе по р. Брус описана брекчия мощностью 1м, сложенная обломками карбонатных пород, кремней и аргиллитов. Заполняющая масса имеет глинисто-карбонатный состав.

## П. ЮГО-ЗАПАДНАЯ ЧАСТЬ ПЛАТФОРМЫ

В отложениях нижнего карбона юго-западной части Сибирской платформы весьма значительную и даже подавляющую роль играют вулканогенные породы: туфы, туффиты, туфопесчаники и др. Подчиненное значение имеют осадочные разности: песчаники, алевролиты, аргиллиты, известняки. Причем эти осадочные породы часто также содержат примесь вулканокластического материала или генетически связанны с вулканитами. Среди осадочных разностей можно выделить следующие породы.

### КАРБОНАТНЫЕ ПОРОДЫ

Известняки описаны в чаргинской, ловатской и мамотовской свитах. В чаргинской свите они играют резко подчиненную роль и образуют мало-мощные прослои среди пестроцветных аргиллитов, мергелей и конгломератов. Известняки светло-серые, плотные, с брекчевидной структурой, сложены мелкозернистым кальцитом с примесью тонкодисперсного глинистого вещества, со стяжениями кальцедона.

В ловатской свите известняки играют основную роль. Это светло-серые, почти белые, массивные породы. Среди них выделяются пепитовые и песчаные разности. В каждой из них обнаруживается окремнение. Пепитовые известняки обычно содержат примесь алевритового и песчаного материала. Часто в пепитовой массе видны псевдоморфозы кальцита по пирокластике. Оолитовые известняки характерны для ловатской свиты. Они сложены кальцитовыми оолитами и пизолитами размером 0,1-0,3м, иногда содержат примесь алевритового и песчаного материала. Местами количество ее настолько возрастает, что известняки переходят в карбонатные песчаники и алевролиты. Такие песчаники имеют мелко- и среднезернистую структуру, преимущественно кварцевый состав. В небольшом количестве присутствуют обломки полевых шпатов и эфузивных пород.

Известняки мамотовской свиты микрозернистые, участками перекристаллизованные до средне- и крупнозернистых, обычно окремнелые.

### ГЛИНИСТО-КАРБОНАТНЫЕ ПОРОДЫ

Сюда можно отнести мергели, описанные в чаргинской свите, где они переслаиваются с аргиллитами, конгломератами и пр. Мергели пестроцветные тонкогоризонтальносплоистые, часто постепенно переходят в пестроцветные известняковистые аргиллиты.

### ТЕРИГЕННЫЕ ПОРОДЫ

Терригенные разности развиты в описываемых отложениях достаточно широко и представлены практически во всех стратиграфических подразделе-

ниях. Среди них выделяются глинистые породы (аргиллиты), песчаники (пески) и алевролиты, а также конгломерато-брекции.

Аргиллиты известны в тушамской свите, где они присутствуют в подчиненном количестве. Породы окрашены в зеленовато-серый, реже в коричневый цвет. Внешне каких-либо признаков сплоистости в них не видно, однако часто наблюдавшаяся плитчатость пород указывает на наличие скрытой горизонтальной сплоистости. Она обусловлена ориентированным субпараллельным расположением глинистых частиц. Породы состоят из монтмориллонита в сочетании с гидрослюдой, хлоритом, или смешанослойным минералом. Обычно аргиллиты хорошо отсортированы и не содержат примеси терригенного материала, лишь изредка встречаются алевритистые разности.

Песчаники (пески) и алевролиты развиты гораздо шире аргиллитов. Они играют заметную роль в нижнетушамской подсвите, красногорьевской, казачинской свитах. Отдельные же прослои этих пород, часто с примесью вулканокластики, присутствуют практически во всех пачках пород. Вследствие сложного состава (осадочная и вулкано-кластическая составляющие) в различных свитах породы имеют весьма разнообразный и иногда характерный облик.

Песчаники в нижней пачке тушамской свиты играют подчиненную роль. Они зеленовато-серые, в основном мелкозернистые. Лишь изредка в разрезе встречаются мелко-среднезернистые разности и еще реже - разности с примесью крупнозернистых частиц. Качественный состав их тот же, что и большей части туфов и туффитов: кварц, полевые шпаты, обломки пород. Однако среди зерен кварца преобладают угловатые полуокатанные обломки, характерные для терригенных пород, среди полевых шпатов много выветрелых обломков, а среди обломков пород заметно возрастает роль осадочных и метаморфических образований. Цементом в песчаниках служит пирокластический материал пепитовой размерности и глинистый материал, возникший по пирокластике. Преобладающий тип цемента порово-плёночный, участками сгустковый. Изредка встречаются линзы песчаника с кальцитовым цементом базального типа.

Пески и песчаники чаргинской свиты светло-серые, почти белые, иногда с зеленоватым и розоватым оттенком, крупно-средне- и мелкозернистые, косослоистые. Породы сложены главным образом кварцем, в резко подчиненном количестве содержатся обломки кремнистых, эфузивных пород и полевые шпаты. Цемент глинистый и кальцитовый. Алевролиты в отличие от песчаников характеризуются высокой карбонатностью.

В нижней пачке красногорьевской свиты песчаники слагают отдельные прослои, а иногда образуют пачки мощностью до 60 м. По составу, структуре и внешнему виду они аналогичны песчаникам ловатской и чаргинской свит. Среди них присутствуют разнозернистые, мелко-среднезернистые и мелкозернистые разности. Цемент кальцитовый или туфогенный. Алевролиты имеют песчано-алевритовую структуру. Размер зерен 0,08-0,1 мм. Они сложены кварцем, полевыми шпатами и обломками эфузивных пород. Изредка встречаются глауконит и чешуйки гидратированных слюд.

Песчаники средней и верхней пачек красногорьевской свиты при внешнем сходстве имеют очень разный состав. В средней пачке песчаники зеленовато- и желтовато-серые, мелко-среднезернистые с содержанием кварца до 25%, полевых шпатов до 20-30%, псамmitового и пепитового пирокластического материала 40-50%. Пепитовый туфогенный материал или продукты его вторичных изменений являются цементом.

Песчаники верхней пачки зеленовато-серые, мелко-среднезернистые, кварцевые, с примесью обломков известняков, с кальцитовым цементом. Известия коричневато-серые, пятнистые, разнозернистые, песчанистые.

В казачинской свите среди песчаников доминируют туфогенные. Породы полимиктовые, светло-серые, почти белые, серовато-зеленые и зеленые, мелко-среднезернистые, с кальцитовым, туфогенно-кальцитовым и туфогенным цементом. Обломочный материал представлен кварцем, полевыми шпатами, значительно реже — обломками известняков и кремнистых пород.

Конгломерато-брекчики, описанные только в чаргинской свите, пестроцветные, сложены угловатыми обломками известняков, спанцев, гальками кварца, кварцитов и стяжениями халцедона. Обломки скементированы глинисто-халцедоновым и карбонатным цементом.

## ВУЛКАНОГЕННЫЕ ПОРОДЫ

Вулканогенные породы занимают основное место в составе нижнекарбоновых толщ. Набор их очень разнообразен как по макроскопическим признакам, так и по составу. Причем каждая из свит имеет характерный набор пепловых пород: туфов, туффитов, туфопесчаников.

В нижней пачке тушамской свиты туфы представлены белыми, зелено-вато-серыми, коричневыми и пиловыми разностями. Преобладают пепловые тонкообломочные туфы, реже встречаются среднебломочные разности. Туфы сложены частицами стекла, обломками изверженных пород, кристаллами кварца и полевых шпатов. По преобладанию какого-либо из перечисленных компонентов выделяются кристалло-литокластические, кристалло-литовитро-кластические, витрокластические и кристалло-витрокластические туфы. Наиболее распространена первая из названных разновидностей, но характерны литокластические и кристалло-витрокластические разности. Пепловые частицы туф обычно сильно изменены вторичными процессами. По ним развиваются хлоритовые монтмориллонитовые минералы.

В верхней пачке этой же свиты в туфах резко преобладают обломки изверженных пород. По этой причине большая часть туфов относится к литокластическим разностям. Наряду с обломками пород всегда присутствуют частицы вулканического стекла. При их обилии породы переходят в витрокластические туфы. Туфы с большим содержанием кристаллов кварца и полевых шпатов вулканогенного происхождения встречаются очень редко. Размер частиц, слагающих туфы, изменяется в широких пределах. Наиболее распространены обломки размером 0,15–0,3 мм. Почти все компоненты туфов несут следы вторичных изменений. По обломкам пород и пепловым частицам развивается хлорит и монтмориллонит. Почти столь же широко развита альбитизация пирокластики.

Туффиты и песчаники отличаются от туфов лишь количеством примеси нормально-осадочного материала: кварца, полевых шпатов, обломков метаморфических пород. Содержание кварца в песчаниках около 30%, полевых шпатов 20–40%, туфогенного материала 10–40%. Цемент песчаников глинисто-туфогенный, пленочного типа. Наряду с ним участками встречается кальцитовый цемент порового типа. Кальцит интенсивно замещает пепловый и обломочный материал. При этом местами тип цемента переходит в базальный, и карбонат настолько начинает преобладать в породе, что она переходит в известняк.

Для чаргинской свиты характерны туфы: светло-серые фарфоровидные, образующие линзовидные прослои мощностью 10–12 см. Структура их пепитовая, они сильно изменены вторичными процессами каопинизации и хлоритизации.

Витрокластические туфы присутствуют в отложениях ловатской и нижней пачки красногорьевской свиты. Туфы светло-зеленого, розового, сургучно-красного, коричневого и белого цветов, структура пепитовая.

Средняя и верхняя пачки красногорьевской свиты сложены в основном туфами псаммитовой и пепитовой структуры. Псаммитовые туфы окрашены в зеленый, бутылочно-зеленый цвет, средне-крупнозернистые, литокластического состава, обычно с небольшой примесью стекловатых частиц. Размер обломков 0,1–0,2 мм. В небольшом количестве присутствуют зерна кварца и полевых шпатов. Цементом в городах служит туфогенный пепловый материал пепитовой размерности, по которому развиваются хлорит и монтмориллонит. Тип цемента преимущественно пленочный, иногда пленочно-поровый.

Пепитовые туфы светло-серого, белого и светло-зеленого цвета, плитчатые, часто фарфоровидные. Для них характерна интенсивная измененность вторичными процессами окремнения, глинизации и цеолитизации.

Туфы и туффиты мамотовской свиты коричневые, красно-коричневые, вишнево-красные, зеленые и серовато-зеленые, часто с белыми пятнами. Частицы пепла имеют алевритовую или мелко-, изредка среднепесчаную размерность. По вулканическому стеклу развиваются глинистые минералы — монтмориллонит, изредка гидрослюдя. Кроме вулканического стекла в породе присутствуют зерна кварца, реже полевых шпатов и обломки кремнистых пород алевритовой и мелкопесчаной размерности. Местами туфогенные породы переходят в кварц-полевошпатовые алевролиты с туфогенным цементом.

Вулканогенные породы нижней пачки казачинской свиты представлены двумя разностями. Одна из них — пестроцветные глинизованные туфы и туффиты, запечатывает в нижней части толщи и аналогична туфам и туффитам мамотовской свиты. Другая представлена туфами и туффитами зеленого, голубовато- и серовато-зеленого цвета. Они распространены по всей туфогенной толще, особенно в средней и верхней ее частях. Это преимущественно пепловые туфы витрокластического, реже кристалло-литокластического состава, часто мелкопсаммитовые, реже среднепсаммитовой структуры.

Верхняя пачка сложена псаммитовыми туфами и туффитами с подчиненными прослойками туфов и туффитов пепитовой структуры. Туфы бутылочно-, серовато- и голубовато-зеленые, мелко- и среднезернистые, либо и витрокластического состава. Кварц и полевые шпаты составляют 10–20% породы. Туфогенный материал, особенно пепел пепитовой размерности, сильно изменен вторичными процессами. По нему развивается хлорит, монтмориллонит, цеолиты, кальцит.

## УСЛОВИЯ ОСАДКОНАКАПЛЕНИЯ

### 1. УСЛОВИЯ ОСАДКОНАКАПЛЕНИЯ В РАННЕМ КАРБОНЕ НА ТЕРРИТОРИИ СЕВЕРНОЙ ЧАСТИ СИБИРСКОЙ ПЛАТФОРМЫ

Раннекаменноугольная эпоха явилась переломным этапом в истории геологического развития Сибирской платформы. Накопление морских карбонатных и терригенно-карбонатных толщ, происходившее на протяжении всего раннего и среднего палеозоя, преимущественно в условиях аридного климата, постепенно сменилось континентальным осадконакоплением, обусловившим формирование в обстановке умеренно теплого гумидного климата терригенных угленосных отложений позднего палеозоя.

Тектонические движения конца позднего девона привели к общему поднятию северной части Сибирской платформы и возникновению на ее территории пологого наклоненной к северу и северо-западу равнины, периодически заливавшейся морем или же подвергавшейся эрозии.

Нижний турне, и то палеонтологически слабо охарактеризованный, на Сибирской платформе имеется лишь в Вилойской синеклизе (Ыгыаттинская, Кемпендейская, впадины) и в Кютюнгдинском грабене, чего явно недостаточно для воссоздания палеогеографических обстановок на платформе.

Позднетурнейское время совпало с последней крупной палеозойской трансгрессией, охватившей значительную часть Евразийского и Северо-Американского континентов. Северо-западная часть платформы покрылась водами эпиконтинентального бассейна, располагавшегося к востоку от глубоко-водного моря Обь-Зайсанской и Васюганской многоеосинклиналей (Богуш и др., 1975). Одновременно со стороны Таймырской и Верхоянской геосинклиналей море трансгрессировало на территорию северной части Анабарской антиклизы и в район Оленекского поднятия. Все эти бассейны были частями единой акватории, входившей в состав Северного высок широтного (Сибирского) палеобиогеографического пояса (Юферев, 1973) и, по-видимому, имевшей непосредственную связь с акваториями Экваториального палеобиогеографического пояса. Вязость тектонических движений, в том числе отсутствие значительных дифференцированных подвижек, определили структурный план севера Сибирской платформы в позднетурнейскую эпоху. Позднетурнейский бассейн характеризовался общей выравненностью дна, слабо погружавшегося в северном направлении. Отдельные пологие валообразные поднятия оказывали незначительное влияние на распределение мощностей, вещественный состав и строение осадков. Море было относительно мелководным и теплым. К северу от современного нижнего течения р. Курейки практически постоянно существовал нормально-морской режим осадконакопления, обусловивший в условиях гумидного климата накопление сероцветных известковых илов. Благоприятный гидрохимический и температурный режим бассейна способствовал расцвету органической жизни.

Осадки ханельбиринского горизонта формировались в два этапа, охватывающих черепетский и кизеловский уровни.

На первом этапе осадконакопление происходило, по-видимому, лишь в северной части платформы (до р. Курейки включительно). В это время здесь располагался мелководный бассейн, нормально-морской гидрохимический режим которого временами сменялся слабо засоленным. В этом бассейне накапливались преимущественно известковые, в том числе органогенно-детритовые илы, к которым приурочена основная масса фаунистических остатков. Реже происходило осаждение известково-доломитовых и доломитовых илов. Спокойная гидродинамическая обстановка периодически активизировалась (возможно, этому сопутствовали колебания уровня водной поверхности), что приводило к растрескиванию и взламыванию слабо литифицированных осадков с последующим образованием брекчированных пород и конседиментационных брекчий.

По распределению комплексов фораминифер на северо-западе платформы выделяются три биогеографические зоны (Богуш и др., 1977). Наиболее разнообразный комплекс фораминифер приурочен к полосе северо-западного простирания, протягивающейся от оз. Кета до ст. Тундра. По-видимому, гидрохимический, температурный и гидродинамический режимы этой зоны были наиболее благоприятны для развития бентосной фауны. К северо-востоку (оз. Пясино), юго-западу (р. Фокина) и югу (реки Брус и Курейка) от этой зоны фаунистические комплексы становятся беднее, причины чего пока не ясны. Обединение фаунистических комплексов в Фокинско-Курейской зоне вероятнее всего связано с опреснением бассейна за счет вод поверхностного стока, поступавших с приподнятых южных территорий. Необходимо отметить, что выделение упомянутых биозон не находит подтверждения в изменениях вещественного состава и строения соответствующих осадочных толщ.

На территории северного крыла Анабарской антиклизы в черепетское время накапливались осадки, сходные по составу и строению с осадками северо-западной части платформы и содержащие близкие фаунистические комплексы (Беляков и др., 1967).

В пределах Приенисейской зоны междуречья Подкаменной и Нижней Тунгуски не обнаружено осадков, которые можно было бы отнести к черепетскому уровню. Вероятно, трансгрессирующее турнейское море не успело к этому времени проникнуть в указанную зону и последняя представляла собой низменную прибрежную равнину, которая практически не служила поставщиком терригенного материала.

Осадконакопление следующего (кизеловского) этапа происходило на фоне прогрессирующей трансгрессии моря. На северо-западе платформы (Норильский район) в условиях спокойного гидродинамического режима накапливались однообразные известковые органогенно-детритовые илы. Гидрохимические условия бассейна отличались значительно большей стабильностью по сравнению с предыдущим этапом. Незначительное периодическое увеличение солености приводило к накоплению маломощных прослоев доломитово-известковых илов. Засоленность бассейна при этом не достигала стадии активного доломитонакопления. Характерная особенность данной эпохи — насыщение вод кремнеземом, поступавшим, по-видимому, в бассейн в коллоидной форме при размытии кор выветривания в областях сноса. Это привело к образованию многочисленных кремневых конкреций, стяжений и линзовидных прослоев, а также способствовало развитию кремневых губок, многочисленными спикулами которых насыщены отдельные прослои. Подобно предыдущему этапу, фаунистические комплексы достигают наибольшего разнообразия в полосе оз. Кета — ст. Тундра (Богуш и др., 1977), где сохранялась обстановка открытого мелководного моря, обладавшая оптимальными условиями для развития фауны. Северо-восточнее этой зоны фаунистические комплексы ста-

новятся беднее, и одновременно происходит смена их родового и видового состава (многокамерные фораминиферы уступают место однокамерным; среди брахиопод в значительном количестве появляются формы, характерные для зонных относительно глубоководных отложений), указывающая на углубление бассейна в этом направлении. К югу от Кета-Тундринской зоны наблюдается общее обеднение фаунистических комплексов, которое вероятно связано с некоторым опреснением вод в этом направлении.

В кизеловское время трансгрессирующее турнейское море проникло на территорию приенисейской части междуречья Подкаменной и Нижней Тунгуски, где началось накопление осадков джалтулинской свиты. Фациальные условия в этой зоне значительно отличались от тех, которые существовали в более северных районах. Гидрохимический режим бассейна периодически изменялся от нормально-морского, на что указывает наличие остатков фораминифер, крионидей, морских ежей и брахиопод, до опресненного (солоновато-водного). Бассейн отличался мелководностью и довольно интенсивной динамикой водной среды. Частая встречаемость в осадках волнисто- и косоволнистостроистых текстур, текстур брекчирования и взмучивания (подводно-оползневые образования), своеобразный облик "джалтулинских песчаников" и ритмичный характер смены в разрезе терригенного и карбонатного материала позволяют предполагать, что накопление осадков происходило в мелководный краевой (прибрежно-пляжевой) зоне эпиконтинентального моря, береговая линия которого под влиянием колебательных тектонических движений довольно широко мигрировала по площади.

На северном склоне Амбарской антиклизы отложения, содержащие кизеловский комплекс фауны, не обнаружены (Беляков и др., 1967). По-видимому, эти осадки существовали, но были размыты в последующие эпохи, о чем свидетельствует тот факт, что известняки черепетского времени, которые перекрываются песчаниками верхней перми (на контакте обычно развиты пластовые интрузии траппов), до самых верхних слоев не содержат каких-либо признаков регрессии.

В конце позднетурнейской эпохи осадконакопление на северо-западе платформы в основном сохраняло черты, присущие кизеловскому времени. Вместе с тем на этом этапе появляются первые признаки начинающейся регрессии. По-прежнему в осадках преобладают насыщенные кремнеземом сероцветные известковые илы. Но наряду с ними появляются водорослевые, олиственные и брекчированные разности, а также известково-доломитовые илы. Если наличие первых указывает на общее обмеление бассейна, то появление в осадках доломитовой примеси свидетельствует о неустойчивости гидрохимического режима. Все эти факторы не могли не отразиться на органической жизни бассейна и повлекли за собой резкое обеднение фаунистических комплексов.

В междуречье Подкаменной и Нижней Тунгуски регressiveные тенденции конца турне привели к общему обмелению бассейна, сопровождавшемуся его опреснением за счет вод поверхности стока. Эти явления нашли отражение в увеличении количества и размерности обломочного материала и появление прослоев бескарбонатных осадков в верхних горизонтах джалтулинской свиты.

Недостаточная палеонтологическая охарактеризованность верхнетурнейских отложений северо-восточной части Сибирской платформы, в частности почти полное отсутствие остатков фораминифер в породах нижней карбонатной толщи Кютюнгдинского грабена, не дает возможности расчленить ее, как это сделано в разрезах северо-запада. Вместе с тем закономерности разви-

тия осадконакопления позволяют считать, что здесь также присутствуют осадки всех возрастных уровней, выделенных в Норильском районе.

Фациальные условия на северо-востоке платформы в позднетурнейскую эпоху отличались от таковых в других районах. Позднетурнейский бассейн не являлся какой-либо зоной открытого эпиконтинентального моря, а вероятнее всего представлял собой обширный мелководный залив, имевший непосредственную связь с акваториями Таймырского и Верхоянского морей. Близость источников сноса обеспечивала практически постоянное, но разной интенсивности поступление в бассейн глинистого и временами песчано-алевритового материала.

На начальном этапе позднетурнейского осадконакопления бассейн отличался исключительной мелководностью, переменной динамической активностью и повышенной соленостью водной среды. В это время накапливались преимущественно мелкослоистые доломитовые илы, обогащенные глинистым и алевритовым материалом с отдельными прослоями песчаных алевритов. Близость источников сноса подчеркивается присутствием на плоскостях наслаждения мелкого растительного детрита. Дальнейшее осадконакопление проходило на фоне нарастающей трансгрессии. Становится более спокойным и в конечном итоге стабилизируется гидродинамический режим, происходит углубление водоема и, возможно, расширение его акватории. Гидрохимический режим периодически меняется от слабо засоленного до нормально-морского. В водоеме накапливаются однородные доломитовые, доломито-известковые и известковые илы, периодически насыщающиеся кремнеземом. Содержание в осадках терригенной примеси резко снижается; появляется значительное количество остатков фауны вплоть до образования прослоев органогенно-детритовых илов. На заключительном этапе, который соответствует концу турне, проявляются все признаки быстро развивающейся регрессии – резкое обмеление и интенсивное засоление водоема. В это время накапливались глинисто-доломитовые илы и сульфаты, причем количество последних увеличивалось вверх по разрезу, что свидетельствует о нарастающем засолении бассейна.

В результате активизации тектонических движений в конце турнейской – начале визейской эпохи произошло общее поднятие территории севера Сибирской платформы, которое обусловило регрессию позднетурнейского моря. Ранневизейское осадконакопление (серебрянское и тундринское время) проходило в период нарастания регрессии\*, которой сопутствовала аридизация климата. Неблагоприятный гидрохимический режим способствовал, по-видимому, быстрому угнетению органической жизни в бассейнах этой эпохи. Тектонические движения, при общих положительных тенденциях, носили дифференцированный характер, следствием чего явилось возникновение на месте единого эпиконтинентального морского бассейна отдельных водоемов, периодически (?) сообщавшихся между собой, и морскими бассейнами геосинклинальных зон. Водоемы эти, по-видимому, не являлись изолированными, отшнурованными бассейнами. "Перемычки" между ними вряд ли представляли собой длительно существовавшие, подвергавшиеся эрозии участки суши. Скорее это были приподнятые участки дна бассейна, временами выходившие на дневную поверхность и затруднявшие циркуляцию вод.

В Норильском районе зона поднятий была приурочена преимущественно к территории Хантайско-Рыбинского мегавала. К северо-западу от него, примерно в полосе р. Фокина – оз. Пясино, образовалась зона погружений,

\* После кратковременной серебрянской трансгрессии.

ограниченная с запада (ст. Тундра, Болгохтохский участок) и с юга (р. Фокина) участками относительных поднятий. На этой территории в тундринское время возник засоленный бассейн, в наиболее погруженной затишной части которого происходило накопление сульфатов и доломитовых илов (местами пестроцветных), периодически обогащавшихся глинистым материалом. На участках относительных поднятий накапливались преимущественно глинисто-доломитовые и доломитовые илы. Периодическая активизация гидродинамического режима и возможные колебания уровня водной поверхности приводили к растрескиванию и взламыванию слабо литифицированных осадков с последующим образованием брекчированных пород и конседиментационных брекчий. Сульфатонакопление на участках поднятий было незначительным или же полностью отсутствовало. В осадках тундринского времени этой территории также практически полностью отсутствует примесь песчано-алевритового материала, что подтверждает существование зоны поднятий на территории Хантайско-Рыбинского мегавала, препятствующей его проникновению со стороны областей сноса, расположенных на юге.

К югу от Хантайско-Рыбинского мегавала (бассейны рек Брус и Курейка) на границе турнейской и визейской эпох имел место перерыв осадконакопления, на что указывает резкий размыв между базальными слоями тундринской свиты, представленными пестроцветными доломитово-известковыми конгломерато-брекчиями и сероцветными известняками верхнего турне. Условия осадконакопления на этой территории значительно отличались от таковых на крайнем северо-западе платформы. Гидрохимический режим бассейна был очень неустойчив, периодически изменяясь от засоленного до опресненного (солоновато-водного), причем степень засоленения никогда не достигала сульфатной стадии седиментации. Изменчивость солености определялась периодическим притоком пресных вод поверхности стока с южных территорий и отсутствием устойчивой связи с морскими бассейнами северных районов. В это время в водоеме накапливались глинисто-доломитовые, известково-глинистые и глинистые илы, местами обогащенные кремнеземом, с прослойями и примесью песчано-алевритового материала. Бассейн отличался мелководностью. Динамика его среды была непостоянна и сопровождалась колебаниями уровня водной поверхности. В осадках встречаются разнообразные типы слоистых текстур, чередующихся с текстурами взмучивания и брекчирования.

В междуречье Подкаменной и Нижней Тунгуски тундринскому времени или же его части, возможно, соответствовал перерыв осадконакопления, к которому приурочен размыв на границе джалтулинской и фатьяниховской свит. Отсутствие палеонтологических данных не позволяет достоверно судить о длительности этого перерыва.

Начавшаяся в конце позднетурнейской эпохи регрессия способствовала превращению к началу тундринского времени существовавшего на территории нижнего течения р. Оленек морского залива в замкнутую лагуну, не имеющую постоянной связи с геосинклинальными бассейнами. Аридность климата в этом районе проявилась в значительно большей степени, чем на северо-западе платформы. Близость источников сноса и стабильный спокойный гидродинамический режим лагуны способствовали накоплению монотонной толщи красноцветных глинистых илов, а быстрое засоление водоема вызвало интенсивную садку сульфатов. Временные потоки поверхностных вод с окружающих территорий привносили в бассейн песчано-алевритовый и гравийно-галечный материал.

Во второй половине визейской эпохи тектоническая активность значительно снизилась, и на территории севера Сибирской платформы возобладали

тенденции погружения. К этому времени компенсация осадками прогнутых участков способствовала нивелировке дна бассейна и установлению более свободной циркуляции вод между отдельными районами. На формирование осадков в пределах северо-запада платформы оказывали влияние две основные тенденции: прогрессирующая гумидизация климата и связанное с ней опресняющее воздействие поверхности стока, поступавшего с расположенных на юге областей сноса, и практически постоянное, но разной интенсивности поступление соленых вод со стороны Таймырского моря.

Поднятия территории Хантайско-Рыбинского мегавала в бруssкое время оказывали влияние не столько на циркуляцию вод, сколько на распределение по площади обломочного материала. На крайнем северо-западе установился режим относительно мелководного слабо засоленного бассейна, в котором накапливались глинисто-доломитовые и глинисто-известковые илы. Образование сульфатов к этому времени полностью прекращается. На заключительных этапах в осадках появляется примесь песчаного и алевритового материала.

Южнее Хантайско-Рыбинского мегавала (бассейны рек Брус и Курейка) в условиях опресненного мелководного бассейна с неустойчивым гидродинамическим режимом формировались терригенно-карбонатные осадки бруssкой свиты. Распределение в осадках известкового и песчано-алевритового материала имело неравномерно-ритмичный характер, обусловленный колебаниями уровня водной поверхности и неравномерностью поступления материала из областей сноса. Активизация тектонических движений бруssкого времени сопровождалась деятельностью эруптивных аппаратов, поставлявших вулкано-кластический материал в область осадконакопления. К концу бруssкого времени опреснение бассейна усиливается и начинают накапливаться практически бескарбонатные песчано-алевритовые осадки.

Поздневизейское осадконакопление в междуречье Нижней и Подкаменной Тунгуски сохраняло те же черты, что и в бассейне р. Курейки. Здесь в обстановке неустойчивого гидрохимического и гидродинамического режимов происходило неравномерно-ритмичное накопление карбонатно-терригенных и терригенных осадков. Вместе с тем непосредственная близость фатьяниховской части бассейна к областям сноса напоминает отпечаток на состав осадков. По сравнению с бруssкой свитой в осадках резко возросли количество и размерность обломочного материала, значительно увеличилось содержание вулканокластики. Гидрохимический режим бассейна, неоднократно изменявшийся в начальный период осадконакопления от нормально-морского до солоновато-водного, что временами обеспечивало необходимые условия для существования морской фауны, на заключительных этапах сменился пресноводным. Это нашло отражение в неравномерном снижении содержания карбонатов в осадках, вплоть до их полного исчезновения в верхних слоях.

На северо-востоке платформы во второй половине (?) визейской эпохи режим засоленной лагуны тундринского времени сменился обстановкой мелководного эпиконтинентального бассейна. Установившийся нормально-морской режим и относительно стабильная гидродинамическая обстановка создали условия для расцвета бентосной морской фауны и накопления монотонной толщи сероцветных известковых (в том числе органогенно-детритовых) и реже глинисто-известковых илов. Сравнительная близость областей сноса обусловила появление в осадках маломощных прослоев глинистого материала. Наличие текстур взмучивания осадка, знаков рапи и трещин усыхания указывают на периодическую активизацию гидродинамической обстановки и колебания уровня водной поверхности. Вместе с тем изучение вещественного состояния

тава и с.роения осадков верхней карбонатной толщи Кютюнгдинского грабена показало, что в ней отсутствуют какие бы то ни было признаки нарастания регressiveных тенденций. От базальных до самых верхних слоев, на коре выветривания которых с размывом залегают рыхлые песчаники верхней перми, состав и строение толщи остаются неизменными. Это дает возможность предположить, что морские условия осадконакопления на северо-востоке Сибирской платформы сохранялись значительно дольше, чем в ее западных районах.

В западной части Сибирской платформы раннекаменноугольный этап осадконакопления завершается формированием бескарбонатных кварцевых песчаников кондраминской свиты, условно сопоставляемых по возрасту с серпуховским ярусом. Их образование, по-видимому, происходило в динамической прибрежной зоне пресноводного водоема, располагавшегося на территории нижнего течения р. Подкаменной Тунгуски.

#### П. УСЛОВИЯ ОСАДКОНАКСПЛЕНИЯ В РАННЕМ КАРБОНЕ НА ТЕРРИТОРИИ ЮЖНОЙ ЧАСТИ СИБИРСКОЙ ПЛАТФОРМЫ

В раннем турне на юге Сибирской платформы осадконакопление происходило лишь в пределах Ыгыаттинской и Кемпендейской впадин. В обоих районах осадки содержали постоянную примесь туфогенного материала. В Кемпендейской впадине осадконакопление началось, по-видимому, в позднедевонское время. Как и в позднем девоне, в начале турне осадки накапливались в аридных условиях. Об этом говорят прослои гипса и ангидрита и их многочисленные включения. В целом климат характеризовался довольно мягкими, по сравнению с типично аридным, условиями. Это позволило накапливаться карбонатам – известнякам и доломитам. Другой причиной, обусловившей накопление карбонатов, явилась дифференциация тектонических движений, что привело к прогибанию рассматриваемой территории и трансгрессии моря. Таким образом, в первые этапы нижнекаменноугольной эпохи на востоке Сибирской платформы (в бассейне р. Вилой) возник крупный залив. Наиболее прогнутая его часть располагалась на юго-востоке Кемпендейской впадины. Там же было сосредоточено основное карбонатонакопление. Этому, вероятно, благоприятствовало и прилегание с юга обширной и мало расчлененной страны, сложенной относительно устойчивыми к выветриванию породами, – Алданского щита. Северо-западная часть залива (Ыгыаттанская впадина) представляла собой сравнительно мелководный бассейн. Соседство обширной территории, сложенной непрочными осадочными породами, обусловило преимущественно терригенный состав осадков эмаксинской свиты. К концу раннего турне поступление терригенного материала из области сноса прекратилось, по-видимому, в результате ее плененации, и терригенные осадки сменились карбонатными, преимущественно доломитами. Характер осадков в бассейне седimentации модифицировался не только в результате изменения соотношения обломочного и растворенного материала, поступавшего из областей сноса, но и в результате изменения климата. К концу раннего турне произошло некоторое усиление аридного режима. Это привело к вытеснению известковых и доломитовых осадков в Кемпендейской впадине преимущественно гипсоносными отложениями.

В позднем турне площадь осадконакопления на юге платформы значительно расширилась. Она протянулась из бассейна среднего течения р. Вилой

через верховья рек Чоны, Нижней Тунгуски, Катанги, среднее течение Аянгры до Рыбинской, Кемчугской, Канско-Тасеевской, Казачинской и Купаковско-Погромицкой впадин. Конфигурация бассейна, единство осадков, накапливавшихся в нем, указывают на возникновение в это время на юге Сибирской платформы прогиба, названного Енисейско-Вилюйским (Грайзер, Ульмасвай, 1972, 1975). Общая и характерная черта осадков бассейна – присутствие туфогенного материала. Местами и главным образом в западной половине прогиба накапливались тонкие прослои туфов и туффитов. На востоке региона, в районе среднего течения р. Вилой, произошло значительное сокращение бассейна осадконакопления. Он сохранился лишь в Кемпендейской впадине; территория Ыгыаттинской впадины в это время присоединилась к области сноса. Карбонатно-терригенный состав осадков Кемпендейской впадины указывает на гумидизацию климата. Вместе с тем присутствие доломитов в осадке свидетельствует о сохранении некоторых черт аридного климата, о периодическом преобладании испарения над поступлением воды в бассейн и о связанным с этим изменении его солености. Ненормальная соленость воды была, по-видимому, одним из факторов, определявших неблагоприятные для жизни условия в бассейне. На это указывает также присутствие в осадках скудного комплекса фораминифер, состоящего из простоустоенных форм, наиболее приспособленных к неблагоприятным условиям. Об этом же свидетельствуют и многочисленные находки эндемичных рыб.

От Кемпендейской впадины, где позднетурнейское погружение развивалось унаследовано раннетурнейскому, прогибание постепенно продвигалось в юго-западном направлении. Это продвижение отражает постепенное развитие восточной части прогиба. Позднее других был вовлечен в прогибание район, расположенный в верховьях рек Нижней Тунгуски и Катанги, что, по-видимому, связано с принадлежностью этого района к склонам древней стабильной структуры – Непского свода. Почти синхронно с восточной частью прогиба развивалась западная его половина. Там прогиб возник в самом начале позднего турне. По аналогии с восточной половиной впадины можно предположить, что так же как в районе верховьев р. Чоны погружение шло со стороны Кемпендейской впадины, где оно было унаследовано с раннего турне и даже девона. Сходным районом является прилегающий к платформе Минусинский прогиб.

Начальные этапы наступления бассейновых условий в западной части прогиба характеризовались накоплением известняков. Их оолитовый состав, примесь терригенного материала – все это указывает на малые глубины бассейна. Если на востоке препятствием для органической жизни была ненормальная соленость, то на западе никаких признаков этого явления не отмечается. По-видимому, малая глубина бассейна и связанные с этим волнения были причиной неблагоприятных условий для сохранения следов жизни. Сравнительно небольшое количество терригенной примеси, присутствие в ее составе только устойчивых к выветриванию обломков кварца и кремней, присутствие каолинита как в тонкорассеянном состоянии, так и в виде гнездовидных включений и окатышей – все это говорит о том, что бассейн трансгресировал на территорию, покрытую чехлом рыхлых выветрелых отложений. В результате абразии эти отложения были смыты и ассимилированы морскими осадками. Осадки начального этапа трансгрессии бассейна прослеживаются в западной его половине повсеместно. Их залегание на различных стратиграфических уровнях отмечает постепенное продвижение бассейна от окраины платформы в глубь ее в северо-восточном направлении.

Первое сравнительно небольшое прогибание платформы, вызвавшее трансгрессию моря, вскоре сменилось довольно интенсивными дифференцированными движениями. Это вызвало усиленное прогибание дна бассейна и воздымание областей сноса. В результате в рассматриваемый бассейн начал поступать обломочный материал полимиктового состава. По-видимому, те же самые тектонические движения вызвали к жизни вулканическую деятельность. Судя по широкому распространению туфогенного материала и полному отсутствию лав, извержения носили в основном эксплозивный характер. Все это обусловило смену карбонатообразования накоплением туфогенно-карбонатных толщ.

Дифференцированные движения, начавшиеся в позднем турне, продолжались и в визе. Существенным их отличием явилось вовлечение в поднятие крупных участков прогиба. В результате этого ранее единый бассейн распался на ряд крупных седиментационных ванн. На востоке осадконакопление сохранилось в пределах Кемпендейской впадины, на западе - в Казачинской, Рыбинской и Кемчугской. В центральной части Енисейско-Вилюйского прогиба обособилось крупное озеро, захватывавшее среднее течение р. Ангары, верховья Катангии и Нижней Тунгуски. Как и в предыдущие моменты геологической истории, осадки всех седиментационных бассейнов содержали примесь туфогенного материала. Расширение областей питания повлияло за собой вовлечение в процесс осадконакопления больших масс обломочного материала. В целом осадки раннего визе представлены псаммитами и алевритами. Распространение основных типов пород в Ангаро-Тунгусском озере носило типичный для озер характер: по периферии, в районе среднего течения Ангары и верховьев Нижней Тунгуски преобладали песчаные и туфопесчаные осадки. В центральных частях озера накапливались тонкозернистые осадки - глины и туфолепиты.

Условия, наиболее близкие к морским, существовали на востоке, в Кемпендейской впадине. Там наряду с туфогенно-терригенными осадками накапливались туфогенно-карбонатные отложения. По-видимому, наблюдаемая ныне площадь распространения осадков в Кемпендейской впадине представляет собой центральные части бассейна. Осадки прибрежных частей бассейна, расположавшиеся выше, были смыты в позднейшие этапы геологической истории.

Наиболее грубоэристиные и мощные толщи осадков накапливались во впадинах юго-западной окраины платформы. Они сложены полимиктовыми песчаниками, туфопесчаниками, туффитами и туфами. Основным материалом полимиктовых осадков были осадки вулканогенного происхождения, перенесенные на значительное расстояние. Породы накапливались в краевых частях бассейна, основная часть которого располагалась за границей платформы, в пределах Минусинских впадин. Принадлежность рассматриваемой территории к окраинным участкам платформы обусловила значительную тектоническую раздробленность ее и привнос в бассейн седиментации грубоэристистого материала. Неспокойная обстановка прибрежной части водоема способствовала дифференциации обломочного материала - накоплению песчаных осадков и выношу более тонкозернистого материала в центральные части водоема.

Процесс вытеснения прибрежно- и озерно-морской седиментации с территории платформы, начавшийся в раннем визе, продолжался и во второй половине века. Осадки этого времени известны лишь в двух регионах: в междуречье Чуны и Подкаменной Тунгуски и во впадинах юго-запада платформы. Первый район представлял собой реликтовый водоем, оставшийся после распада Енисейско-Вилюйского пролива позднего турне. Он располагался при-

мерно на месте центральных участков Ангаро-Тунгусского озера раннего визе и наследовал не только место, но и характер осадков, представленных глинями и алевролитами. В отличие от предшествующих эпох значительно сократилось количество туфогенных осадков. Пирокластический материал присутствовал лишь в виде незначительной примеси. Тонкозернистость осадочного материала объясняется положением озера в центре обширной равнины, образованной на месте озера раннетурнейского времени.

На юго-западе платформы осадконакопление продолжалось примерно в тех же районах, что и раньше. Характерная его черта - сохранение высоких содержаний пирокластической примеси. Она образует и отдельные туфогенные прослои и присутствует в виде примеси в карбонатных и терригенных осадках. Последние представлены песчаными, алевритовыми и глинистыми разностями при явном преобладании тонкозернистых осадков. После интенсивной денудации территории в раннем визе к концу века области сноса были в значительной мере выровнены и поставляли в бассейн седиментации сравнительно небольшое количество в основном тонкозернистого и растворенного материала. Пирокластика представлена также пелитовыми частицами. Их плохая сохранность и тяготение к тонкозернистым прослойям указывает на то, что привнос их осуществлялся, видимо, водным путем направляемыми течениями из участков этого же водоема, расположенных за пределами исследованной территории. Палеогеография серпуховского века значительно отличалась от палеогеографии предшествующего времени. От визейского времени площади осадконакопления наследуются лишь на юго-западе платформы. В серпуховский век началась перестройка среднепалеозойского тектонического плана, чему соответствует и перестройка палеогеографии района. В предшествующее время на Енисейском кряже и на южных склонах Канско-Тасеевской впадины сформировались каолинитовые коры выветривания. Вероятно, они были распространены в то время значительно шире, чем мы наблюдаем это в настоящее время. Начавшаяся перестройка тектонического плана привела к интенсивному размыву кор выветривания. Области развития их окружены обширной областью аллювиальной равнины, которая фиксируется распространением пород кондоминской свиты. Ореол ее расположения расположен асимметрично по отношению к основной питающей провинции - Енисейскому кряжу. Большая часть аллювиальной равнины располагается к востоку от него, а с юга и, возможно, с запада она узкой полосой окаймляет поднятие. Это указывает на асимметричный рельеф Енисейского кряжа. Восточный склон его полого опускался в сторону центральных районов платформы. На юге поднятие Енисейского кряжа ограничивалось цепью впадин, которые и улавливали основную массу рек, поворачивая их на запад. Западный склон Енисейского кряжа круто опускался в сторону Западно-Сибирской плиты.

Гипсометрически ниже аллювиальной равнины и ближе к конечным водотокам стока располагалась зона озерно-аллювиальной равнины. В рассматриваемом районе осадки ее представлены породами нижней части рожденской свиты Казачинской впадины. Они известны лишь на западном склоне, что связано с относительной его крутизной, обусловившей быструю смешанную фаций. Появление в осадке углистого материала указывает на изменение климата. В более ранние периоды карбона в озерных условиях накапливались терригенные и карбонатные осадки, а углистый материал полностью отсутствовал. Изредка встречающиеся там флористические остатки выполнены глинистым и туфогенным материалом. По-видимому, в серпуховский век завершился процесс смены аридного климата, характерного для девона, на умеренно теплый влажный климат среднего - верхнего карбона.

### Ш. УСЛОВИЯ ОСАДКОНАКАПЛЕНИЯ В РАННЕМ КАРБОНЕ В ВОСТОЧНОЙ ЧАСТИ САЯНО-АЛТАЙСКОЙ ОБЛАСТИ

В восточной части Саяно-Алтайской области осадконакопление происходило в нескольких водоемах – Минусинском, Тувинском, Усинском и Еринатском. Наиболее крупным из них был Минусинский бассейн озерного типа.

В раннем турне этот бассейн был в основном пресноводным. Лишь в самом начале описываемого времени в северной части (Северо-Минусинская и Назаровская впадины) бассейн еще с девонского времени оставался солоноватым, о чем свидетельствует широкое развитие только в этих районах толщи доломитов в низах быстрянской свиты. В южных разрезах на том же стратиграфическом уровне встречаются не доломиты, а известняки.

К началу алтайского времени накопление карбонатов почти полностью прекращается на всей территории прогиба и начинается образование терригенных существенно грубообломочных осадков, красноцветных на юге прогиба и сероцветных на севере. Размер обломков и роль песчано-гравийного материала заметно увеличивается в юго-западном направлении, что указывает на преобладание сноса с южной части Кузнецкого Алатау.

Еринатская мульда в раннетурнейское время была небольшой впадиной, окруженней сильно расчлененной сушей, с которой поступал преимущественно крупнообломочный, плохо сортированный и окатанный кластический материал. Большую часть времени впадина представляла собой алювиальную равнину. На короткое время за счет сокращения поступления крупнообломочного материала она превращалась в пресноводный озерный водоем с алевритовым осадконакоплением.

Усинская впадина в описываемое время была котловиной, окруженной среднегорной сушей. В большей северо-восточной ее части накапливались алювиальные, реже озерные красноцветные осадки, на юго-западе в это же время формировались преимущественно алювиальные и проплювиальные отложения.

Второй по величине областью осадконакопления являлся Тувинский прогиб. В раннем турне условия осадконакопления были существенно различными в его юго-западной части, с одной стороны, и центральной и северо-восточной частях – с другой. На юго-западе существовал пресный озерный водоем, в котором формировались преимущественно красноцветные алевритовые и мелкопесчаные осадки. В центральной и северо-восточной частях Тувинского прогиба в то же время шло накопление сероцветного крупнообломочного, в основном гравийно-галечного материала алювиально-дельтового происхождения.

Позднетурнейское время характеризуется расширением области осадконакопления, максимальным для нижнекаменноугольной эпохи как восточной части, так и всей Саяно-Алтайской области в целом.

В Минусинском прогибе такая тенденция проявилась особенно четко. В начале этапа отмечается затопление северо-востока Северо-Минусинской впадины и установление связи Минусинского бассейна с морем к северу. Об этом свидетельствует наличие в камыштинской свите только на севере прогиба фауны брахиопод и морских ostracod. В камыштинское время соленость вод бассейна резко повысилась, а в Назаровской и Северо-Минусинской впадинах она приближалась к нормально-морской. В самохвальское и кривинское время связь с морем прерывается, и бассейн снова опресняется. В конце турнейского века (соломенское время) Минусинский прогиб разделяется на две зоны субмеридионального направления: Приалатаусскую (западную) и При-

восточносибирскую (восточную). Первая характеризуется накоплением туфитово-карбонатных осадков, вторая – грубокластических образований, главным образом песков и галечников. На юго-западе прогиба (район Аскизских шахт) обнаружена морская фауна, указывающая на наличие проливов, временами соединявших между собой Минусинский и Кузнецкий бассейны (Бровков и др., 1965).

В Еринатской и Усинской впадинах в позднетурнейское время также отмечается сокращение привноса крупнообломочных компонентов за счет увеличения мелкообломочных фракций, возрастает роль пепловой пирокластики, получают развитие известковые илы.

Тувинский прогиб в начале позднего турне (среднесуглухемское время) также претерпевает заметное погружение. Снос грубообломочного материала резко сокращается, в озерных условиях начинается осаждение главным образом известковых илов и пирокластики. Позднее, в верхнесуглухемское время, в центральной Туве происходит некоторое сокращение территории, занятой озерными водоемами, обновление рельефа окружающей суши, заметное сокращение карбонатонакопления. На юго-западе Тувинского прогиба, в области хр. Западный Танну-Ола, наоборот, в общих чертах сохраняется обстановка среднесуглухемского времени. Хербесское время характеризуется установлением сходных по всему Тувинскому прогибу условий с накоплением в обширном бассейне типа озеро-море преимущественно пепловых осадков, среди которых подчиненное значение имели пески, и на юго-западе прогиба также известковые илы. Возможно, что в это время Тувинский бассейн сообщался с Усинским. В конце турнейского века (нижнебайтагское время) произошло заметное обновление рельефа Восточносибирской суши, повлекшее за собой резкое увеличение роли песчаных осадков за счет уменьшения пепловых и карбонатных. На северо-востоке прогиба озерные условия, вероятно, сменились дельтовыми.

В раннем визе (ямкинское время) Минусинский бассейн представлял собой систему сообщавшихся между собой крупных пресных озер, в которых формировались пирокластические и в меньшей мере карбонатные главным образом известковые илы. Терригенные осадки имелись лишь на северо-востоке впадины за счет его поступлений с северных отрогов Восточно-Саянской суши. Данных о наличии связи с морем Кузбасса не имеется, скорее всего она была утеряна в самом начале визейского века. Минусинский и Кузнецкий бассейны отделялись друг от друга незначительно приподнятой сушей Кузнецкого Алатау, снос с которой был крайне ограниченным. В начале описываемого этапа (комарковское время) происходило формирование в Минусинском прогибе последних красноцветов, исчезновение которых, видимо, связано с дальнейшей гумидизацией климата.

В Еринатской мульде продолжало существовать пресное озеро, в котором формировались осадки, состоящие из тонкого пирокластического материала. Окружавшая впадину Западносибирская суза, как и во второй половине турнейского века, была низкогорной, слаборасчлененной.

В Усинской впадине визейские отложения не известны.

В Тувинском бассейне на большей части его территории шло образование песчаных и несколько меньше – туфогенных осадков. Лишь на северо-востоке преобладали туфогенные илы и незначительно были развиты известковые осадки. Это свидетельствует о том, что юго-западный склон Восточного Саяна уже был в значительной степени выровнен. Этот вывод согласуется с данными по югу Минусинского прогиба, о которых говорилось выше.

В позднем визе произошло разделение единого Минусинского бассейна на ряд разобщенных озер, по своим размерам и конфигурации примерно соответствовавших Южно-Минусинской, Сыдо-Ербинской, Северо-Минусинской, Назаровской впадинам. Размер терригенных компонентов и общий план расположения обломочных пород на территории Минусинского прогиба свидетельствуют о поднятии Батеневского кряжа и об интенсивном сносе с него обломочного материала. Другим источником сноса была Восточносибирская суши. Кроме песков в бассейне осаждались алевриты и туфогенные осадки.

В Тувинском бассейне в позднем визе значительно увеличилось значение терригенного осадконакопления и произошло заметное по сравнению с предыдущим этапом погружение обломочного материала. В первую очередь сказанное относится к центральной и северо-восточной Туве. Роль пирокластики в осадочном литогенезе этого времени значительно уменьшилась. В первой половине описываемого этапа, в эндиутугское время, закончилось наскопление последних в Туве красноцветов. Как уже указывалось, исчезновение из разреза красноцветных отложений и появление зелено- и сероцветных образований является свидетельством значительной климатической перестройки в сторону гумидизации климата. Следует отметить, что в Туве такой климатический рубеж наступил несколько позднее, чем в Минусинском прогибе, что, вероятно, объясняется большей удаленностью Тувы от крупных морских бассейнов.

Серпуховскому веку соответствуют конгломератовая свита Минусы и онкайинская свита Тузы. Для обоих районов этого времени, а также и для Еринатской мульды характерно преобладание плохосортированного гравийно-гачникового материала, чередующегося с маломощными прослоями углистых алевритов и глин. К началу серпуховского века относится полная перестройка климата, окончательная его гумидизация. Об этом свидетельствуют терригенное осадконакопление, полное исчезновение красноцветных пород и первое появление углисто-сажистых прослоев, наиболее характерных для последующих этапов развития изучаемой территории в карбоне и перми. В серпуховских отложениях востока Саяно-Алтайской области отмечается резкое уменьшение роли пирокластики. Присутствие в серпуховских отложениях Минусинского прогиба и Еринатской мульды одних и тех же видов пепелипод (*Ahthraconia sibirica*) указывает на наличие связи двух этих бассейнов. Вероятно, такая связь осуществлялась рекой, вытекавшей из высокогорного Еринатского озера и впадавшей в Минусинский бассейн (палеоБакан?).

Узкопокальное современное распространение серпуховских отложений на территории Минусинского и Тувинского прогибов не позволяет достоверно восстановить палеогеографическую обстановку. В областях аккумуляции, видимо, преобладали условия аллювиальных равнин, а области размыва подверглись значительным поднятиям и расчленению.

## ПАЛЕОБИОГЕОГРАФИЧЕСКОЕ РАЙОНИРОВАНИЕ

### ПОЗДНИЙ ТУРНЕ

В позднем турне, после трансгрессии моря, на территории Средней Сибири образовалось два обширных мелководных морских бассейна: Тунгусский, на северо-западе Сибирской платформы, и Кузнецкий, в западной части Алтая-Саянской области. Бассейны эти были населены богатой фауной и сошлись на западе с морями Обь-Зайсанской и Васюганской геосинклиналей.

Во время образования подъяковского горизонта Тунгусский бассейн освоился, и воды его стали непригодны для жизни морских организмов. В Кузнецком бассейне регрессия моря начала визе сопровождалась обмелением; увеличением приноса обломочного материала и большей дифференциацией фаций.

В следующее время – формирования верхотомского горизонта, в Тунгусском бассейне установился режим мелководного опресненного бассейна с терригенным осадконакоплением, населенного рыбами и редкими брахиоподами. В северо-западной части Кузбасса тогда же сохранялся морской запив.

В позднем турне акватории Тунгусского, Горловского, Кузнецкого бассейнов, северная часть Горного Алтая, Рудный Алтай и часть Западно-Сибирской равнины входили в состав Тунгусско-Кузнецкой области Северного высоколатного (Сибирского) палеобиогеографического пояса. Области свойственна богатая разнообразная фауна фораминифер, кораллов, брахиопод с многочисленными видами, общими с морями Евразийской области Экваториального пояса: фораминиферы – *Septabrunsiina minuta* Lip., *S. kraiinica* (Lip.), *Septaglomospiranella primaeva* (Raus.), *S. compressa* Lip., *Chernyshinella glomiformis* (Lip.), *Tournayella discoidea* Dain, *T. moelleri* Malakh., *Endothyra parakosvensis* Lip., *E. tuberculata* var. *magna* Lip., *E. kosvensis* Lip., *E. solida* Conil et Lys., *Planoendothyra compta* Schlyk.; кораллы *Syringopora*, *Cyathoclisia*, *Amplexus*, *Caninia*, *Uralinia*, *Siphonophyllia*, *Zaphrentites*, *Synchroelasma*, *Cyathaxonia*, *Caninophyllum*, *Roemeripora*, *Palaeosmilia*, *Trochophyllum*; брахиоподы – *Fusella crenistria* (Kon.), *F. tornacensis* (Kon.), *F. marionensis* (Schum.), *Schuhertella ex gr. lens* (White), *Rhipidomella cf. burlingtonensis* (Hall), *R. michelini* L., *Rugosochonetes hardrensis* Phil., и др. Среди брахиопод имеются виды, общие с Североамериканской областью Экваториального пояса: *Rugosochonetes illinoiensis* Worth., *Syringothyris hannibalensis* (Swall.), *S. typa* Winch., *Marginitia burlingtonensis* (Hall); *Fusella platynotus* Well. и др.

Своевобразие Тунгусско-Кузнецкой области заключается в наличии видов, характерных только для Сибирского палеобиогеографического пояса: *Endothyra corallovaajaensis* Voiz., *E. grata* Voiz., *E. nebulosa* Malakh., *Planoendothyra minima* (Voiz.), некоторых видов кораллов

*Michelinia*; брахиопод *Fusella taidonensis* (Tolm.), *F. ussien-sis* (Tolm.), *Tomiproductus elegantulus* (Tolm.) и др.

Для области характерна редкая встречаемость палеоспироплектаммин, *Septabrunsiina krainica* (Lip.), многих кораллов и брахиопод, свойственных Евразийской области Экваториального пояса, при обилии планоэндотир, *Septabrunsiina minuta* Lip. и ряда местных видов. К последним относятся *Septa glomospiranella* (?) *aleussica* Bog., *Septa-tourhayella* aff. *evoluta* (Leb.), *Pustula pustulosiformis* Rot., *Rhipidomella altaica* Tolm., *Punctospirifer kusbassicus* Besn., *Girtyella taidonensis* (Tolm.).

В области выделяются Тунгусская и Кузнецко-Алтайская провинции.

Для Тунгусской провинции в позднем турне характерно разнообразие фораминифер, среди которых было много видов, общих с Уралом и Русской платформой, почти полное отсутствие кораллов и немногочисленность брахиопод (23 вида против 96 в Кузнецко-Алтайской провинции) (Сарычева и др., 1963; Аксенов и др., 1973 г.).

### Тунгусская провинция

Первый (черепетский) комплекс фауны в Тунгусской провинции отмечается в районе оз. Пясино - р. Курейки (?). В это время здесь располагалась мелководная нормальной солености открытая часть моря, в которой происходило накопление известковых органогенно-обломочных илов, доломитово-известковых и доломитовых илов. Спокойный гидродинамический режим образования этих осадков в начале позднего турне неоднократно менялся более активным, когда происходило взламывание еще не затвердевших осадков и формирование брекчированных пород и брекчий.

Сообщества фораминифер, населявшие Тунгусскую провинцию, были приурочены к органогенно-детритовым илам. В основном они состоят из многочисленных широко распространенных турнейеллид; особенно обильны септабрунзины, септагломоспиралипы и чернышинеллы: *Septabrunsiina minuta* (Lip.) (много), *S. krainica* (Lip.), *Glomospiranella rara* (Lip.), *Septaglomospiranella primaeva* (Raus.), *S. compressa* Lip., *Chernyshinella glomiformis* (Lip.), *Ch. paraglomiformis* Lip., *Ch. paucicamerata* Lip., *Ch. tumulosa multicamerata* Lip., редкие *Tournayella kisella* Malakh., *T. discoidea* Dain., *T. discoidea* var. *angusta* Lip., *Tournayellina beata* (Malakh.). Примитивные фораминиферы представлены немногими широко распространенными видами родов *Archaeosphaera*, *Vicinesphaera*, *Parathurammina*, *Eovolutina*, *Earlandia*.

Эта фауна наиболее разнообразна в полосе северо-западного простирания, протягивающейся от оз. Кета (скв. ЮИС-5, ЮИС-13) на юго-востоке до ст. Тундра (скв. С-12) на северо-западе. К северо-востоку от названной полосы, в районе оз. Пясино (скв. П-10, П-15; Т-151, Т-158, Т-176, Т-185), и к юго-западу, в бассейне рек Фокина - Курейки (?), комплекс фораминифер беднее. Таким образом, в провинции в рассматриваемое время намечается три различных района: Кета-Тундринский, Пясинский и Фокинско-Курейский (?). Обеднение фораминифер в Фокинско-Курейском районе может быть связано с приближением к окраинному опресненному Бахтинскому району.

Бахтинский район располагался в междугорье Нижней и Подкаменной Тунгуски. Распространенные в нем отложения джалтулинской свиты представлены елевролитами и песчаниками. К черепетскому уровню условно отнесена нижняя пачка пород джалтулинской свиты (10-20 м), сложенная преимущественно кварцевыми алевролитами, содержащими в основании разреза мелкие гальки подстилающих карбонатных пород среднего девона. Алевролиты обычно тонкослоистые, плитчатые, со следами волновой раби. Цемент алевролитов известковистый, иногда с примесью доломита и глинистого вещества. Состав цемента алевролитов при отсутствии фауны свидетельствует в пользу формирования их в окраинной опресненной части моря и в заливах. С юга и юго-запада, с прилегающей суши, в Бахтинский район реками приносился тонкий обломочный материал.

Второй (кизеловский) комплекс фауны в Тунгусской провинции также развит от оз. Пясино до р. Курейки. В результате прогрессирующей трансгрессии моря в это время здесь началось накопление органогенно-детритовых карбонатных илов, в ряде случаев насыщенных кремнеземом. Однообразие и массивность известняков свидетельствуют о спокойном гидродинамическом режиме бассейна, а обилие в них остатков бентосной фауны (фораминиферы, кораллы, остракоды, брахиоподы) - о тиховодной, инфрапитальной обстановке.

Фораминиферы представлены эндотиро-турнейеллидовым комплексом, тесно связанным с предыдущим по систематическому составу, но отличающимся большим разнообразием. Увеличивается доля видов, общих с Европейско-Сибирской надобластью Евразийской области. К ним относятся: *Septa glomospiranella endothyroides* var. *quadriloba* (Dain), *Endothyra tuberculata* var. *magna* Lip., *E. distincta* Schlyk., *E. kovensis* Lip., *E. solida* Conil et Lys., *E. piluginensis* Lip., *E. cf. honesta* Schlyk., *Planoendothyra compta* Schlyk., *P. cf. rotai* (Dain). По-прежнему были распространены чернышинеллы и септабрунзины. Одновременно появляются местные, близкие к евразийским, виды - *Septabrunsiina sibirica* Bog., *Septaglomospiranella* (?) *aleussica* Bog., *Chernyshinella tundrica* Bog. sp. nov., *Granuliferella nana* (Reitl.) subsp. *sibirica* Bog. subsp. nov. и *G. borealis* Bog. sp. nov.

Кораллы представлены *Syringopora ramulosa* Goldf. и *Micelinia cf. tenuisepta* Phill.

Довольно многочисленны брахиоподы, представленные *Fusella medioris* (Tolm.), *F. tornacensis* Kon., *F. ussienensis* (Tolm.), *F. platynotus* Well., *F. crenistria* (Kon.), *Punctospirifer kusbassicus* Besn., *Rhipidomella cf. burlingtonensis* (Hall), *Martiniopsis cf. waschkuricus* (Fred.), *Tomiproductus elegantulus* Tolm., *Schuchertella cf. magna* Tolm., *S. cf. valentinae* Sok., *Pustula pustulosiformis* Rot., *Rugosochonetes hardreensis* (Phill.), *Orbiculoidea* sp., *Rhynchotreta* sp., *Girtyella taidonensis* (Tolm.), *Camarotoechia* sp.

Наибольшего разнообразия фауна в рассматриваемое время, как и в предшествовавшее, достигала в полосе от оз. Кета до ст. Тундра, где представлена соответственно 64 и 40 видами фораминифер. В скважине ЮИС-5 (район оз. Кета) систематический состав фораминифер следующий: турнейеллиды - 28 видов, эндотириды - 25, однокамерные формы - 11. Из 17 видов брахиопод 7 относятся к спириферидаам, 3 - к продуктидам, 2 - к строфоменидам, 2 - к ринхонеллидам, 1 - к ортидам, 1 - к акротретидам и 1 - к теребратулидам.

К северо-востоку от полосы оз. Кета – ст. Тундра, в районе оз. Пясино (скв. П-10, П-15, Т-151, Т-158, Т-176, Т-185) турнейеллидово-эндотирийский комплекс фораминифер делается беднее и состоит из 10–28 видов: однокамерных фораминифер – до 9 видов, турнейеллид – от 2 до 16, эндотириид – до 6. Среди брахиопод исчезают беззамковые и ортиды, уменьшается число видов спирифериid и продуктид; появляются ортотетиды.

К югу от оз. Кета, на р. Фокина, из 10 видов фораминифер однокамерных форм 3 вида, эрлаандии – 2, турнейеллид – 3 и эндотириид – 2; к югу от р. Фокина, в скважине Ф-9 калигеллид – 1 вид, турнейеллид – 2, эндотириид – 2 и эндотириид – 1. Из 9 видов и 5 родов брахиопод 6 видов и 2 рода представлено спирифериидами: *Fusella ussiensis* (Tolm.), *F. tornacensis* (Kon.), *F. platynotus* Well., *F. marionensis* Schum., *Syringo-thyris hannibalensis* (Swall.), *S. typus* (Nich.).

Таким образом, к северо-востоку от полосы оз. Кета – ст. Тундра, в районе оз. Пясино, эндотирийско-турнейеллидовый комплекс становится беднее, одновременно увеличивается разнообразие однокамерных фораминифер. В южном направлении, в бассейне рек Фокина-Курейка, происходит общее обеднение всех групп фораминифер. Если первое может быть связано с углублением бассейна на севере, то второе, очевидно, вызвано некоторым опреснением его вод в связи с приближением к Бахтинскому окраинному району моря. В итоге в северной части Тунгусской провинции в кизеловское время выделяются три района: 1) Кета-Тундринский – в открытой удаленной от берега малоподвижной части шельфа с богатой фауной; 2) Пясинский, отвечающий более глубокой затишной части бассейна и 3) Фокинско-Курейский – в более мелководной опресненной части бассейна с обедненной морской фауной (рис. 1).

В Бахтинском районе, по-видимому, происходило накопление осадков средней и верхней пачек джалтулинской свиты. Помимо алевролитов периодически отлагались пески с многочисленными оолитами и остатками фораминифер, крионидей, морских ежей и брахиопод. Характер органических остатков при наличии в породах волнисто- и косоволнистослоистых текстур и текстур брекчирования свидетельствует о большей мелководности этой части бассейна, находившейся в зоне активной динамики водной среды (Богуш и др., 1977).

#### Кузнецко-Алтайская провинция

Кузнецко-Алтайская провинция (акватории Кузбасса, Горловского бассейна, северных частей Горного Алтая и Рудный Алтай) в позднем турне была населена богатыми фаунистическими сообществами. Значительного разнообразия здесь достигали фораминиферы, среди которых в отличие от комплексов Тунгусской провинции было заметно меньше турнейеллид, в особенности чернышиеллид, и видов, общих с Урапом, и гораздо больше эндемичных форм среди эндотириид, в частности планоэндотир. Многочисленны и разнообразны были брахиоподы, представленные ортидами, строфоменидами, продуктидами, ринхопеллидами, спирифериидами, теребратулидами (96 видов, из них: 65% эндемиков; Сарычева и др., 1963). Заметную роль играли кораллы – разнообразные ругозы и табуляты (28 родов, представленных 41 видом; Добролюбова и др., 1966). Местом обитания фауны являлась обширная зона мелкого шельфа Обь-Зайсанского моря с отдельными барьерными поднятиями, иногда надводными, островного типа. Восточнее и юго-восточнее, от

Кузнецкого Алатау до Алтая, располагались массивы слабо расщепленной суши, в которую море вдавалось заливами сложной и изменчивой во времени конфигурации, иногда частично превращавшимися в пагуны.

Эти обстановки стали основным фактором, определяющим распространение фауны рассматриваемой провинции в позднем турне. Богатые морские фаунистические комплексы (фораминиферы, кораллы, брахиоподы), приуроченные к мелководью, наиболее близкой к открытому морю части шельфа, в юго-восточном направлении беднеют, вплоть до исчезновения некоторых групп (фораминиферы).

Причины обеднения тех или иных групп фауны, как показывает анализ одновозрастных сообществ в различных частях провинции, достаточно сложны и не везде одинаковы. Так, например, наиболее благоприятными для жизни фораминифер, как и других морских беспозвоночных, в турнейский век являлись детритовые и биоморфно-детритовые илы, в том числе с примесью терригенного материала. Встречались фораминиферы также на копрогенных микрозернистых, а иногда даже на оолитовых илах. Эти осадки, характеризующие значительный диапазон глубин в пределах шельфа, в позднетурнейское время распространялись далеко на юг и восток, в отдельные моменты достигая Мийнусинских впадин. Однако комплексы фораминифер в этом направлении беднеют, вплоть до исчезновения еще в пределах Кузнецкой котловины. Развитые в юго-восточной части бассейна водорослевые и копрогенные илы с пропалями алевритов и следами волновой ряби (р. Томь у дер. Бель-су, р. Уса) и органогенно-детритовые и алевритовые осадки (район р. Мрассу) несут явные признаки мелководности и близости области сноса.

Сходный характер осадков в западных и северо-западных районах Кузбасса и в Горловском бассейне не препятствовал существованию фораминифер. Это заставляет усматривать причину обеднения их на юго-востоке не в углублении бассейна, а в нарушении в этом направлении нормального солевого режима – наиболее вероятно опреснение за счет вод, стекавших с близлежащей суши, или влияния пагун. Этому способствовала и зона мелководья, связанная с существованием барьерных поднятий, отделявших юго-восточные акватории от открытой части Обь-Зайсанского моря. Благоприятная для развития фауны, она одновременно препятствовала нормальному водообмену в юго-восточных районах.

Близкие условия существовали, вероятно, и в области Рудного Алтая. Группой, наиболее чувствительной к этому изменению условий, оказались фораминиферы, меньше – кораллы и еще меньше брахиоподы. Например, в разрезе на р. Нижней Терси брахиоподы достигали значительного разнообразия на органогенно-детритовых осадках с обедненным комплексом кораллов при почти полном отсутствии фораминифер.

Первый (черепетский) комплекс фауны, характеризующий первую, вторую и третью (?) пачки тайдонского горизонта, прослеживается на северо-западе Кузбасса, а также в бассейнах рек Чумыш, Кондома и Нижняя Терсь. В северо-западных районах Кузбасса в серых микрозернистых густокводных известняках встречается небогатый турнейеллидово-эндотирийский комплекс фораминифер с *Tournayella disccidea* Dain forma maxima, *T. cf. moelleri* Malakh., *Septaglomospiranella cf. compressa* Lip., *Chernyshinella sp.*, *Endothyra parakosvensis* Lip., *E. ex gr. latispiralis* Lip., *Planoendothyra obscura* (Brazh.) и немногими однокамерными фораминиферами. Брахиоподы и кораллы здесь чистоющими и плохой сохранности.

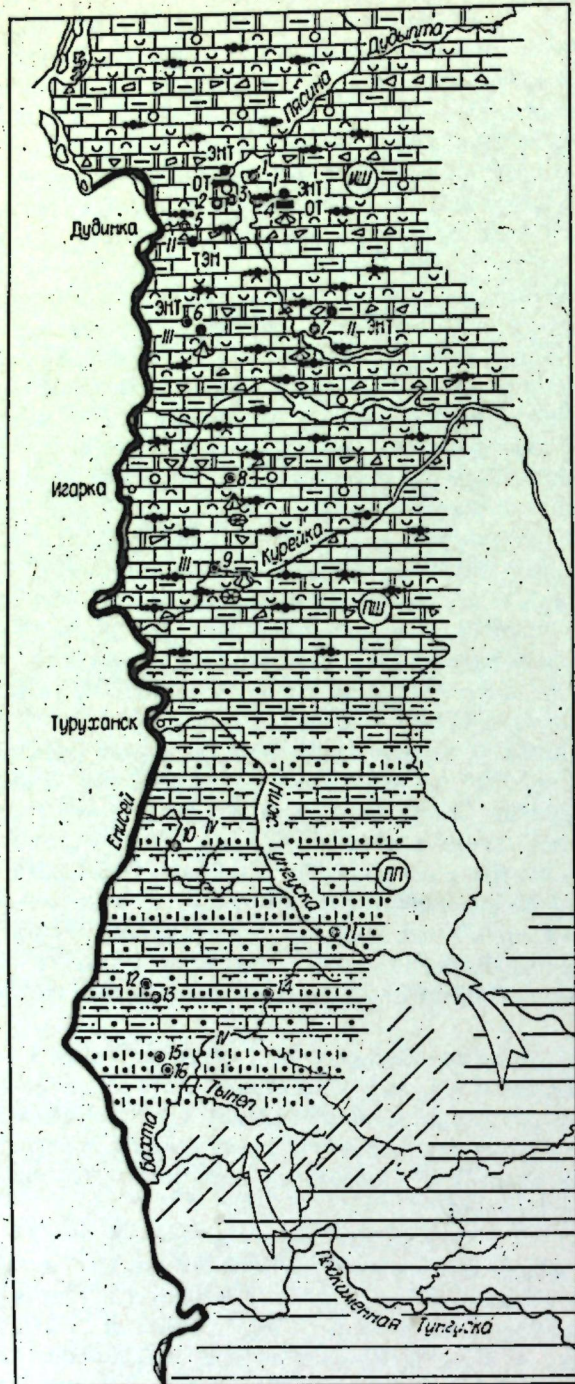


Рис. 1. Тунгусская палеобиогеографическая провинция позднего турне.

Палеогеографические обстановки: 1 - море, удаленная от берега малоподвижная часть шельфа; 2 - море, подвижное мелководье шельфа; 3 - прибрежно-пляжевая зона моря; 4 - лагуна, засолоненная зона моря; 5 - солоноватоводная, опресненная зона моря, лагуна, залив с пониженней солености;

(ш)	1	----	20
(ш)	2	---	21
(ш)	3	----	22
(л)	4	----	23
(о)	5		24
	6	••••	25
	7	vvvv	26
	8	vvvv	27
а	6		
	9	***	28
	10	→	29
	11	◎	30
	12	◎	31
	13	●	32
	14	■	33
	15	■	34
	16	▲	35
	17	○	36
	18	◎	37
	19		

Южнее на р. Чумыш эта часть разреза содержит фауну в основном в детритово-шламовых и микрозернистых известняках, часто входящих в состав так называемых мозаичных известняков, образованных неправильным чередованием линз и пятен детритовых и микрозернистых разностей (Максимова, 1963). Из них Т.Г. Сарычевой и другими (1963) указан комплекс брахиопод с мелкими *Schuchertella planumbona kondomensis* Sok., *Tomiproduc-tus elegantulus* (Tolm.), *Punctospirifer kusbassicus* Besn., *Eumetria serpentina* (Kon.), *Avonia minima* (Tolm.), *Fusella ussiensis* (Tolm.), обильными *Camarotoechia davidsoni* (Tolm.), кораллами *Zaphrentis delanouei* Edw. et Heime и *Syringopora ramulosa* Goldf.

Несколько богаче нижнетайдонские комплексы брахиопод на реках Кондо и Нижней Терси, где состав родов и видов более разнообразен, а некоторые общие роды представлены другими видами. Здесь в темно-серых микрозернистых, мозаичных и детритовых известняках встречены, кроме упомянутых выше, многочисленные *Camarotoechia biplex* (Tolm.) и *Fusella tornacensis* (Kon.) есть представители родов *Leptaenella*, *Rugosocho-netes*, *Setigerites*, *Torynifer*, *Cleiothyridina*, *Girtyella*, *Beeche-*

6 - области сноса, периодически превращающиеся в области осадконакопления; 7 - области сноса, сложенные осадочными породами терригенного и карбонатного состава; 8 - области сноса, сложенные осадочными и изверженно-метаморфическими породами; 9 - границы палеогеографических областей: а - установленные, б - предполагаемые. Осадки: 10 - сульфаты; 11-18 - илы: 11 - доломитовые; 12 - известково-доломитовые; 13 - известковые; 14 - известковые органогенно-детритовые; 15 - известковые зоны солитообразования; 16 - известковые и доломитовые глинистые; 17 - известковые и доломитовые алевритистые; 18 - известковые и доломитовые песчанистые; 19 - брекчия карбонатная и терригенно-карбонатная; 20 - глины известковые; 21 - глины; 22 - алевриты известковистые; 23 - алевриты; 24 - пески известковистые; 25 - пески; 26 - терригенно-вулканогенные отложения; 27 - вулканогенные отложения; 28 - окремнение; 29 - главные направления сноса. Точки опорных разрезов: 30 - разрезы по скважинам; 31 - разрезы по обнажениям. Комплексы фораминифер: 32 - разнообразных, преимущественно многокамерных спирально свернутых фораминифер (ЭНТ - эндоти-рово-турнейеллидовий, ТЭН - турнейеллидов-эндотировий); 33 - с заметным преобладанием представителей отдельных родов или групп видов (П - планоэндотировий, ЭП - эндотиово-планоэндотировий, ЭТ - эндотиово-те-траксисовый, ТЭ - глобоэндотиово-эзоэндотираносисовый); 34 - разнооб-разных однокамерных фораминифер с редкими представителями многокамер-ных спирально-свернутых (ОТ - однокамерные с редкими турнейеллидами); 35 - одно- и двухкамерных фораминифер с резким преобладанием или исключительным развитием представителей одного рода (Э - эрландиевый); 36 - брахиоподы; 37 - кораллы.

Палеобиогеографические районы (цифры на рисунке): I - Пясинский (1 - скв. Т-151, Т-176, Т-192); П - Кета-Тундринский (2 - скв. П-8бис, 3 - скв. П-10, 4 - скв. П-15, 5 - скв. С-12, 7 - скв. ЮИС-5, ЮИС-6, ЮИС-13); Ш - Фокинско-Курейский (6 - р. Фокина, 8 - р. Брус, 9 - р. Курей-ка); 1У - Бахтинский (10 - Подкаменно-Сиговая площадь; 11 - р. Нижняя Тунгуска против устья р. Анакит, 12 - р. Фатьяниха, 13 - Маршрутинская площадь, 14 - р. Дельтупа, 15 - р. Отборная, левый приток р. Малой Бах-тинки, 16 - руч. Сухой, левый приток р. Малой Бахтинки).

*ria* и другие, не встреченные в Кемеровском районе. Кораллы представлены родами *Fasciculophyllum*, *Enniskillenia*, *Michelinia*, *Syringopora*. Фораминиферы на р. Чумыш не встречаются ниже третьей пачки тайдонского горизонта, и присутствие их в раннетайдонское время сомнительно, а на реках Кондоме и Нижней Терси они вообще не найдены в тайдонском горизонте, из чего можно сделать вывод об их отсутствии в этих разрезах или чрезвычайной бедности ими. Таким образом, уже в начале позднего турне в Кузнецко-Алтайской провинции наметились два района с различными фаунистическими сообществами.

Кемеровский район охватывал северо-западную окраину Кузбасса и, вероятно, Горловский бассейн, где сходный, несколько более богатый комплекс фораминифер и брахиопод встречен в нижней части нижекитеринской подсвиты (Казенинов и др., 1975). Этот район характеризовался развитием комплексов разнообразных многокамерных спирально-свернутых фораминифер (турнейеллидо-эндотиевые комплексы), более богатых на северо-западе, в Горловском бассейне брахиопод и кораллов. Фауна жила на детритово-шламовых, сгустково-детритовых (обычно полидетритовых) и микрозернистых известковых илах.

Новокузнецкий район (южная и юго-восточная части Кузбасса) с кораллами, более богатыми и разнообразными, чем на северо-западе, брахиоподами, но без фораминифер. Субстратом для фауны здесь служили детритовые, детритово-шламовые, оолитовые, микрозернистые, очень часто мозаичные известняки.

Оба района располагались в зоне мелкого шельфа, первый – ближе к открытому морю, второй – в более удаленной от него мелководной части, в глубине запива.

Второй (кизеловский) комплекс фауны в Кузнецко-Алтайской провинции характеризует конец тайдонского – начало фоминского времени. Внешняя, юго-восточная, часть Обь-Зайсанского бассейна к этому времени значительно расширялась по мере развития трансгрессии, о чем свидетельствует появление сходных с кузбасскими фаунистических комплексов в северных районах Горного и Рудного Алтая. Это была обширная зона открытого мелкого шельфа с широким развитием органогенно-детритовых фаций, представленных в основном детритово-шламовыми и биоморфно-детритовыми известковыми илами, переходящими в более близкой к берегу мелководной зоне в мозаичные карбонатные осадки (Максимова, 1963). На детритовых и биоморфно-детритовых илах обитали богатые фаунистические сообщества. Фораминиферы в них представлены турнейеллидо-эндотиевыми и эндотиово-планоэндотиевыми комплексами (северо-запад и запад Кузбасса, Горловский бассейн), переходящими в планоэндотиевые в районе р. Курья (Богуш, Фефелов, 1977).

Наиболее характерными представителями этих комплексов являются *Endothyra kosvensis* Lip., *E. honesta* Schlyk., *E. piluginensis* Lip., *E. inopinata* Schlyk., *E. maximovae* Leb., *E. ex gr. tuberculata* Lip., *Planoendothyra obscura* (Brazhn.), *P. rotai* (Dain), *F. diserta* (Leb.), *P. compla* Schlyk., *Plectogyrina admiranda* (Leb.), *Globoendothyra ex gr. parva* (N.Tchern.). Наряду с ними продолжают существовать, но заметно убывающими турнейеллиды и однокамерные фораминиферы. Относительно богат турнейеллидовский фон в комплексах нижекитеринской подсвиты Горловского бассейна, более чем кузбасские сходные со вторым комплексом Тунгусской провинции.

Брахиоподы также многочисленны, особенно представители таких видов, как *Rhipidomella altaica* Tolm., *Schuchertella planumbona* kon-

*domensis* Sok., *Rugosochonetes illinoiensis*, *taidonensis* Sok., *Camarotoechia davidsoni* (Tolm.), *Martinia voughani* (Muir-Wood), *Tomiproductus elegantulus* (Tolm.), *Fusella ussiensis* (Tolm.), *F. taidonensis* (Tolm.), *F. pesasica* (Tolm.), *Spirifer taigensis* Besn. и др. Кораллы представлены 35 видами, принадлежащими к 20 родам, в том числе *Michelinia megastoma* (Phyll.), *Syringopora ramulosa* Goldf., *Caninia cornucopiae* Mich., *Caninophyllum tomensis* (Tolm.) и др.

В раннефоминское время исчезают некоторые тайдонские виды: *Crania taidonensis* Sok., *Plicocholetes poljenowi* (Tolm.), *P. elegans* (Kon.), *Camarotoechia davidsoni* (Tolm.), *Syringothyris hanibalensis* (Swallow), *S. typa* Winchell, *Fusella tornacensis* (Kon.) из брахиопод; *Uralinia multiplex* (Ludwig), *Roemeripora aisenvergy* Vassiljuk из кораллов. Появляются новые виды фораминифер: *Endothyra perfida* Leb., *Globoendothyra ex gr. parva* (N. Tchern.) и др.; брахиоподы: *Schuchertella globosa* Tolm., *Streptorhynchus kondomensis* Tolm., *Camarotoechia peetzi* Tolm., *Syringothyris texta* (Hall.), *Spirifer suavis* Kon. и принадлежащие к родам, неизвестным в тайдонском горизонте, *Megachonetes zimmermanni* (Paeck.) и *Rhynchopora triznae* Sok.; кораллы: *Michelinia tenuisepta* (Phyll.), *M. fasciculata* Fomitch. и др. Однако в целом характер комплекса по соотношению представителей различных отрядов и семейств основных групп фауны на протяжении позднетайдонского и раннефоминского времени не претерпевает существенных изменений и может в палеобиогеографическом аспекте рассматриваться как единый комплекс средней части позднего турне. Гораздо более значительны изменения фауны по площади, позволяющие выделить в Кузнецко-Алтайской провинции ряд районов, два из которых с несколько иными границами наметились еще в раннетайдонское время.

Кемерово-Чумышский район включает северо-западную и западную части Кузбасса (Кемеровский район, присалапирские разрезы и р. Чумыш), а также Горловский бассейн, где турнейеллидо-эндотиевые, богатые планоэндотирами комплексы верхней части нижекитеринской подсвиты приближаются к кузбасским. Район характеризуется развитием комплексов многокамерных спирально-свернутых фораминифер (турнейеллидо-эндотиевых и эндотиово-планоэндотиевых), включающих все виды, перечисленные при характеристике провинции, и многие другие. Всего насчитывается свыше 80 видов, подвидов и вариететов фораминифер, принадлежащих 25 родам, в том числе 75 форм – к 16 родам многокамерных спирально-свернутых (турнейеллид и эндотиид). Достаточно разнообразны также кораллы, брахиоподы и другие представители морской фауны. Субстратом для них служили детритово-шламовые, биоморфно-детритовые (криноидно- и спикулово-полидетритовые, реже спикуловые, мшанковые и мшанково-полидетритовые) известковые илы.

Кондома-Нижнетерсинский район (юг и восток Кузбасса) в отличие от Кемерово-Чумышского очень беден фораминиферами; в разрезах на р. Нижней Терси они представлены только одним родом *Earlandia*, а на р. Кондоме отсутствуют. Кораллов здесь также меньше, но брахиоподы в противоположность фораминиферам и кораллам заметно богаче (44 вида – р. Кондома и 46 – р. Нижняя Терсь против 32 – р. Томь у дер. Денисово). Фауна приурочена к биоморфно-детритовым и детритовым (криноидно- и брахиоподово-мшанковым, полидетритовым) и микрозернистым известковым осадкам.

кам, часто с мозаичным распределением мелкозернистого и дегритового материала (рис. 2).

В родовом составе брахиопод рассматриваемых районов наблюдаются некоторые различия. Так, в позднетайдонское время в Кондома-Нижнетерсинском районе встречались не найденные на этом уровне в Кемеровском и Чумышском разрезах представители родов *Plicochonetes*, *Setigerites*, *Mucrospirifer*, *Cleiothyridina*, *Girtyella* (последний только на р. Нижняя Терсь) и др. При этом некоторые виды упомянутых родов представлены большим количеством экземпляров (*Plicochonetes poljenowi* - 174 экз., *Setigerites lichwiniformis* - 14 экз.), так же как и представители некоторых неизвестных в кемеровских разрезах видов, принадлежащих к родам, общим для обоих районов (*Camarotoechia biplex* - 135 экз., *Fusella similis* - 39 экз., *F. tornacensis* - 31 экз., *Rhipidomella burlingtonensis* - 15 экз.).

В то же время в Кондома-Нижнетерсинском районе не встречены представители родов *Pustula*, *Tomiproductus*, *Dictyoclostis*, *Brachythiris*, известные из Кемерово-Чумышского района, а также некоторые виды из кемеровского разреза (*Fusella pesasica* - 35 экз., *Spirifer taigensis* - 18 экз.). Значительно чаще в позднетайдонское время в Кондома-Нижнетерсинском районе встречались *Syringothyris* type (142 экз. против 5 в кемеровском разрезе) и *Torynifer pseudolineatus asiaticus*, (20 против 2), а в пезасское время - много *Streptorhynchus kondomensis*, *Rhynchopora triznae* и *Megachonetes zimmermani* (р. Нижняя Терсь), неизвестных в Кемерово-Чумышском районе.

Существенные отличия рассматриваемых районов выявляются также при анализе коралловых комплексов. Наиболее разнообразны кораллы тайдонско-раннефоминского времени в Кемерово-Чумышском районе, где наряду с представителями рода *Caninophyllum* и другими распространены не встречающиеся на юге и юго-востоке Кузбасса *Siphonophyllia cylindrica* Scouler, *Uralinia multiplex* (Ludwig), *Caninia tomiense* (Tolm.), *Adamonophyllum vassiljukae* Dобр., *Roemeripora aisenvergi* Vasiljuk, *Cyathaxonia* sp., *Palaeosmilia tshumyshensis* Dобр. и три вида *Bifossularia*. В Кондома-Нижнетерсинском районе известны представители 12 родов кораллов, в их числе свойственные этому району *Enniskillenia enniskilleni* (Edw. et Haime), *Aulina vesiculata* Dобр., *Michelinia tenuisepta* (Phill.), *M. fasciculata* Fom., *Syringopora gigantea* Thomson, *Amplexus* sp. (Любрлюбова и др., 1966).

Даже если частично эти отличия связаны с неполнотой материала, они все же позволяют говорить о значительных различиях условий существования фауны в сравниваемых районах: в первом — более благоприятных для фораминифер и кораллов, а во втором — для брахиопод.

Кроме двух описываемых районов в середине позднего турия в Кузнецко-Алтайской провинции выделяются еще два.

Чарыш-Ануйский район охватывает северные и северо-западные окраины Рудного и Горного Алтая. На северо-западе Рудного Алтая в окрестностях с. Курья он характеризуется планоэндотиальным комплексом фораминифер, заключенным в дегритовых, реже биоморфно-дегритовых и копрогенных, иногда слабоалевритовых известковых осадках. Фораминиферы представлены 11 формами эндотирид, принадлежащими к трем родам; в их числе 9 форм относятся к роду *Planoendothyra*, но только один вид *Planoendothy-*

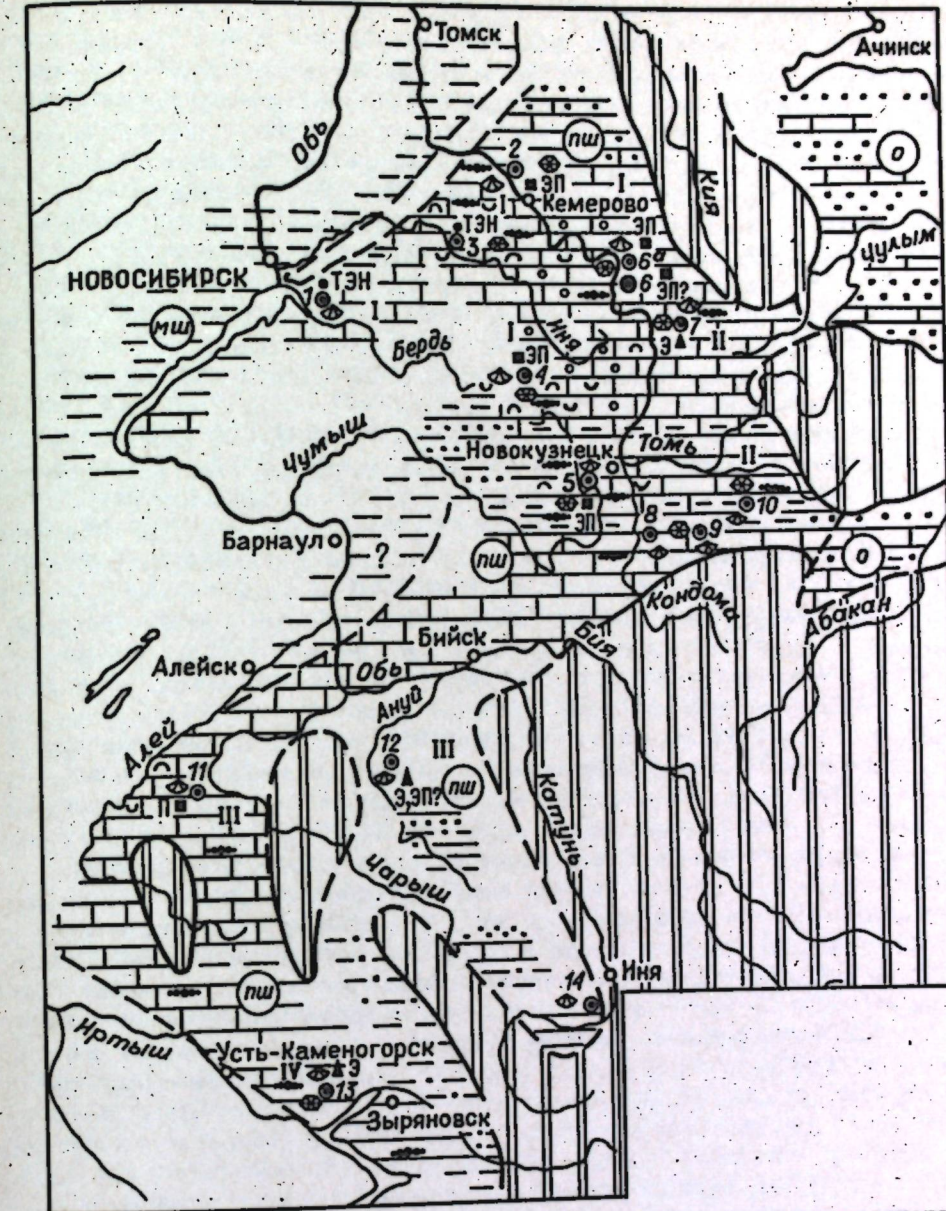


Рис. 2. Кузнецко-Алтайская палеобиогеографическая провинция позднего тура.  
не. (Позднэтайдонское - раннефоминское время).  
Палеобиогеографические районы (цифры на рисунке). 1 - Кемерово-Чумыш-  
ский: 1 - Горловский бассейн; 2 - р. Томь у г. Кемерово; 3 - р. Иня у де-  
ревень Абышево и Катково; 4 - р. Мал. Бачат; 5 - р. Чумыш к западу от  
дер. Костенково; 6 - р. Тайдон у пос. Андреевского; 6а - скв. 11700; П -  
Кондомо-Нижнетерсинский: 7 - р. Нижняя Терь выше устья, р. Пезас; 8 -  
р. Кондома у пос. Кузедеево; 9 - р. Мрассу ниже пос. Сосновая Гора; 10 -  
р. Томь у устья р. Бельсу; Ш - Чарыш-Ануйский: 11 - с. Курья; 12 - кл. Фи-  
паретов у дер. Черемшанка; 1У - Бухтарминский: 13 - нижнее течение р. Бух-  
тармы; 14 - водораздел рек Жирауну - Коругеш (биогеографическая принад-  
лежность неясна).

Усл. обозн. см. на рис. 1

*ra compta* Schlyk известен в литературе, а остальные требуют изучения и, вероятно, являются эндемиками. Из турнейеллид встречаены единичные септаглосмирианеллы и чернышиеллы, из других семейств - 3 вида эрландий и редкие представители 4 родов однокамерных фораминифер. В том же местонахождении встречаются остракоды и брахиоподы. Из последних указываются *Chonetes parpillionacea* Phill., *Axonias schulgini* Nal., *Rhipidomella micheilini* Eveil., *Spirifer tornacensis* Kon., *S. missouriensis* Swal., *S. chassan* Nal., *S. kasak* Nal. и др. (определения Н.В. Литвинович и М.С. Потаповой; Гречишникова, 1966); следует, однако, отметить, что приведенный комплекс происходит из верхнетурнейских отложений этого местонахождения в целом, включая и более высокую часть верхнего турне, характеризующуюся третьим верхнетурнейским комплексом.

Сходные комплексы фауны и обстановки, видимо, существовали в это время и в северной части Ануиско-Чуйского прогиба Горного Алтая, в районе с. Черемшанка (Черемшанская синклиналь), где отлагались карбонатные осадки с редкими эндотиридами, турнейеллидами и эрландиями, а также брахиоподами, кораллами, мшанками и другими группами фауны, входящими вместе с покрывающими их терригенно-карбонатными отложениями с эндотиро-тетратаксисовым комплексом фораминифер в состав черемшанской свиты. Указанные из этого разреза Р.Т. Грациановой (1959) брахиоподы *Distioclostus cf. burlingtonensis* (Hall.), *Pustula cf. derzawini* (Jan.), *Schuchertella tom斯基ensis* Jan. и др. и кораллы *Caninia cylindrica* (Sc.) также происходят из верхнетурнейской части разреза в целом и пока не дают возможности выделить второй и третий комплексы.

Бухтарминский район по характеру обстановок и фауне обнаруживает некоторое сходство с Кондома-Нижнетерсийским. Развитые в нижнем течении р. Бухтармы близ с. Васильевка у пос. Первомайский известняки бухтарминской свиты, по крайней мере средняя часть которой отвечает рассматриваемому уровню, формировались также в условиях мелководной части морского бассейна. В нем накапливались детритовые и биоморфно-детритовые осадки, иногда алевритистые и глинистые, по составу органогенных остатков полидетритовые, криноидные, реже криноидно-мшанковые и спикуловые. С этими осадками связаны бедные эрландьевые комплексы фораминифер, встречающиеся спорадически в отдельных прослоях, при значительном количестве брахиопод, в том числе *Rhipidomella kuzbassica* Besn., *Rugosochonetes illinoiensis* Sok., *R. hardrensis* (Phill.), *Plicochoonetes elegans* (Kon.), *Marginatia burlingtonensis* (Hall.), *Fusella ussiensis* (Tolm.), *F. pesassica* (Tolm.), *Spirifer baiani* Hal., и местные виды *Fusella vasegei* (Bubl.), *Mucrospirifer kondratievensis* Gretch. и др. Им сопутствовали остракоды, гастроподы, водоросли, кораллы (ругозы и табуляты) и трилобиты.

При сопоставлении данных по отдельным районам, несмотря на их разобщенность, напрашивается вывод, что в алтайской части Кузнецко-Алтайской провинции в середине позднего турне, как и в Кузбассе, происходило закономерное обеднение и исчезновение фораминиферовых комплексов в юго-восточном направлении, не наблюдавшееся среди брахиопод, видимо хорошо переносивших изменения обстановки. Такое распределение фаунистических сообществ можно связывать с большой удаленностью юго-восточных районов от открытого моря и, как следствие, с изменениями гидродинамического и гидрохимического режима - ослаблением водообмена с открытым морским бассейном и возможным опреснением за счет вод, поступавших с близлежащей суши.

Третий (косыбинский) комплекс фауны в Кузнецко-Алтайской провинции характеризует верхнюю часть крапивинской и костенковскую толщи фоминского горизонта Кузбасса, верхнекитерницкую подсвиту Горловского бассейна, верхние части черемшанской свиты Горного Алтая и бухтарминской свиты Рудного Алтая (нижнее течение р. Бухтармы и окрестности с. Курья). Особенность этого комплекса заключается в дальнейшем уменьшении роли турнейеллид, появлениях среди фораминифер *Palaeospirolectammina diversa* (N. Tchern.), значительного количества представителей рода *Tetrataxis* (*Tetrataxis eominima* Raus., *T. persicus* Malakh., *T. brazhnikovae* Bog. et Yus. и др.), увеличении роли эндотир группы *Endothyra prisca*-*E. similis*; характерно присутствие *Endothyra perfida* Leb., *Planoendothyra compta* Schlyk., *forma sigma*, *Septatournayella evoluta* (Leb.), *S. mrasuensis* Leb., *Globoendothyra cf. mikutzkii* Leb., *G. ex gr. parva* (N. Tchern.), *Eoendothyra-nopsis transita* (Lip.); встречаются *E. rotai* (Leb.). Эти формы придают комплексу характер, переходный от турне к визе.

Среди брахиопод на этом уровне впервые появляются *Schuchertella globosa* Tolm., *Stegacanthia sibirica* (Sar.), *Pustula pyxidiformis* (Kon.), *Setigeretes newtonensis* (Moore), *Marginatia djidensis* (Nal.); *Dictyoclostus triznae* Sar., *Syringothyris skinderi* Sok., *Spirifer subgrandis* Rotai, *Sp.attenuatus* Sow. Из кораллов достигает максимального развития вид *Caninophyllum tomiense* (Tolm.), появляются одиночные кораллы, принадлежащие к роду *Adamonophyllum*, *Tachyphyllum artyshtense* Dобр., многочисленные представители колониальных *Stelechophyllum* (S. *ascendens* Tolm., S. *venukoffi* (Tolm.) и др.) (Доброволова и др., 1966). Брахиоподы и кораллы во время образования крапивинской и костенковской толщ стали еще разнообразнее, чем в тайдонско-песасское время.

В позднефоминское время продолжали существовать те же основные районы, что и в середине позднего турне.

Кемерово-Чумышский район в это время характеризовался разнообразными многокамерными фораминиферами, брахиоподами и кораллами, заключенными преимущественно в детритовых и биоморфно-детритовых (полидетритово-шламовых, криноидно- и мшанково-полидетритовых), очень редко микрозернистых и оолитовых известковых илах, иногда с примесью песчаного и алевритового материала. Фораминиферы были представлены эндотиридами и эндотиро-тетратаксисовыми комплексами, реже эрландьевыми, с которыми чередуются в разрезе; в нижней половине крапивинской толщи эрландьевые комплексы в ряде разрезов преобладают.

По распространению фораминиферовых комплексов в районе выделяются три участка:

а. Кемеровский (северо-западная часть Кузбасса) с развитием эндотиро-тетратаксисовых комплексов. Здесь насчитывается 28 видов, принадлежащих 11 родам. Для этого участка характерны крупные турнейеллиды и эндотириды: *Septatournagella evoluta* (Leb.), *S. mrasuensis* (Leb.), *Endothyra perfida* Leb., *Planoendothyra compta* (Schlyk.), *Globoendothyra ex gr. parva* (N. Tchern.), *G. cf. mikutzkii* Leb., *Eoendothyranopsis transita* (Lip.) и др.

б. Присапайский (р. Мал. Бачат у дер. Семенушкино, р. Артышта и дер. Артышта) с распространением эндотиро-тетратаксисовых комплексов, отличающихся преобладанием представителей рода *Tetrataxis* (*Tetrataxis eominima* Raus., *T. persicus* Malakh., *T. brazhnikovae* Bog. et Yus. и др.) и мелких эндотир (*Endothyra prisca* Raus. et Reitl.,

*E. similis* Raus. et Reitl. и др.) при значительно меньшей роли крупных эндотирид. Из типичного разреза присаланской полосы Кузбасса (р. Артышта) известна 51 форма 11 родов фораминифер, в том числе 13 форм рода *Tetrataxis* и 23 - эндотир.

в. Чумышский (р. Чумыш у дер. Костенково), где комплексы имеют характер, переходный между двумя первыми типами. Здесь установлено 40 форм 13 родов, среди которых тетратаксисы (5 форм) и эндотиры (8 форм) как бы уступают место глобоэндотирам, число видов которых на р. Чумыш увеличивается до 8 против 1 в разрезе по р. Артыште.

Эндотирово-тетратаксисовые комплексы были развиты также в Горловском бассейне. Брахиоподы в Кемерово-Чумышском районе в позднефоминское время достигли большего разнообразия, чем в тайдонско-пезасское. Среди них имелось 9 родов и 28 видов, не встреченных на юге и юго-востоке провинции, в Кондомо-Нижнетерсинском районе. К ним относятся роды *Scripthiris*, *Eomartiniopsis*, *Tomiopsis*, *Beecheria*, *Chonetes*, *Plicochonetes*, *Pseudoorthotetes*, *Eumetria* и *Rhynchotetra* (13 видов). Остальные 15 видов представлены *Dielasma verkhotoromica* Besn., *Avonia semicostata* (Tolm.), *Spirifer taigensis* Besn., *S. tersensis* Rotai, *S. karagandae* Sim., *Stegacanthia sibirica artyshensis* (Sar.), *Dictyoclostus triznae* Sar., *Pustula pustulosiformis* Rotai, *Syringothyris sibirica* Sok., *Gleiothyridina kusbassica* Besn., *Girtyella taidoneensis* (Tolm.), *Camarotoechia fallax* Peetz., *Composita communis* (Tolm.), *C. oblonga* (Tolm.), *C. verkhotoromica* Besn.

По-прежнему наиболее разнообразны кораллы Кемерово-Чумышского района (30 видов, 17 родов), где среди прочих распространены *Syringopora distans* (Fisch.), *S. gigantea* Thomson, *Yavorskia barsensis* Fom., *Cyathoclisia modavense* (Salee), *Stelechophyllum ascendens simplex* Dобр., *S. venukoffi* venukoffi (Tolm.), *Zaphrentites crassus*, *kusbassicus* Kabak., *Bifossularia ussowi* (Gebunia).

Кондомо-Нижнетерсинский район отличается очень бедными фораминиферами и обедненными комплексами брахиопод и кораллов. Фораминиферы представлены только эрландиевыми комплексами с единичными находками тетратаксисов и эндотиридов (р. Кондома). Брахиоподы в Кондомо-Нижнетерсинском районе также менее разнообразны (58 видов против 86 в Кемерово-Чумышском районе). Из видов, не встреченных в Кемерово-Чумышском районе, здесь были распространены *Streptorynchus kondomensis* Tolm., *Pustula pilosa* Thomas, *Camarotoechia bplex* (Tolm.), *Fusella spissa* (Kon.), *Spirifer suavis* Kon. и некоторые другие.

Среди кораллов в Кондомо-Нижнетерсинском районе многие виды, характерные для Кемерово-Чумышского района, отсутствуют; здесь преобладали широко распространенные эврифациальные формы. Из немногих видов, свойственных только этому району, можно назвать *Siphonophyllia cylindrica* Scoul., *Bifossularia tictensis* (Tolm.), *Lithostrotion cf. proliferum* (Thom. et Nich.), *Michelinia tenuisepta* (Phill.) и *Zaphrentites disjunctus* (Carr) (Добролюбова и др., 1966).

Местом обитания фауны служили дегритовые, биоморфно-дегритовые и мозаичные илы; последние очень широко распространены в разрезе р. Кондомы.

Чарыш-Ануйский район по фораминиферам сходен с Кемерово-Чумышским, но отличается от него обедненными комплексами фауны и большей ролью терригенных осадков в разрезе. Фаунистические комплексы и вещественный состав осадков этого района еще мало изучены.

Бухтарминский район, как и в середине позднего турне, отличается исключительной бедностью фораминифер. Встречены также только однообразные эрландиевые комплексы, несколько более богатые лишь по количеству экземпляров. Брахиоподы, кораллы, мишанки, водоросли, напротив, многочисленны и разнообразны, чем напоминают Кондомо-Нижнетерсинский район.

Фауна приурочена преимущественно к дегритовым и биоморфно-дегритовым осадкам. В формировании последних значительную роль играли остатки иглокожих и мишанок. Как показывает материал, распространение фаунистических комплексов в позднефоминское время в общих чертах напоминало таковое в середине позднего турне. По-прежнему были широко развиты мелководные фации открытого морского шельфа с некоторым сдвигением на юг и восток, видимо связанным с расширением бассейна. Это видно по появлению в отдельные моменты многокамерных фораминифер на р. Кондоме и обогащению их комплекса в Ануйско-Чуйском прогибе. Однако на юго-востоке провинции как и раньше существовали районы с эрландиевыми комплексами.

## ВИЗЕЙСКИЙ ВЕК

### ПОДЬЯКОВСКОЕ ВРЕМЯ

#### Тунгусский бассейн

После регрессии моря в конце турне и кратковременной серебрянской трансгрессии в начале визе, Тунгусский бассейн превратился в обширную сильно осолоненную лагуну, в которой началось накопление сульфатно-доломитовой толщи тундринской свиты, не содержащей фауны (рис. 3).

#### Кузнецко-Алтайская провинция

Начало визейского века в провинции ознаменовалось постепенным отступлением моря. Одновременные поднятия в Кузнецком Алатау, Салайре и особенно в Горной Шории и Горном Алтае привели к возрастанию роли терригенного материала, сокращению площади, заливаемой морем, и образованию у подножия растущих поднятий обширных шельфов, населенных фауной, жившей или в области подвижного, или более глубоких частях неподвижного шельфа.

Турнейеллиды в это время почти полностью исчезают. Продолжается расцвет тетратаксисов (*Tetrataxis eominima* Raus., *T. brazhnikovae* Bog. et Juf., *T. pressula* Malakh., *T. paraminima* Viss., *T. media* Viss., *T. angusta* Viss.) и мелких эндотир группы *Endothyra prisca* - *E. similis*. Появляются иногда в значительных количествах представители мелких эндотир, принадлежащих к виду *Endothyra tantilla* Schlyk. Значительно разнообразнее становятся глобоэндотиры и эзоэндотиранопсисы, зачастую образующие основу комплекса (*Globoendothyra tomiliensis* (Grozd.), *G. mikutzkii* Leb., *G. inconsitans* Grozd. et Leb., *G. ex gr. parva* N. Tchern.; *G. elegantula* Durk., *G. aff. ischimica* (Raus.), *G. ex gr. globulus* (Eichw.), *G. ex gr. arcuata* (Grozd. et Leb.), *Eoendothyranopsis ermaikiensis* (Leb.), *E. pressa* (Grozd.), *E. subtilis* M.F. Sol. и др.).

Общее число родов и видов брахиопод сокращается в основном за счет продуктид и спириферид. По Т.Г. Сарычевой с соавторами (1963), на долю продуктид

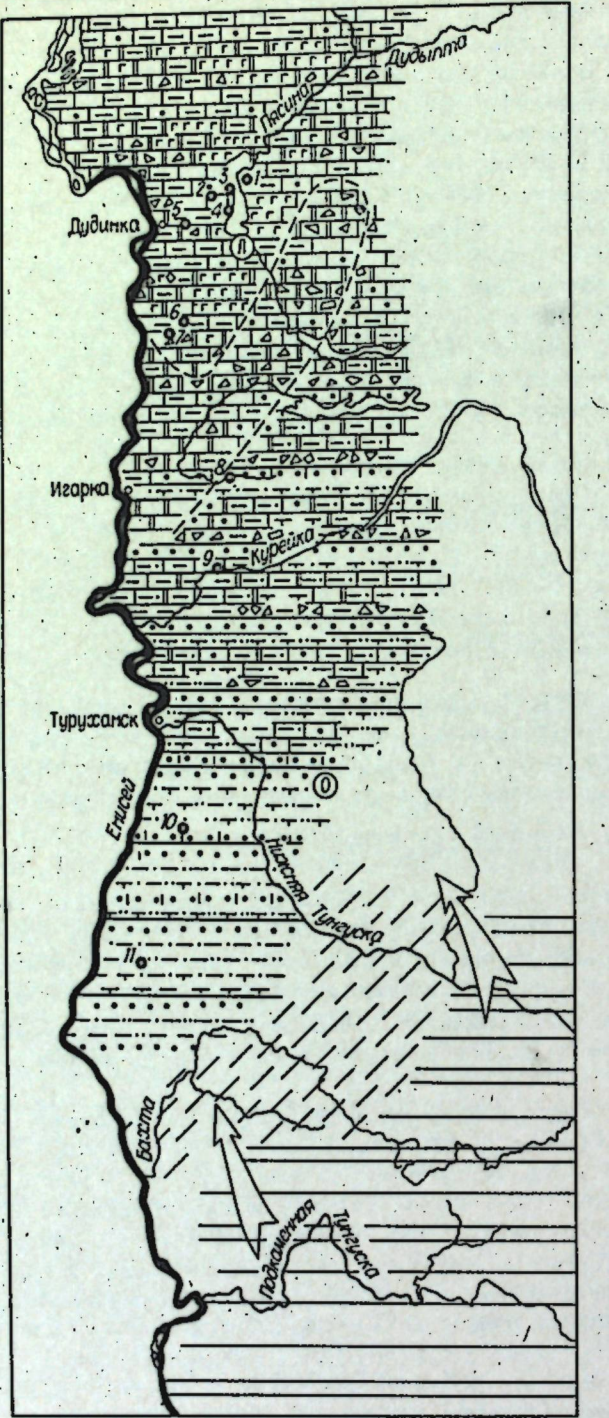


Рис. 3. Литолого-палеогеографическая схема Тунгусского бассейна в визе. Усл. обозн. см. на рис. 1.

в это время приходится только 30% и спириферид – 23%. Существенное значение приобретают представители более эврибионтных групп – *Athyracea*, *Strophomenida*, *Orthida*, *Rhyconellida* и *Terebratulida*. Продолжается вымирание турецких видов, в том числе местных. Среди вновь пришедших видов почти все являются визейскими – *Chonetes mosensis Demanet*, *Setigerites altonensis* (Norw. et Pratt.), *Camarotoechia mutafa* Hall, *Syringothyris cuspidata* (Sow.), *Punctospirifer insculptus* (Phill.) (Сарычева и др., 1963, с.41). В опресненных водах широкое развитие получили мшанки.

Усиление восходящих движений в областях, прилегающих к Кузнецко-Алтайскому бассейну, в подъяковское время привело к более резким фациальным различиям и выделению из Кемерово-Чумышского района двух самостоятельных районов — Кемеровского и Присалайрского.

В Кемеровском районе (деревни Подъяково, Федоровка, Бирюля, Силино, Благодатное, Катково, с. Верхотомское) в это время развился глобоэндотирово-эозиндириапсисовый комплекс фораминифер, приуроченный к сильно песчанистым и алевритистым известковым илам мелкого подвижного шельфа. Фораминиферы представлены 25 видами; из них 10 относятся к роду *Globoendothyra* и 5 к *Eoendothyranopsis*. Из других эндотирид род *Endothira* представлен 3 видами, *Plectogyrina* — 1 и *Eoendothyranopsis* — 1. Тремя видами охарактеризован род *Tetrataxis*. Турнейепиды представлены единичными чернишнеппами. Встречается 3 вида эрландий. Из брахиопод наиболее широко распространены *Schuchertella plana* Sok. и *Camarotoechia mutata* (Hall) (Сарычева и др., 1963).

В Присалаирском районе (дер. Артышта на р. Артыште, дер. Семенушкино на р. Малый Бачат) господство переходит к эндотиово-тетратаксисовому комплексу фораминифер, обитавшему в зоне развития известковых и известково-глинистых илов в удаленной от берега части шельфа с неподвижной или малоподвижной водной средой. Не исключено, что развитие сообщества находилось в зависимости от изменений солевого режима. Из 45 видов фораминифер, развитых в районе, 11 относится к роду *Endothyra* и 14 к *Tetraphaxis*. Среди эндотир преобладают мелкие представители группы *Endothyra similis* - *E. prisca*; совместно с ними встречаются мелкие омфалотисы вида *Omphalotis? tantilla* (Schlyk.) и эрландии. Остальные фораминиферы немногочисленны и представлены единичными плектогириями, планоэндотирами и эндоштаффеллами. Из форм, общих с Кузнецким районом, встречаются глобозандотиры (3 вида) и зоэндотиранопсисы (4 вида). Несколько видами представлены кораллы *Caninia*. Из брахиопод наиболее обильны *Rhipidomella altaica* Tolm., *Schuchertella ovata* Tolm., *Camarotoechia kusbassica* Sok., *Pseudoorthotetes borodencovensis* Sok., *Chonetes artyshensis* Sok. (Сарычева и др., 1963, с. 370, 371).

с. 370, 371). Расположенный к северо-западу от Сапаирского поднятия Горловский район также характеризуется эндотиово-тетратаксисовым комплексом фораминифер. Накопление биоморфно-детритовых известковых илов, глин, алевритов и сносимого с Сапаира песчаного материала в этом районе происходило на шельфе с более подвижной водной средой, чем в Присапаирье. Наряду с тетратаксисами (9 видов), эрландиями (2 вида) и мелкими эндотирами (1 вид) здесь имеются планоэндотиры (1 вид) и глобозентиры (1 вид). Основным отличием от Присапаирского района является меньшее разнообразие фораминифер (18 видов вместо 45; отсутствуют роды *Septabrunsiina*, *Ran-*

*Iaeospirolectammina*, *Eoendothyranopsis*, *Endostaffella*, *Mediorites*; меньше видов родов *Tetrataxis*, *Endothyra*, *Globoendothyra*). Особенности фораминифер Горловского района, по-видимому, указывают на опресненный характер его вод, на что мало или почти не реагировали брахиоподы, представленные 18 видами 15 родов (*Rhipidomella*, *Schizophoria*, *Schuchertella*, *Streptorhynchus*, *Chonetes*, *Stegacanthia*, *Camarotoechia*, *Spirifer*, *Spiriferina*, *Neospirifer*, *Torynifer*, *Punctospirifer*, *Eumetria*, *Beecheria*, *Pseudosyrinx*). Встречаются мшанки *Fenestella* и двустворчатые моллюски *Polydenvia*, *Pentagrammysia*, *Sanguinolites* (Казеннов, 1973).

На юге Кузнецко-Алтайской провинции вблизи Алтая и в заливах, вдавшихся в Алтайскую сушу, находился Чарыш-Ануйский район, сходный с присалаирским, с эндотиово-тетратаксисовым комплексом фораминифер (*Endothyra* - 4 вида, *Omphalotis* - 2 вида, *Planoendothyra* - 2 вида, *Globoendothyra* - 3 вида, *Eoendothyranopsis* - 1 вид, *Tetrataxis* - 6 видов) и др. (всего 31 вид). Из брахиопод встречены *Cleiothyridina cf. tomicensis* Besn. Остракоды представлены 6 родами, из которых наиболее разнообразен род *Bairdia* (4 вида).

Детритовые криоидно-мшанковые слабо алевритистые с фораминиферами, эхиноидеями, брахиоподами, остракодами и спикулами губок известковые илы этого района формировались на тихом мелководном шельфе рядом с низкой сушей в условиях слабо подвижных вод, на что указывает хорошая сохранность раковин фораминифер.

На юго-востоке провинции по-прежнему находился Кондома-Нижнетерсинский район, в подъяковское время превратившийся в сильно опресненную мелководную лагуну с терригенным осадконакоплением, бедной солоноватоводной фауной (линггулы, трубчатые черви) и водорослями (рис. 4).

В позднеподъяковское (мозжухинское) время площади с карбонатным осадконакоплением на северо-западе Кузбасса, наиболее благоприятные для жизни многокамерных фораминифер, несколько расширились. Глобоэндотиово-зоэндотиранопсисовый комплекс Кузнецкого района распространился от р. Ини до р. Яи, а также на юго-запад (р. Чумыш). Одновременно в Чарыш-Ануйском районе возрос принос тонкого обломочного материала, фораминиферы исчезли и началось образование слоев с мшанками.

К концу подъяковского - началу верхотомского времени регрессия охватила всю Кузнецко-Алтайскую провинцию.

В верхотомское время морской бассейн сохранился только в северо-западной части Кузбасса и к западу от Салаяра, в Горловском бассейне. По Т.Г. Сарычевой и другим (1963), для него характерен однообразный, бедный формами комплекс брахиопод (всего 28 видов), в котором на первое место выходят спирифериды (36% комплекса). Число теребратулид достигает 16%. Из видов брахиопод особенно обильно представлены *Streptorhynchus ruginosum* Hall et Clarke, *Chonetes ischimicus kusbassicus* Sok., *Camarotoechia mutata* Hall и *Verkhotomia plenoides* Sok. Характерно присутствие брахиопод с очень толстыми створками (роды *Tomilia*, *Verkhotomia*). Характер пришлых видов (*Dictyoclostus irsuensis* (Serg.), *Neospirifer derjawini* (Jan.), *Lingula mytiloides* (Sow.) говорит о связях с морями Казахстана, Средней Азии и Европы.

В тунгусском бассейне в верхотомское время наоборот происходила трангрессия моря, песчаные осадки которого на западе платформы представлены фатьяниховской и брусковой свитами, заключающими остатки брахиопод из родов *Camarotoechia*, *Neospirifer*, *Schuchertella* и рыб *Rusnopeltion*.

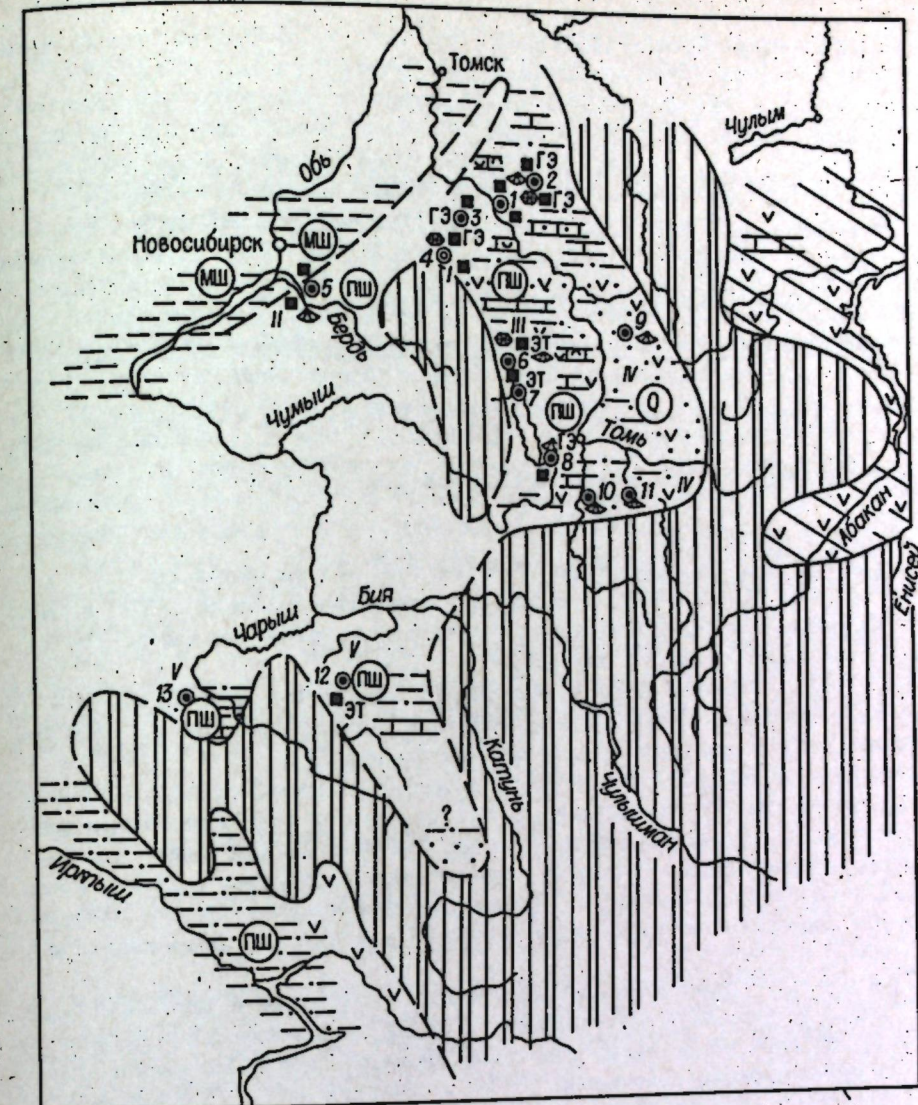


Рис. 4. Кузнецко-Алтайская палеобиогеографическая провинция визе (подъяковское время).

Палеобиогеографические районы: I - Кемеровский: 1 - р. Томь у дер. Подъяково; 2 - р. Полуденный Шурал у деревень Федоровка и Бирюлья; 3 - р. Большая Мозжуха у деревень Силино и Благодатное; 4 - р. Иня у дер. Катково, р. Тыкта у дер. Васьково; II - Горловский: 5 - реки Бердь и Выдриха в районе сел Белово, Усть-Чем и Девкино; III - Присалайрский; VI - р. Малый Бачат; VII - р. Артышта; VIII - р. Чумыш у дер. Костенково (принадлежность к району неясна); IX - Кондома-Нижнетерсинский: 9 - р. Нижняя Терсы; 10 - р. Кондома; 11 - р. Мрассу; X - Чарыш-Ануйский: 12 - кп. Филаретов у дер. Черемшанка; 13 - р. У - Чарыш-Ануйский.

Локтевка у с. Курья.

Усл. обозн. см. на рис. 1

## ОПИСАНИЕ ОРГАНИЧЕСКИХ ОСТАТКОВ

### 1. МИОСПОРЫ

ТУРМА TRILETES (REINSCH, 1881) РОТ. ЕТ КР., 1954.

СУПРАСУБТУРМА ACAMERATITRILETES NEVES,

OWENS, 1966

СУБТУРМА AZONOTRILETES LUBER, 1935

Инфратурма Apiculati (Benni et Kidston, 1886) R. Pot. et Kr., 1954.

Род *Verrucosporites* (Sbr., 1933) R. Pot. et Kr., 1954.

*Verrucosporites verrucatus* Drjagina sp. nov.

Табл. I, фиг. 1, 2

Название вида от латинского *verrucatus* – бородавчатый.

Голотип: обр. 19509/4, палинологическая лаборатория ЗСГУ, г. Новокузнецк. Кузнецкий бассейн, Крапивинский район, правобережье р. Томи, тайдонский горизонт нижнего карбона.

Диагноз. Диаметр 50 мк. Миоспоры трехлучевые, радиально-симметричные, округлые, обладающие однослойной экзиной, несущей на себе относительно плотно сидящие крупные плоские бугорки.

Описание. Споры с трехлучевой щелью, в полярной проекции округлые. Экзина толстая, плотная, поверхность ее покрыта плотно сидящими крупными плоскими буграми диаметром 5–6 мк. Экваториальный контур слабо волнистый, плоские вершины бугров незначительно выступают за него. Щель разверзания простая, трехлучевая, лучи узкие, длина их составляет половину радиуса споры. Очень часто щели не видно, так как она замаскирована буграми.

Сравнение. Описываемые споры имеют своеобразные морфологические признаки, отличающие их от известных видов, – относительно крупные плоские бугры при сравнительно небольшом размере споры. По величине бугров споры несколько напоминают *Verrucosporites scrobiculatus* (Luber) Luber (Любер, Вальц, 1941, с. 40, табл. УШ, фиг. 128), но отличаются от нее более мелкими размерами.

Распространение. Встречается в небольших количествах (до 3%) в отложениях турнейского яруса нижнего карбона Кузнецкого бассейна.

Материал. 10 экземпляров хорошей сохранности из двух местонахождений. Кузнецкий бассейн, Крапивинский район, правобережье р. Томи, скв. 73, гл. 107 м, турнейский ярус; там же, скв. 72, гл. 111 м, турнейский ярус.

Род *Verruciretusispora* Owens, 1971

*Verruciretusispora salebrosa* Drjagina sp. nov.

Табл. I, фиг. 3, 4

Название вида от латинского *salebrosa* – бугристая, шероховатая.

Голотип: обр. 6012/1, палинологическая лаборатория ЗСГУ, г. Новокузнецк. Кузнецкий бассейн, Крапивинский район, правобережье р. Томи,

обнажение по левому берегу рч. Захаровки, острогская свита нижнего карбона.

Диагноз. Диаметр 45–55 мк. Миоспоры трехлучевые, радиально-симметричные, округлые, обладающие однослойной экзиной, несущей на себе плоские бугорки. Характерная особенность данного вида – наличие ареа, где экзина более темная и более скульптированная.

Описание. Споры с трехлучевой щелью, в полярной проекции окружных очертаний. Экзина плотная, складок смятия не имеет, лишь у отдельных экземпляров наблюдается небольшая складка у окончания луча щели разверзания. Скульптура экзины плоскобугристая, контур споры ровный. Щель разверзания простая, длина лучей или равна половине радиуса споры, или несколько длиннее. Тетрадный след (арея) широкий, но выражен слабо, экзина на ареа наиболее темная и наиболее скульптированная.

Сравнение. От известных спор с бугорчатой скульптурой и ареа описываемый вид отличается своеобразными морфологическими признаками, а именно: плоскобугорчатой скульптурой, не выступающей по контуру, намечающимися ареа и плотной экзиной. Принимая во внимание эти признаки, выделяем новый вид *Verruciretusispora salebrosa*.

Распространение. Встречается в небольших количествах (до 3%) в отложениях острогской свиты нижнего карбона и мазуровской свиты среднего карбона.

Материал. 12 экземпляров хорошей сохранности из двух местонахождений. Кузнецкий бассейн, Крапивинский район, правобережье р. Томи, обнажение на левом берегу рч. Захаровки, острогская свита; там же, шурф '924, мазуровская свита.

Род *Apiculiretusispora* Street, 1964.

*Apiculiretusispora ciliaris* Peterson sp. nov.

Таблица II, фиг. 7

Название вида от латинского *ciliaris* – ресничная.

Голотип: № 1334, спорово-пыльцевая лаборатория Красноярского геологического управления. Тунгусский бассейн, р. Тасеева, скв. 1, гл. 123,7 м, нижний карбон, мурминская свита.

Диагноз. Споры округлой формы с трехлучевой щелью разверзания, с четкой ареа на проксимальной стороне.

Описание. Диаметр споры 45–60 мк. Длина лучей щели разверзания составляет 2/3 радиуса тела споры. Лучи щели извилистые, окаймленные. Между лучами на проксимальной стороне тела споры четко намечается ареа в виде полукруглых площадок. Экзина споры покрыта тонкими короткими густо расположеннымми шипиками (ресничками) с округлыми вершинами.

Сравнение. Спора похожа на *Cyclogranisporites larvatus* (Lub.) Lub. Отличается присутствием резко выраженной ареа, более грубой скульптурой экзины и более крупными размерами.

Распространение. Нижний и средний карбон. Тунгусский и Минусинский угленосные бассейны.

Материал. 26 экземпляров хорошей сохранности из четырех местонахождений: Тунгусский бассейн – реки Погромная, Тасеева, Кокуй, Минусинский бассейн – Изыхское месторождение.

Инфратурма Murornati R. Pot. et Kr., 1954.

Род *Camptotriletes* Naumova, 1937.

*Camptotriletes crispatus* Drjagina sp. nov.

Табл. I, фиг. 7

Название вида от латинского *crispatus* – кудрявый, волнистый.

Голотип: обр. 19531/1, палинологическая лаборатория ЗСГУ, г. Новокузнецк. Кузнецкий бассейн, Крапивинский район, правобережье р. Томи, турнейский ярус нижнего карбона.

Диагноз. Диаметр 65–85 мк. Миоспоры трехлучевые, радиально-симметричные, округлые или треугольные, обладающие однослойной экзиной, покрытой гребневидными переплетающимися и разветвляющимися тяжами.

Описание. Споры с трехлучевой щелью, в полярной проекции округлых или треугольных очертаний. Экзина плотная, складки смятия не наблюдались. Поверхность экзины покрыта плотными, близко расположеными, соприкасающимися друг с другом изогнутыми гребневидными переплетающимися тяжами, которые создают спирально-завитую картину. Скульптурные элементы крупные, края их выступают, образуя слабоволнистую линию контура споры. Щель разверзания простая, лучи узкие и длинные, длина их составляет 2/3 радиуса споры. Морфологические признаки спор варьируют слабо, наблюдается изменчивость главным образом в размерах спор. У некоторых экземпляров щель разверзания бывает замаскирована скульптурными элементами.

Сравнение. По характеру морфологических признаков описываемые споры напоминают представителей рода *Convolutispora*. Наибольшее сходство наблюдается с видом *C. tesselata* Hofm., St. et Malloy (Hoffmeister, Staplin et Malloy, 1955, табл. 38, фиг. 9). Сходство выражается в общности размеров и очертаний; отличается от нее более крупными и более редкорасположенными скульптурными элементами.

Распространение. Характерная форма для турнейских отложений Кузнецкого бассейна.

Материал. 12 экземпляров хорошей сохранности из двух местонахождений. Кузнецкий бассейн, Крапивинский район, правобережье р. Томи, скв. 73, гл. 107 м, турнейский ярус; там же, скв. 74, гл. 42,6 м, турнейский ярус.

Инфратурма Complexati Pash. infrat. nov.

Настоящая инфратурма устанавливается для миоспор, экзина которых несет на себе сложные скульптурные элементы (*biforms*). К данной инфратурме относятся представители рода *Dibolisporites* Richardson, характерные для отложений среднего девона (особенно для эйфельского яруса), и рода *Umponatisporites*.

Род *Umponatisporites* (Hibbert, Lacey) Clayton, 1971.

Табл. I, фиг. 11

*Umponatisporites*: Hibbert, Lacey, 1969, p. 423; Clayton, 1971, p. 591; Playford, 1972, p. 325, t. 1, fig. 1–5.

Типовой вид. *Umponatisporites variabilis* Hibbert, Lacey, 1969.

Описание. Диаметр от 25 до 150 мк.

Миоспоры трехлучевые, радиально-симметричные, очертания округлые, округло-треугольные, реже треугольные.

Экзина состоит из нерасслаивающейся оболочки. Скульптура представляет собой сложные образования, которые могут быть отнесены к нескольким типам: 1) диаметр скульптурного элемента по всей длине превышает диаметр у основания; 2) высокая часть имеет более или менее параллельные стени, или попарно расширена или сужена, или проявляет прогрессивную тенденцию к расширению или сужению; 3) сравнительно короткая вершинная часть состоит из мелких острых шипиков, конусов или шариков. Скульптура у одного экземпляра может быть однородной или варьировать, отсутствует или сильно редуцирована на контактовых ареа.

Шель прорастания простая, лучи щели обычно прямые, реже слегка извилистые, длина их колеблется от 1/4 до 3/4 радиуса тела споры.

Виды различаются по деталям орнаментации.

Систематическая принадлежность неизвестна.

Распространение. Самый ранний представитель данного рода – *U. (al. Acanthotriletes) heterodontus* (Naum.) comb. nov. описан из верхов старооскольских слоев Русской платформы; вид *U. sibiricus* (Pash.) comb. nov. характерен для верхов фаменского яруса и нижнекаменноугольных отложений Сибирской платформы. Остальные виды рода (*U. medensis* Playford, *U. distinctus* Clayton, 1971 и др.) известны из нижнекаменноугольных отложений Западной Европы и Австралии.

*Umponatisporites sibiricus* (Pash.) Pash. comb. nov.

Табл. I, фиг. 11

*Acanthotriletes sibiricus*: Пашкевич, 1971, стр. 31, табл. I, фиг. 7; табл. II, фиг. 10.

Замечание. Миоспоры, ранее относимые к подгруппе *Acanthotriletes* Naum., принадлежат различным родам. Указанный вид, обладающий характерной скульптурой экзины – кеглевидными выростами, отнесен к роду *Umponatisporites*, так как его характеристика полностью отвечает диагнозу рода.

Близкие по морфологическому строению формы описаны Сулливаном как *Schopfites claviger* Sullivan, 1968. Однако скульптурная особенность этих миоспор не отвечает диагнозу *Schopfites* Košanek, 1950. Крайтон (Clayton, 1971) описывает в составе данного вида миоспоры двухслойные. Миоспоры, состоящие из экзоэкзины и индэкзины и обладающие подобной скульптурой (кеглевидные выросты на экзоэкзине), описаны Н.Г. Пашкевич (1971) как *Hymenozonotriletes kurungurachus* Pash. (табл. I, фиг. 12).

СУБТУРМА CINGULATI (R.Pot. et Kr., 1954)  
PASH.COMB.NOV.

Объединяет миоспоры с экваториальным утолщением экзины – цингулумом.



зина имеет пленчатое образование – зону. Миоспоры *Antissporites*, вероятнее всего, однослойные, но так же, как и *Psilohymena*, обладают экваториальной зоной. Косвенным признаком, позволяющим различать представителей этих трех родов, является характер и расположение складок. Для *Remyssporites* характерны беспорядочные накладные складки, для *Psilohymena* главным образом – радиальные, морщинистые, в то время как *Antissporites* имеют одну концентрическую и несколько радиальных складок, по своему строению являющиеся складками-тяжами.

Распространение. Кузнецкий бассейн, турнейский ярус нижнего карбона.

#### *Antissporites magnus Drjagina sp. nov.*

Табл. I, фиг. 5, 6

Название вида от латинского *magnus* – крупный.

Голотип: обр. 19531/2, палинологическая лаборатория ЗСГУ, г. Новокузнецк, Кузнецкий бассейн, Крапивинский район, правобережье р. Томи, тайдонский горизонт нижнего карбона.

Описание. Диаметр 150–170 мк, споры с трехлучевой щелью разверзания, в полярной проекции округлых или овально-округлых очертаний. Состоят из центрального тела диаметром 70–80 мк и равномерно его окружающей широкой оторочки шириной 40–50 мк. Экзина плотная, тонкошагреневая, иногда с крупными складками смятия. На границе тела и оторочки есть темная кольцеобразная складка, от которой расходятся радиальные лучи, доходящие почти до середины оторочки. Лучи щели разверзания выходят на оторочку. Контур споры ровный или слегка волнистый.

Распространение. Вид характерен для турнейских отложений Кузнецкого бассейна.

Материал. 16 экземпляров хорошей сохранности из двух местонахождений. Кузнецкий бассейн, Крапивинский район, правобережье р. Томи, скв. 74, гл. 42,6 м, тайдонский горизонт; там же, скв. 73, гл. 107 м.

#### СУПРАСУБТУРМА CAMERATITRILETES NEVES, OWENS, 1966

##### CUBTURMA CAMERATI PASH. SUBTURMA NOV.

Объединяет миоспоры с простой камерой. Экзоэкзина имеет одинаковую толщину и плотность по всей поверхности миоспоры или несколько толще на дистальной стороне. Иногда такие миоспоры обладают двойным (или тройным) контуром, что обусловлено толщиной экзоэкзины или индэкзины.

##### Инфратурма Camerati-decorati Pash. infrat. nov.

Включает миоспоры, имеющие простую камеру и скульптированную экзоэкзину. Тип скульптуры апикальный (шипы, бугры или столбики).

##### Род Necgemina Pash. gen. nov.

Название рода от греческого *neo* – новая.

Типовой вид – *Neogemina angaria Pash.*, нижний карбон, Вилойская синеклиза.

Диагноз. Общий диаметр 60–80 мк, диаметр индэкзины 40–65 мк. Миоспоры трехлучевые, радиально-симметричные, округлые, округло-треугольные, округло-эллипсовидные. Экзина образует простую камеру. Экзоэкзина толще на дистальной стороне, скульптирована мелкими разнообразными элементами (бугорками, шипиками, столбиками).

Описание. Миоспоры трехлучевые, радиально-симметричные, в полярном положении округлые, округло-треугольные или округло-эллипсовидные. Экзина образует простую камеру. Индэкзина связана с экзоэкзиной только на проксимальной стороне в местах развития лучей щели прорастания. Индэкзина расположена внутри экзоэкзины обычно асимметрично. Экзоэкзина утончается на проксимальной стороне, у некоторых форм сходит на нет. Скульптура экзоэкзины – мелкие бугорки, шипики или столбики; на проксимальной стороне скульптура редуцируется до полного исчезновения. Лучи щели простые или отороченные, прямые или извилистые, обычно не превышают радиус индэкзины.

Видовой состав. *Neogemina angaria Pash. sp. nov.*, *N. rugosa Pash. sp. nov.*, *N. tungusica Pash. sp. nov.*

Сравнение. Миоспоры *Neogemina*, по своему строению наиболее близки к представителям рода *Geminospora* Balme, отличаясь от них более тонкой экзоэкзиной на проксимальной стороне, за счет чего контактные ареа при полярном положении споры всегда светлее.

Замечание. Целесообразность выделения нового рода продиктована следующими фактами. Миоспоры рода *Geminospora* Balme появляются в отложениях среднего девона, в позднедевонских отложениях (франский ярус), достигают наибольшего разнообразия, постепенно (фаменский ярус) их количество и видовой состав сокращаются. В отложениях нижнего карбона Сибирской платформы и Кузбасса миоспоры подобного строения вновь встречаются в значительном количестве, но обретают новый существенный признак – более тонкую экзоэкзину на проксимальной стороне. Такое строение характерно для микроспор лепидофитовых.

Распространение. Нижний карбон Сибирской платформы и Кузбасса.

##### Neogemina angaria Pash. sp. nov.

Табл. II, фиг. 1, 2

Вид назван по названию древнего материка – Ангарида.

Голотип: обр. К-4-693, Якутский университет, спорово-пыльцевая лаборатория. Вилойская синеклиза, III толща курунгурякской свиты, нижний карбон.

Диагноз. Общий диаметр 70–80 мк; диаметр индэкзины 60–65 мк.

Миоспоры трехлучевые, радиально-симметричные, округло-треугольные. Экзоэкзина покрыта мелкими, плотно прилегающими друг к другу бугорками.

Описание. Миоспоры трехлучевые, радиально-симметричные, в полярном положении округло-треугольные. Экзина образует простую камеру. Индэкзина гладкая, расположена внутри экзоэкзины асимметрично. Экзоэкзина на дистальной стороне и в экваториальной части толстая, и за счет этого создается двойной контур спор. На проксимальной стороне экзоэкзина значительно тоньше и в полярной части сходит на нет. Скульптура экзоэкзины – мелкие, плотно прилегающие друг к другу бугорки. Лучи щели отороченные, прямые, длина их не превышает радиуса индэкзины.

Распространение. Нижний карбон Сибирской платформы и Кузнецкого бассейна.

**Материал.** 30 экземпляров из трех местонахождений. Сибирская платформа, Кемпендейская впадина, Ш толща курунгуряжской свиты; между речье Непа - Бол. Ерема, чедуйская толща; Кузнецкий бассейн, правобережье р. Томи, скв. 74, гл. 80 м, тайдонский горизонт.

*Neogemina plicata* Pash. sp. nov.

Табл. II, фиг. 3, 4

Название вида от латинского *plicata* - складчатая.

**Голотип:** обр. Р-1-1365, Якутский университет, спорово-пыльцевая лаборатория. Вилойская синеклиза, Ш толща курунгуряжской свиты, нижний карбон.

**Диагноз.** Общий диаметр 70-80 мк, диаметр индексины 50-55 мк.

Миоспоры трехлучевые, радиально-симметричные, округлые или округло-треугольные, экзоэксина покрыта мелкими плотно прилегающими друг к другу бугорками и смята концентрическими накладными складками.

**Описание.** Миоспоры трехлучевые, радиально-симметричные, в полярном положении округлые или округло-треугольные. Эксина образует простую камеру. Индексина гладкая, расположена внутри экзоэксины асимметрично. Экзоэксина на дистальной стороне и в экваториальной части толстая, что создает двойной контур споры. На проксимальной стороне экзоэксина несколько утончается. Скульптура экзоэксины развита равномерно по всей поверхности - мелкие, плотно прилегающие друг к другу бугорки. На дистальной стороне имеются концентрические накладные складки. Лучи щели простые, иногда слегка отороченные, прямые, длина их не превышает радиуса индексины.

**Сравнение.** От миоспор вида *N. angaria* отличаются несколько более толстой экзоэксиной на проксимальной стороне и развитием складок смятия на дистальной.

**Распространение.** Нижний карбон Вилойской синеклизы.

**Материал.** 5 экземпляров из одного местонахождения. Вилойская синеклиза, Кемпендейская впадина, скв. Р-1, гл. 1365-1395 м, Ш толща курунгуряжской свиты.

*Neogemina tungusica* Pash. sp. nov.

Табл. II, фиг. 5, 6

Название вида от названия флористической области - тунгусская.

**Голотип:** обр. К-3-906, Якутский университет, спорово-пыльцевая лаборатория. Вилойская синеклиза, Ш толща курунгуряжской свиты, нижний карбон.

**Диагноз.** Общий диаметр 60-80 мк, диаметр индексины 40-50 мк.

Миоспоры трехлучевые, радиально-симметричные, округло-треугольные до округло-эллиптических. Экзоэксина покрыта мелкими бугорками неправильной формы, которые, сливаясь, образуют мелкие извилины.

**Описание.** Миоспоры трехлучевые, радиально-симметричные, в полярном положении имеют округло-треугольные или округло-эллипсовидные очертания. Эксина образует простую камеру. Индексина гладкая, тонкая (табл. II, фиг. 6), расположена внутри экзоэксины асимметрично. Экзоэксина на дистальной стороне и в экваториальной части толстая, за счет чего создается двойной контур спор. На проксимальной стороне экзоэксина значительно утончается. Скульптура экзины: мелкие бугорки неправильной

формы, которые, сливаясь, создают мелкие извилины; на проксимальной стороне наблюдается редукция скульптуры. Лучи щели простые или отороченные, прямые; длина их равна радиусу индексины или несколько его превышает.

**Сравнение.** От других представителей *Neogemina* отличается своеобразным извилистым рисунком, который создается скульптурой экзиноэксины.

**Распространение.** Нижний карбон Вилойской синеклизы.

**Материал.** 7 экземпляров из одного местонахождения. Вилойская синеклиза, Кемпендейская впадина, скв. К-3, гл. 906 м, Ш толща курунгуряжской свиты.

**Род** *Endoculeospora* (Staplin) Turnau, 1975.

**Endoculeospora:** Staplin, 1960, p. 126, pl. 9; Turnau, 1975, p. 506-528, pl. 8.

**Описание.** Общий диаметр 70-120 мк, диаметр индексины 40-90 мк.

Миоспоры трехлучевые, радиально-симметричные, в полярном положении имеют округло-треугольные очертания. Эксина образует простую камеру. Экзоэксина относительно тонкая, имеет скульптуру от грубозернистой до столбчатой или бугорчатой, бугорки неправильной формы (в виде сосочеков). Индексина гладкая, толщина ее неодинакова у различных видов. Диаметр составляет 2/3-3/4 от общего диаметра споры.

**Видовой состав.** К данному роду из видов, описанных на территории СССР, могут быть отнесены помимо *Endoculeospora pallentis* (Luber) comb. nov., *Hymenozonotriletes facilis* Kedo и *H. flavus* Kedo.

**Сравнение.** По морфологической характеристике род *Endoculeospora* очень близок к роду *Spelaeotriletes* Neves et Owens, 1966, причем последний по своему диагнозу имеет более широкий диапазон изменения скульптурных элементов: характерны мелкие конусообразные шипики, зерна, бородавки, которые, срастаясь, создают неправильные цепи. К роду отнесены миоспоры *Spelaeotriletes lepidophytus* (Kedo) Streel, орнамент которых образует сетку или состоит из разветвляющихся и переплетающихся тяжей. Поэтому нам представляется целесообразным принимать род *Endoculeospora* для миоспор, экзоэксина которых состоит из бугорков, конусообразных или цилиндрических шипиков (столбиков), а к роду *Spelaeotriletes* относить миоспоры только с сетчато-яченистой скульптурой.

**Распространение.** Нижний карбон.

***Endoculeospora pallentis* (Luber) Pash. comb. nov.**

Табл. II, фиг. 13, 14

***Angaropteritriletes pallens*:** Любер, 1951, с. 55, табл. II, фиг. 42.

**Сравнение.** Наиболее близкими видами являются *E. gradzinskii* Turnau (1975, табл. 7, фиг. 1-3, с. 518), происходящий из нижнего карбона Северной Польши, *Hymenozonotriletes facilis* Kedo (Кедо, 1957) из верхней части фаменского яруса и *Hymenozonotriletes flavus* Kedo (Кедо, 1963) из турнейского яруса Припятского прогиба. Однако миоспоры *E. pallentis* обладают более тонкой индексиной, и поэтому часто бывает не видно "центрального тела" (см. табл. II, фиг. 14).

**Распространение.** Нижний карбон Казахстана, Кемпендейской впадины, Вилойской и Тунгусской синеклизы.

**Материал.** 30 экземпляров. Кемпендейская впадина; 1У толща курунгуряжской свиты (визейский ярус); Тунгусский бассейн, шушукская свита (визейский ярус); челябинская толща (визейский ярус).

#### SUBTURMA CRASSIZONATI PASH. SUBTURMA NOV.

Объединяет миоспоры, экзина которых образует камеру и экваториальное утолщение.

##### Инфратурма *Crassizonati-decorati* Pash. *infrat. nov.*

Включает миоспоры со скульптированной экзоэксиной.

##### Род *Viduusisporites* Pash. gen. nov.

Название рода от названия типового вида.

Типовой вид: *Viduusisporites viduus* (Medvedeva) Pash. comb. nov.

**Диагноз.** Общий диаметр 20–50 мк, диаметр индэкзини 10–25 мк.

Миоспоры трехлучевые, радиально-симметричные, округло-треугольные. Эксина образует камеру и экваториальное утолщение. Экзоэксина несет на себе скульптуру в виде бугорков, шипов и других простых элементов.

**Описание.** Миоспоры трехлучевые, радиально-симметричные, в полярном положении округло-треугольные. Эксина образует камеру. Экзоэксина толстая, имеет экваториальное утолщение различной ширины. Индэкзина тонкая, связана с экзоэксиной как на проксимальной, так и на дистальной стороне. Скульптура экзоэксини – бугорки, шипики или другие простые элементы. Лучи щели простые или отороченные, прямые или извилистые, длина их обычно превышает радиус индэкзини.

**Видовой состав.** *Viduusisporites viduus* (Medvedeva) Pash. comb. nov. и *V. mutabilis* Pash. sp. nov.

**Сравнение.** В эту же инфратурму входят миоспоры рода *Vallatisporites* Hacquebard, 1957, отличающиеся от миоспор рода *Viduusisporites* более широким экваториальным образованием и арочным соединением индэкзини и экзоэксини.

**Распространение.** Нижний карбон Сибирской платформы: четвертая пачка курунгуряжской свиты Кемпендейской впадины, шушукская свита бассейна р. Тычаны, верхняя часть нижнего карбона Тунгусской синеклизы.

##### *Viduusisporites viduus* (Medvedeva) Pash. comb. nov.

Табл. II, фиг. 8

*Hymenozonotriletes viduus* Medvedeva: Медведева, 1960, с. 31, табл. 1У, фиг. 3.

**Плезиотип:** обр. К-3-906, Якутский университет, спорово-пыльцевая лаборатория; Вилойская синеклиза, 1У толща курунгуряжской свиты, нижний карбон.

**Описание.** Общий диаметр 20–40 мк, диаметр индэкзини 10–20 мк.

Миоспоры трехлучевые, радиально-симметричные, округло-треугольные. Эксина образует камеру, экзоэксина толстая, обладает экваториаль-

ным утолщением (индекс 0,1 и более). Индэкзина тонкая, гладкая, расположена внутри индэкзини симметрично. Экзоэксина покрыта мелкими, частыми и слегка вытянутыми бугорками. Лучи щели отороченные, прямые, длина их равна радиусу споры.

**Распространение.** Встречается в аналогах острогской свиты Тунгусского бассейна, в отложениях четвертой пачки курунгуряжской свиты Кемпендейской впадины и в шушукской свите по р. Шушук.

**Материал.** 25 экземпляров из одного местонахождения. Кемпендейская впадина, 1У толща курунгуряжской свиты (визейский ярус).

##### *Viduusisporites mutabilis* Pash. sp. nov.

Табл. II, фиг. 9–12

Название вида от латинского *mutabilis* – меняющийся.

**Голотип:** обр. К-4-695, Якутский университет, спорово-пыльцевая лаборатория; Вилойская синеклиза, 1У толща курунгуряжской свиты, нижний карбон.

**Диагноз.** Общий диаметр 40–50 мк, диаметр индэкзини 30–35 мк.

Миоспоры трехлучевые, радиально-симметричные, округлые до округло-треугольных. Эксина образует камеру и неширокое экваториальное утолщение. Скульптура экзоэксини бугорчатая.

**Описание.** Миоспоры трехлучевые, радиально-симметричные, в полярном положении округлые до округло-треугольных. Эксина образует камеру. Экзоэксина толстая, имеет неширокое экваториальное образование (индекс менее 0,1). Индэкзина тонкая, гладкая, не всегда четко выделяется. Скульптура экзоэксини мелкобугорчатая. Характерная черта данного вида – выраженные ареа, ограниченные одинарными линиями, и выделяющиеся светлым цветом и более тонкой зернистой скульптурой. Лучи щели отороченные, прямые, длина их превышает радиус индэкзини.

**Сравнение.** От *V. viduus* отличается узким экваториальным образованием и выраженным kontaktовыми ареа.

**Распространение.** Нижний карбон Вилойской синеклизы и Кемпендейской впадины.

**Материал.** 20 экземпляров из одного местонахождения. Кемпендейская впадина, 1У толща курунгуряжской свиты, скв. К-4, гл. 695,3 м.

##### Род *Vallatisporites* Hacquebard, 1957

###### *Vallatisporites acerosus* Peterson sp. nov.

Табл. III, фиг. 1, 2

Название вида от латинского *acerosus* – колючий.

**Голотип:** обр. № а 8149, спорово-пыльцевая лаборатория Красноярского геологического управления. Тунгусский бассейн, р. Чуя, шушукская свита.

**Диагноз.** Общий диаметр 30–40 мк, диаметр индэкзини 20–30 мк.

Миоспоры трехлучевые, радиально-симметричные, округло-треугольные. Эксина образует камеру и экваториальное утолщение. Экзоэксина покрыта острыми шипами.

**Описание.** Миоспоры трехлучевые, радиально-симметричные, в полярном положении приобретают округло-треугольные очертания. Эксина образует камеру. Экзоэксина толстая, имеет экваториальное утолщение. Индэкзина плотная, точечная, округло-треугольная; экзоэксина с индэкзиной

соединяется образованием в виде мелких арочек, которые при полярном положении споры выглядят как петельки. Экзоэзкина густо покрыта мелкими игольчатыми шипиками, выступающими по контуру споры. Лучи щели отороченные, прямые, длина их равна радиусу тела споры (индэзкины).

**Сравнение.** Отличается от *Lycospora breviapiculata* (Luber) Luber меньшими размерами, более тонкими и острыми шипами.

**Распространение.** Нижний карбон, Тунгусская и Вилойская синеклизы (Кемпендейская впадина).

**Материал.** 8 экземпляров из двух местонахождений: бассейн р. Чуи, скв. 26, гл. 35 м; Кемпендейская впадина, скв. К-4, гл. 695 м, III толща курунгуряжской свиты.

*Vallatisporites notabilis* Peterson sp. nov.

Табл. III, фиг. 3, 4

Название вида от латинского *notabilis* — заметный.

**Голотип:** обр. № а 8148, спорово-пыльцевая лаборатория Красноярского геологического управления. Тунгусский бассейн, р. Чуя, шушукская свита нижнего карбона.

**Диагноз.** Общий диаметр 30–40 мк, диаметр индэзкины 30–40 мк.

Миоспоры трехлучевые, радиально-симметричные, округло-треугольные. Экзина образует камеру и имеет относительно широкое экваториальное утолщение. Экзоэзкина шагреневая, покрыта редкими плоскими бугорками, создающими слегка волнистый контур спор.

**Описание.** Миоспоры трехлучевые, радиально-симметричные, в полярном положении округло-треугольные. Экзина образует камеру. Экзоэзкина толстая, имеет довольно широкое экваториальное утолщение (индекс более 0,2). Индэзкина плотная, шагреневая, округло-треугольная, с экзоэзкиной связана посредством мелких арочек, которые при полярном положении споры выглядят как петельки. Экзоэзкина шагреневая, покрыта редкими плоскими бугорками, создающими слегка волнистый внешний контур спор. Лучи щели разверзания отороченные, длина их равна радиусу индэзкины.

**Сравнение.** Описанный вид наиболее близок *Archaeozonotriletes carbonicus* Medvedeva, от которой отличается большими размерами и своеобразной орнаментацией.

**Распространение.** Нижний карбон, Тунгусский бассейн; Кемпендейская впадина Вилойской синеклизы.

**Материал.** 6 экземпляров из двух местонахождений: бассейн р. Чуи, скв. 26, гл. 32 м; Кемпендейская впадина, скв. Р-1, гл. 1365–1369 м, III толща курунгуряжской свиты.

*Vallatisporites vulgaris* Pash. sp. nov.

Табл. III, фиг. 5

Название вида от латинского *vulgaris* — обычный.

**Голотип:** обр. Р-1-1365, Якутский университет, спорово-пыльцевая лаборатория. Вилойская синеклиза, III толща курунгуряжской свиты.

**Диагноз.** Общий диаметр 30–50 мк, диаметр индэзкины 20–25 мк.

Миоспоры трехлучевые, радиально-симметричные, округло-треугольные. Экзина образует камеру и экваториальное утолщение. Скульптура экзоэзкины зернистая, в экваториальной части конусовидные шипы.

**Описание.** Миоспоры трехлучевые, радиально-симметричные, в полярном положении округло-треугольные. Экзина образует камеру. Экзоэзкина толстая, образует широкое (индекс более 0,2) экваториальное утолщение. Индэзкина плотная, округло-треугольная, связана с экзоэзкиной образованием в виде мелких арочек, которые при полярном положении споры выглядят как петельки. Экзоэзкина зернистая, в экваториальной части имеет конусовидные шипы с широким основанием (диаметр основания таких шипов в 2 раза превышает высоту шипа); диаметр основания колеблется от 3 до 10 мк, отношение диаметра основания к общему диаметру споры, таким образом, более 0,1. Лучи щели отороченные, прямые, длина их равна радиусу индэзкины.

**Сравнение.** Неоднородная скульптура, наиболее выраженная в экваториальной зоне, отличает миоспоры *V.vulgaris* от других видов рода *Vallatisporites*.

**Распространение.** Нижний карбон. Кемпендейская впадина Вилойской синеклизы; Тунгусская синеклиза.

**Материал.** 5 экземпляров из одного местонахождения: Кемпендейская впадина, скв. Р-1, гл. 1365–1369 м, нижний карбон.

Род *Tumulispora* Staplin et Jansonius, 1964

**Tumulispora:** Staplin, Jansonius, 1964, p. 95–117, pl. 4; Turnau, 1975, p. 506–528, pl. 8.

Типовой вид — *Tumulispora variverrucata* Staplin et Jansonius (табл. III, фиг. 6).

**Описание.** Миоспоры трехлучевые, радиально-симметричные, округлые или округло-треугольные. Экзина двухслойная, образует узкую камеру. Индэзкина неясная. Экзоэзкина толстая, имеет экваториальное утолщение различной ширины (индекс от 0,2 до 0,5). На проксимальной стороне экзоэзкина гладкая или тонко скульптурированная, на дистальной стороне развиты относительно крупные скульптурные элементы, главным образом, бугры, но могут быть и конусовидные шипы. Лучи щели разверзания отороченные, прямые; длина их равна радиусу индэзкины или несколько превышает его.

**Сравнение.** Представители рода *Tumulispora* отличаются от миоспор рода *Viduusisporites* более широким экваториальным утолщением, от миоспор рода *Vallatisporites* отсутствием арочного соединения индэзкины и экзоэзкины.

**Распространение.** Согласно Ф. Стаплину и Дж. Янсониусу (Staplin, Jansonius, 1964), представители рода *Tumulispora* встречаются в Западной Европе от турнейских до палеогеновых отложений. На территории Советского Союза виды, которые могут быть отнесены к этому роду, известны из нижнекарбоновых отложений Русской и Сибирской платформ.

*Tumulispora sorosa* Pash. sp. nov.

Табл. III, фиг. 7

Название вида по местонахождению на р. Сорос.

**Голотип:** обр. К-4-695, Якутский университет, спорово-пыльцевая лаборатория. Вилойская синеклиза, IV толща курунгуряжской свиты.

**Диагноз.** Общий диаметр 30–40 мк, диаметр индэзкины 20–28 мк.

Миоспоры трехлучевые, радиально-симметричные, округлые или округло-треугольные. Экзина образует узкую камеру и имеет широкое экватори-

альное утолщение. Скульптура экзоэксини — бугорки неправильной формы.

**Описание.** Миоспоры трехлучевые, радиально-симметричные, в полярном положении имеют округлые или округло-треугольные очертания. Эксина образует узкую камеру в экваториальной части споры. Экзоэксина толстая, обладает широким (индекс около 0,4) экваториальным утолщением. Индексина плотная, округлая или округло-треугольная, симметрично расположена внутри экзоэксини. Скульптура экзоэксини зернистая на проксимальной стороне и бугорчатая на дистальной. Бугорки, средние по размеру, неправильные по форме, создают волнистый экваториальный контур споры.

Лучи отороченные, прямые, длина их равна радиусу индексини.

**Сравнение.** От миоспор *T. variverrucata* отличается более широким экваториальным образованием. (У *T. variverrucata* индекс колеблется от 0,1 до 0,2).

**Распространение.** Нижний карбон. Кемпендейская впадина. Вилойской синеклизы; Тунгусская синеклиза.

**Материал.** 16 экземпляров из двух местонахождений: Кемпендейская впадина, скв. К-4, гл. 695 м, IY толща курунгуряжской свиты; там же, р. Сорос, III толща курунгуряжской свиты.

#### *Tumulispora malevkensa* (Kedo) Pash. comb. nov.

Табл. III, фиг. 8, 9

*Archaeozonotriletes malevkensis* Kedo: Кедо, 1964, с. 77, табл. IX, рис. 196–200.

**Плезиотип:** обр. К-3-906, якутский университет, спорово-пыльцевая лаборатория. Вилойская синеклиза, IY толща курунгуряжской свиты.

**Описание.** Общий диаметр 30–90 мк, диаметр индексини 25–75 мк.

Миоспоры трехлучевые, радиально-симметричные, округло-треугольные. Эксина образует узкую камеру в экваториальной части. Экзоэксина толстая, имеет широкое (индекс 0,2–0,3) экваториальное образование. Индексина плотная, зернистая (см. табл. III, фиг. 9), округло-треугольная, расположена внутри экзоэксини симметрично. На дистальной стороне экзоэксина покрыта частыми, довольно крупными плоскими буграми, в экваториальной части скульптурные элементы более мелкие, конусовидные, что создает фестончато-изрезанный контур. На проксимальной стороне наблюдается редукция скульптуры. Лучи щели прорастания отороченные, прямые, длина их равна радиусу индексини или несколько превышает его.

**Сравнение.** От миоспор других видов рода *Tumulispora* отличается неоднородной скульптурой: бугорчатой на дистальной стороне и конусовидной в экваториальной зоне.

**Распространение.** Турнейский ярус Припятского прогиба, нижний карбон Вилойской и Тунгусской синеклизы.

**Материал.** 5 экземпляров из одного местонахождения. Кемпендейская впадина, IY толща курунгуряжской свиты (визейский ярус нижнего карбона).

#### *Infraturma Crassizonati-complexati* Pash. infrat. nov.

Объединяет камератные миоспоры, экзоэксина которых обладает экваториальным утолщением и покрыта сложными скульптурными образованиями.

#### Род *Asperispora* Staplin et Jansonius, 1964

*Asperispora*: Staplin, Jansonius, 1964, p. 95–117, pl. 4.

**Типовой вид — *Asperispora naumova* Staplin, Jansonius (табл. III, фиг. 10).**

**Описание.** Общий диаметр 40–75 м, диаметр индексини 35–70 мк.

Миоспоры трехлучевые, округло-треугольные. Эксина двухслойная, образует узкую камеру в экваториальной части. Экзоэксина толстая, имеет сравнительно узкое экваториальное утолщение (индекс от 0,1 до 0,2). Индексина неясная, расположена внутри экзоэксини симметрично. На проксимальной стороне поверхность экзоэксини гладкая до тонкоскульптированной, дистальная поверхность покрыта сложными скульптурными элементами — буграми, заканчивающимися острыми шипиками. Лучи щели прорастания отороченные, прямые, длина их равна радиусу индексини.

**Распространение.** Представители данного рода известны от среднедевонских до нижнекаменноугольных отложений Западной Европы, Русской и Сибирской платформ.

#### *Asperispora nova* Pash. sp. nov.

Табл. III, фиг. 11, 12

Название вида от латинского *nova* — новая.

**Голотип:** обр. Р-1-1365. Якутский университет, спорово-пыльцевая лаборатория. Вилойская синеклиза, III толща курунгуряжской свиты.

**Диагноз.** Общий диаметр 40–50 мк, диаметр индексини 30–40 мк.

Миоспоры трехлучевые, радиально-симметричные, округлые до округло-треугольных. Эксина образует узкую камеру и относительно неширокое экваториальное утолщение, покрыта буграми неправильной формы, заканчивающимися острыми шипиками.

**Описание.** Миоспоры трехлучевые, радиально-симметричные, округлые до округло-треугольных. Эксина образует узкую камеру в экваториальной части. Экзоэксина толстая, имеет относительно широкое (индекс около 0,2) экваториальное утолщение. Скульптура на дистальной стороне и в экваториальной части — относительно крупные бугорки с насыщенными на них шипиками. На проксимальной стороне наблюдается редукция скульптуры. Лучи щели прорастания отороченные, равны радиусу индексини или несколько меньше его.

**Сравнение.** От *A. naumova* отличаются более широким экваториальным образованием и характером скульптуры: у *A. naumova* бугорки округлые, у *A. nova* — неправильной формы, у тех и у других на вершинах имеются острые шипики.

**Распространение.** Нижний карбон, Кемпендейская впадина. Вилойской синеклизы.

**Материал.** 4 экземпляра из одного местонахождения: Кемпендейская впадина, скв. Р-1, гл. 1365–1369 м, нижний карбон.

#### СУБТУРМА COMPLEXZONATI PASH. SUBTURMA NOV.

Объединяет камератные миоспоры, имеющие сложное, клиновидное экваториальное образование.

#### *Infraturma Complexzonati-decorati* Pash. infrat. nov.

Включает миоспоры, экзоэксина которых скульптурирована простыми элементами (буторки, конусовидные или вытянутые шипики, цилиндрические выросты и т. п.).

Род *Densosporites* (Berry, 1937) R. Pot. et Kr., 1954

*Densosporites dentatus* (Pash.) Pash. ccm. nov.

Табл. III, фиг. 13

*Acanthozonotriletes dentatus*: Пашкевич, 1971, с. 37, табл. I, фиг. 14; табл. II, фиг. 20, 20а.

Замечание. Ранее при описании миоспоры вида *dentatus* были отнесены к роду *Acanthozonotriletes*. Однако в настоящее время автор считает, что род *Acanthozonotriletes* следует оставить для миоспор, экзина которых не расслаивается на оболочки и имеет экваториальное образование или цингулум. По своей морфологической характеристике настоящий вид может быть отнесен к роду *Densosporites*.

Распространение. Нижний карбон. Кемпендейская впадина Вилойской синеклизы; Тунгусская синеклиза.

Материал. 8 экземпляров из двух местонахождений. Кемпендейская впадина, скв. Р-1, III толща курунгуряжской свиты, скв. Зк, IV толща курунгуряжской свиты (визейский ярус нижнего карбона).

Род *Lycospora* Schopf, Wilson et Bentall, 1944

*Lycospora capillata* Drjagina sp. nov.

Табл. III, фиг. 14

Название вида от латинского *capillata* – волосатая.

Голотип: обр. 6211-1, палинологическая лаборатория ЗСГУ, г. Новокузнецк. Кузнецкий бассейн, Крапивинский район, Захаровское месторождение, шурф 908.

Неотип: обр. К-4-812, Якутский университет, спорово-пыльцевая лаборатория. Вилойская синеклиза, III толща курунгуряжской свиты.

Диагноз. Общий диаметр 50–60 мк.

Миоспоры трехлучевые, радиально-симметричные, округло-треугольные. Экзина в экваториальной части образует узкое утолщение (цингулом) и тонкое пленчатое образование (зону). Экзина покрыта вытянутыми, довольно тонкими шипиками с закругленными вершинами.

Описание. Миоспоры трехлучевые, радиально-симметричные, в полярном положении округло-треугольные. Экзина в экваториальной части имеет узкое (индекс менее 0,1) утолщение (цингулом) и более широкое (индекс более 0,2) тонкое образование (зону). Экзина густо покрыта вытянутыми шипиками с закругленными вершинами; шипики часто срастаются у основания, что создает зубчатый контур спор. Лучи щели прорастания простые или узкооточенные, прямые или слегка извилистые, длина их почти равна радиусу споры.

Сравнение. От *Lycospora breviapiculata* (Luber) Pot. et Kr. и *L. verriculifer* (Luber) Luber отличается наличием цингулома и зоны, а также характером скульптуры – относительно длины шипами с закругленными вершинами.

Распространение. Нижний карбон и низы среднего карбона Кузнецкого бассейна, нижний карбон Кемпендейской впадины Вилойской синеклизы и Тунгусской синеклизы.

Материал. 20 экземпляров из четырех местонахождений: Кузнецкий бассейн, Крапивинский район, Захаровское месторождение, шурф 908, острогская и мазуровская свиты; Кемпендейская впадина, скв. К-4, гл. 812,5 м, скв. Р-1, гл. 1365–1369 м, нижний карбон.

## II. АКРИТАРХИ (?)

*Zonaletes saccatus* Troschkova, sp. nov.

Табл. III, фиг. 15, 16

Название вида от латинского *saccatus* – мешковидный.

Голотип: № 7592. Спорово-пыльцевая лаборатория Красноярского геологического управления. Тунгусский бассейн, р. Погромная, скв. 243, гл. 190,1 м, нижний карбон, кокуйская свита.

Диагноз. Тело неизвестного систематического положения вытянутой овальной формы, состоящее из двух оболочек. Внешняя оболочка шагреневая или сетчатая.

Описание. Диаметр внешней оболочки по длиной оси 82–108 мк, внутренней – 48–60 мк. Внутренняя оболочка округлая, очень плотная, шагреневая; внешняя – сильно вытянутой овальной формы, поверхность ее шагреневая или сетчатая. Тела обычно встречаются в боковом положении, при котором внутренняя оболочка имеет вид одновыпуклой линзы и расположена в одном конце овальной внешней оболочки; другой ее конец несколько вытянут, сужен.

Распространение. Нижний и средний карбон. Тунгусский и Минусинский угленосные бассейны; нижний карбон Кемпендейской впадины.

Материал. 25 экземпляров хорошей сохранности из шести местонахождений: Тунгусский бассейн – реки Тасеева, Погромная, Кокуй, мурминская свита нижнего карбона; Минусинский бассейн – Изыхское месторождение угля.

## III. ФОРАМИНИФЕРЫ

### Отряд AMMODISCIDA

Надсемейство TOURNAYELLIDEA DAIN, 1953

Семейство TOURNAYELLIDAE DAIN, 1953

Род *Tournayella* Dain, 1953

*Tournayella?* (*Eotournayella?*) *kisella* Malakhova, 1956

Табл. IV, фиг. 15, 16

*Tournayella kisella*: Малахова, 1956, с. 101–102, табл. II, фиг. 22–24; Литина, 1965, с. 25–26, табл. I, фиг. 15, 17–21; Conil et Lys, 1968, pl. IV, fig. 47.

*Ammodiscus borealis*: Малахова, 1956, с. 95–96, табл. I, фиг. 6, 7.

*Ammodiscus pulchrus*: Малахова, 1956, с. 96, табл. I, фиг. 9.

*Tourrayella pigmea*: Богуш и Юферев, 1966, с. 110, табл. V, фиг. 14, 15.

Описание. Раковина плоскосpirальная с неглубокими пупками. Число оборотов 2 1/2–4. Обороты умеренно возрастающие в высоту.  $D^*$  =

\*). Здесь и ниже:  $D$  – диаметр раковины, мм;  $T$  – ширина раковины, мм;  $T:D$  – отношение ширины к диаметру;  $h$  – высота последнего оборота, мм.

= 0,24–0,46; T = 0,10–0,20; T: D = 0,31–0,56; h = 0,04–0,09. Пе-  
режимы в стенке слабые, непостоянны. Стенка темная, тонкозернистая,  
толщиной 0,008–0,029 мм. Диаметр начальной камеры 0,038–0,095 мм.

**Изменчивость.** Выражена в непостоянстве пережимов стенки и сте-  
пени развития пупочных углублений.

**Сравнение.** Обнаруживает полное сходство с *Tourrayella kisella* Malakh. (*sensu* Lipina, 1955) и *T. pigmea* Leb., описанной О.И. Богуш и О.В. Юферевым (1966); сравнение с типичной *T. pigmea* (Лебедева, 1954, с. 241, табл. I, фиг. 8) затруднено отсутствием в первоописании характеристики поперечного сечения.

**Замечания.** По размерам, форме раковины, характеру наививания этот вид чрезвычайно близок к *Pseudoammodiscus priscus* (Raus.), в частности подвиду *P. priscus reposita* Brazhn., от которого отличается лишь наличием пупочных углублений, являющихся, как и присутствие пережимов, признаком неустойчивым. Вопрос о родовой принадлежности группы форм, включающих *Tourrayella kisella* Malakh. (*sensu* Lipina, 1955), *T. pigmea* Leb., *Pseudoammodiscus priscus* Raus., *Ps. priscus reposita* Brazhn., требует изучения.

**Распространение.** Турнейский ярус Сибирской платформы, Горловского бассейна, Северного Хараулаха, западного склона Урала; возможно, верхний турне – визе Кузбасса; нижняя часть визейского яруса Восточного Таймыра.

**Материал.** 44 экз., в том числе: 20 экз. – Сибирская платформа, верхний турне, ханельбиринский горизонт (4 экз. – западное и восточное побережье оз. Пясино, скв. П-15, Т-185; 6 экз. – район оз. Кета, скважина ЮИС-5; 6 экз. – р. Фокина в 1 км выше устья р. Серебряной; 4 экз. – район ст. Тундра); 4 экз. – Горловский бассейн, р. Китерия, китеринская свита, верхний турне; 2 экз. – Восточный Таймыр, бассейн р. Нюнькара-ку-Тари, руч. Бокситовый, нижний визе, сырдасайский горизонт; 5 экз. – Северный Хараулах, низовые р. Лены, бастахская свита, верхний турне; 13 продольных сечений из Кузбасса (3 экз. – р. Барзас у пос. Верхне-Барзасский, 3 экз. – р. Большая Мозжуха, 1 экз. – р. Томь у дер. Фомиха, 6 экз. – 4 км северо-восточнее с. Кративино, скв. 11700), верхний турне.

#### *Tourrayella* (*Tourrayella*) *discoidea* Dain., 1953

Табл. 1У, фиг. 17–20

*Tourrayella discoidea*: Дайн, 1953, с. 32, табл. II, фиг. 8–17; Липина, 1955, с. 34, табл. II, фиг. 33–37; 1965, с. 27–28, табл. I, фиг. 23–29; Завьялова, 1959, с. 176–177, табл. III, фиг. 2, 7; Богуш и Юферев, 1962, с. 113–114, табл. II, фиг. 22, 23; 1966, с. 109–110, табл. I, фиг. 8–12;

*Tourrayella discoidea* var. *uralica*: Гроздилова и Лебедева, 1954, с. 33, табл. IУ, фиг. 4, 5.

*Tourrayella accepta*: Познер и Шлыкова, 1961, с. 8, табл. I, фиг. 9, 10.

*Tourrayella discoidea forma maxima*: Липина, 1955, с. 34–35, табл. II, фиг. 34–36; табл. III, фиг. 2; 1965, с. 28–29, табл. I, фиг. 30–33; Завьялова, 1959, с. 176–177, табл. III, фиг. 1, 3–6, 8, 9.

*Tourrayella discoidea* var. *maxima*: Лебедева, 1954, с. 239–240, табл. I, фиг. 6.

*Tourrayella moelleri*: Гроздилова и Лебедева, 1954, с. 33–34, табл. IУ, фиг. 10 (и 9?).

*Tourrayella vespaformis*: Малахова, 1956, с. 104, табл. IУ, фиг. 7.

*Forshia* aff. *subangulata*: Приходько, 1948, с. 50, табл. I, фиг. 14.

*Tourrayella gigantea* var. *minoris*: Липина, 1955, с. 35–36, табл. III, фиг. 5–6; 1965, с. 30–31, табл. III, фиг. 1–5; табл. IУ, фиг. 1.

*Tourrayella subangulata*: Малахова, 1956, с. 103, табл. IУ, фиг. 3, 4.

*Tourrayella rossica*: Малахова, 1956, с. 104, табл. IУ, фиг. 6.

**Описание.** Раковина плоскосpirальная с неполастным периферическим краем, состоит из  $2\frac{1}{2}$ –7 эволюционных оборотов, медленно расширяющихся по мере роста. Пупок широкий, плоский. D = 0,29–1,50; T = 0,10–0,46; T: D = 0,2–0,48, h = 0,05–0,26. Диаметр начальной камеры 0,033–0,100 мм. Стенка темная от тонко- до разнозернистой с включением светлых зерен кальцита у крупных экземпляров толщиной 0,008–0,047 мм. Дополнительные отложения слабые, непостоянны, заполняют углы камер в приосевой части, иногда образуют утолщения в основании оборотов.

**Изменчивость.** Наиболее изменчивым признаком являются размеры раковины, с которыми прямой зависимостью связана толщина стенки, более разнозернистой у крупных толстостенных экземпляров. Экземпляры с малым числом оборотов обычно мелкие – вероятно, молодые экземпляры.

**Сравнение.** Не обнаруживает отличий от *T. discoidea* Dain (в широком понимании – см. синонимику), описанных разными авторами из Европы и Северной Америки.

**Замечания.** Условно взятые пределы величины диаметра (D): D ≤ 0,50 мм; D = 0,51–1,0 мм и D > 1,00 мм (1,01–1,50 мм), близкие пределы, указанным О.А. Липиной (1965) для *Tourrayella discoidea forma typica* (0,30–0,47 мм), *T. discoidea forma maxima* (0,47–0,90 мм) и *T. gigantea* var. *minoris* (0,86–1,35 мм), показали следующее количественное распределение экземпляров в этих пределах (табл. 5).

Из таблицы видно, что основная масса (около 3/4 всех экземпляров) попадает в среднюю группу, т.е. приближается к *T. discoidea forma maxima*, и по существу должна рассматриваться как типичные *T. discoidea*, а мелкие и крупные экземпляры (*T. discoidea forma typica* и *T. gigantea* var. *minoris* О.А. Липиной) – как уклоняющиеся. При этом в Горловском бассейне и Восточном Таймыре наблюдается некоторое увеличение роли крупных экземпляров против Кузбасса и Сибирской платформы, где относительно больше мелких.

**Распространение.** Верхний турне Сибирской платформы, Восточного Таймыра, Горловского бассейна, Северного Алтая, Кузбасса, Северного Хараулаха, Колымского массива, Среднего Урала, Южного Казахстана, Северной Америки; турнейский ярус Волго-Уральской области; нижняя часть визейского яруса Таймыра и Сетте-Дабана.

**Материал.** 204 экз., в том числе: 26 экз. – Горловский бассейн (21 экз. – р. Китерия, 4 экз. – р. Укроп, 1 экз. – р. Малый Елбаш, китеринская свита), 23 экз. – Кузбасс (13 экз. – р. Томь между деревнями Мозжуха и Денисово и 9 экз. – р. Большая Мозжуха, тайдонский и нижняя часть фоминского горизонта; 1 экз. – р. Барзас у дер. Бердовка, верхняя часть фоминского горизонта), 103 экз. – Сибирская платформа, верхняя часть фоминского горизонта).

Таблица 5

Количественные соотношения форм *Tournayella discoidea* Dain в различных регионах

## Количество экземпляров

Размеры, мм	Горловский бассейн	Кузбасс	Сибирская платформа	Восточный Таймыр	Всего по Средней Сибири	Северный Хараулах и Сертебель-Дабан	Кольский массив	Омоловонский массив	Всего по Сибири
≤0,50 (0,29-0,50)	-	10	25	3	38	18	3	1	60
0,51-1,00	19	12	78	35	144	13	12	2	171
>1,01-1,50	7	1	-	14	22	-	-	2	24
	26	23	103	52	204	31	15	5	255

нижний турне, ханельбиринский горизонт (7 экз. - восточное побережье оз. Пясино, 7 экз. - район ст. Тундра, 75 экз. - район оз. Кета, 14 экз. - р. Фокина), 52 экз. - Восточный Таймыр, р. Нюнькараку-Тари (50 экз. - руч. Бокситовый, из них 10 экз. из бинюдинского и 40 экз. из сырдасайского горизонтов, 2 экз. - руч. Рубежный, из них 1 из сырдасайского и 1 из фалабигайского горизонтов).

*Tournayella (Tournayella) moelleri* Malakhova (in Dain, 1953)

Табл. IY, фиг. 23-25

*Tournayella moelleri*: Малахова (в работе Дани), 1953, с. 33-34, табл. III, фиг. 1-5; Грозилова и Лебедева, 1960, с. 43-44, табл. I, фиг. 7, 8.

*Tournayella? moelleri*: Малахова, 1954, с. 55, табл. II, фиг. 1, 2, 4.

Описание. Раковина плоскосpirальная, состоит из 3<sup>1</sup>/2-5 эволютных оборотов с округлой периферией и умеренным возрастанием высоты спирали, с пережимами в 2-3 последних оборотах.  $D = 0,62-1,08$ ,  $T = 0,19-0,23$ , в одном случае 0,37,  $T:D = 0,29-0,37$ , в одном случае 0,47;  $h = 0,10-0,17$ . Стенка темная тонкозернистая, у крупных форм с включением светлых зерен кальцита, с тонким, более темным внешним слоем и более или менее отчетливым посветлением в средней части. Толщина стенки 0,025-0,33 мм. Дополнительные отложения - слабые затемнения в приосевой части камер.

Сравнение. Не отличается от типичной *T. moelleri* Malakh. От *T. discoidea* Dain отличается дифференцированной стенкой.

Распространение. Верхний турне Горловского бассейна, Кузбасса, Северо-Западного Алтая; верхний турне и отложения, переходные от турне к визе западного склона Урала и восточной части Русской платформы.

Материал. 14 экз., в том числе: 8 экз. - Горловский бассейн (4 экз. - р. Укроп, 2 экз. - р. Бердь и 2 экз. - р. Китерия), китеринская свита, верхний турне; 4 экз. - Кузбасс (3 экз. - р. Большая Мозжуха, карьеры у дер. Мозжуха; 1 экз. - 4 км северо-восточнее с. Крапивино, скв. 11700), верхний турне, тайдонский и фоминский горизонты; 2 экз. - Северо-Западный Алтай, р. Локтевка у с. Курья, верхний турне.

Род *Septatournayella* Lipina, 1955.

Подрод *Eoseptatournayella* Lipina, 1963.

*Septatournayella (Eoseptatournayella) lebedevae* Pojarkov, 1961

Табл. IY, фиг. 26

*Septatournayella lebedevae*: Поярков (Пуркин и др., 1961), с. 32, табл. II, фиг. 11, 12; Липина, 1965, с. 41-42, табл. VI, фиг. 30-33; табл. VII, фиг. 1, 2; Бражникова и Ростовцева, 1966, с. 32-33, табл. VII, фиг. 5-9.

Описание. Раковина состоит из 2-4 оборотов с 5-6 чернышнеллообразными (сильно односторонне выпуклыми) псевдокамерами в последнем обороте.  $D = 0,44-0,54$ ,  $T = 0,23$  (по одному экземпляру),  $T:D = 0,43$ ,  $h = 0,12-0,55$ . Ось навивания оборотов слабо колеблется. Стенка темная, тонкозернистая, толщиной 0,017-0,021 мм.

Сравнение. Не обнаруживает существенных отличий от типичной; от донецкой формы отличается большими размерами.

Распространение. Верхний турне Кузбасса и Горловского бассейна; нижний турне Омоловонского массива, Донбасса и Днепровско-Донецкой впадины; верхний фамен Тянь-Шаня и Северного Кавказа.

Материал. 8 экз., в том числе: 4 экз. - Кузбасс (3 экз. - р. Томь между деревнями Мозжуха и Денисово, 1 экз. - р. Большая Мозжуха), верхний турне, верхний тайдонского - низы фоминского горизонта; 2 экз. плохой сохранности, отнесенные к этому виду условно - Горловский бассейн, р. Укроп, китеринская свита, верхний турне; 2 экз. (уклоняющиеся - вероятно *forma recta*) - Омоловонский массив, правобережье р. Омолон, нижнее течение р. Талалах, руч. Короткий, короткинская свита, нижний турне.

Подрод *Septatournayella* Lipina, 1955

*Septatournayella (Septatournayella) aff. pseudocamerata* Lip.

Табл. V, фиг. 1

Описание. Раковина дисковидная со слаболопастным периферическим краем и неглубокими пупочными впадинами.  $D = 0,58-0,78$ ,  $T = 0,15-0,22$ ;  $T:D = 0,28-0,29$ ;  $h = 0,08-0,17$ ; число оборотов 3-6. Число псевдокамер в последнем обороте 8(9?). Псевдосепты хорошо развиты, в последних оборотах переходят в настоящие септы. Стенка темная, тонкозернистая, толщиной 0,019-0,037 мм.

Сравнение. От типичной отличается менее правильной раковиной, более развитой септацией и небольшим (у нижнего предела типичной формы) числом камер.

Распространение. Верхний турне Горловского бассейна.

Материал. 5 экз. (одно скошенное поперечное и 4 деформированных осевых сечения) - Горловский бассейн, р. Шипуниха, китеринская свита, верхний турне.

Подрод *Neoseptatournayella* Bogush, subsp. nov.

*Endothyra?* Лебедева, 1954 (part.); Woodland, 1958 (part.).

*Septatournayella*: Лебедева, 1954 (part.); Липица, 1965 (part.).

*Quasiendothyra?*: Малахова, 1957.

Типовой вид — *Endothyra? evoluta* Leb., 1954, с. 258, табл. У1, фиг. 1. Кузбасс, р. Томь у дер. Фомиха, фоминская зона.

**Диагноз.** Раковина плоскоспиральная с более или менее колеблющимся навиванием ранних оборотов, как правило, со слабо лопастным периферическим краем и хорошо выраженным пупочными углублениями. Камеры на ранних оборотах разделены псевдосептами, а на поздних — короткими септами. Устье — открытый конец трубы. Стенка известковая, тонкоизернистая, однородная или с включениями более крупных зерен кальцита, иногда с зачаточной дифференциацией, выражющейся в появлении более светлого слоя в средней части. Дополнительные отложения непостоянны в виде утолщений в основании оборота и затемнений в осевой области.

**Сравнение.** От наиболее близкого подрода *Septatournayella* отличается более развитой септацией и колебанием ранних оборотов. От подрода *Uviella* — более развитой септацией, более слабыми колебаниями ранних оборотов и менее выраженной эволютностью раковины.

**Замечания.** Биморфная, сильно сжатая с боков раковина сближает представителей неосептатурийелл с планоэндотирами. Однако последние обладают значительно более резкими колебаниями большего числа ранних оборотов, обычно сильно выпуклыми камерами и, как правило, более развитыми дополнительными отложениями.

**Видовой состав:** *Septatournayella (Neoseptatournayella) evoluta* (Leb.), *S. (N.) gorlovskensis* Bogush sp. nov., *S. (N.) repentina* Bogush sp. nov., *S. (N.) malakhovae* Lip., *S. (N.) disca* (Woodland non Zeller).

**Распространение.** Верхний турне Горловского бассейна, Северного Алтая, Сибирской платформы, Восточного Таймыра и Северной Америки; верхний турне и нижний визе Кузбасса, Северо-Западного Алтая; нижний визе восточного склона Урала, возможно, нижний визе Западной Европы.

*Septatournayella (Neoseptatournayella) gorlovskensis* Bogush sp. nov.

Табл. У, фиг. 2-4

Название вида по Горловскому бассейну.

**Голотип:** экз. № 357/82<sup>a</sup>, ИГИГ СО АН СССР; Горловский бассейн, р. Угроп, 0,2 км ниже устья руч. Большого; верхнекитеринская подсвита, обр. Т-546, шл. 3.

**Описание.** Раковина крупная, дисковидная, с отчетливыми пупочными углублениями и свободной спиралью, состоит из 3 1/2—4 1/2 эволютных оборотов, навитых почти в одной плоскости, за исключением первых — 1—1 1/2, заметно колеблющихся. Число псевдокамер, судя по скошенному поперечному сечению, не менее 8 в последнем обороте. Периферический край слаболопастной.  $D = 0,83-1,16$ ;  $T = 0,37-0,60$ ;  $T:D = 0,45-0,56$ , в одном случае 0,37;  $h = 0,20-0,25$ , у некоторых экземпляров до 0,33. Подразделение трубчатой камеры отчетливо наблюдается в 2—3 последних оборотах, причем в последнем псевдосепты сменяются короткими септами. В основании оборотов — слабые, непостоянны дополнительные отложения в виде небольших выступов или утолщений стенки. Стенка темная тонкоизернистая, у большинства экземпляров с включением светлых зерен кальцита; толщина стенки 0,019—0,042 мм. Диаметр начальной камеры 0,055—0,091 мм.

**Сравнение.** См. описание *Septatournayella (Neoseptatournayella) evoluta* (Leb.).

**Замечания.** Описанный вид близок *Septatournayella (Septatournayella) malakhovae* Lip., от которой отличается более развитой септацией, несколько большими размерами и значительно большей высотой последнего оборота, при меньшей средней толщине стенки, а от формы, описанной Р.А. Ганелиной (1966), кроме того, меньшим числом оборотов.

**Распространение.** Верхний турне Горловского бассейна, Кузбасса и Восточного Таймыра.

**Материал.** 11 экз., в том числе: 8 экз. — Горловский бассейн, р. Укроп, китеринская свита, верхний турне; 2 экз. — Кузбасс (1 экз. — р. Чумыш выше дер. Костенково, 1 экз. — р. Томь у дер. Фомиха), верхний турне, фоминский горизонт; 1 экз. — Восточный Таймыр, бассейн р. Нуулькараку-Тари, верхний турне, бинодинский горизонт.

*Septatournayella (Neoseptatournayella) evoluta* (Lebedeva, 1954)

Табл. У, фиг. 5-9

*Endothyra? evoluta*: Лебедева, 1954, с. 258—259, табл. У1, фиг. 1; 1962, с. 103, табл. С-1, фиг. 12.

*Septatournayella recta*: Лебедева, 1954, с. 243—244, табл. П, фиг. 1, 3, 4; 1962, с. 102, табл. С-1, фиг. 8, 9.

*Quasiendothyra? tulensis*: Малахова, 1957, с. 6—7, табл. П, фиг. 5.

**Описание.** Раковина средних размеров с округлым периферическим краем и значительными пупочными углублениями, состоит из 3—4 1/2 оборотов, навитых приблизительно в одной плоскости, с незначительным смещением то ранних, то взрослых оборотов. Раковина на ранних оборотах подразделена хорошо развитыми псевдосептами, в 1—2 последних оборотах переходящими в короткие косые, довольно толстые септы. Число камер в последнем обороте 7—8. Периферический край слаболопастной.  $D = 0,50-1,00$ , наиболее часто 0,62—0,87;  $T = 0,20-0,40$ ;  $T:D = 0,40-0,48$ , у единичных экземпляров 0,34—0,38;  $h = 0,09-0,23$ . Стенка темная, зернистая, в поздних оборотах слабо дифференцированная — более светлая близ внешней границы, толщиной 0,021—0,042 мм в последнем обороте. Диаметр начальной камеры 0,07—0,13 мм. Дополнительные отложения непостоянным тонким слоем выстилают основания камер и образуют затемнения в осевой области.

**Сравнение.** Наиболее близка *Septatournayella (Neoseptatournayella) gorlovskensis* Bog. sp. nov., от которой отличается более развитой септацией, очень слабыми колебаниями плоскости навивания оборотов, несколько меньшими размерами и более тесной, равномерно развертывающейся спиралью.

**Замечание.** Сходство размеров и совместное нахождение осевых сечений, не обнаруживающих существенных отличий от типичных *Endothyra? evoluta* Leb. (Лебедева, 1954, 1962) и срединных сечений, соответствующих таковым *Septatournayella recta* Leb. (там же), за исключением голотипа (Лебедева, 1954, табл. П, фиг. 2), отличающегося длинными прямыми септами, позволяет отнести их к одному виду *S. (N.) evoluta* (Leb.). Поперечное сечение, приведенное Н.П. Малаховой при описании *Quasiendothyra? tulensis* (Малахова, 1957, табл. П, фиг. 4) к данному виду, по-видимому, не относится, а осевое полностью

соответствует *Septatournayella* (*Neoseptatournayella*) *evoluta* (Leb.).

Распространение. Верхний турне Кузнецкого и Горловского бассейнов и Северного Алтая, Сибирской платформы, визе (тульский горизонт) восточного склона Урала.

Материал. 24 экз., в том числе: 1 экз. - Сибирская платформа, р. Фокина, верхний турне; 17 экз. - Кузбасс (11 экз. - р. Томь у дер. Фомиха, 2 экз. - р. Барзас у дер. Бердовка, 2 экз. - р. Чумыш выше дер. Костенково, 2 экз. - р. Томь у дер. Подъяково), верхний турне, фоминский горизонт; 3 экз. - Горловский бассейн, р. Укроп, китеринская свита, верхний турне; 3 экз. - Северный Алтай, кл. Филаретов у дер. Черемшанка, черемшанская свита, верхний турне.

*Septatournayella?* (*Neoseptatournayella?*) *repentina*  
Bogush sp. nov.

Табл. У, фиг. 13; табл. У1, фиг. 1-5

Название вида от *repentina* (лат.) - неожиданная, новая.

Голотип: экз. № 406/73а, ИГиГ СО АН СССР; Кузбасс, р. Чумыш выше дер. Костенково; верхняя часть фоминского горизонта, обр. 421-31в, шл. 2.

Описание. Раковина крупная, полуунволютная, почти плоскоспиральная с небольшими незакономерными отклонениями навивания некоторых оборотов, с хорошо выраженным пупочными углублениями, частично заполненными дополнительными отложениями. Число оборотов 3-5;  $D = 0,83-1,41$ ;  $T = 0,31-0,52$ ;  $T: D = 0,35-0,60$ ;  $h = 0,18-0,31$ , иногда 0,15. Камеры слабовыпуклые, септы косые, на ранних оборотах короткие, в последнем обороте заметно удлиняющиеся.

Стенка тонкозернистая с включением светлых зерен кальцита, у некоторых экземпляров с посветлением у внешней поверхности; толщина стенки 0,021-0,033 мм. Число камер в последнем обороте 8-9, в одном случае возможно 10. Дополнительные отложения представлены затемнением в осевой области и непостоянными бугорками в основании оборотов.

Сравнение. Почти плоскоспиральная во всех оборотах раковина с быстро развертывающейся спиралью и затемнениями в осевой области сближает описанную форму с *Neoseptatournayella evoluta* (Leb.), от которой она отличается крупными размерами, менее правильной раковиной и более развитыми, почти как у планоэндотир, септами.

Замечания. От сходных по плоскоспиральной раковине крупных *Planoendothyra compta* Schlyk и *Pl. grata* (Leb.) описанная форма резко отличается отсутствием эндотироидной рабиной части и слабым развитием базальных дополнительных отложений. По крупной плоскоспиральной раковине и характеру дополнительных отложений сходна с *Plectogyra michotii* Conil et Lys (non Pojarkov) (Conil et Lys, 1964).

Распространение. Верхний турне и визе Кузбасса и Северо-Западного Алтая.

Материал. 18 экз., в том числе: 16 экз. - Кузбасс (6 экз. - р. Чумыш выше дер. Костенково, 6 экз. - р. Томь между деревнями Можуха и Денисово, 1 экз. - р. Томь у дер. Фомиха, 1 экз. - 4 км северо-восточнее с. Крапивино, фоминский горизонт; 2 экз. - карьер у дер. Бирюля, подъяковский горизонт), 2 экз. - Северо-Западный Алтай, р. Локтевка у с. Курья, верхний турне - визе (?).

*Septatournayella?* (*Neoseptatournayella?*) *mrassuensis*  
(Lebedeva, 1962)

Табл. У, фиг. 10-12; табл. У1, фиг. 6, 7, 6, 7

*Globoendothyra mrassuensis*: Лебедева, 1962, с. 111, табл. С-2, фиг. 11.

Описание. Раковина спирально-свернутая, эволютная, со слаболопастным периферическим краем и умеренными пупочными углублениями, состоит из 3-4 оборотов. 2-3 последних оборота навиты в одной плоскости, ранние - колеблются.  $D = 0,62-0,87$ ,  $T = 0,33-0,37$ ;  $T: D = 0,53$ ;  $h = 0,13-0,20$ , наиболее часто 0,16-0,19 мм. Камеры слабовыпуклые, слегка асимметричные, разделены короткими косыми септами (на ранних 1-2 оборотах скорее псевдосептами); в последнем обороте 8-9 камеры (в одном случае 10). Стенка темная тонкозернистая с включением светлых более крупных зерен кальцита, у некоторых экземпляров слабо дифференцирована - с неотчетливым более светлым срединным слоем; толщина стенки 0,021-0,033 мм, в единичных случаях 0,017 мм. Диаметр начальной камеры 0,037-0,110 мм. В основании оборотов наблюдаются слабые непостоянные дополнительные отложения в виде небольших бугорков.

Сравнение. Очень близка *Septatournayella* (*Neoseptatournayella*) *evoluta* (Leb.) и *S. (N.) gorlovskiensis* sp. nov., от которых отличается более значительным колебанием ранних оборотов, большим числом камер в последнем обороте и более развитой септацией, а от второй, кроме того, более низким последним оборотом.

Замечание. Плоскоспиральная эволютная раковина описанного вида, не характерная для рода *Globoendothyra*, к которому первоначально был отнесен этот вид, сближает его с неосентатурнейеллами. Этому не противоречит и намечающаяся дифференциация стенки, наблюдаемая также у других позднетурнейских турнейелл (например, *Tournayella moelleri* Malakh.), но имеющая совсем иной характер, чем у глобоэндотир.

Распространение. Верхний турне Кузбасса, Горловского бассейна, Северного и Северо-Западного Алтая.

Материал. 16 экз., в том числе: 8 экз. - Кузбасс (4 экз. - р. Чумыш выше дер. Костенково, 1 экз. - р. Томь у дер. Фомиха, 1 экз. - р. Томь у дер. Подъяково, 2 экз. - на 4 км северо-восточнее с. Крапивино, скв. 11700), фоминский горизонт; 3 экз. - Горловский бассейн, р. Шипуниха, китеринская свита; 1 экз. - Северо-Западный Алтай, р. Локтевка у с. Курья, верхний турне; 4 экз. - Северный Алтай, кл. Филаретов у дер. Черемшанка.

Род *Septabrunsiina* Lipina, 1955

*Septabrunsiina kraiinica* (Lipina, 1948)

Табл. У1, фиг. 8, 9

Синонимику до 1962 г. включительно см. Липина, 1965, с. 52.

*Septabrunsiina kraiinica*: Липина, 1965, с. 52, табл. X1, фиг. 1-7; Богуш и Юферев, 1966, с. 108, табл. У, фиг. 7; Conil et Lys, 1964, р. 75, pl. X, fig. 181-183; Brenckle, 1973, p. 27, pl. 2, fig. 11-18.

*Septabrunsiina kraiinica* var. *globosa*: Conil et Lys, 1964, р. 75-76, pl. X, fig. 184-185.

**Описание.** Раковина плоскосpirальная с углубленными пупками, лопастной периферией, умеренно возрастающей высотой оборотов. Навивание значительно колеблющееся в ранних  $1\frac{1}{2}$ - $2\frac{1}{2}$  оборотах и плоскосpirальное, реже слабо колеблющееся в наружных. Число оборотов  $2\frac{1}{2}$ -3, редко 4.  $D = 0,31$ - $0,60$ ;  $T = 0,13$ - $0,26$ ;  $T: D = 0,35$ - $0,55$ ;  $h = 0,07$ - $0,12$ , редко 0,06 и 0,15, количество псевдокамер в последнем обороте 6-8, псевдокамеры довольно выпуклые, асимметричные. Начальная камера сферическая, диаметром 0,025-0,125 мм. Стенка темная, тонкозернистая, иногда со слабым посветлением в средней части; толщина стенки 0,010-0,025 мм. Дополнительные отложения обычно отсутствуют, но у некоторых экземпляров, не отличающихся по другим признакам, наблюдаются слабые бугорки в основании камер.

**Изменчивость.** Наиболее изменчивыми признаками описанного вида являются: 1) степень колебания осей навиваний по оборотам; 2) характер пупочных углублений; 3) высота последнего оборота; данный признак не всегда связан прямой зависимостью с размерами раковины, что возможно усугубляется асимметрией камер, влияющей на высоту оборота в зависимости от сечения. Следует также отметить наличие уклоняющихся экземпляров: а) с более сжатой раковиной, б) с намечающимися дополнительными отложениями.

**Сравнение.** Основная масса экземпляров не обнаруживает отличий от типичных *S. kraiinica*. Экземпляры с намечающимися базальными отложениямиближают описанный вид с американским видом *S. parakrainica* Skipp.

**Распространение.** Верхний турне Сибирской платформы, Горловского бассейна, Кузбасса, Русской платформы, Урала, Северного Тянь-Шаня; турийский ярус Бельгии и Франции (*Tn1a-Tn2b*) и Северной Америки (*Madison*); встречается в нижней части турне Омоловского массива и Волго-Уральской области и в нижней части визе Кузбасса и Восточного Таймыра.

**Материал.** 62 типичных экземпляра, в том числе: 31 экз. - Сибирская платформа (15 экз. - западное и восточное побережье оз. Пясино, скв. П-15 и Т-185, 15 экз. - район оз. Кета, скв. ЮИС-5, 1 экз. - р. Фокина), верхний турне, ханельбиринский горизонт; 19 экз. - Кузбасс (6 экз. - р. Томь между деревнями Мозжуха и Денисово и 5 экз. - р. Чумыш выше дер. Костенково, верхний турне, верхи тайдонского - низы фоминского горизонтов; 4 экз. - 4 км северо-восточнее с. Крапивино, верхний турне, верхи тайдонского горизонта; 4 экз. - р. Артышта у дер. Артышта, визе, подъяковский горизонт, семенушкинская толща); 12 экз. - Горловский бассейн (9 экз. - р. Китерня, 2 экз. - р. Укроп, 1 экз. - р. Бердь), верхний турне. Кроме того, встречено 5 уклоняющихся экземпляров с зачаточными базальными отложениями (Кузбасс, реки Томь и Чумыш, верхний турне) и 4 экз. - с более глубокими пупками (Сибирская платформа, оз. Пясино, верхний турне).

#### *Septabrunsiina kingirica* (Reitlinger, 1961)

Табл. У1, фиг. 10, 11

*Septaglomospiranella* (*S.*) *kingirica*: Рейтлингер, 1961, с. 61, табл. У, фиг. 15-17; Богуш и Юферев, 1966, с. 106, табл. У, фиг. 1.

*Septabrunsiina crassisepta*: Conil et Lys, 1964, р. 75, пл. X, фиг. 177-178.

*Septabrunsiina kraiinica*: Conil et Lys, 1964, р. 75, пл. X, фиг. 182-183.

*Septabrunsiina kingirica*: Липина, 1965, с. 55, табл. X1, фиг. 30-34; Conil et Lys, 1968, р. 507, фиг. 50-53; 1970, р. 248-249, пл. 11, фиг. 85-86; пл. 13, фиг. 129, 130.

*Endothyra aff. terui septata*: Лебедева, 1954, с. 253 (part.), табл. У1, фиг. 7.

**Описание.** Раковина дисковидная или плоско-наутилоидная, эволюционная, со слаболопастной периферией. Ранние обороты колеблющиеся, последние  $1\frac{1}{2}$ - $2\frac{1}{2}$  навиты в одной плоскости. Число оборотов  $2\frac{1}{2}$ -5;  $D = 0,37$ - $0,72$ , в одном случае 0,77;  $T = 0,13$ - $0,30$ , в одном случае 0,35;  $T: D = 0,33$ - $0,58$ ; спираль развертывается довольно равномерно,  $h = 0,08$ - $0,15$ , в одном случае 0,17. Септация в ранних оборотах зачаточная, во взрослых псевдосепты переходят в настоящие септы. Количество псевдокамер в последнем обороте 7-9. Стенка темная, тонкозернистая, толщиной 0,018-0,021 мм. Диаметр начальной камеры 0,024-0,100 мм. Дополнительные отложения обычно отсутствуют, но у некоторых экземпляров наблюдаются слабые утолщения в основании камер.

**Изменчивость.** Пределы изменения размеров, высоты спирали, соотношения колеблющихся и плоскосpirальных оборотов у представителей данного вида весьма значительны. Однако установить взаимозависимость изменения признаков пока не представляется возможным. По характеру навиваний в материале присутствуют брунсионидные и гломоспироидные формы. По размерам, числу камер и навиванию некоторые экземпляры соответствуют *S. kingirica chusoversis* Lipina.

**Сравнение.** От типичной *S. kingirica* отличается большими пределами изменения размеров раковины, высоты спирали, характера навиваний и числа псевдокамер.

**Распространение.** Пограничные слои девона и карбона Ельцовского синклиниория и Центрального Казахстана; нижний турне Колымского и Омоловского массивов; нижний турне, единичные экземпляры в верхах фафена и в основании верхнего турне Верхоянья; нижний турне (*Tn1a-Tn1b*) Бельгии, верхний турне Сибирской платформы, Горловского бассейна, Кузбасса и Северо-Западного Алтая.

**Материал.** 33 экз., в том числе: 18 экз. - Горловский бассейн (17 экз. - р. Китерня, 1 экз. - р. Шилуниха), китернинская свита, верхний турне; 12 экз. - Кузбасс (9 экз. - р. Томь между деревнями Мозжуха и Денисово, 2 экз. - р. Чумыш выше дер. Костенково, 1 экз. - 4 км северо-восточнее с. Крапивино, скв. 11700), верхний турне, верхи тайдонского и низы фоминского горизонтов; 1 экз. - Северо-Западный Алтай, р. Локтевка и с. Курья, верхний турне; 1 экз. - Колымский массив, р. Ясачная, нижний турне; 1 экз. - Омоловский массив, бассейны рек Бургали-Омоловской и Захаренко (западный разрез), пушокская свита, нижний турне.

#### *Septabrunsiina sibirica* Bogush sp. nov.

Табл. У1, фиг. 12

Название вида по нахождению остатков в Сибири.

**Голотип:** экз. № 406/6д; ИГиГ СО АН СССР; Сибирская платформа, восточное побережье оз. Пясино, скв. Т-185, обр. Т-185-100, шлиф 1.

**Описание.** Раковина плоско-наутилоидная, эволютная со слаболопастной периферией. Навивание колеблющееся за исключением последнего оборота, почти плоскоспирального. Число оборотов  $2\frac{1}{2}$ -3;  $D = 0,27$ -0,37,  $T = 0,13$ -0,21,  $T:D = 0,42$ -0,58,  $h = 0,07$ -0,10, спираль развертывается равномерно. Септация на ранних оборотах зачаточная, в последнем обороте псевдосепты длинные, приближаются к настоящим септам. Количество псевдокамер в последнем обороте у голотипа 7. Стенка темная, тонкозернистая, однородная, толщиной 0,012-0,017 мм. Диаметр начальной камеры 0,025-0,042 мм. Дополнительные отложения отсутствуют.

**Сравнение.** Наиболее близка *Septabrunsiina kingirica* (Reitl.), от которой отличается менее развитой плоскоспиральной частью, меньшими размерами и более тесной спиралью.

**Распространение.** Верхний турне Сибирской платформы, Горловского бассейна и Кузбасса.

**Материал.** 15 экз., в том числе: 9 экз. — Сибирская платформа, восточное побережье оз. Пясино, скв. Т-185, верхний турне, ханельбиринский горизонт; 1 экз. — Кузбасс, р. Барзас у пос. Верхне-Барзасский (Буревестник), верхний турне, тайдонский горизонт; 5 экз. — Горловский бассейн, р. Китерня, китернинская свита, верхний турне.

#### *Septabrunsiina minuta* (Lipina, 1955)

Табл. V1, фиг. 13-15

Синонимику до 1959 г. см. Липина, 1965, с. 53.

*Septabrunsiina minuta*: Липина, 1965, с. 53-54, табл. XI, фиг. 9-11, 14-29; Бражникова, Вдовенко, 1971, табл. XIV, фиг. 5, 9-11.

*Septabrunsiina mckeei*: Skipp, 1966, (in Skipp, Holcomb, Gutschick), p. 21, pl. 1, figs 29-34; 1969, p. 222; Brenckie, 1973, p. 28, pl. 2, figs 19-21.

*Septabrunsiina* sp. A: Brenckie, 1973, p. 28, pl. 2, fig. 9, 10.

**Описание.** Раковина небольшая, дисковидная, с плоскими, слегка вогнутыми или слабовыпуклыми пупками, с гладкой периферией. Навивание клубообразное в ранней и почти плоскоспиральное в поздней частях раковины. Обороты низкие, медленно возрастающие в высоту. Число оборотов  $2\frac{1}{2}$ -5.  $D = 0,22$ -0,44;  $T = 0,09$ -0,25;  $T:D = 0,29$ -0,52;  $h = 0,04$ -0,10, типично 0,06-0,08 мм. Псевдосепты широкие в основании, короткие; псевдокамеры субтреугольной формы; количество псевдокамер 7-10 в последнем обороте. Начальная камера сферическая, диаметром 0,021-0,055 мм. Стенка темная, тонкозернистая, толщиной 0,008-0,020 мм, у некоторых экземпляров слегка просвечивающая в средней части.

**Изменчивость.** Проявляется главным образом в характере навивания, изменяющемся от почти турнейеллового до гломоспироидного.

**Сравнение.** От типичной *S. minuta* отличается несколько меньшим в среднем количеством псевдокамер (7-10 у нашей против 9-11 у описанной О.А. Липиной (1955, 1965)) и значительной долей более узких экземпляров. Эти признаки сближают среднесибирских представителей *S. minuta* с североамериканской формой, описанной В. Skipp et al. (1966), В. Skipp., (1969) под названием *S. mckeei*.

На наш взгляд, наблюдаемые отличия не дают оснований для выделения двух видов; речь может идти только о подвидовых отличиях. То же следует сказать относительно *Septabrunsiina* sp. A. (Brenckie, 1973), отличающейся от *S. mckeei* лишь наличием пупков с обеих, а не с одной стороны раковины, а от нашей формы несколько большим диаметром.

**Замечания.** По ряду признаков наблюдается значительное сходство между представителями группы *Septabrunsiina minuta* и видами рода *Endostaffella*. Основные особенности эндостаффелл — сильно развитая септация и наличие базальных отложений; последние, однако, упоминаются и у некоторых экземпляров *Septabrunsiina mckeei* Skipp из верхов мерамека Невады (Brenckie, 1973). Возможно, кроме конвергентного сходства здесь имеет место и генетическое родство упомянутых форм.

**Распространение.** Верхний турне Сибирской платформы, Кузбасса, Горловского бассейна, Кольмского массива, Русской платформы, Урала и Донбасса; верхний турне, единичные, в нижнем турне Омоловского массива; турне и визе Северной Америки; визе Восточного Таймыра.

**Материал.** 94 экз., в том числе: 11 экз. — Горловский бассейн (10 экз. — р. Китерня, 1 экз. — р. Укроп), китернинская свита, верхний турне; 16 экз. — Кузбасс (12 экз. — р. Томь между деревнями Мозжуха и Денисово, 2 экз. — р. Чумыш выше дер. Костенково, 2 экз. — 4 км северо-восточнее с. Крапивино, скв. 11700), верхний турне, тайдонский и низы фоминского горизонта; 50 экз. — Сибирская платформа (8 экз. — восточное и западное побережье оз. Пясино, скв. Т-185 и П-15; 42 экз. — район оз. Кета, скв. ЮИС-5, ЮИС-6), верхний турне, ханельбиринский горизонт; 17 экз. — Восточный Таймыр, бассейн р. Нюнькараку-Тари, руч. Бокситовый, сырдасайский горизонт.

#### Rod *Septaglomospiranella* Lipina, 1955

Подрод *Septaglomospiranella* Lipina, 1955

*Septaglomospiranella* (*Septaglomospiranella*) *primaeva*: (Rauser, 1948)

Табл. VII, фиг. 2

Синонимику до 1962 г. см.: Липина, 1965, с. 62.

*Septaglomospiranella primaeva*: Богуш и Юферев, 1962, с. 111, табл. II, фиг. 17, 18; Варсанофьева, Рейтлингер, 1962, с. 59, табл. II, фиг. 10-12; Липина, 1965, с. 62, табл. XII, фиг. 24-26; Skipp, 1966 (part.), p. 23-24, pl. 1, fig. 4, 5, 9; Skipp (in McKee and Gutschick), 1969 (part.), p. 223, pl. 16, fig. 4, 5, 9; Гроэдилова и др., 1975, с. 28, табл. I, фиг. 5, 6.

*Septaglomospiranella primaeva primaeva*: Бражникова и Ростовцева, 1966, с. 22, табл. V1, фиг. 13-15.

**Описание.** Раковина инволютная со слаболопастной периферией. Последние 1-1 $\frac{1}{2}$  оборота навиты почти в одной плоскости. Число оборотов 2-3 $\frac{1}{2}$ ;  $D = 0,17$ -0,44;  $T = 0,16$ -0,25;  $T:D = 0,50$ -0,65, в одном случае 0,76,  $h = 0,05$ -0,12; число псевдокамер в последнем обороте 4-6. Стенка темная, тонкозернистая, толщиной 0,012-0,033 мм. Диаметр начальной камеры 0,033-0,060 мм.

**Изменчивость.** Из числа изученных экземпляров наиболее мелкие ( $D = 0,17$ -0,27 мм) насчитывают обычно 2-2 $\frac{1}{2}$  оборота; возможно, это были молодые особи.

**Сравнение.** От типичной отличается более резким колебанием ранних оборотов и меньшим числом камер в последнем обороте.

**Распространение.** Верхний турне Сибирской платформы, Кузбасса, Горловского бассейна; фамен, нижний и верхний турне Русской платформы, Урала, Казахстана и Тянь-Шаня; нижний (*Kinderhook*) и низы верх-

него турне (низы Osage) Северной Америки; турне и самые низы визе Донбасса (?), Колымского и Омолонского массивов.

Материал. 62 экз., в том числе: 6 экз. - Сибирская платформа (3 экз. - восточное побережье оз. Пясино, скв. Т-185; 3 экз. - район оз. Кета, скв. ЮИС-5), верхний турне, ханельбириинский горизонт; 2 экз. - Кузбасс (1 экз. - р. Барзас у пос. Верхне-Барзасский (Буревестник), 1 экз. - р. Томь между деревнями Мозжуха и Денисово), верхний турне, верхи тайдонского и низы фоминского горизонтов; 11 экз. - Горловский бассейн, р. Китерня, китернинская свита, верхний турне; 28 экз. - Колымский массив (15 экз. - р. Каменка, верхний турне - низы визе (?); 13 экз. - р. Поповка, верхний турне); 25 экз. - Омолонский массив (9 экз. - р. Талалах в устье руч. Короткий, короткинская свита, турне - визе; 3 экз. - истоки рек Анмандацжа и Увнуквеем, уляшканская свита, верхний турне; 10 экз. - оз. Элергетхын, турне - низы визе; 3 экз. - руч. Перевальный, нижний турне).

*Septaglomospiranella* (*Septaglomospiranella*) *kazakhstanica*  
Reitlinger, 1961

Табл. УП, фиг. 3-5

*Septaglomospiranella* (*Septaglomospiranella*) *primaeva*  
var. *kazakhstanica*: Рейтлингер, 1961, с. 60-61, табл. IY, фиг. 9,  
13; Липина, 1965, с. 63, табл. ХП, фиг. 29-32 и табл. XIII, фиг. 1-4;  
Бражникова и Ростовцева, 1966, с. 24, табл. УI, фиг. 9-12.

Описание. Раковина средних размеров, слабо эволюционная со значительным колебанием оси навивания, особенно в ранних оборотах, с более резким увеличением высоты последнего оборота по сравнению с более ранними. Число оборотов  $2\frac{1}{2}$ - $3\frac{1}{2}$ , в единичных случаях до  $4\frac{1}{2}$ ; D = 0,24-0,58; T = 0,17-0,38; T: D = 0,42-0,70; h = 0,07-0,15, в одном случае 0,17; число псевдокамер в последнем обороте 5-6, в одном случае 7; стенка темная, тонкозернистая, толщиной 0,012-0,029 мм; диаметр начальной камеры 0,029-0,104 мм.

Изменчивость. Наибольшей изменчивости подвержены размеры и соответственно высота последнего оборота раковины, степень ее сжатости, а также степень эволюционности последнего оборота.

Сравнение. От типичной *Septaglomospiranella primaeva* отличается более колеблющимся навиванием, более выпуклыми камерами, часто наблюдаемой эволюционностью последнего оборота, несколько большими размерами и высотой спирали.

Замечания. Упомянутые отличия представляются достаточными для выделения этой широко распространенной формы в самостоятельный вид.

Распространение. Верхний турне Кузбасса, Горловского бассейна и Сибирской платформы; нижний и верхний турне, возможно, низы визе Колымского и Омолонского массивов; верхний турне и низы визе Восточного Таймыра; нижний турне Ельцовского синклиниория и Донбасса; верхи фамена и нижний турне Урала и Казахстана.

Материал. 126 экз., в том числе: 14 экз. - Сибирская платформа, восточное побережье оз. Пясино, скв. Т-185; верхний турне, ханельбириинский горизонт; 24 экз. - Ельцовский синклиниорий (9 экз. - р. Алеус, 15 экз. - с. Чингисы), нижний турне, 19 экз. - Кузбасс (5 экз. - р. Малый Бачат у бывшей деревни Семенушкино, 6 экз. - р. Большая Мозжуха у дер. Мозжуха, 1 экз. - р. Большая Мозжуха у деревень Благодатное и

Силино, 3 экз. - р. Томь между деревнями Мозжуха и Денисово, 2 экз. - р. Чумыш в 3,5 км юго-западнее дер. Костенково, 2 экз. - в 4 км северо-восточнее с. Крапивино, скв. 11700), верхний турне, верхи тайдонского, низы фоминского горизонтов; 18 экз. - Горловский бассейн (10 экз. - р. Китерня, 8 экз. - р. Шипуниха), китернинская свита, верхний турне; 12 экз. - Омолонский массив (11 экз. - левобережье р. Мол, из них 2 экз. - истоки рек Анмандацжа и Увнуквеем и 9 экз. - руч. Перевальный, элергетхынская свита, нижний турне; 1 экз. - нижнее течение р. Талалах, руч. Короткий, верхний турне - низы визе); 26 экз. - Колымский массив (15 экз. - правобережье р. Половка, руч. Дождливый, нижний турне; 11 экз. - там же, р. Каменка, турне - низы визе); 12 экз. - Восточный Таймыр, бассейн р. Нионъкараку-Тари (2 экз. - руч. Рубежный, верхний турне и 10 экз. - руч. Бокситовый, низы визе); 1 экз. - Верхоянье, хр. Сетте-Дабан, руч. Хоспохон, верхний турне.

*Septaglomospiranella* (*Septaglomospiranella*) *compressa*  
Lipina, 1965

Табл. УП, фиг. 6,7

*Endothyra primaeva*: Чернышева, 1940, с. 125-126, табл. II,  
фиг. 8.

*Septaglomospiranella compressa*: Липина, 1965, с. 63-64,  
табл. XIII, фиг. 7-12.

*Septaglomospiranella primaeva*: Skipp, 1966 (part.),  
p. 23-24, pl. I, fig. 1-3 and 6-8; Skipp (in McKee et Gut-  
schick), 1969 (part.), pl. 16, fig. 1-3 and 6-8.

*Septaglomospiranella compressa compressa*: Бражникова  
и Вдовенко, 1971, табл. XVI; фиг. 23-27.

*Septaglomospiranella ex gr. primaeva* sp. 1: Бражникова и  
Ростовцева, 1966, с. 23, табл. УI, фиг. 16-17.

Описание. Раковина со слаболопастной периферией, значительным колебанием осей навивания оборотов, особенно ранних, и низкими, медленно возрастающими в высоту оборотами. Число оборотов  $2\frac{1}{2}$ - $3\frac{1}{2}$ ; D = 0,18-0,42, наиболее часто 0,21-0,31; T = 0,12-0,25, в одном случае при двух оборотах 0,08; T: D = 0,46-0,74, редко 0,39; h = 0,03-0,08, наиболее часто 0,06-0,07; число псевдокамер 5-6, редко 4 в последнем обороте, псевдокамеры слабовыпуклые, псевдосепты короткие, косые. Стенка темная, тонкозернистая, толщиной 0,008-0,024 мм. Дополнительные отложения не наблюдались.

Сравнение. От типичной *S. compressa* отличается меньшим числом камер и большим диапазоном изменения высоты последнего оборота; от *S. kazakhstanica* - более низкими оборотами.

Распространение. Верхний турне Сибирской платформы, Кузбасса и Горловского бассейна; верхний турне и низы визе Восточного Таймыра; турне и низы визе Колымского и Омолонского массивов; нижний, единично верхний, турне Урала; нижний турне Донбасса и Днепровско-Донецкой впадины; нижний и верхний турне (*Kinderhook* и нижняя часть *Osage*) Северной Америки.

Материал. 119 экз., в том числе: 42 экз. - Сибирская платформа (39 экз. - район оз. Кета, скважины ЮИС-5, ЮИС-6, ЮИС-13, 3 экз. - район ст. Тундра, скв. 12), верхний турне, ханельбириинский горизонт;

24 экз. - Кузбасс (9 экз. - р. Томь между деревнями Мозжуха и Денисово, 7 экз. - 4 км северо-восточнее с. Крапивино, скв. 11700, 5 экз. - р. Чумыш в 3,5 км юго-западнее дер. Костенково, 2 экз. - р. Барзас у пос. Верхне-Барзасский (Буревестник), 1 экз. - р. Малый Бачат у бывшей деревни Семенушкино), верхний турне, верхи тайдонского - низы фоминского горизонта; 18 экз. - Горловский бассейн (4 экз. - р. Китерня, 14 экз. - р. Шипуниха), китернская свита, верхний турне; 12 экз. - Восточный Таймыр, бассейн р. Нюнкараку-Тари (10 экз. - руч. Бокситовый, верхний турне и нижний визе, бинюдинский и сырадасайский горизонты; 2 экз. - руч. Рубежный, верхний турне, бинюдинский горизонт); 17 экз. - Колымский массив, правобережье р. Поповка (11 экз. - руч. Каменка, нижний и верхний турне и низы визе (?); 6 экз. - руч. Дождливый, нижний турне), 6 экз. - Омолонский массив, оз. Элергетын, турне - низы визе.

*Septaglomospiranella (?) aleussica* Bogush, 1970

Табл. УП, фиг. 8-10

*Septaglomospiranella? aleussica*: Богуш, 1970, с. 56-57, табл. II, фиг. 16-18.

**Описание.** Раковина инволютная или частично эволютная в последнем обороте, со значительными колебаниями положения оси навивания. Число оборотов 2 1/2-4. D = 0,29-0,60, преобладает 0,35-0,48; T = 0,21-0,34; T: D = 0,50-0,74; h = 0,07-0,15; число камер в последнем обороте 5-8, в единичных случаях 9, диаметр начальной камеры 0,041-0,080 мм. Стенка темная, тонкозернистая, толщиной 0,010-0,028 мм. Септация примитивная: в ранних оборотах - псевдосепты, в последних 1-2 оборотах перегородки более развитые, приближаются к септам эндотир.

**Сравнение.** По характеру навивания и форме раковины близка к *Septaglomospiranella kazakhstanica*, от которой отличается большими размерами и числом камер, более симметричным последним оборотом и более развитыми перегородками.

**Замечания.** От морфологически близкого донбасского вида *Septaglomospiranella* (*Neoseptaglomospiranella?*) *oviformis* отличается более широкой раковиной и более развитой септацией.

**Распространение.** Нижний турне Ельцовского синклиниория и Омолонского массива; нижний и верхний турне Колымского массива; верхний турне Горловского бассейна, Кузбасса и Сибирской платформы.

**Материал.** 58 экз., в том числе: 24 экз. - Ельцовский синклиниорий (5 экз. - с. Чингисы, 7 экз. - р. Алеус, 12 экз. - р. Малый Чингис), нижний турне; 3 экз. - Горловский бассейн, р. Китерня, китернская свита, верхний турне; 14 экз. - Кузбасс (1 экз. - р. Барзас у пос. Верхне-Барзасский (Буревестник), 6 экз. - р. Томь между деревнями Мозжуха и Денисово; 7 экз. - р. Большая Мозжуха), верхний турне, верхи тайдонского - низы фоминского горизонта; 3 экз. - Сибирская платформа (1 экз. - восточное побережье оз. Пясино, скв. Т-185, 3 экз. - район ст. Тундра, скв. С-12), верхний турне, ханельбириинский горизонт; 11 экз. - Колымский массив (1 экз. - правый берег р. Ясачная ниже устья руч. Тарышнах, нижний турне; 4 экз. - правобережье р. Поповка, руч. Дождливый, нижний турне; 6 экз. - там же, руч. Каменка, нижний и верхний турне); 6 экз. - Омолонский массив, левобережье р. Мол, руч. Перевальный, нижний турне.

Подрод *Neoseptaglomospiranella* Lipina, 1965

*Septaglomospiranella* (*Neoseptaglomospiranella*) *daina* Lipina, 1955

Табл. УП, фиг. 11, 12

*Septaglomospiranella daina*: Липина, 1955, с. 47, табл. У, фиг. 1-3; Богуш и Юферев, 1962, с. 111, табл. II, фиг. 19, 20; 1960, с. 107, табл. У, фиг. 6; Липина, 1965, с. 69, табл. XY, фиг. 1-4, Skipp (in McKee et Gutschick), р. 223, pl. 16, fig. 14-19, pl. 17, fig. 5, 6, 8.

*Endothyra kynensis*: Малахова, 1956, с. 105, табл. У, фиг. 3-5.

**Описание.** Раковина со слаболопастной периферией, сильно вытянутыми в длину асимметричными псевдокамерами. Навивание колеблющееся. Число оборотов 2-3. D = 0,31-0,42, T = 0,06-0,08. Число камер в последнем обороте 5-6. Стенка темная, тонкозернистая, толщиной 0,017-0,028 мм. Диаметр начальной камеры 0,030 мм.

**Сравнение.** От типичной *S. daina* отличается меньшим числом оборотов и немного меньшими размерами. От *S. compressa* удлиненными асимметричными псевдокамерами.

**Распространение.** Верхний турне Сибирской платформы, Кузбасса, Колымского и Омолонского массивов и Северного Хараулаха, визе Восточного Таймыра, нижний и верхний турне Русской платформы и Урала; нижний турне Северного Тянь-Шаня; верхний турне и нижний визе (*Osage* и нижняя часть *Megamec*) Северной Америки.

**Материал.** 12 экз., в том числе: 1 экз. - Сибирская платформа, район ст. Тундра, скв. С-12, верхний турне, ханельбириинский горизонт; 4 экз. - Кузбасс (3 экз. - р. Большая Мозжуха у дер. Мозжуха, верхний турне, тайдонский горизонт; 1 экз. - р. Томь между деревнями Мозжуха и Денисово, верхний турне, верхи тайдонского - низы фоминского горизонта); 4 экз. - Колымский массив, руч. Каменка, верхний турне; 1 экз. - Омолонский массив, руч. Сикамбр, сикамбринская свита, верхний турне; 2 экз. - Восточный Таймыр, бассейн р. Нюнкараку-Тари (1 экз. - руч. Бокситовый, визе, сырдасайский горизонт; 1 экз. - руч. Рубежный, визе, низы вентинского горизонта).

*Septaglomospiranella* (*Neoseptaglomospiranella*) *quadriloba* (Dain, 1953)

Табл. УП, фиг. 13, 14

*Glomospiranella endothyroides* var. *quadriloba*: Даин, 1953, с. 25, табл. I, фиг. 11, 12.

*Septaglomospiranella* (*Neoseptaglomospiranella*) *endothyroides* var. *quadriloba*: Липина, 1965, с. 71, табл. XY, фиг. 15, 16.

*Septaglomospiranella* (*Septaglomospiranella*) *quadriloba*: Богуш и Юферев, 1966, с. 107, табл. У, фиг. 4, 5.

**Описание.** Раковина, скатая с боков. Плоскости навивания оборотов резко колеблются. Последние обороты эволютные. Число оборотов 2-3 1/2, D = 0,22-0,41; T = 0,13-0,23; T: D = 0,49-0,65; h = 0,04-0,12; диаметр начальной камеры 0,042-0,083 мм; стенка темная, тонкозернистая, толщиной 0,008-0,024 мм. Псевдокамеры асимметричные, число их в предпоследнем обороте обычно 4, в единичных случаях 5.

**Сравнение.** От *Septaglomospiranella endothyroides* отличается меньшим числом оборотов, псевдокамер в оборотах и более сжатой раковиной. От типичной *S. endothyroides* var. *quadriloba* существенных отличий не обнаруживает.

**Замечания.** Существующие отличия позволяют считать описанную форму самостоятельным видом.

**Распространение.** Нижний турне Ельцовского синклиниория, нижний и верхний турне Кольмского массива, верхний турне Сибирской платформы, Горловского бассейна и Кузбасса, верхний турне и визе Верхоянья (хребты Сетте-Дабан и Северный Хараулах) и Омолонского массива, визе Восточного Таймыра; верхний турне востока Русской платформы и Донбасса.

**Материал.** 54 экз., в том числе: 29 экз. – Сибирская платформа (8 экз. – район ст. Тундра, скв. С-12, 8 экз. – восточное побережье оз. Пясино, скв. Т-185, 12 экз. – район оз. Кета, скв. ЮИС-5, ЮИС-6, 1 экз. – западное побережье оз. Пясино, скв. П-10), верхний турне, ханельбирийский горизонт; 5 экз. – Ельцовский синклиниорий (2 экз. – с. Чингисы, 3 экз. – р. Алеус), нижний турне; 4 экз. – Горловский бассейн (2 экз. – р. Укроп, 2 экз. – р. Китерня), китернинская свита, верхний турне; 4 экз. – Кузбасс (1 экз. – р. Большая Мозжуха у дер. Мозжуха, 1 экз. – р. Томь между деревнями Мозжуха и Денисово; 2 экз. – в 4 км северо-восточнее с. Крапивино, скв. 11700), верхний турне, тайдонский горизонт и низы фоминского горизонта; 2 экз. – Восточный Таймыр, руч. Бокситовый, визе, сыррадасайский горизонт; 8 экз. – Колымский массив, правобережье р. Поповка (6 экз. – руч. Каменка, из них 1 экз. – нижний и 5 экз. – верхний турне, 2 экз. – руч. Дождливый, нижний турне); 2 экз. – Омолонский массив, район оз. Элергетхын, истоки руч. Верхний Гитгын-Пылгин, турне – визе.

*Septaglomospiranella (Neoseptaglomospiranella) oviformis* Brazhnikova, 1971

Табл. УП, фиг. 15-17

*Septaglomospiranella (Neoseptaglomospiranella) oviformis*: Бражникова, Вдовенко, 1971, с. 32-33, табл. ХУ, фиг. 9, 12-15.

**Описание.** Раковина инволютная или частично эволютная, яйцевидной формы, слегка сжатая по оси. Перифера слаболопастная, широко округлая в продольных сечениях. Число оборотов 2-3 $\frac{1}{2}$ ; D = 0,25-0,48; T = 0,20-0,25; T: D = 0,48-0,62, h = 0,07-0,12; диаметр начальной камеры 0,048 мм; стенка тонкая, микрозернистая, толщиной 0,014-0,026 мм.

**Сравнение.** Не обнаруживает существенных отличий от типичной.

**Распространение.** Верхний турне Горловского бассейна, Сибирской платформы и Донбасса.

**Материал.** 17 экз., в том числе: 10 экз. – Сибирская платформа, район оз. Кета, скв. ЮИС-5, верхний турне, ханельбирийский горизонт; 7 экз. – Горловский бассейн (6 экз. – р. Китерня, 1 экз. – р. Укроп), китернинская свита, верхний турне.

Род *Chernyshinella* Lipina, 1955

Подрод *Chernyshinella* Lipina, 1965

*Chernyshinella glomiformis* (Lipina, 1948)

Табл. УП, фиг. 18-21

Синонимику до 1960 г. см.: Липина, 1965, с. 84.

*Chernyshinella glomiformis*: Богуш и Юферев, 1962, с. 125, табл. III, фиг. 1; 1966, с. 137, табл. УП, фиг. 15, 16; Conil et Lys, 1964, р. 146-147, pl. XXI, fig. 415-416 (*f. minima*), fig. 417-423 (*f. typica*); Липина, 1965, с. 84-85, табл. ХУШ, фиг. 26-30; табл. XIX, фиг. 1-11; Ганелина, 1966, с. 89, табл. УП, фиг. 5-7.

**Описание.** Раковина субсферическая с сильноупастной периферией. Последний оборот иногда эволютный, пупки слабо выражены. Навивание клубкообразное со смещением оси навиваний до 90°. Псевдокамеры односторонне выпуклые, 3-4 в последнем обороте. D = 0,17-0,41; T = 0,22-0,60, в одном случае 0,18; T: D = 0,55-0,81, наиболее часто 0,64-0,73. Число оборотов 1 $\frac{1}{2}$ -2 $\frac{3}{4}$ . Спираль свободная, быстро развертывающаяся, h = 0,08-0,21. Диаметр начальной камеры 0,037-0,085 мм, в единичных случаях 0,012-0,013 и 0,104 мм. Стенка темная, неравномернозернистая, толщиной в последнем обороте 0,012-0,029 мм, в единичных случаях до 0,042 мм.

**Изменчивость.** В изученном материале по размерам раковины намечаются три группы экземпляров: крупные (D = 0,51-0,60 мм); средние (D = 0,33-0,50 мм); мелкие (D = 0,22-0,31 мм).

Единично встречаются экземпляры с более низким (0,07 мм) последним оборотом, приближающиеся к *Chernyshinella paraglomiformis*. Крупные и средние экземпляры, приблизительно соответствующие типичным *Ch. glomiformis* (Липина, 1965), составляют около 2/3 изученного материала, а мелкие, соответствующие *Ch. glomiformis forma minima*, – около 1/3. Часть из них (с малым количеством оборотов), вероятно, являются молодыми особями, а остальные, по-видимому, уклоняющимися экземплярами, так же как и экземпляры более крупные, чем типичные. Крупные экземпляры с диаметром более 0,60 мм (*Ch. glomiformis forma maxima*) в нашем материале не встречены.

**Распространение.** Верхний турне Сибирской платформы, Кузбасса, Горловского бассейна, Омолонского массива, Северного Хараулаха и Сетте-Дабана; турнейский ярус (преимущественно черепетский, реже утинский и кизеловский горизонты) Русской платформы и Урала.

**Материал.** 146 экз., в том числе: 113 экз. – Сибирская платформа (38 экз. – район ст. Тундра, скв. С-12, 66 экз. – район оз. Кета, скв. ЮИС-5 и ЮИС-6, 1 экз. – восточное побережье оз. Пясино, скв. Т-185, 8 экз. – р. Фокина, выше устья р. Серебряной), верхний турне, ханельбирийский горизонт; 11 экз. – Кузбасс (3 экз. – в 4 км северо-восточнее с. Крапивино, скв. 11700, 6 экз. – р. Чумыш выше дер. Костенково, 2 экз. – р. Томь между деревнями Мозжуха и Денисово), тайдонский и низы фоминского горизонта; 13 экз. – Горловский бассейн (12 экз. – р. Китерня, 1 экз. – р. Шипуниха), китернинская свита, верхний турне; 9 экз. – Омолонский массив, левобережье р. Мол (3 экз. – руч. Перевальный, нижний турне и 6 экз. – руч. Сикамбр, сикамбринская свита, верхний турне).

*Chernyshinella paucicamerata* Lipina, 1955

Табл. УП, фиг. 24, 25

*Endothyra glomiformis*: Гроздилова и Лебедева, 1954, с. 81,  
табл. X, фиг. 2.

*Chernyshinella paucicamerata*: Липина, 1955, с. 50–51, табл. У,  
фиг. 13–15; 1965, с. 86, табл. ХХ, фиг. 12–14; Conil et Lys, 1964,  
р. 148, pl. XXI, fig. 426, 427.

?*Plectogyra anteflexa*: E.Zeller, 1957, p. 698, pl. 81, fig. 6, 12.

*Chernyshinella glomiformis*: Дуркина, 1959, с. 154, табл. УП,  
фиг. 5.

**Описание.** Раковина с беспорядочно меняющимся навиванием и сравнительно быстрым возрастанием высоты оборотов. Число оборотов 2–4,  $D = 0,35–0,55$ ;  $T = 0,26–0,33$ ;  $T: D = 0,64–0,73$ ;  $h = 0,08–0,17$ . В последнем обороте 5–7 односторонние выпуклые псевдокамеры. Стенка темная, тонкоэзернистая, толщиной 0,017–0,033 мм. Дополнительные отложения отсутствуют.

**Сравнение.** Не отличается от типичной *Chernyshinella paucicamerata*; от *Ch. glomiformis* отличается большим числом псевдокамер; от *Ch. kynensis* (Малахова, 1956) – более высокими выпуклыми камерами и более тонкими стенками и септами.

**Распространение.** Верхний турне Сибирской платформы, Кузбасса, Горловского бассейна, Северного Алтая, Омолонского и Колымского массивов; верхний турне (кизеловский, реже черепетский горизонты) европейской части СССР, Тп1 Франции, а также, по-видимому, верхний турне Северной Америки (средняя часть формации Madison, нижняя половина зоны *Plectogyra tumula*).

**Материал.** 18 экз., в том числе: 3 экз. – Сибирская платформа, район оз. Кета, скв. ЮИС-5, верхний турне, ханельбириинский горизонт; 7 экз. – Кузбасс (2 экз. – р. Томь между деревнями Мозжуха и Денисово; 5 экз. – левый берег р. Чумыш около 3,5 км юго-западнее дер. Костенково), верхний турне, верхи тайдонского, низы фоминского горизонта; 1 экз. – Горловский бассейн, р. Шипуниха у с. Шадрино, китернинская свита, верхний турне; 1 экз. – Северный Алтай, кл. Филаретов у дер. Черемшанка, низы визе; 5 экз. – Омолонский массив (4 экз. – бассейн р. Молонджи, левобережье р. Мол, руч. Сикамбр – левый приток р. Увнуквеем, сикамбринская свита, верхний турне; 1 экз. – правобережье р. Омолон, левый берег р. Кедон, руч. Прошальный, верхний турне – низы визе); 1 экз. – Колымский массив, правобережье р. Поповка, руч. Каменка, верхний турне.

*Chernyshinella tundrica* Bogush sp. nov.

Табл. УП, фиг. 22, 23

Название вида по ст. Тундра.

**Голотип:** экз. № 406/41, ИГиГ СО АН СССР; Сибирская платформа, район ст. Тундра; верхний турне, ханельбириинский горизонт, скв. 12, обр. МС-12-28а-4.

**Описание.** Раковина эволюционная, сильно сжатая с боков, неправильная, с сильноупастной периферией, отчетливыми вогнутыми пупками и резким смещением навивания по оборотам. Число оборотов 2–3. Псевдокамеры с резко выраженной односторонней выпуклостью, видны 2–3 камеры в последнем обороте.  $D = 0,25–0,40$ ;  $T = 0,18–0,26$ ;  $T: D = 0,55–0,64$ , в

единичных случаях до 0,70. Спираль быстро развертывается,  $h = 0,08–0,15$ . Диаметр начальной камеры 0,029–0,054 мм. Стенка темная, тонкоэзернистая, толщиной в последнем обороте 0,012–0,021 мм.

**Сравнение.** Близка к *Chernyshinella glomiformis*, от которой отличается неправильной сильно сжатой раковиной и в среднем более мелкими размерами; от *Ch. paraglomiformis* (Липина, 1965) – более высокой спиралью.

**Замечания.** Возможно к этому виду относится экземпляр *Ch. glomiformis* из сланцев Epinette Бельгии, изображенный в работе Кониля и Лиса (Conil et Lys, 1970, pl. 13, fig. 123).

**Распространение.** Верхний турне Сибирской платформы и Кузбасса.

**Материал.** 8 экз., в том числе: 7 экз. – Сибирская платформа (5 экз. – район оз. Кета, скв. ЮИС-5, ЮИС-6; 2 экз. – район ст. Тундра, скв. С-12), верхний турне, ханельбириинский горизонт, 1 экз. – Кузбасс, левый берег р. Чумыш около 3,5 км юго-западнее дер. Костенково, верхний турне, верхи тайдонского – низы фоминского горизонта.

*Chernyshinella (Chernyshinella) tumulosa* Lipina, 1955

Табл. УП, фиг. 26, 27

*Chernyshinella tumulosa*: Липина, 1955, с. 51, табл. У, фиг. 16–18; 1965, с. 87, табл. ХХ, фиг. 1–4; Ганелина, 1966, с. 92, табл. УП, фиг. 17, 18; Богуш и Юферев, 1966, с. 138, табл. УШ, фиг. 17, 18.

**Описание.** Раковина субсферическая с сильноупастной периферией. Навивание резко меняется по оборотам, спираль высокая, быстро развертывающаяся. Число оборотов 2–3.  $D = 0,33–0,57$ ;  $T = 0,22–0,42$ ;  $T: D = 0,68–0,77$ ;  $h = 0,12–0,17$ , в одном случае 0,22. Псевдокамеры односторонне-выпуклые, 3–4 в последнем обороте. Стенка темная, тонкоэзернистая, толщиной в последнем обороте 0,008–0,029 мм. Дополнительные отложения в виде четко выраженных массивных бугорков на нижней стенке псевдокамер.

**Сравнение.** Не обнаруживает отличий от типичной. От *Ch. glomiformis* Lip. отличается присутствием дополнительных отложений.

**Распространение.** Верхний турне Сибирской платформы, Горловского бассейна, Кузбасса, Колымского массива, Русской платформы, Урала, Донбасса, верхний турне и средний визе, Северного Хараулаха.

**Материал.** 34 экз., в том числе: 16 экз. – Сибирская платформа (5 экз. – район оз. Кета, скв. ЮИС-5 и ЮИС-6; 10 экз. – район ст. Тундра, скв. С-12; 1 экз. – р. Фокина в 1 км выше устья р. Серебряной), верхний турне, ханельбириинский горизонт; 1 экз. – Горловский бассейн, р. Китерня, китернинская свита, верхний турне; 14 экз. – Кузбасс (9 экз. – р. Томь между деревнями Мозжуха и Денисово, 2 экз. – р. Большая Мозжуха; 3 экз. – 4 км северо-восточнее с. Крапивино, скв. 11700), верхний турне, тайдонский и низы фоминского горизонта; 3 экз. – Колымский массив (1 экз. – правый берег р. Поповка в 6–7,8 км ниже устья р. Левая Дусунда, верхний турне, 2 экз. – правый берег р. Ясачная ниже устья руч. Тарыниах; низкий визе).

*Chernyshinella multicamerata* Lipina, 1965

Табл. УП, фиг. 28, 29

*Chernyshinella tumulosa*: Липина, 1955, с. 51, табл. У, фиг. 19; Богуш и Юферев, 1966, с. 138.

*Chernyshinella tumulosa* var. *multicamerata*: Липина, 1956,  
с. 87-88, табл. XX, фиг. 5, 6.

**Описание.** Раковина субсферическая с сильнолопастной периферией. Навивание резко меняется по оборотам, в последнем обороте иногда до 90°. Спираль высокая, быстро развертывающаяся. Число оборотов  $2\frac{1}{2}$ -4; D = 0,32-0,62; наиболее часто 0,40-0,55; T = 0,31-0,37; T: D = 0,65-0,72; h = 0,09-0,18. Псевдокамеры односторонне-выпуклые, 5-6, иногда 7 в последнем обороте. Стенка темная, тонкозернистая, толщиной 0,014-0,021 мм в последнем обороте. Дополнительные отложения представлены более или менее резко выраженным и постоянно присутствующими бугорками в основании псевдокамер.

**Изменчивость.** Выражается в колебании размеров, различном количестве оборотов и камер в последнем обороте, а также в характере навивания: выделяются формы с более правильным навиванием ранней части и резким изменением плоскости навивания (табл. УП, фиг. 29).

**Сравнение.** От *Ch. tumulosa* Lip. отличается большим числом камер и изменчивым характером навивания спирали.

**Замечания.** Указанные отличия представляются нам достаточными для выделения этой формы, ранее рассматривавшейся как вариетет вида *Ch. tumulosa*, в самостоятельный вид. В пользу такой точки зрения свидетельствуют также некоторые различия в ареалах распространения обоих видов.

**Распространение.** Верхний турне Сибирской платформы, Кузбасса, Северного Хараулаха, Русской платформы (преимущественно черепетский горизонт) и Урала.

**Материал.** 47 экз., в том числе: 36 экз. - Сибирская платформа (26 экз. - район оз. Кета, скв. ЮИС-5, ЮИС-6, ЮИС-13; 8 экз. - район ст. Тундра, скв. С-12; 1 экз. - р. Фокина, 1 км выше устья р. Серебряной; 1 экз. - восточное побережье оз. Пясино, скв. Т-185), верхний турне, ханельбириинский горизонт; 11 экз. - Кузбасс (8 экз. - р. Томь между деревнями Мозжуха и Денисово; 2 экз. - правый берег р. Томь в 5 км выше дер. Фомиха; 1 экз. - левый берег р. Чумыш около 3,5 км юго-западнее дер. Костенково), верхи тайдонского и низы фоминского горизонтов.

#### Род *Tournayellina* Lipina, 1955

*Tournayellina beata* (Malakhova, 1956)

Табл. УП, фиг. 30

*Tournayellina vulgaris*: Липина, 1955, с. 52, табл. У, фиг. 21; табл. У1, фиг. 1.

*Endothyra* (?) *beata*: Малахова, 1956, с. 109, табл. XX, фиг. 10-12.

*Tournayellina beata*: Липина, 1965, с. 78-79, табл. ХУП, фиг. 21-23; табл. ХУШ, фиг. 1-8; Ганелина, 1966, с. 87, табл. УП, фиг. 1-2; Conil et Lys, 1970, р. 252-253, pl. 12, fig. 120; pl. 13, fig. 132-138; Бражникова и Вдовенко, 1971, с. 309, табл. XXI, фиг. 1-4.

**Описание.** Раковина субсферическая с лопастной периферией. Количества оборотов  $1\frac{1}{2}$ -2. D = 0,37-0,67; T = 0,15-0,30, в одном случае 0,12; число псевдокамер в последнем обороте 4-5. Стенка довольно толстая - 0,021-0,050 мм, неоднородно-зернистая - с включением более крупных светлых зерен кальцита. Псевдосепты по толщине равны стенке.

**Сравнение.** Не обнаруживает существенных отличий от типичной, описанной из верхнего турне Урала, за исключением немного более тесной спирали у некоторых экземпляров с Сибирской платформы и Колымского массива.

**Распространение.** Верхний турне Сибирской платформы, Горловского бассейна, Северного Хараулаха и Колымского массива; верхний турне и низы визе Омолонского массива; нижний и верхний турне Бельгии и Русской платформы; турне и низы визе Донбасса.

**Материал.** 35 экз., в том числе: 15 экз. - Сибирская платформа (1 экз. - район ст. Тундра, скв. С-12; 4 экз. - восточное побережье оз. Пясино, скв. Т-185; 10 экз. - район оз. Кета, скв. ЮИС-5), верхний турне, ханельбириинский горизонт; 6 экз. - Горловский бассейн (3 экз. - р. Китерня, 3 экз. - р. Шипуниха), китернинская свита, верхний турне; 6 экз. - Колымский массив (4 экз. - правый берег р. Поповка, 6-7,8 км ниже устья р. Левая Дуксунда; 2 экз. - правобережье р. Поповка, руч. Каменка), верхний турне; 1 экз. - Северный Хараулах, правобережье р. Лены, бастахская свита, верхний турне; 7 экз. - Омолонский массив, оз. Эдергетхын, верхи турне - низы визе.

#### Род *Granuliferella* E. J. Zeller, 1957

*Granuliferella*: E. J. Zeller, 1957, p. 694-695 (part.); А.Д. Миклухо-Маклай, 1963, с. 188.

*Chernyshinella*: Loeblich and Tappan, 1964, p. 352-353 (part.).

Типовой вид - *Granuliferella granulosa* E. J. Zeller, 1957, p. 695 (part.), pl. 77, fig. 1, 7, 8, 14, 19, 20, pl. 78, fig. 2; pl. 79, fig. 3-5, pl. 81, fig. 4, 5, 7, 8, 10; pl. 82, fig. 6, 7.

**Диагноз.** Раковина спирально-свернутая, сжатая с боков, слегка асимметричная. Камеры немногочисленные, периферия слаболопастная. Септы, у примитивных представителей псевдосепты, короткие слабо скошенные в сторону навивания, более тонкие вблизи устья; устье узкое базальное. Стенка толстая, неоднородно-зернистая (с включением более крупных зерен кальцита), заметно утолщающаяся в последнем обороте. Колебания ранних оборотов от слабых до значительных. Дополнительные отложения отсутствуют.

**Сравнение.** От рода *Septaglomospiranella* отличается более развитой септацией, менее резким колебанием оборотов и толстой неоднородно-зернистой стенкой; от рода *Endothyra* - более примитивной септацией, толстой стенкой, менее ярко выраженной эндотиридностью оборотов и малым их числом; от рода *Tournayellina* - более тесной спиралью и слаболопастной периферией.

**Замечания.** Род *Granuliferella* отличается от типичных представителей родов *Endothyra* и *Septaglomospiranella* толстой неоднородно-зернистой стенкой, а по характеру септации занимает промежуточное положение между этими родами. Устойчивое сочетание толстой неоднородно-зернистой стенки с нетипичными для эндотири примитивной септацией и сравнительно слабым колебанием оси навивания оборотов подтверждает самостоятельность рода *Granuliferella*, наиболее примитивным представителем которого следует считать *Granuliferella nana* (Reitl.). Можно предполагать существование генетических связей между родом *Granuliferella* и некоторыми толстостенными латиэндотирами, а также существование

вание общих предков у *Granuliferella* и *Tournayellina*. Возможно, к роду *Granuliferella* относится форма, описанная в работе Кониля и Лисса как *Endothyra aff. latispiralis* (Conil et Lys, 1968, p. 518, pl. VII, fig. 81–83) из ТнЗа (Waulsortien) Бельгии, отличающаяся от типичных гранулиферелль лишь более развитыми септами.

Тонкостенные с выпуклыми камерами *Granuliferella tumida* (E.J. Zeller, 1957), вероятно, к этому роду не относятся.

**Распространение.** Турнейский ярус Сибирской платформы, Горловского бассейна, Колымского массива и Казахстана; верхний турне – низы вида Омолонского массива; миссисипий Северной Америки.

**Состав рода.** *Granuliferella nana* (Reitl.), *G. nana sibirica* Bogush subsp. nov., *G. granulosa* E.J. Zeller, *G. plectula* E.J. Zeller (part.), *G. borealis* Bogush sp. nov.; возможно к этому роду относятся или близки *Plectogyra exelicta* Conil et Lys, а также толстостенные септоглосспиранеллы *Septaglomospira-nella crassa* Reitl. и *S. romanica* Lipina.

*Granuliferella nana* (Reitlinger, 1961) subsp. *sibirica* Bogush, subsp. nov.

Табл. УП, фиг. 31, 33

**Голотип:** экз. № 406/48, ИГиГ СО АН СССР; Колымский массив, правобережье р. Половка, руч. Каменка 41/2–5 км выше устья; верхний турне, обр. 5/47, шл. 2.

**Описание.** Раковина инволютная или слабоэволютная, с широко закругленной периферией. Навивание колеблющееся в ранней части и почти плоскоспиральное в последнем обороте. Число оборотов 2–3;  $D = 0,25–0,48$ ;  $T = 0,19–0,35$ ;  $T:D = 0,55–0,64$ ;  $h = 0,06–0,15$ ; начальная камера крупная, диаметром  $0,095–0,100$  мм, стенка неоднородно-зернистая толщиной  $0,021–0,033$  мм. Количество камер в последнем обороте 4–6.

**Изменчивость.** Значительно варьирует степень колебания оси навивания по оборотам.

**Сравнение.** Наиболее близка *Granuliferella nana*, от которой отличается более развитыми псевдосептами, более выпуклыми камерами и большим количеством камер в обороте, а также значительным колебанием оси навивания ранних оборотов.

**Распространение.** Верхний турне Сибирской платформы, Горловского бассейна и Омолонского массива; верхний турне, реже нижний турне и низы вида Колымского массива.

**Материал.** 58 экз., в том числе: 12 экз. – Сибирская платформа, район оз. Кета, скв. ЮИС-5, верхний турне, ханельбириинский горизонт; 8 экз. плохой сохранности – Горловский бассейн (3 экз. – р. Китерня, 5 экз. – р. Шипуниха у сел Шадрино и Ургун), китернинская свита, верхний турне; 28 экз. – Колымский массив, правобережье р. Половка (26 экз. – руч. Каменка, верхний турне – низы вида; 2 экз. – руч. Дождливый, нижний турне); 10 экз. – Омолонский массив (1 экз. – левобережье р. Мол, руч. Сикамбр, сикамбринская свита, верхний турне; 1 экз. – р. Бургали-Омолонская, турне; 8 экз. – район оз. Элергетхын, верхний турне – низы вида).

### *Granuliferella borealis* Bogush sp. nov.

Табл. УП, фиг. 34–36

Название вида от *boreas* (лат.) – северный ветер.

**Голотип:** экз. № 406–52, ИГиГ СО АН СССР; Сибирская платформа, район ст. Тундра, скв. С-12, обр. МС-12-28а-8, шл. 3; верхний турне, ханельбириинский горизонт.

**Описание.** Раковина со слаболопастной периферией и незначительным колебанием оси навивания по оборотам. Число оборотов  $1\frac{1}{2}–2$ ,  $D = 0,31–0,48$ ;  $T = 0,21–0,36$ ;  $T:D = 0,65–0,77$ ;  $h = 0,10–0,15$ ; число камер в последнем обороте 4–5. Стенка толстая, неоднородно-зернистая, толщиной  $0,025–0,062$  мм, диаметр начальной камеры  $0,050–0,075$  мм. Септы короткие, толстые (одной толщины со стенкой), в сторону устья толщина их уменьшается; септальные швы очень слабо выражены; дополнительные отложения отсутствуют.

**Сравнение.** От наиболее близкой *Granuliferella granularis* E.J. Zeller отличается слабым колебанием оборотов, меньшим их числом и более слабой септацией, приближающейся к таковым *Granuliferella nana*.

От *Granuliferella nana sibirica* отличается более плоскоспиральной раковиной и более длинными септами.

**Замечания.** По характеру навивания и стенке сходна с *Plectogyra exelikta* var. *exelikta* Conil et Lys (1964, с. 185, табл. XXУШ, фиг. 555–563), вероятно, тоже, по крайней мере частично, принадлежащей к роду *Granuliferella*. Отличия нашей формы заключаются в меньшей выпуклости камер и более равномерном утолщении стенок к наружным оборотам.

**Распространение.** Верхний турне Сибирской платформы и Колымского массива; верхний турне – низы вида Омолонского массива.

**Материал.** 11 экз., в том числе: 7 экз. – Сибирская платформа (6 экз. – район оз. Кета, скв. ЮИС-5, ЮИС-6 и 1 экз. – восточное побережье оз. Пясино, скв. Т-185), верхний турне, ханельбириинский горизонт; 2 экз. – Колымский массив, правобережье р. Половка, руч. Каменка, верхний турне; 2 экз. – Омолонский массив, район оз. Элергетхын, верхний турне – низы вида.

### Род *Palaeospiroplectammina* Lipina, 1965

*Palaeospiroplectammina tchernyshinensis tchernyshinensis* (Lipina, 1948)

Табл. УШ, фиг. 1, 2

Синонимику до 1962 г. см.: Липина, 1965.

*Spiroplectammina tchernyshinensis*: Conil et Lys, 1964, p. 84–85, pl. XI, fig. 213–214.

*Palaeospiroplectammina tchernyshinensis tschernyshinensis*: Липина, 1965, с. 93, табл. XXI, фиг. 8–17.

*Rectochernyshinella tchernyshinensis*: Ганелина, 1966, с. 93–94, табл. УШ, фиг. 5, 6.

*Birectochernyshinella tchernyshinensis*: Гроздилова, 1973, с. 75–76, табл. II, фиг. 18.

**Описание.** Раковина биморфная, сильно вытянутая в длину (длина взрослых экземпляров 0,37–0,87 мм). Спиральная часть маленькая, чернышинеллообразная, диаметром 0,18–0,33 мм, состоит из 1–1 $\frac{1}{2}$ , реже 2 оборотов. В последнем обороте 4 камеры. Прямолинейная часть двурядная, шириной 0,19–0,37 мм и толщиной 0,17–0,27 мм, слабо расширяющаяся к устьевому концу, состоит из 4–7 камер в каждом ряду. Стенка тонкозернистая, иногда неоднородно-зернистая с включением более крупных светлых зерен кальцита. Толщина стенки 0,019–0,021 мм.

**Сравнение.** От типичной не отличается.

**Распространение.** Верхний турне Сибирской платформы, Горловского бассейна и Колымского массива; верхний турне и нижний визе Омолонского массива; нижний визе Восточного Таймыра; верхний турне Русской платформы, Урала, Донбасса; верхи турне – низы визе Бельгии.

**Материал.** 49 экз., в том числе: 2 экз. – Сибирская платформа (1 экз. – район ст. Тундра, скв. С-12 и 1 экз. – восточное побережье оз. Пясино, скв. Т-185), верхний турне, ханельбириинский горизонт; 1 экз. – Восточный Таймыр, бассейн р. Нюнькараку-Тары, руч. Бокситовый, нижний визе, сырадасайский горизонт; 2 экз. – Горловский бассейн, р. Шипуниха, китернинская свита, верхний турне; 28 экз. – Колымский массив, правобережье р. Поповка (18 экз. – руч. Каменка, 8 экз. – 6–7,8 км ниже устья р. Левая Дуксунда, 2 экз. – 1,4–3,0 км выше устья руч. Моховик), верхний турне; 16 экз. – Омолонский массив (5 экз. – левобережье р. Мол, руч. Сикамбр, сикамбринская свита, верхний турне; 6 экз. – бассейн рек Бургали-Омолонской и Захаренко, нижний визе; 5 экз. – район оз. Элергетхын, верхи турне – низы визе).

*Palaeospirolectammina tschernyshinensis globata*  
(Lipina, 1965)

Табл. УШ, фиг. 3

*Palaeospirolectammina tschernyshinensis globata*: Lipina, 1965, табл. ХХП, фиг. 5–7.

**Описание.** Раковина крупная биморфная, сильно вытянутая в длину (длина взрослых экземпляров 0,87–1,60 мм). Спиральная часть (1–1 $\frac{1}{2}$  оборота, 4 камеры в обороте) чернышинеллообразная, диаметром 0,33 мм.

Прямолинейная часть двурядная, шириной 0,42–0,48 мм и толщиной 0,33–0,35 мм, слабо расширяющаяся к устьевому концу, состоит из 5–9 камер в каждом ряду; высота камер 0,22–0,26 мм. Стенка неоднородно-зернистая с включением более крупных светлых зерен кальцита; толщина стенки 0,021–0,028 мм.

**Сравнение.** От *Palaeospirolectammina tschernyshinensis tschernyshinensis* отличается крупными размерами, более вздутыми камерами прямолинейной части, более сильно загнутыми и утолщенными на концах септами.

**Замечания.** Нахождение описанной формы совместно с *S. tschernyshinensis tschernyshinensis* в одних и тех же районах, на одних и тех же стратиграфических уровнях не позволяет считать ее географическим или хронологическим подвидом; тем не менее существующие морфологические отличия заставляют сохранить ее как единицу подвидовой категории.

**Распространение.** Верхний турне – низы визе Колымского массива; пограничные отложения турне и визе и нижний визе Западной Европы; верхний турне Донбасса.

**Материал.** 15 экз. – Колымский массив, правобережье р. Поповка, руч. Каменка, верхний турне – низы визе.

*Palaeospirolectammina diversa* (N.Tschernyshewa, 1948)

Табл. УШ, фиг. 4, 5

*Palaeotextularia diversa*: Чернышева, 1948, с. 248, табл. ХУШ, фиг. 7, 8; Гроздилова и Лебедева, 1954, с. 75–76, табл. ХХ, фиг. 1; Малахова, 1956, с. 120, табл. ХУ, фиг. 1–4, 9; Ганелина, 1966, с. 116–117, табл. ХII, фиг. 13, 14.

*Palaeospirolectammina diversa*: Липина, 1965, с. 94–95, табл. ХХII, фиг. 12–16; табл. ХХIII, фиг. 1–8; Conil et Lys, 1968, р. 506, pl. III, fig. 29; P'elhate-Peron, 1967 (1969), р. 39–40, pl. II, fig. 25.

*Eotextularia diversa*: Gorecka et Mamet, 1970, р. 162, pl. 3, fig. 1–4.

**Описание.** Раковина крупная, состоит из небольшой рапней спирально-свернутой части (один оборот), в которой насчитывается 3–5 камер чернышинеллового типа, и более развитой поздней прямолинейной с двурядным расположением камер. Длина раковины 0,46–1,04 мм, наибольшая ширина 0,35–0,62 мм. Раковина имеет клиновидную форму, довольно быстро расширяется в плоскости двурядного расположения камер и более слабо в плоскости, перпендикулярной ей. В двурядной части насчитывается 3–5 камер в одном ряду. Септы изогнутые, обычно с утолщенными концами. Стенка толстая, неоднородно-зернистая, с включением крупных зерен кальцита и однокамерных фораминифер; толщина стенки 0,033–0,062 мм.

**Сравнение.** Не обнаруживает существенных отличий от типичной.

**Распространение.** Верхи турне – низы визе Кузбасса и Северного Хараулаха, Русской платформы, Урала, Западной Европы; нижняя часть визе Колымского и Омолонского массивов и Донбасса.

**Материал.** 52 экз., в том числе: 8 экз. – Кузбасс (7 экз. – р. Малый Бачат у бывшей деревни Семенушкино, нижний визе, подъяковский горизонт, семенушкинская толща; 1 экз. – р. Чумыш выше дер. Костенково, верхний турне, фоминский горизонт); 17 экз. – Колымский массив, правый берег р. Ясачная ниже устья руч. Тарыннах, нижний визе; 14 экз. – Омолонский массив (1 экз. – левобережье р. Мол, руч. Сикамбр, верхний турне; 5 экз. – левобережье р. Омолон, бассейн рек Бургали-Омолонская и Захаренко; 8 экз. – район оз. Элергетхын, визе); 13 экз. – Верхоянье (12 экз. – Северный Хараулах, правый берег Быковской протоки, верхи турне и низы визе; 1 экз. – хр. Сетте-Дабан, руч. Хоспохон, визе).

СЕМЕЙСТВО ENDOHYRIDAE BRADY, 1884

ПОДСЕМЕЙСТВО ENDOHYRINAE BRADY, 1884

Род *Endothyra* Phillips in Brown, 1843 sensu Brady, 1876

*Endothyra excelsaformis* Bogush, sp. nov.

Табл. IX, фиг. 3, 4

Название вида от *E. excelsa* Gan.

Голотип: экз. № 406/86, ИГиГ СО АН СССР; Кузбасс, р. Артышта у дер. Артышта; визеяский ярус, подъяковский горизонт, семенушкинская толща.

10\*

**Описание.** Раковина маленькая инволютная, сжатая с боков, с гладкой округленной периферией. Навивание ранних оборотов слабо колеблющееся; последние  $1-1\frac{1}{2}$  оборота почти плоскоспиральные, резко повернуты по отношению к более ранним. Число оборотов  $1\frac{1}{2}-3$ .  $D = 0,23-0,35$ ;  $T = 0,16-0,21$ , в одном случае  $0,12$ ;  $T:D = 0,52-0,69$ ;  $h = 0,06-0,10$ . Септы прямые, слабо скошенные в сторону навивания, камеры плоские, септальные швы почти не выражены. Диаметр начальной камеры  $0,038-0,058$  мм. Число камер в последнем обороте 7-9. Стенка темная, тонкозернистая, иногда с зачаточной дифференциацией (появление более темного внешнего, а иногда и внутреннего слоев); толщина стенки в последнем обороте обычно  $0,017-0,021$  мм, иногда тоньше (до  $0,008$  мм). Дополнительные отложения в виде уплотнений в осевой области (наблюдаются в осевых сечениях) и слабых непостоянных бугорков или валиков в основании камер (поперечные сечения). Устье широкое, высотой около  $1/3$  высоты просвета камеры.

**Изменчивость.** Выражена в изменении формы периферического края от узко- до широкозакругленной.

**Сравнение.** От наиболее близкой *Endothyra excelsa* Gan. (Ганелина, 1956) отличается плоскими (невыпуклыми) камерами и более мелкими размерами.

**Замечания.** Описанный вид, так же как и близкая ему *E. excelsa*, должен быть отнесен к выделенному Н. Е. Бражниковой и М. В. Вдовенко (1972) подроду *Mediendothyra*.

**Распространение.** Визе Кузбасса, Северного Алтая и Колымского массива.

**Материал:** 18 экз., в том числе: 14 экз. — Кузбасс, р. Артышта у дер. Артышта, визе, семенушкинская толща; 2 экз. — Северный Алтай, кл. Филаретов у дер. Черемшанка, низы визе; 2 экз. — Колымский массив, Момский хребет, руч. Фауновый, сергеляхская свита, визе.

#### *Endothyra chumyshensis* (Lebedeva, 1962)

Табл. IX, фиг. 5

**Plectogyra chumyshensis:** Лебедева, 1962, с. 108, табл. С-2, фиг. 8.

**Описание.** Раковина полуинволютная, с широко округленной периферией и неглубокими пупками. Число оборотов  $3-4\frac{1}{2}$ . Навивание колеблющееся: 1-2 ранних оборота навиты в одной плоскости, последующие смещаются на некоторый угол, обычно не более  $30^\circ$ ; ранние обороты навиты относительно тесно, в последнем спираль резко расширяется.  $D = 0,69-0,90$ ;  $T = 0,37-0,48$ ;  $T:D = 0,54-0,62$ ;  $h = 0,19-0,24$ . Диаметр начальной камеры  $0,033-0,100$  мм. Стенка темная, тонкозернистая, толщиной  $0,025-0,033$  мм в последнем обороте. Дополнительные отложения слабые, непостоянны, в виде небольших бугорков.

**Изменчивость.** Встречаются уклоняющиеся экземпляры с менее колеблющимся навиванием и очень слабой септацией в первом обороте (правобережье р. Томь в 5 км выше дер. Фомихи, фоминский горизонт).

**Сравнение.** Существенных отличий от типичной формы не обнаруживает за исключением вышеупомянутых уклоняющихся экземпляров. От близкой по характеру навивания *E. honesta* отличается более объемлющим последним оборотом и большей его высотой.

**Распространение.** Верхний турне и, возможно, низы визе Кузбасса и Горловского бассейна; верхний турне Сибирской платформы.

**Материал.** 6 типичных экземпляров, в том числе: 4 экз. — Сибирская платформа, район оз. Кета, скв. ЮИС-5, верхний турне, ханельбиринский горизонт; 3 экз. — Горловский бассейн (1 экз. — р. Китерия, 2 экз. — р. Шипуника), верхний турне; 2 экз. — Кузбасс, 4 км северо-восточнее с. Крапивино, скв. 11700, верхний турне, верхняя часть фоминского горизонта; кроме того, 2 экз. плохой сохранности встречены на р. Артышта у дер. Артышта в верхах фоминского и низах подъяковского горизонтов и 2 уклоняющихся экземпляра на р. Томи у дер. Фомихи (см. изменчивость).

#### *Endothyra honesta* (Schlykova, 1961)

Табл. IX, фиг. 6

**Plectogyra honesta:** Шлыкова, 1961, с. 16-17, табл. II, фиг. 5-6; Богуш и Юферев, 1962, с. 147, табл. IU, фиг. 20 и табл. U, фиг. 1.

**Описание.** Раковина сжатая по оси с эволюционным или полуинволютным последним оборотом, широкими неглубокими пупками и скругленной лопастной периферией. Число оборотов  $3-4$ ,  $D = 0,58-0,85$ ;  $T = 0,31-0,46$ ;  $T:D = 0,54$ ;  $h = 0,15-0,21$ . Спираль на ранних оборотах довольно тесная, в последнем резко расширяется. Первые 2 оборота навиты в одной или близких плоскостях, в последующих смещаются на угол, близкий к  $45^\circ$ . Диаметр начальной камеры  $0,060-0,064$  мм. Стенка темная, тонкозернистая, толщиной в последнем обороте  $0,021-0,029$  мм. Дополнительные отложения слабо развиты, в скошенных и поперечных сечениях имеют вид небольших бугорков, а в продольных — утолщений в основании камер.

**Сравнение.** Не обнаруживает отличий от типичной за исключением большей высоты последнего оборота у некоторых наших экземпляров.

**Распространение.** Верхний турне Кузбасса, Южного Казахстана (Центральный Караган), Русской платформы и Урала, единично в нижнем турне Колымского массива.

**Материал.** 9 экз., в том числе: 8 экз. — Кузбасс (1 экз. — р. Барзас у пос. Верхне-Барзасский (Буревестник); 5 экз. — р. Чумыш, в 3,5 км юго-западнее дер. Костенково; 1 экз. — р. Томь между деревнями Мозжуха и Денисово, 1 экз., несколько уклоняющийся по характеру навивания, — 4 км северо-восточнее с. Крапивино), верхний турне, тайдонский горизонт и низы фоминского горизонта; 1 экз. — Колымский массив, р. Ясачная, нижний турне.

#### *Endothyra persida* Lebedeva, 1954

Табл. IX, фиг. 7-10

**Endothyra persida:** Лебедева, 1954, с. 257, табл. U, фиг. 4-8.

**Plectogyra persida:** Лебедева, 1962, с. 107, табл. С-2, фиг. 4.

**Описание.** Раковина полуинволютная с округлым периферическим краем и слабо углубленными пупками. Спираль свободная, развертывается равномерно. Число оборотов  $3-4\frac{1}{2}$ .  $D = 0,56-1,28$ ;  $T = 0,24-0,48$ ;  $T:D = 0,46-0,67$ ;  $h = 0,12-0,27$ ; ранние обороты колеблющиеся, навиты в близких плоскостях, последний повернут по отношению к остальным более резко. Начальная камера сферическая, диаметром  $0,025-0,140$  мм. Стенка тонкозернистая, иногда с зернами светлого кальцита, создающими впечатление пористости или более светлого слоя в средней части стенки, толщина стенки  $0,19-0,37$  мм. Дополнительные отложения в виде невысоких бугорков (валиков?) и неустойчивых затемнений в осевой области.

**Изменчивость.** В нашем материале встречаются экземпляры, соответствующие обеим выделенным Н.С. Лебедевой разновидностям: *E. perfida* var. *perfida* и *E. perfida* var. *crebra*, однако четко разделить их не представляется возможным (например, есть экземпляры по степени сжатости раковины, соответствующие *E. perfida* var. *crebra*, но мелкие).

**Сравнение.** Не обнаруживает отличий от типичной; затемнения в осевой области в первоописании не фигурируют, но отчетливо видны на фото (Лебедева, 1954, 1962) и в шлифах.

**Распространение.** Верхи турне – низы визе Кузбасса, Северного Алтая, Омолонского массива; визе Сибирской платформы, Колымского массива и Восточного Таймыра.

**Материал.** 32 экз., в том числе: 11 экз. – Кузбасс (4 экз. – р. Чумыш выше дер. Костенково, 1 экз. – р. Барзас у дер. Бердовка, 1 экз. – р. Томь между деревнями Мозжуха и Денисово, 1 экз. – р. Томь у дер. Фомиха, 4 экз. – 4 км северо-восточнее с. Крапивино, скв. 11700), верхний турне, фоминский горизонт; 3 экз. – Северный Алтай, кл. Филаретов у дер. Черемшанка, верхний турне, верхи фоминского горизонта; 1 экз. – Сибирская платформа, р. Кютюнгэ, обр. 53–3бис, визе; 16 экз. – Омолонский массив (12 экз. – левобережье р. Омолон, бассейн рек Бургали-Омолонской, Захаренко, верхний турне, визе; 2 экз. – правобережье р. Омолон, нижнее течение р. Талалах, руч. Короткий, короткинская свита, визе; 2 экз. – район оз. Элергетхын, истоки руч. Гитгын-Пылгин, верхний турне – визе); 1 экз. – Колымский массив, правый берег р. Ясачной против устья р. Неру, визе.

#### *Endothyra kjutjungdensis* Bogush sp. nov.

Табл. IX, фиг. 11–13

Название вида по р. Кютюнгэ.

**Голотип:** экз. № 406/94а, ИГИГ СО АН СССР; Сибирская платформа, бассейн р. Кютюнгэ; визе (верхняя известняковая пачка).

**Описание.** Раковина полуинволютная, сжатая по оси, с умеренно углубленными пупками и округлой слаболопастной периферией. Число оборотов 3–4 $\frac{1}{2}$ . Плоскость навивания слабо колеблется; иногда в последнем обороте отклонение более резкое, но не превышает 45°. D = 0,71–0,86 (у уклоняющихся экземпляров D = 0,55–0,58); T = 0,37–0,46 (у уклоняющихся – 0,31); T: D = 0,51–0,63; h = 0,16–0,22 (у уклоняющихся – 0,14–0,15). Камеры выпуклые, септальные швы умеренно углубленные, септы тонкие, довольно длинные, с выпуклостью в сторону навивания, по толщине равны стенке, вблизи устья более тонкие. Число камер в последнем обороте 9–11. Устье широкое, по высоте составляет около 1/3 высоты просвета камеры. Диаметр начальной камеры 0,050–0,124 мм. Дополнительные отложения слабые, непостоянные, в виде невысоких валиков, в поперечных и скошенных сечениях имеющих вид небольших бугорков. Стенка темная, тонкозернистая, толщиной 0,017–0,025 мм.

**Изменчивость.** В изученном материале встречено два более мелких экземпляра при том же количестве оборотов с очень слабыми, порой едва заметными, базальными отложениями и большим (11) количеством камер в последнем обороте. К данному виду отнесены условно.

**Сравнение.** Наиболее близка американской *Endothyra tantala* D.Zeller (D.Zeller, 1953, нижний честер, известняк Paint creek),

от которой отличается более эволютными оборотами, менее колеблющимися в ранней части; особенно близки к *E. tantala* упомянутые выше уклоняющиеся экземпляры. От близкой *E.granularis* Ros. (Розовская, 1963) отличается менее резким колебанием ранних оборотов и более резким отклонением последнего, а также более слабыми базальными дополнительными отложениями; отличия от *E. burgaliensis* Bog. et Juf. заключаются в более слабом колебании ранних оборотов и присутствии базальных отложений.

**Распространение.** Визе северо-востока Сибирской платформы.

**Материал.** 11 экз. – Сибирская платформа, правобережье р. Оленек, бассейн р. Кютюнгэ, визе, верхняя известняковая пачка.

#### Род *Planoendothyra* Reitlinger, 1959

##### *Planoendothyra rotai* rotai (Dain, 1958)

Табл. X, фиг. 1, 2

*Quasiendothyra rotai*: Дайн, 1958, с. 279, рис. в тексте;

*Quasiendothyra rotai forma typica*: Бражникова, 1962, с. 18–19, табл. X, фиг. 1–3.

*Quasiendothyra kedrovica*: Дуркина, 1959, с. 153, табл. VI, фиг. 2–4;

*Endothyra corona*: Малахова, 1956, с. 115, табл. XIII, фиг. 5–7.

*Planoendothyra rotai rotai*: Богуш, Юферев, 1966, с. 143–144, табл. IX, фиг. 8.

**Описание.** Раковина сжатая по оси навивания, с широкими плоскими пупками; ранние обороты сильно колеблющиеся, последующие 1 $\frac{1}{2}$ –2 – почти плоскоспиральные. Число оборотов 2 $\frac{1}{2}$ –4 $\frac{1}{2}$ . D = 0,042–0,67; T = 0,15–0,31; T: D = 0,33–0,54, наиболее часто 0,39–0,48 мм; h = 0,07–0,19, наиболее часто 0,09–0,15. Камеры умеренно выпуклые, количество их в последнем обороте 7–8. Начальная камера крупная – 0,038–0,080 мм; стенка темная, тонкозернистая, у единичных экземпляров с наимеющимся более светлым средним слоем; толщина стенки 0,012–0,24 мм. Дополнительные отложения от слабых до значительных, типа широких бугорков или валиков. В поперечных сечениях они имеют характер бугорков, сходных с таковыми *Endothyra tuberculata*. В продольных сечениях, как правило, наблюдается один бугорок, реже два (при резком изменении плоскости навивания); иногда ложное впечатление парных базальных отложений создается сочетанием бугорка и утолщения в основании септ; эти утолщения септ вблизи осевых концов дают затемнения в боковых частях раковины.

**Изменчивость.** Наиболее изменчивым признаком у описанного вида являются базальные отложения: то очень слабые, то довольно мощные бугорки; значительным изменениям подвержена также степень эндотиroidности ранних оборотов.

**Сравнение.** Не обнаруживает отличий от типичной, а также от формы, описанной А.В. Дуркиной (1959) как *Quasiendothyra kedrovica*.

**Распространение.** Верхний турне Сибирской платформы, Кузбасса, Горловского бассейна; верхний турне – средний визе Верхоянья (Северный Харгулах, Сетте-Дабан), Русской платформы, Урала; верхний турне – нижний визе Северного и Северо-Западного Алтая и Донбасса; нижний визе Колымского и Омолонского массивов.

**Материал.** 119 экз., в том числе: 7 экз. – Сибирская платформа (5 экз. – район оз. Кета, скв. ЮИС-5, ЮИС-6; 2 экз. – западное побережье оз. Пясино, скв. П-10, П-15), верхний турне, ханелибииринский го-

ризонт; 60 экз. - Кузбасс (34 экз. - р. Томь между деревнями Мозжуха и Денисово; 6 экз. - р. Большая Мозжуха; 19 экз. - р. Чумыш выше дер. Костенково; 1 экз. - в 4 км северо-восточнее с. Крапивино, скв. 11700), верхний турне, верхи тайдонского - низы фоминского горизонта; 1 экз. - Горловский бассейн, р. Китерия, верхний турне, китеринская свита; 5 экз. - Северный Алтай, кл. Филаретов у дер. Черемшанка; верхний турне и нижний визе; 8 экз. - Северо-Западный Алтай, р. Локтевка у с. Курья, верхний турне и нижний визе; 8 экз. - Северный Хараулах, правобережье р. Лены на 0,2 км севернее устья руч. Кысам, верхняя часть бастахской свиты, верхний турне; 18 экз. - Колымский массив (6 экз. - правый берег р. Поповка, из них 4 экз. - 6-7,8 км ниже устья р. Левая Дуксунда, верхний турне и 2 экз. - 10,4 км к югу от устья руч. Моховик, визе; 11 экз. - р. Ясачная ниже устья руч. Тарыниах, нижний визе; 1 экз. - р. Ясачная против устья р. Неру, визе); 12 экз. - Омолонский массив (7 экз. - левобережье р. Омолон, водораздел рек Бургали-Омолонской и Захаренко; 5 экз. - район оз. Элтергетхын), нижний визе.

*Planoendothyra compta* (Schlykova, 1961)

Табл. X, фиг. 3-6

*Quasiendothyra compta*: Шлыкова, 1961, с. 12-13, табл. I, фиг. 14; Богуш и Юферев, 1962, с. 122-123, табл. II, фиг. 35, 36;

*Planoendothyra? compta*: Богуш и Юферев, 1966, с. 146, табл. IX, фиг. 14-16.

**Описание.** Раковина инволютная во внутренних и эволютная в наружных оборотах, сильно сжатая по оси навивания, с глубокими широкими пупками, количество оборотов 3-5 $\frac{1}{2}$ . Навивание ранних оборотов эндотироидное, 1 $\frac{1}{2}$ -2 $\frac{1}{2}$  наружных - плоскоспиральное. D = 0,60-0,94, в одном случае (при 3 оборотах) 0,51; T = 0,26-0,46; T:D = 0,39-0,49, в единичных случаях до 0,54; h = 0,10-0,25. В последнем обороте насчитывается 6-9 камер. Диаметр начальной камеры 0,041-0,059 мм, в одном случае 0,150 мм. Стенка темная, тонкозернистая, иногда с включением более крупных светлых зерен кальцита, толщина стенки в последнем обороте 0,012-0,024 мм. Дополнительные отложения непостоянные, представленные более или менее развитыми валиками, имеющими в поперечном сечении вид бугорков (как у *Endothyra tuberculata*) и затемнениями в осевых концах, иногда выстилают дно камер между валиками.

**Изменчивость.** В изученном материале намечается три группы экземпляров, обнаружающие некоторые особенности: 1) типичная (*forma typica*); 2) с более свободной спиралью (*forma latisspiralis*); 3) с правильным закономерным колебанием оси навивания оборотов (*forma sigmoidalis*). К типичной форме относится около 2/3 изученного материала, остальные две вместе слагают 1/3. Материал пока не позволяет определить ранг этих отличий.

**Сравнение.** Не обнаруживает отличий от формы, описанной Т.И.Шлыковой (1961), кроме более широких пределов изменения признаков. Базальные отложения, изображенные в работе Т.И.Шлыковой, на наш взгляд, не являются хоматами, а вполне сходны с наблюдаемыми в нашем материале.

**Распространение.** Верхний турне Сибирской платформы, Кузбасса, Северного и Северо-Западного Алтая, Северного Хараулаха, Сетте-Дабана, Северного Тянь-Шаня ( хр. Карагату), Русской платформы; визе Омолонского массива и Сетте-Дабана.

**Материал.** 68 экз. Из них *forma typica*: 12 экз. - Сибирская платформа (8 экз. - район оз. Кета; 4 экз. - р. Фокина в 1 км выше устья р. Серебряной), верхний турне, ханельбиринский горизонт; 23 экз. - Кузбасс (3 экз.-р. Чумыш в 3,5 км юго-западнее дер. Костенково, 8 экз.-р. Томь между деревнями Мозжуха и Денисово; 1 экз. - р. Большая Мозжуха у дер. Мозжуха; 9 экз. - 4 км северо-восточнее с. Крапивино, скв. 11700; 2 экз. - р. Барзас у пос. Верхне-Барзасский (Буревестник), верхний турне, верхи тайдонского - низы фоминского горизонта; 5 экз. - Северо-Западный Алтай, р. Локтевка у с. Курья, верхний турне; 4 экз. - Северный Алтай, кл. Филаретов у дер. Черемшанка, верхний турне - низы визе; *forma latisspiralis*: 14 экз. - Кузбасс (8 экз. - р. Чумыш в 3,5 км юго-западнее дер. Костенково; 6 экз. - р. Томь между деревнями Мозжуха и Денисово), верхний турне, верхи тайдонского - низы фоминского горизонта; 1 экз. - Омолонский массив, бассейн рек Бургали-Омолонской и Захаренко, визе; *forma sigmoidalis*: 6 экз. - Кузбасс (2 экз. - р. Чумыш в 3,5 км юго-западнее дер. Костенково; 1 экз. - р. Чумыш выше дер. Костенково; 3 экз. - р. Томь между деревнями Мозжуха и Денисово), верхний турне, верхи тайдонского и низы фоминского горизонта; 2 экз. - Северо-Западный Алтай, р. Локтевка у с. Курья, верхний турне; 1 экз. - Северный Алтай, кл. Филаретов у дер. Черемшанка, верхний турне.

Род *Globoendothyra* Reitlinger, 1959

*Globoendothyra kuzbassica* Bogush sp. nov.

Табл. X, фиг. 13, 14

Название вида по Кузбассу.

**Голотип:** экз. № 406/110, ИГИГ СО АН СССР; Кузбасс, левый берег р. Чумыш около 3,5 км юго-западнее дер. Костенково; верхний турне, фоминский горизонт.

**Описание.** Раковина полуинволютная, сжатая с боков, с плоскими пупками. Число оборотов 3-3 $\frac{1}{2}$ . Плоскость навивания оборотов колеблется незначительно в поздних и несколько сильнее в ранних оборотах. D = 0,43-0,64; T = 0,24-0,27; T:D = 0,48-0,50; h = 0,08-0,15; камеры слабовыпуклые, слегка асимметричные. Число камер в последнем обороте 6-8. Септы косые, короткие, по толщине равны стенке. Стенка темная, тонкозернистая, у некоторых экземпляров местами с обособляющимися наружным и внутренним тонкими более темными слоями, с включением светлых более крупных зерен кальцита, толщина стенки 0,021-0,024 мм. Начальная камера крупная, 0,049-0,120 мм. Дополнительные отложения умеренные, выстилают основание камер и образуют валики (?), имеющие в поперечном сечении вид бугорков.

**Сравнение.** Близка *Gl. parva* (N. Chern.), от которой отличается более сжатой раковиной, менее колеблющимся навиванием, меньшим числом оборотов и более выпуклыми камерами.

**Распространение.** Верхний турне, реже визе Кузбасса, единичные в верхнем турне Сибирской платформы.

**Материал.** 10 экз., в том числе: 9 экз. - Кузбасс (7 экз. - левый берег р. Чумыш около 3,5 км юго-западнее дер. Костенково, верхний турне, фоминский горизонт; 1 экз. - 4 км северо-восточнее с. Крапивино, скв. 11700, верхи верхнего турне; 1 экз. - карьер на правобережье р.

Полуденный Шурал у деревень Федоровка и Бирюля, визе, подъяковский горизонт); 1 экз. — Сибирская платформа, район оз. Кета, скв. ЮИС-5, гл. 325,6, верхний турне, ханельбиринский горизонт.

*Globoendothyra ignota* Bogush sp. nov.

Табл. X, фиг. 16, 17

Название вида от *ignota* (лат.) — неизвестная, незнакомая.

Голотип: экз. № 406/916, ИГиГ СО АН СССР; Кузбасс, р. Чумыш у дер. Костенково; турнейский ярус, фоминский горизонт.

Описание. Раковина полуинволютная, несколько сжатая с боков, со слаболопастным периферическим краем. Число оборотов 3-4 $\frac{1}{2}$ ; D = 0,71-1,12; T = 0,42; T: D = 0,42; h = 0,15-0,29. Навивание ранних оборотов колеблющееся, довольно резко меняется при переходе к последним 1 $\frac{1}{2}$ -2 оборотам, навитым почти в одной плоскости. Камеры в ранних оборотах слабовыпуклые, в последнем — более выпуклые; число камер в последнем обороте 7. Начальная камера крупная, диаметром 0,080-0,160 мм. Стенка темная, неоднородно-зернистая (с включением более крупных светлых зерен), без признаков послойной дифференциации, толщина стенки 0,021-0,025 мм. Дополнительные отложения представлены шипом в основании последней камеры.

Сравнение. Наиболее близка *Gl.mikutzkyi* Leb. (Лебедева, 1962), от которой отличается несколько большими размерами при меньшем числе оборотов, более правильным навиванием двух последних оборотов и более выпуклыми камерами в последнем обороте.

Распространение. Верхний турне Кузбасса.

Материал. 4 экз. — Кузбасс, р. Чумыш у дер. Костенково, верхний турне, фоминский горизонт.

Род *Eoendothyranopsis* Reitlinger et Rostovceva, 1964

*Eoendothyranopsis pressa* (Grozilova in Lebedeva, 1954)

Табл. XI, фиг. 2-5

*Parastaffella pressa*: Лебедева, 1954, с. 276-277, табл. X, фиг. 4, 5.

*Parastaffella rara*: Лебедева, 1954, с. 275-276, табл. X, фиг. 6, 7.

*Pseudoendothyra pressa*: Лебедева, 1962, с. 112, табл. С-3, фиг. 6.

*Pseudoendothyra rara*: Лебедева, 1962, с. 113, табл. С-3, фиг. 2.

Описание. Раковина симметричная, за исключением первых 1-1 $\frac{1}{2}$  эндотиронидных оборотов, инволютная, в последнем обороте иногда частично эволютная, с округлой периферией и неглубокими пупками. Число оборотов 3-4 $\frac{1}{2}$ . D = 0,58-1,04; T = 0,27-0,42; T: D = 0,42-0,50, в одном случае 0,56; h = 0,12-0,24. Септы прямые, почти перпендикулярные стенке. Камеры слабовыпуклые; число камер в последнем обороте 11-15. Стенка темная, тонкозернистая, иногда с более темными слоями на внешней и внутренней стороне; встречаются включения более крупных светлых зерен кальцита. Устье невысокое, овальных очертаний. Дополнительные

отложения представлены боковыми уплотнениями и базальными отложениями типа псевдохомат, имеющими в поперечных сечениях вид бугорков по бокам устья.

Сравнение. Не обнаруживает отличий от формы, описанной из Кузбасса, как *E. pressa* и *E. rara*.

Замечания. Изучение нашего материала и просмотр коллекции ВНИГРИ позволили рассматривать *E. pressa* и *E. rara* как один вид, так как эволютность ранних оборотов у экземпляров, отнесенных к *E. rara*, не подтвердилась, а эволютность последнего оборота у *E. pressa* является признаком непостоянным.

Распространение. Визейский ярус Кузбасса, Северного Алтая, Сибирской платформы, Восточного Таймыра, Колымского и Омолонского массивов.

Материал. 20 экз., в том числе: 11 экз. — Кузбасс (2 экз. — левобережье р. Томь, 1 км выше дер. Подъяково; 2 экз. — р. Большая Можуха у деревень Благодатное и Силино; 3 экз. — карьер на правом берегу р. Полуденный Шурал у деревень Федоровка и Бирюля; 1 экз. — р. Малый Бачат у бывшей деревни Семенушкино; 3 экз. — р. Чумыш у дер. Костенково), визе, подъяковский горизонт; 1 экз. — Северный Алтай, кл. Филаретов у дер. Черемшанка, визе; 2 экз. — Сибирская платформа, бассейн р. Кютионгда (реки Бульбарангда и Сээн), визе; 1 экз. — Восточный Таймыр, бассейн р. Нюнькараку-Тари, руч. Бокситовый, визе сырдасайский горизонт; 5 экз. — Омолонский массив (4 экз. — правобережье р. Омолон, нижнее течение р. Талалах, руч. Короткий, короткинская свита, визе; 1 экз. — бассейн рек Бургали-Омолонская и Захаренко, катюшинская свита, визе).

*Eoendothyranopsis ermakiensis* (Lebedeva, 1954)

Табл. XI, фиг. 6-9

*Parastaffella ermakiensis*: Лебедева, 1954, с. 279, табл. XI, фиг. 1, 4, 5.

*Pseudoendothyra ermakiensis*: Лебедева, 1962, с. 112-113, табл. С-3, фиг. 1; Богуш и Юферев, 1966, с. 152, табл. X, фиг. 9.

Описание. Раковина инволютная, с широко округленной периферией и неглубокими пупками. Периферический край гладкий или слаболопастной. D = 0,65-0,90; T = 0,35-0,56; T: D = 0,51-0,63; h = 0,10-0,22. Число оборотов 3-5. Навивание плоскосpirальное за исключением 1-2 ранних оборотов, слабо колеблющихся. Начальная камера сферическая, диаметром 0,042-0,118 мм. Стенка темная, тонкозернистая, с включением более крупных светлых зерен, иногда ограничена более темными внешним и внутренним слоями. Переходы одной толщины со стенкой, перпендикулярны стенке или слегка наклонены вперед по ходу навивания. Число камер в последнем обороте 10-13. Дополнительные отложения в виде осевых уплотнений и хорошо развитых базальных отложений типа псевдохомат, имеющих в осевых сечениях вид бугорков.

Сравнение. От *E. pressa* отличается более широкой инволютной раковиной и более развитыми базальными отложениями. От *E. utacheensis* (*E. Zeller*) из верхов визе Северной Америки (*Blacksmith Fork section*) (Zeller, 1957, р. 702, pl. 80, fig. 15, 16), очень близкого по характеру осевого сечения, отличается значительно большим (10-13 против 8) числом камер в последнем обороте.

**Замечание.** В отличие от первоописания, эволюция ранних оборо-  
тов в нашем материале не наблюдалась.

**Распространение.** Визе Кузбасса, Сибирской платформы, Восточ-  
ного Таймыра, Сетте-Дабана и Омоловского массива.

**Материал.** 24 экз., в том числе: 7 экз. - Кузбасс (5 экз. - карь-  
ер на правом берегу р. Полуденный Шурал у деревень Федоровка и Бирюля;  
1 экз. - левобережье р. Томь в 1 км выше дер. Подъяково; 1 экз. -  
р. Большая Мозжуха у деревень Благодатное и Силино), визе, подъяковский  
горизонт; 2 экз. - Сибирская платформа, бассейн р. Кютюнгдэ (реки Буль-  
барангда и Сээн), визе; 4 экз. - Восточный Таймыр, р. Нюнькараку-Тари,  
руч. Бокситовый, визе, сырдарасайский (3 экз.) и вентинский (1 экз.) го-  
ризонты; 11 экз. - Омоловский массив (6 экз. - правобережье р. Омолон,  
нижнее течение р. Талалах, руч. Короткий, короткинская свита, низы визе  
и, возможно, верхи турне; 5 экз. - бассейн рек Бургали-Омоловская и За-  
харенко (северный разрез), катюшинская свита, визе).

## ЛИТЕРАТУРА

Айзеншерг Д.Е., Бражникова Н.Е. Аналоги зоны этрен в карбоне До-  
нецкого бассейна. - В кн.: Геология угленосных формаций и стратиграфия  
карбона СССР. М., "Наука", 1965, с. 172-175.

Ананьев А.Р., Грайзер М.И., Ульмасов Ф.С. О возрасте тушамской  
свиты Сибирской платформы. - "Докл. АН СССР", 1969, т. 189, № 5,  
с. 1065-1068.

Ананьев А.Р., Могилев А.Е. Турнейская и ранневизейская флора из  
угленосных отложений восточного склона Урала. - "Докл. АН СССР", 1976,  
т. 229, № 3, с. 676-678.

Беляков Л.П., Ганелина Р.А., Кутейников Е.С., Лапина Н.Н., Рого-  
зов Ю.Г. Нижнекаменноугольные отложения северного крыла Антарской ан-  
теклизы (междуречье Фомич - Хатанга). - "Уч. зап. НИИГА. Палеонтология  
и биостратиграфия", 1967, вып. 20, с. 33-39.

Бенедиктова Р.Н. Карбон Саяно-Алтайской горной системы. - В кн.:  
Биостратиграфия палеозоя Саяно-Алтайской горной области. Новосибирск,  
1962, с. 9-45. (Труды СНИИГиМС, вып. 21).

Бетехтина О.А., Горелова С.Г. К вопросу об "острогской свите" Куз-  
басса. - В кн.: Биостратиграфия девона и карбона Сибири. Новосибирск,  
"Наука", 1975, с. 93-105. (Труды ИГиГ СО АН СССР, вып. 220).

Боголепов К.В. Казачинский грабен и стратиграфия выполняющих его  
палеозойских отложений. - "Геол. и геофиз.", 1961, № 8, с. 3-17.

Богуш О.И., Бочкарев В.С., Юферев О.В. Палеозой юга Западно-Сибир-  
ской равнины. Новосибирск, "Наука", 1975, 44 с. (Труды ИГиГ СО АН  
СССР, вып. 297).

Богуш О.И., Бушмина Л.С., Домникова Е.И. О пограничных слоях де-  
вона и карбона Ельцовского синклиниория в связи с изучением микрофауны.  
- В кн.: Общие вопросы изучения микрофауны Сибири, Дальнего Востока и  
других районов. М., "Наука", 1970, с. 49-59.

Богуш О.И., Бушмина Л.С., Грацианова Р.Т., Ермиков В.Д. Нижний  
карбон Горного Алтая. - В кн.: Биостратиграфия и палеобиогеография дево-  
на и карбона азиатской части СССР. Новосибирск, "Наука", 1978, с. 29-66.  
(Труды ИГиГ СО АН СССР, вып. 386).

Богуш О.И., Вааг О.В., Дивица Т.А., Матухин Р.Г., Юферев О.В. Де-  
тальное районирование Тунгусско-Кузнецкой палеобиогеографической облас-  
ти в позднем турне и биостратиграфия. - В кн.: Палеобиогеографическое  
районирование и биостратиграфия. Новосибирск, "Наука", 1977, с. 103-  
116. (Труды ИГиГ СО АН СССР, вып. 347.)

Богуш О.И., Дивица Т.А., Матухин Р.Г., Юферев О.В. Турнейские от-  
ложения Норильского района (Пясинская и Кета-Ирбинская площади). -  
"Геол. и геофиз.", 1975, № 10, с. 111-114.

Богуш О.И., Фефелов Г.Г. Фораминиферы и фауны раннего карбона Саяно-Алтайской области. - В кн.: Среда и жизнь в геологическом прошлом (фауны и организмы). Новосибирск, "Наука", 1977, с. 74-92. (Труды ИГиГ СО АН СССР, вып. 302).

Богуш О.И., Чиликин В.А. Фораминиферы и стратиграфия нижнего карбона Средней Сибири. - "Геол. и геофиз.", 1975, № 7, с. 10-18.

Богуш О.И., Юферев О.В. Фораминиферы и стратиграфия каменноугольных отложений Карагату и Таласского Алатау. М., Изд-во АН СССР, 1962, 234 с.

Богуш О.И., Юферев О.В. Фораминиферы карбона и перми Верхоянья. М., "Наука", 1966. 208 с.

Бражникова Н.Е., Вдовенко М.В. Описание новых видов *Foraminifera*. - В кн.: Атлас фауны турнейских отложений Донецкого бассейна. Киев, "Наукова думка", 1971, с. 21-64.

Бражникова Н.Е., Ростовцева Л.Ф. Фораминиферы. - В кн.: Фауна и зон турне (зоны С<sub>1</sub> а) Донецкого бассейна. Киев, "Наукова думка", 1966, с. 9-42.

Бровков Г.Н., Грайзер М.И., Могилев А.Е. Новые данные по палеогеографии нижнего карбона Алтас-Саянской области. - "Изв. АН СССР. Серия геол.", 1965, № 11, с. 93-97.

Бровков Г.Н., Грайзер М.И., Могилев А.Е. Об условиях накопления нижнекаменноугольных отложений востока Саяно-Алтайской области. - "Геол. и геофиз.", 1965, № 1, с. 106-123.

Бубличенко Н.Л. Брахиоподы нижнего карбона Рудного Алтая (тарханская свита). Алма-Ата, "Наука", 1971. 189 с.

Бушмила Л.С. Остракоды абышевского горизонта (нижний карбон) Кузбасса. - В кн.: Стратиграфия и палеонтология палеозоя азиатской части СССР. М., "Наука", 1965, с. 64-98.

Бушмила Л.С. Раннекаменноугольные остракоды Кузнецкого бассейна. М., "Наука", 1968. 128 с.

Вааг О.В., Матухин Р.Г., Меннер В.В. Нижний карбон юго-западной части Тунгусской синеклизы. - В кн.: Вопросы литологии Сибири. Новосибирск, Западно-Сибирское кн.изд-во, 1973, с. 81-103. (Труды СНИИГиМС, вып. 170).

Вааг О.В., Матухин Р.Г., Меннер В.В., Константинова С.А., Васильева К.Н. Девонские и нижнекаменноугольные отложения Сигово-Подкаменской площади (Запад Тунгусской синеклизы). - В кн.: Материалы по литологии и полезным ископаемым Сибири. Новосибирск, Западно-Сибирское кн.изд-во, 1976, с. 41-54. (Труды СНИИГиМС, вып. 218).

Варсаноффьева В.А., Рейтлингер Е.А. К характеристике верхнедевонских и турнейских отложений Малой Печоры. - "Бюл. Моск. об-ва испытателей природы. Отдел геологии", 1962, № 5, с. 36-60.

Васильева К.Н., Драгунов В.И., Константинова С.А., Касперович Е.П., Кучеров В.Е., Матухин Р.Г., Меннер В.В., Назимков Г.Д. Литология и стратиграфия среднего палеозоя Маршрутинской площади в бассейне р.Фатьянихи (северо-запад Сибирской платформы). - "Геол. и геофиз.", 1975, № 12, с. 121-127.

Ганелина Р.А. Фораминиферы визейских отложений северо-западных районов Подмосковской котловины. - В кн.: Микрофауна СССР. Сборник УШ. Л., Гостоптехиздат, 1956, с. 61-184.

Ганелина Р.А. Фораминиферы турнейских и нижневизейских отложений некоторых районов Камско-Кинельской впадины. - В кн.: Микрофауна СССР. Сборник ХІУ. Л., "Недра", 1966, с. 64-175. (Труды ВНИГРИ, вып. 250).

Горелова С.Г., Марус А.И., Сендерзон Э.М., Стаценко Э.А., Шорин В.П., Шугуров В.Ф. Опыт использования комплексной методики увязки труднокоррелируемых разрезов на примере Горловского антрацитового бассейна. - В кн.: Вопросы геологии угольных месторождений. Кемерово, Кемеровское кн.изд-во, 1974, с. 37-45.

Горелова С.Г., Меньшикова Л.В., Халфин Л.Л. Фитостратиграфия и определитель растений верхнепалеозойских угленосных отложений Кузнецкого бассейна. Ч. 1. Кемерово, Кемеровское кн.изд-во, 1973. 168 с. (Тр. СНИИГиМС, вып. 140).

Грайзер М.И. Проект унифицированной схемы доугленосных отложений нижнего карбона Минусинских и Тувинской межгорных впадин. - В кн.: Тезисы докладов на Межведомственном совещании по разработке унифицированных стратиграфических схем Сибири. Л., Гостоптехиздат, 1956, с. 14-16.

Грайзер М.И. Новые данные по стратиграфии и литологии нижнего карбона Тывы. - "Изв. АН СССР. Серия геол.", 1959, № 9, с. 54-65.

Грайзер М.И. Каменноугольные отложения Минусинских впадин. - В кн.: Биостратиграфия палеозоя Саяно-Алтайской горной области. Т. III. Новосибирск, 1962, с. 45-52. (Труды СНИИГиМС, вып. 21).

Грайзер М.И. Нижнекаменноугольные отложения Саяно-Алтайской складчатой области. М., "Наука", 1967. 148 с.

Грайзер М.И., Тюренкова Л.Я., Ульмасвай Ф.С., Чижова В.А. О нижнекаменноугольных отложениях Кютюндинской впадины. - В кн.: Геология и полезные ископаемые Сибири. Т. 1. Стратиграфия и палеонтология. Томск, Изд-во Томск. ун-та, 1974, с. 65-66.

Грайзер М.И., Ульмасвай Ф.С. Палеогеография западной части Сибирской платформы в нижнекаменноугольное время. - "Бюл. МОИП. Отд. геол.", 1972, № 1, с. 92-108.

Грайзер М.И., Ульмасвай Ф.С. Енисейско-Витюйский нижнекаменноугольный прогиб юга Сибирской платформы и его соотношение с нижнепалеозойскими прогибами Ангаро-Ленского района. - "Изв. АН СССР", 1975, № 9, с. 143-147.

Грайзер М.И., Ульмасвай Ф.С. Стратиграфия и палеогеография Сибирской платформы и ее складчатого обрамления в нижнекаменноугольную эпоху. М., "Наука", 1975, с. 80-81.

Гращанова Р.Т. Морские отложения турнейского яруса в Горном Алтае. - "Докл. АН СССР", 1959, т. 127, № 4, с. 844-845.

Гречишникова И.А. Стратиграфия и брахиоподы нижнего карбона Рудного Алтая. М., "Наука", 1966. 187 с.

Гроэдилова Л.П. Фораминиферы из опорных разрезов турнейского яруса Горной Башкирии. - В кн.: Опорные разрезы и фауна турнейского яруса на Южном Урале. Л., ВНИГРИ, 1973, с. 68-101.

Гроэдилова Л.П., Лебедева Н.С. Фораминиферы нижнего карбона и башкирского яруса среднего карбона Колво-Вишерского края. - В кн.: Микрофауна СССР. Сборник УП. Л., Гостоптехиздат, 1954, с. 4-236. (Труды ВНИГРИ, нов. серия, вып. 81).

Гроэдилова Л.П., Лебедева Н.С. Фораминиферы каменноугольных отложений западного склона Урала и Тимана. Атлас наиболее характерных видов. Л., Гостоптехиздат, 1960. 264 с. (Труды ВНИГРИ, вып. 150).

Гроэдилова Л.П., Лебедева Н.С., Липина О.А., Малахова Н.П., Михайлова З.П., Черных В.А., Постоялко М.В., Симонова З.Г., Синицына З.А., Шербакова М.В. *Foraminifera* (фораминиферы). - В кн.: Палеонтологический атлас каменноугольных отложений Урала. Л., "Недра", 1975, с. 27-64.

Дани Л.Г. Турнейеллиды. - В кн.: Турнейеллиды и архедисциды. Л.-М., Гостоптехиздат, 1953, с. 7-49. (Труды ВНИГРИ, нов.серия, вып. 74).

Добролюбова Т.А., Кабакович Н.В., Саютина Т.А. Кораллы нижнего карбона Кузнецкой котловины. М., "Наука", 1966, 276 с. (Труды Палеонтологического ин-та, т. III).

Дрягина Л.Л. Палинологическая характеристика карбоновых отложений юго-западной части Алтая-Саянской горной области. - В кн.: Палинология Сибири. М., "Наука", 1966, с. 75-79.

Дурайте М.В. Палеоботаническое обоснование стратиграфии карбона и первми Монголии. М., "Наука", 1976, 279 с. (Труды совместной советско-монгольской геол. экспедиции, вып. 19).

Дуркина А.В. Фораминиферы нижнекаменноугольных отложений Тимано-Печорской провинции. - В кн.: Микрофауна СССР. Сборник XI. Л., Гостоптехиздат, 1959, с. 132-389; (Труды ВНИГРИ, нов.серия, вып. 136).

Завьялова Е.А. О фораминиферах турнейского яруса Львовской мульды. - "Труды УкрНИГРИ", 1959, вып. 1, с. 174-179.

Казеннов А.И. Нижний карбон северо-восточной части Горловского каменноугольного бассейна. Автореф. канд. дисс. Томск, 1973. 26 с.

Казеннов А.И., Богуш О.И., Бенедиктова Р.Н. Турнейский ярус Горловского каменноугольного бассейна. - В кн.: Палеонтология, стратиграфия и палеобиогеография девона и карбона Сибири. Новосибирск, "Наука", 1975, с. 10-25. (Труды ИГиГ СО АН СССР, вып. 259).

Кедо Г.И. Споры из надсолевых девонских отложений Припятского прогиба и их стратиграфическое значение. - В кн.: Палеонтология и стратиграфия БССР. Сборник I. Минск, Изд-во АН Белорусской ССР, 1957, с. 3-43.

Кедо Г.И. Споры турнейского яруса Припятского прогиба и их стратиграфическое значение. - В кн.: Палеонтология и стратиграфия БССР. Сборник II. Минск, Изд-во АН Белорусской ССР, 1963, с. 3-121.

Кедо Г.И. Споры нижнего карбона Припятского прогиба (яснополянский подъярус). - В кн.: Палеонтология и стратиграфия БССР. Сборник II. Минск, Изд-во Белорусской ССР, 1966, с. 3-143.

Коваленко Л.А. Материалы для изучения спор и пыльцы острогской свиты Кузбасса. - В кн.: Вопросы геологии Кузбасса. Т. I. М., Углехимиздат, 1956.

Кулакова И.Н., Филимонова Л.А., Кулаков М.А. Турнейские споровые комплексы и отложения юго-восточной окраины Тунгусской синеклизы. - В кн.: Геология и полезные ископаемые юга Восточной Сибири. (Тезисы докл. конференции). Иркутск, 1974, с. 52-55.

Лапина Н.Н. Брахиоподы крестяхских конгломератов с устья р. Лены. - В кн.: Палеонтологический сборник № 3. Л., Гостоптехиздат, 1962, с. 125-149. (Труды ВНИГРИ, вып. 196).

Лебедева Н.С. Фораминиферы нижнего карбона Кузнецкого бассейна. - В кн.: Микрофауна СССР. Сборник VI. Л., Гостоптехиздат, 1954, с. 237-323. (Труды ВНИГРИ, нов. серия, вып. 81).

Лебедева Н.С. Тип Protozoa (Простейшие). - В кн.: Биостратиграфия палеозоя Саяно-Алтайской горной области. Новосибирск, 1962, с. 100-115. (Труды СНИИГиМС, вып. 21).

Липина О.А. Фораминиферы турнейского яруса и верхней части девона Волго-Уральской области и западного склона Среднего Урала. М., Изд-во АН СССР, 1955, 96 с. (Труды ИГиГ АН СССР, вып. 163).

Липина О.А. Зависимость фораминифер от фаций в отложениях фаменского яруса верхнего девона и турнейского яруса карбона западного склона Урала. - В кн.: Вопросы микропалеонтологии. Вып. 5. М., "Наука", 1961, с. 147-161.

Липина О.А. Систематика турнейеллид. М., "Наука", 1965. 116 с. (Труды ГИН АН СССР, вып. 130).

Липина О.А. Зональная стратиграфия и палеогеография турне по фораминиферам. - В кн.: Вопросы микропалеонтологии. Вып. 16. М., "Наука", 1973, с. 3-35.

Любер А.А. Атлас спор и пыльцы палеозойских отложений Казахстана. Алма-Ата, Изд-во Каз.ССР, 1955, с. 3-125.

Любер А.А. Атлас микроспор и пыльцы палеозоя СССР. Л., "Недра", 1941. 107 с. (Труды ВСЕГЕИ, вып. 139).

Максимова С.В. Осадконакопление и история развития Кузнецкой котловины в нижнекаменноугольное время. М., Изд-во АН СССР, 1963. 90 с.

Малахова Н.П. Фораминиферы кизеловского известняка западного склона Урала. - "Бюл. МОИП. Отд.геол.", 1954, т. 59, вып. 1, с. 49-60.

Малахова Н.П. Фораминиферы верхнего турне западного склона Северного и Среднего Урала. Сборник по вопросам стратиграфии № 3. М., Изд-во АН СССР, 1956, с. 72-155. (Труды Горно-геологического ин-та Уральского фил. АН СССР, вып. 24).

Малахова Н.П. Некоторые виды фораминифер из нижнекаменноугольных отложений Урала. Сборник по вопросам стратиграфии № 4. М., Изд-во АН СССР, 1957, с. 3-8. (Труды Горно-геологического ин-та Уральского фил. АН СССР, вып. 28).

Матвеевская А.Л., Иванова Е.Ф. Геологическое строение южной части Западно-Сибирской низменности в связи с вопросами нефтегазоносности. М., Изд-во АН СССР, 1960. 263 с.

Матухин Р.Г., Богуш О.И., Юферев О.В. Новые данные о верхнедевонских и нижнекаменноугольных отложениях Норильского района. - "Геол. и геофиз.", 1966, № 12, с. 107-109.

Матухин Р.Г., Богуш О.И., Юферев О.В., Глушницкий О.Т. Нижний карбон восточного побережья озера Пясино. - "Геол. и геофиз.", 1969, № 11, с. 148-150.

Матухин Р.Г., Менинер В.Вл. Девон и нижний карбон северо-запада Сибирской платформы. Новосибирск, Западно-Сибирское кн. изд-во. 1974. 128 с.

Медведева А.М. Стратиграфическое расчленение нижних горизонтов тунгусской серии методом спорово-пыльцевого анализа. М., Изд-во АН СССР, 1960. 92 с.

Мейен С.В. О возрасте острогской свиты Кузбасса и об аналогах на мюра в континентальных отложениях Северной Азии. - "Докл. АН СССР", 1968, т. 180, № 4, с. 944-947.

Мелешенко В.С. О некоторых вопросах стратиграфии девонских отложений Минусинской котловины. - В кн.: Палеонтология и стратиграфия. Л., 1953, с. 90-100. (Труды ВСЕГЕИ, вып. 16).

Менинер В.Вл., Рейтлингер Е.А. Провинциальные особенности фораминифер среднего и позднего девона севера Сибирской платформы. - В кн.: Вопросы микропалеонтологии. Вып. 14. М., "Наука", 1971, с. 25-38.

Миклухо-Маклай А.Д. Верхний палеозой Средней Азии. Л., Изд-во ЛГУ, 1963. 328 с.

- Натапов Л.М. Тектоника Кютюнгдинского грабена. - В кн.: Соляная тектоника Сибирской платформы. Новосибирск, "Наука", 1973, с. 144-151.
- Наумова С.Н. Спорово-пыльцевые комплексы верхнего девона Русской платформы и их значение для стратиграфии. М., Изд-во АН СССР, 1953. 193 с. (Труды ИГН АН СССР, вып. 143).
- Некорешев В.П. Геология Алтая. М., Госгеолтехиздат, 1958. 262 с.
- Обручев С.В. Тунгусский бассейн. Т. 1. М., 1932, 242 с. (Труды ВГРО ИКТП СССР, вып. 164).
- Обручев Д.В. К биостратиграфии ихтиофауны нижнего и среднего палеозоя СССР. - "Сов. геология", 1958, № 11, с. 40-53.
- Павлов С.Ф. Верхний палеозой Тунгусского бассейна. Новосибирск, "Наука", 1974. 170 с.
- Пашкевич Н.Г. Новые виды миоспор из среднепалеозойских отложений Кемпендейских дислокаций. - В кн.: Палинологическая характеристика палеозойских, мезозойских и кайнозойских отложений Якутии. Якутск, 1971, с. 40-45.
- Приходько А.В. Фораминиферы известняковой толщи нижнекаменноугольных отложений Донецкого бассейна. - "Научн. зап. Днепропетр. гос. ун-та", 1948, т. XXXI.
- Познер В.М., Шлыкова Т.И. К палеонтологической характеристике рачковых слоев нижнего карбона Среднего Поволжья. - В кн.: Микрофауна СССР. Сборник XIII. Л., Гостоптехиздат, 1961, с. 5-26. (Труды ВНИГРИ, вып. 179).
- Пуркин М.М., Поярков Б.В., Рожанец В.М. Стратиграфия и новые фораминиферы турнейских отложений хребта Борколдай (Тянь-Шань). - "Изв. АН КиргССР. Серия естеств. и техн. наук", 1961, т. 3, вып. 4, с. 15-36.
- Радченко М.И. Каменноугольная флора юго-восточного Казахстана. Алма-Ата, "Наука", 1967. 71 с.
- Рейтлингер Е.А. Некоторые вопросы систематики квазиэндотир. - "Вопросы микропалеонтологии", 1961, вып. 5, с. 31-68.
- Рейтлингер Е.А., Платонов В.А., Меннер Вл.Вл. Микропалеонтологические комплексы девона и нижнего карбона Сибирской платформы. - "Докл. АН СССР", 1973, т. 210, № 5, с. 1167-1170.
- Розовская С.Е. Древнейшие представители фузулинид и их предки. М., Изд-во АН СССР, 1963, 128 с. (Труды ПИН АН СССР, т. ХСУП).
- Сарычева Т.Г., Сокольская А.Н., Безносова Г.А., Максимова С.В. Брахиоподы и палеогеография карбона Кузнецкой котловины. М., Изд-во АН СССР, 1963. 545 с. (Труды Палеонтологического ин-та АН СССР, вып. 45).
- Тризна В.Б. Раннекаменноугольные мшанки Кузнецкой котловины. Л., Гостоптехиздат, 1958. 433 с. (Труды ВНИГРИ, нов.серия, вып. 122).
- Тяжнова О.В., Тыжнов А.В. Новые данные по геологии Минусинского бассейна. - "Вестн. Зап.-Сиб. геол. упр.", 1944, № 4-5.
- Ульмассай Ф.С. Стратиграфия нижнекаменноугольных отложений Сибирской платформы. Экспресс-информация ВИЭМС. Общ. и рег. геол.; геол. картирование, М., 1978, № 6, 14-25.
- Чернышева Н.Е. К стратиграфии нижнего карбона Макаровского района Южного Урала по фауне фораминифер. - "Бюл. МОИП. Отд. геол." 1940, т. 18, вып. 5-6, с. 113-133.
- Чернышева Н.Е. Некоторые новые виды фораминифер из визейского яруса Макаровского района (Южный Урал). - В кн.: Стратиграфия и фораминиферы нижнего карбона Русской платформы и Приуралья. М., Изд-во АН СССР, 1948, с. 246-250. (Труды ИГН АН СССР, вып. 62).

- Юферев О.В. Карбон Сибирского биогеографического пояса. Новосибирск, "Наука", 1973. 278 с.
- Bell W.A. Mississippian Horton Group of type Windsor-Horton district, Nova Scotia. - "Mem. Geol. Surv., Branch Can.", 1960, N 314, s. 1-58.
- Bertelsen F.A. Lower Carboniferous microflora from the slev N 1 borehole Suvey of Denmark. II Series, 1972, N 99, p. 1-76.
- Brenckle P.L. Smaller Mississippian and lower Pennsylvanian calcareous Foraminifers from Nevada. Lawrence. - "Allen Press, Inc., Lawrence, Kansas", 1973. 82 p. (Cushman foundation for Foraminiferal research, special publication N 11).
- Clayton G.A. A Lower Carboniferous miospore assemblage from Calciferous Sandstone Measures of the Cockburnspath region of eastern Scotland. - "Pollen et Spores", 1971, N 12, p. 577-600.
- Clayton C.A. Carboniferous Sandstone Measures of Cockburnspath region of eastern Scotland. - "Pollen et Spores", 1974, N 12, p. 577-600.
- Conil R., Lys M. Matériaux pour l'Etude Micropaléontologique du Dinantien de la Belgique et de la France (Avesnois). Première partie: Algues et Foraminifères. Louvain, Institut Géologique de l'Université. 1964. 296 p. (Mémoires de l'Institut Géologique de l'Université de Louvain).
- Conil R., Lys M. Utilisation stratigraphique des Foraminifères du Dirantien. Annales de la Société Géologique de Belgique, t. 91, 1968, p. 491-558.
- Conil R., Lys M. Données nouvelles sur les Foraminifères du Tournaisien inférieur et des couches de passage du Famennien au Tournaisien dans l'Avesnois. Université de Liège, 1970. Colloque sur la stratigraphie du Carbonifère, p. 241-265.
- Gorecka T., Mamet B. Sur quelques microgaciés carbonatés paléozoïques des Sudètes polonaises (Monts de Barde). - Revue de Micropaléontologie, 1970, N 3, p. 155-164.
- Hacquebard P.A. Plant spores in coal from the Horton group (mississippian) of Nova Scotia. Micropaleontology, 1957, 3, N 4, p. 301-324.
- Hoffmeister W.S., Staplin F.L., Malloy R.E. Mississippian plant spores from the Hardinsburg formation of Illinois and Kentucky. - "Journ. Paleontol.", 1955, vol. 29, N 3, p. 372-399.
- Hirmer M. Handbuch der Paläobotanik. Ed. 1. Berlin, 1927, s. 1-708.
- Kaiser H. Die oberdevon-flora der bäreninsel. 3. Mikroflora des höheren oberdevons und des unterkarbons. - "Palaeontographica", 1970, b. 129, s. 71-124.
- McKee E.D., Gutschick R.C. History of the Redwall limestone of northern Arizona. Denver, Colorado, 1969. 255 p. (Geological Society of America Memoir 114).
- Loeblich A.R., Tappan H. Treatise on Invertebrate Paleontology Part C. Protista 2. Sarcodina, Chiefly "Thecamoebi-

ans," and Foraminifera. Vol. 1. The University of Kansas Press, 1964. 510 p.

Neves R., Gueinn K.I., Clayton G., Ioannides N., Neville R.S.W., Kruszewska K. Palynological Correlations within the Lower Carboniferous of Scotland and Northern England. Edinburg. "Published by the royal society of Edinburg", 1973 p. 23-70 (The royal society of Edinburg, vol. 69, N 2).

Pelhâte-Peron A. Micropaleontology des calcaires Dinantiens du bassin de Laval. - "Bull. Soc. geol. mineral." de Bretagne, Rennes, 1967 (1969), p. 27-76.

Read Ch.B. Floras of the Pocono formation and Price sandstone in parts of Pennsylvania, Maryland, West Virginia, and Virginia. - Geol. Surv. Profess." Paper. 263. Washington, 1955, N 263, s. 1-32.

Playford A. Trilete spores of Umbonatisporites in the Lower Carboniferous of northwestern Australia. "Geol. Palaeont. Abh.", 1972, 141, N 3; p. 301-315.

Schwin W. Die Acker-Bruchbergschichten des Harzes. - Abhand. geol. Landesanst. N.F.A. - V. Berlin, 1950, H. 216.

Skipp B. Foraminifera. In McKee and Gutschick "History of Redwall Limestone of Northern Arizona". Denver, Colorado, 1969, p. 173-255 (Geological Society of America Memoir 114).

Skipp B., Holcomb L.D., Gutschick R.C. Tournayellinae, calcareous Foraminifera, in Mississippian rocks of North America. New York, "Dorr's Print Shop, Bridgewater, Massachusetts", 1966, 38 p. (Cushman foundation for Foraminiferal research, special publication N 9).

Staplin F.L. Upper mississippian plant spores from the Golata formation Alberta, Canada. - "Palaeontographica", 1960, Bd. 107, Abt. B, Lief 1-3, p. 1-40.

Staplin T.L., Jansonius L. Elucidation of some Paleozoic Densosporites. - "Palaeontographica", 1964, Abt. B. 114, Left 4-6, p. 95-117, pl. 4.

Steiner W. Cyclostigma - ähnliche Pflanzenreste aus den Grauwacken der Selketal/Harz. - Geologie, Jahrgang 8, Heft 8, A.-V. Berlin, 1959, s. 884-899.

Street M. Une association de spores du Givetian Inferieur de la Vesdre à Goe (Belgique). - "Ann. Soc. Geol. Belgique", vol. 87, 1964, N 7, p. 1-30.

Turnau E. Microflora of the Famenian and Tournaisian deposits, from boreholes of Northern Poland. Acta Geologica Polonica, 1975, vol. 25, N 4, p. 506-528, pl. 8.

Woodland R.B. Stratigraphic significance of Mississippian Endothyroid foraminifera in Central Utah. - "Journ. Paleontol.", 1958, vol. 32, N 5, p. 796-802.

Zeller D.N. Endothyroid Foraminifera and ancestral fusulinids from the type Chesteran (Upper Mississippian). - "Journ. Paleontol.", 1953, vol. 27, p. 183-199.

Zeller E.J. Mississippian Endothyroid Foraminifera from the cordilleran geosyncline. - "Journ. Paleontol.", 1957, vol. 31, N 4, p. 679-704.

## ПРИЛОЖЕНИЕ

### ОПИСАНИЕ ОСНОВНЫХ РАЗРЕЗОВ НИЖНЕКАМЕННОУГОЛЬНЫХ ОТЛОЖЕНИЙ СИБИРСКОЙ ПЛАТФОРМЫ

#### ДОЛИНА р. БРУС

Среднепалеозойские отложения бассейна р. Брус, выходящие на дневную поверхность в районе  $\cup$ -образной излучины реки, представлены ломской свитой верхнего девона, ханельбиринским горизонтом, а выше по реке - брусской свитой нижнего карбона.

#### ТУРНЕЙСКИЙ ЯРУС

Верхняя часть ломской свиты, подстилающей нижнекаменноугольные отложения, сложена доломитами известковыми, тонкозернистыми, серыми и светло-серыми с тонкой горизонтально-волнистой слоистостью, местами брекчированными, с редкими линзовидными прослойками "узловатых" разностей мощностью до 0,2 м. По трещинам отмечены кальцит, кварц, пирит, модная зелень, гидроокислы железа. "Узловатое" строение отдельных прослоев обусловлено лучистыми сростками новообразованного актинолита. Видимая мощность выхода 3 м. Выше задерновано примерно 10-15 м разреза по мощности. Затем в береговом обрыве выходят доломиты известковые тонко- и мелкозернистые серые, плитчатые, горизонтально-волнисто-слоистые, изредка со стилолитовыми швами. По трещинам, стилолитовым швам отмечены пирит и кальцит. В виде гнезд до 3 см в диаметре встречаются скопления кальцита и магнезиальных силикатов (тальк, сепиолит). Доломитовые кристаллы имеют идиоморфные очертания, кальцитовые - резко ксеноморфны. Иногда наблюдается пойкилитовое прорастание кальцитовых кристаллов доломитовыми. Кристаллы доломита часто имеют зональное строение, при этом внутренняя часть мутная, а наружная кайма чистая, без включений. Мощность пачки 6 м. Залегающие выше отложения отнесены ктурне и представлены снизу вверх следующими разностями.

1. Брекчия, сложенная беспорядочно ориентированными обломками белых, серовато-, розовато- и зеленовато-белых карбонатных пород, белых, серых и темно-серых кремней, зеленовато-серых аргиллитов. Размер обломков от 1 до 10 см. Заполняющая масса имеет в общем глинисто-карбонатный состав. Микроскопическое изучение обломочного материала позволило выделить среди карбонатных пород следующие разности: доломиты известковистые криптокристаллические, доломиты известковистые органогенно-детритовые, известняки органогенно-обломочные, иногда с включениями кремней бурого цвета; известняки доломитовые, глинистые и редко алевритистые разности этих пород. Иногда карбонаты инъецированы микрозернистым кремнем. Обломки аргиллитов сложены однородной волокнистой (волокна одноправлены) гидрослюдой, иногда с включениями зерен карбоната "лапчатой" формы с мозаичным погасанием и обломков кварца крупно-среднепесчаной раз-

мерности. Заполняющая масса в большинстве случаев известково-алевритово-глинистая. Породы окремнены. Характерны, кроме того, многочисленные новообразования скалолита до 0,5 мм (иногда скалолитовые ромбовидные кристаллы замещаются частично или до полных псевдоморфоз железистыми хлоритами, по спайности в них развивается карбонат), кварц (до 0,1 мм), актинолит. Рудные минералы представлены гематитом, пиритом, ильменитом, частично разложенным с образованием лейкоксена и гидрогематита. Наличие обломков органогенно-обломочных известняков обусловливает проведение нижней границы ханельбиринского горизонта в основании описываемой брекции. Мощность брекции 0,9-1 м.

2. Доломиты слабоизвестковистые, разнозернистые (от тонко- до мелкоизвестковистых) серого цвета, грубоплитчатые, с тонкой горизонтальной и волнистой слоистостью, собранной в пачки по 1-2 см, повторяющиеся через 5-6 см. Встречаются следы пойкилитовой структуры, причем от крупных монохристаллов кальцита, включающих зерна доломита, остаются только реликты. Присутствуют идиоморфные зерна гематита, по трещинам и редким стилолитовым швам — пирит, гидроокислы железа. Мощность 2,7 м.

3. Брекция мелкообломочная (величина обломков 1-2 см), бурого цвета, окремненная. Обломки представлены доломитами известковыми алеврито-глинистыми, известняками глинисто-алевритовыми, аргиллитами известковыми. Все разности окремнены. Кремнистый материал присутствует в виде линз, прожилков, пропитывает карбонатную массу. Алевритовая примесь представлена кварцем, глинистая составляющая — желтовато-бурой гидрослюдой, однородной, волокнистой. Широко развиты вторичные новообразования. В карбонатных, свободных от глинистой примеси, участках часто встречаются ромбические кристаллы скалолита, актинолит, к алеврито-глинистым разностям приурочены идиоморфные зерна аутигенного кварца до 1-2 мм. Кристаллы скалолита замещаются частично или полностью карбонатным материалом, так что сохраняются обычно лишь реликты кристаллов, по периметру которых развивается актинолит. Последний зачастую хлоритизирован. Отмечены многочисленные неправильной формы скопления гидроокислов и окислов железа, местами породы пропитаны железистыми гидроокислами, в них присутствует лейкоксен. Мощность брекции 0,3-0,5 м.

4. Известняки органогенно-обломочные, изредка, особенно в нижней части пачки, доломитистые и доломитовые, темно-серого цвета, средне-, мелкоизернистые, с черными кремнистыми стяжениями. Характерен запах сероводорода. Органические остатки (иглокожие кораллы, фораминиферы *Earlandia* sp., *Glomospiranella* sp., водоросли *Kataena* sp., так же как и мелкий ракушняковый детрит, приурочены к отдельным линзовидным прослойям мощностью от 2-3 до 10-20 см, повторяющимся через 0,5-1 м. Иногда известняки распадаются на плитки, что обусловлено присутствием прослоев слабоглинистых разностей. Местами видна тонкая горизонтально-волнистая слоистость. Кремни черного цвета образуют линзовидные или "лапчатой" формы выделения площадью в разрезе от 1x5 до 5x15 см<sup>2</sup>. Горизонты, обогащенные черными кремнями, повторяются в разрезе через 0,8-1 м. Изредка отмечаются стяжения белых кремней диаметром 1-3 см. Иногда эти конкреции имеют более сложный состав: снаружи — кремень типа халцедона, местами почти опаловидный, внутри — крупнокристаллический кальцит. В 5 м ниже верхней границы пачки прослеживается прослой мощностью 0,5 м известняков, резко обогащенных стяжениями черных кремней неправильной формы, составляющих до 50-60% объема породы. Несколько выше по разрезу расположен 10-сантиметровый прослой светло-се-

рого кремния, заметно брекчированного. Прослой имеет ясно выраженное четковидное строение.

Микроскопическое изучение пород показало, что наряду с остатками фауны, сложенными карбонатными минералами (в основном кальцитом), в значительном количестве присутствуют также остатки кремневых организмов, в частности шестилучевых губок. Иногда кремневые скелеты замещаются кальцитом. Продольные срезы губок имеют следующее строение: в канале находится кальцит, средняя часть выполнена прозрачным кремнем, а наружная оболочка — бурым кремнем. Широко развиты вторичные процессы. Известняки в большинстве случаев мраморизованы, на контактах зерен иногда отмечается грануляция. Развиты пойкилитовые структуры, в доломитовых известняках ромбовидные кристаллы доломита образуют вrostки в более крупных изометрических кристаллах кальцита. Встречаются участки, обогащенные аутигенным кварцем в виде идиоморфных кристаллов до 0,1-0,2 мм по длине оси, изредка отмечаются аутигенные зерна альбита до 0,05 мм.

Во всей пачке, особенно в ее верхней части, много новообразований скалолита в виде характерных ромбовидных кристаллов до 5 мм, зачастую замещенных глинистым материалом типа гидрослюды. Для пород этой пачки весьма характерным вторичным процессом является развитие магнезиальных алюмосиликатов. Все обломки кремневых скелетов в той или иной степени (а нередко и на цело) замещены тальком, при этом чаще всего замещаются наружные зоны. Тальк присутствует на контактах конкреций, а также кремнистых и карбонатных обломков фауны с вмещающей породой, в интерстициях между карбонатными зернами замещает кремнистый материал конкреций, кроме того, его удлиненные (до 3 мм) кристаллы пронизывают карбонатную массу, образуя иногда подобие "войлочной" структуры. В конкрециях кроме талька встречены амфиболы типа актинолита, пирофиллит, скалолит. Отмечены включения зерен пирита. Изредка встречаются микропротоспилиты (до 1 мм) кремня, к которым приурочены скопления титансодержащих минералов. В зальбандах присутствуют минералы амфиболовой группы (типа tremolита). Послойный отбор фауны нами не производился. По данным В.С. Голубкова и др. (1962 г.), в этих отложениях присутствуют остатки многочисленных брахиопод *Schizophoria resupinata* (Mart.), *Chonetes hardrensis* (Phill.), *Camorotoechia* sp., *Spirifer tornacensis* Kon., *S. taidonensis* Tolm., *S. mediocris* Tolm., *S. ex gr. tornacensis* Kon., *Syringothyris hannibaleensis* (Sw.), *Eomartiniopsis aff. tscherepeti* Sok., *Athyris* sp., *Dielasma* sp., рицихонелид, кораллов (ругоз и сирингопорид), мшанок, трилобитов, крионидей.

Мощность описанных пород 40 м.

Общая мощность турнейских отложений в разрезе р. Брус составляет примерно 50 м.

## ВИЗЕЙСКИЙ ЯРУС

Брусская свита. Наиболее полный разрез брусской свиты наблюдается на правобережье р. Брус, в 3,5 км выше по течению от последних обнажений турнейских известняков. Здесь сверху вниз в береговом обрыве на дневную поверхность выходят следующие породы.

1. Алевролиты средне-, мелкоизернистые и известняки алевритовые светлого зелено-серого цвета. Породы несколько раздроблены и смеше-

ны по склону, так что точно установить их взаимоотношения представляется затруднительным. Все разности сильно изменены вторичными процессами. Карбонатный материал перекристаллизован, цемент алевролитов замещен амфиболами типа tremolita - актинолита, придающими породам характерный зеленоватый оттенок. Кроме того, присутствуют кальцит и скопления мелких титанистых минералов. Обломочный материал представлен кварцем, кремиями, полевыми шпатами, главным образом плагиоклазами. Кварцево-кремнистые обломки составляют до 60% породы, полевые шпаты - около 40%. Обращает на себя внимание обилие резко удлиненных зерен плагиоклазов: соотношение ширины и длины иногда 1:10. Обломки плагиоклазов бурые, часто имеют регенерационные каемки, зерна кварца корродированы кальцитом и актинолитом. Мощность 0,7-0,8 м.

2. Алевролиты ороговикованные, мелкозернистые, зеленовато-серые, прослоями с округлыми более темными пятнами диаметром 1-1,5 см. Породы слабоизвестковисты. По трещинам - дendirитовидные сростки кристаллов гидроокислов марганца, цеолитов. Обломки представлены теми же минералами, что и в нижележащей пачке. Отмечено значительное количество аутигенных резко удлиненных кристаллов плагиоклазов. Кварцевые зерна местами регенерированы, обломочные плагиоклазы также. Цемент вторичный, сложен бурой полевошпатовой массой, амфиболами типа актинолита - tremolita с крупными (до 0,5 мм) скоплениями титансодержащих минералов, присутствует также в виде гнезд крупнокристаллический кальцит. Мощность 6,8-7,0 м.

3. Перемежающиеся песчаники мелкозернистые и алевролиты мелко-среднезернистые, ороговикованные, светлого зеленовато-серого цвета, слабокарбонатные. Обломочный состав аналогичен вышеописанному. Соотношение кварцево-кремнистых и полевошпатовых обломков примерно 1:1. Состав вторичных минералов тот же, что и в нижележащих породах. Однако в этой пачке есть некоторые отличия: амфиболы и кальцит образуют крупные монокристаллы - до 1-1,5 мм. По полевым шпатам часто развивается актинолит, иногда полностью замещая зерно, в то время как регенерационные каемки остаются чистыми. Мощность 4,0-4,2 м.

4. Алевролиты глинистые, мелкозернистые, микрослоистые, ороговикованные, местами переходящие в роговики. Глинистый материал образует микрослойки часто линзовидной формы, иногда породу в шлифе можно назвать из-за обилия глинистого материала аргиллитом алевритовым. Глинистая составляющая замещена амфиболами, хлоритом, полевошпатовой массой. Роговики представлены смесью бурых полевых шпатов, актинолита, эпидота, кальцита. Местами можно наблюдать пойкилитовое прорастание крупных кристаллов амфиболя или редко кальцита мелкими кристалликами эпидота. Полевошпатово-амфиболовые роговики содержат значительное количество сгустков лейкоксенитированных титанистых минералов. В верхней части пачки породы инъецированы по трещинам и микротрещинам (мощность горизонта 0,5 м) кварцевым материалом в виде мелких идиоморфных кристалликов, инкрустирующих стекки. Мощность 5,0-5,2 м.

5. Песчаники мелко-среднезернистые, светло-зеленые, с тонкой горизонтальной волнистой слоистостью. Примерный состав обломочного материала: кварц - 39%, полевые шпаты - 60, обломки кремнистых пород - 1%. Цемент-контактovo-порового типа, вторичный, сложен tremolитом, кальцитом, кристаллы которых достигают 1 мм. По темноцветным развивается хлорит. Тонкие прожилки (до 0,5 мм) и микротрещинки в зернах кварца и полевых шпатов залечены кварцем. Присутствуют спорадически кристаллы окисленного пирита. Мощность 1,0-1,1 м.

6. Аргиллиты алевритистые, зелено-серые, микрослоистые, с многочисленными включениями темно-серого цвета в виде округлых, овальных и неправильной формы образований до 3 см в диаметре. "Горошины" при выветривании высвобождаются из породы. Этот горизонт мощностью 1,5-1,6 м может служить маркирующим. Выше по разрезу следует 25-30 см однородных алевритистых аргиллитов, затем еще один горизонт "горошчатых" мощностью 30 см. Микрослоистость обусловлена неравномерным распределением глинистого и алевритового компонентов. Слойки (до 0,8 мм) прослеживаются и во вмещающей породе и в "горошинах", т.е. их происхождение явно постседиментационное. Обломки мелко-крупноалевритовой размерности представлены кварцем и полевыми шпатами. Глинистая составляющая замещена амфиболами типа актинолита - tremolita (часто хлоритизированными) с включениями лейкоксенитированных титансодержащих минералов. Встречаются кристаллы кальцита. "Горошины" отличаются по составу от вмещающей породы более значительным количеством новообразований полевых шпатов и кальцита, образующих гнезда до 1 мм. Присутствуют неправильной формы скопления зерен пирита, пятна гидроокислов железа. Мощность 3,5-3,7 м.

7. Известняки песчано-алевритовые, тонкослоистые, зелено-серые. Слоистость горизонтально-волнистая, очень пологая. Известняк микрозернистый, алевритовый, с прослойками до 5 мм среднезернистого песчаника с порово-контактовым кальцитовым цементом. Состав обломочного материала: кварц - 55%; кремнистые породы - 3, полевые шпаты - 42%. Встречаются единичные обломки решетчатого микроклина, пертита. Вторичные процессы, явно выраженные в песчаных прослойках значительным развитием конформных и инкорпорационных, реже пойкилитовых структур, амфиболизацией цемента, замещением полевых шпатов кальцитом, tremolитом, коррозией кварца, в известково-алевритовых прослоях затухают. В самых нижних горизонтах пачки определены остатки фораминифер плохой сохранности. Мощность 2,5-2,6 м.

8. Переслаивающиеся песчаники мелко-среднезернистые и алевролиты среднезернистые светлого зеленовато-серого цвета с вторичным кальцитом-амфиболовым цементом. Породы тонкогоризонтальнослоисты. Иногда наблюдается пятнистость отдельных разностей, но она выражена слабее, чем в маркирующем горизонте. Обломки представлены кварцем, кремиями, полевыми шпатами (плагиоклаз, решетчатый микроклин). Полевошпатовые и кварцево-кремнистые обломки присутствуют в примерно равных количествах. Отмечены аутигенные полевые шпаты. Мощность 6,5-7,0 м.

Далее разрез задернован на расстоянии примерно 230 м. Выше залегают черные листоватые углистые аргиллиты катской свиты. На этом расстоянии наблюдаются отдельные выходы глыбовых развалов. Отобранные из развалов шлифы пород позволили охарактеризовать состав этих глыбовых скоплений.

В 50-70 м от последних коренных выходов брусской свиты обнаружены глыбы своеобразных песчаников, сложенных обломками кварца, полевых шпатов (плагиоклаз, микроклин), кварцитов, пертита, а также мелко- или криптокристаллических известняков, и известковых овальной формы образований - "глобулей" и оолитов размером 0,2-0,8 мм. Иногда в них содержатся остатки фауны. Цемент пород обычно кальцитово-амфиболовый. Амфиболы замещают частично обломки минералов и пород, а также оолиты. Имеются также новообразованные кристаллы кварца, кислых плагиоклазов. Появляются также новообразованные кристаллы кварца, кислых плагиоклазов.

речья Нижней и Подкаменной Тунгуски – "джалтулинские песчаники". Кроме того, в этих свалах присутствуют глыбы известняков микро- и криптоzemистых, алевритовых. В таких разностях вторичное минералообразование подавлено.

Далее (160–180 м от последних коренных обнажений), в глыбовых развалих, обнаружены породы, аналогичные описанным выше "джалтулинским" песчаникам, алевролиты среднезернистые с кальцитовым цементом и многочисленными новообразованиями амфиболов, превалируют же глыбы крипто- или микрозернистых алевритовых и алевритистых известняков.

Общая видимая мощность бруссской свиты 30,0–32,0 м.

#### ДОЛИНА Р. ФОКИНА

#### ТУРНЕЙСКИЙ ЯРУС

В основании разреза залегает известняковая брекчия, обломки которой скементированы ангидритом. Известняки обычно перекристаллизованные, грубо и крупнозернистые с неравномерно рассеянными или образующими небольшие скопления зернами метасоматических гранатов размером до 0,1 мм. Мощность этого слоя 3 м.

Выше залегают серые и светло-серые в основном органогенные и органогенно-детритовые известняки, содержащие в основании и кровле пачки, линзы и неправильной формы включения желтовато-, реже темно-серых кремней. Размеры линз достигают в длину 30 см при высоте около 5 см. Сохранность фаунистических остатков в основном хорошая. Локализуются они обычно в виде тонких (1–2 см) прослоев. Мощность пачки 8 м.

Следующая пачка сложена равномерно чередующимися темно-серыми известняками с линзами кремней и прослоями (до 10 см) органогенных известняков.

Отдельные фаунистические остатки замещены халцедоном. В этой пачке кроме органогенных разностей выделяются органогенно-детритовые, полидетритовые, органогенно-обломочные, водорослевые, псевдооблитовые и разнозернистые, иногда глинистые, известняки. Детритовый материал мелкий и крупный. В основании это более или менее перекристаллизованные остатки мшанок, иглокожих, брахиопод, крионидей и кораллов. Мощность пачки 24 м.

В известняках описанной части разреза (35 м) определены остатки брахиопод *Fusella ussiensis* (Tolm.), кораллов *Syringopora ramosa* Goldf., фораминифер *Vicinesphaera squalida* Antrop., *V. angulata* Antrop., *Chernyshinella* (?) sp., *C. cf. minima* (Lip.), *Glomospiranella* cf. *glebovskayae* Dain, *Brunzia* sp., *Septabrunsiina* sp., *Septatournayella* cf. *segmentata* Dain, *Tournayella* cf. *subangulata* Moell., *T. discoidea* Dain, *T. discoidea* Dain forma maxima, *Endothyra* cf. *tuberculata* var. *magna* Lip., *E. inflata* Lip., *E. tuberculata* Lip., *E. cf. kosvensis* Lip., *E. cf. grata* Voiz., *E. persimilis* Malakh., *E. juncta* Voiz., *E. cf. tenuiseptata* Lip., *E. cf. menneri* Bog. et Yuf., *E. prisca kirgisana* Raus., *Flectogyrina* aff. *somichaensis* Leb., *Planocendothyra* *compta* Schlyk., *P. rotai* Dain. Венчает разрез пачка (7 м) светло-серых известняков с остатками *Spirifer enisseicus* Lap.

#### ВИЗЕЙСКИЙ ЯРУС

Тундринская свита. Начинается разрез пачкой (18 м) доломитов серого и темно-серого цвета, средне- и толстолитчатых. Доломиты характеризуются мелко-, средне- и очень редко крупнозернистой структурой. Обычно они содержат значительную примесь терригенных зерен кварца, кремнистых пород и полевых шпатов, а также примесь глинистого материала. Все обломки в значительной степени корродированы карбонатными минералами. В нижней части доломитовой пачки наблюдается прослой (до 5 м) карбонатной брекции, сложенной обломками микрокристаллического глинистого доломита, скементированными кальцитом с небольшой примесью доломита. Средняя часть доломитовой пачки характеризуется присутствием аутигенных кремней в виде неправильной формы выделений халцедона размером до 0,25–0,5 мм в поперечнике.

В верхней половине описываемой пачки в прослое мелкозернистых глинистых доломитов отмечено присутствие целестина, кристаллы которого выполняют центральные части пор и трещинок, стенки же этих пустот инкрустированы кварцем. Размер пор 0,5–1 мм.

Для указанной карбонатной пачки характерно ритмичное переслаивание описанных выше доломитов (мощность прослоев 0,5–0,6 м) с зеленовато-серыми алевролитами (мощность прослоев 0,1–0,2 м). Обломочная составляющая алевролитов представлена кварцем, кремнистыми породами, полевыми шпатами. Обломки окатаны очень слабо. Полевые шпаты присутствуют в незначительном количестве и сильно изменены вторичными процессами. Глинистая часть представлена гидрослюдами и составляет иногда более половины породы. Таким образом, состав описываемых пород изменяется от алевролитов, глинистых алевролитов до алевритистых аргиллитов.

Расположение обломков в породах зачастую носит облачный характер. Промежутки между скоплениями обломков заняты чистым, лишенным каких бы то ни было примесей аргиллитом. Карбонатная составляющая в породах невелика и представлена кальцитом и доломитом, присутствующими чаще всего в виде изолированных зерен.

Выше залегает пачка (20 м) известняков с прослоями более или менее известковых доломитов, основная часть которых концентрируется в нижней части пачки. В разрезе преобладают мелкозернистые разности известняков, реже наблюдаются микро- и среднезернистые породы, а крупнозернистые встречаются лишь в единичных прослоях. В нижней части пачки имеется прослой (1 м) карбонатной брекции, состоящей из обломков пелитоморфного известняка, скементированных среднезернистым известняком. Терригенная примесь в известняках присутствует в незначительном количестве и представлена обломками кварца и реже полевых шпатов мелко- и среднезернистой размерности. Известняки, так же как и доломиты нижней пачки, ритмично переслаиваются с алевролитами и алевритистыми аргиллитами. Характеристика последних аналогична вышеизложенной.

В нижней части пачки известняки содержат линзы кремней. Отмечено, что кремень пропитывает породу, образуя в ней неправильной формы выделения и замещая кристаллы карбоната. Там, где известняк имеет пелитоморфное строение, пропитывающий его кремень характеризуется той же структурой. Встречаются кристаллки аутигенного кварца и альбита, а также регенерированные зерна кварца.

В верхней половине пачки отмечен прослой (2 м) известняка, обогашенного альбитом. Здесь же залегают линзы (1 × 0,5 м<sup>2</sup>) кварцитополи-

добных гравелитов, сложенных обломками кварца и кремней, сцепттированных халцедоном, а также прослой (0,2 м) среднезернистого кварцевого песчаника.

Кровля разреза представлена известняком, содержащим большое количество караваеобразных халцедоновых конкреций размером до 1 м по длиной оси.

Все породы тундринской свиты содержат пирит в виде мелких кристаллов или их сростков. Пирит рассеян в породах довольно равномерно. В верхней части свиты известняки разбиты многочисленными трещинами, зараженными черным волокнистым арагонитом. В средней части свиты в жеодах и по трещинам в виде тонких (1-2 мм) пленок обнаружен восковидный, белый, волокнистый, пластичный во влажном состоянии пальгогорскит.

Контакт карбонатных пород тундринской свиты с перекрывающими их глинистыми алевролитами тунгусской серии (C<sub>2</sub>-P<sub>2</sub>) в бассейне р. Фокина свидетельствует о некотором размыве бруссской свиты, на что указывает залегающий здесь прослой (0,2 м) конгломерата, сложенного в различной степени окатанной галькой более или менее окремненного известняка и кремня.

Общая мощность тундринской свиты 38 м.

#### ВОСТОЧНО - ПЯСИНСКАЯ ПЛОЩАДЬ

На восточном побережье оз. Пясино нижнекаменноугольные отложения вскрыты буровыми скважинами в междуречье Дъянги - Тулаек-Тасс. Полностью разрез ни одной из скважин не вскрыт, но по имеющемуся керновому материалу строение его устанавливается достаточно четко.

#### ТУРНЕЙСКИЙ ЯРУС

Различные горизонты турнейской толщи вскрыты скважинами T-15, T-158, T-161, T-173, T-176, T-185, T-191 и T-192. Залегают турнейские отложения на незначительно размытой поверхности фокинской свиты верхнего девона.

В основании разреза прослеживается пласт (до 3,5 м) известняковой брекции. Выше наблюдаются серые, светло- и темно-серые средне- и мелкозернистые органогенные и органогенно-обломочные известняки с желваками темно-серых кремней. Мощность пачки около 30 м. В нижней ее части Н.Н. Лапиной определены остатки брахиопод *Schellwienella burlingtonensis* Well., *Spirifer ussiensis* Tolm., *Athyris communis* Tolm., *Rugosochonetes hardrensis* (Phill.), *Eomartiniopsis tscherepeti* Sok., характерные для тайдонского горизонта Кузбасса.

Обнаружены в породах этой пачки также многочисленные остатки фораминифер *Eovolutina?* sp., *Neoarchaesphaera aff. radiata* M.-Maclay, *Vicinesphaera* sp., *Parathurammina* sp., *Eotuberitina* sp., *Tournayella* cf. *discoidea* Dain, *Septatournayella?* sp., *Septabrunsiira krainica* (Lip.), *S. aff. krainica* (Lip.), *S. minuta* Lip., *S. aff. minuta* Lip., *Septaglomospiranella grozdilovae* Pojark., *S. primaeva* (Raus.) var. *kazakhstanica* Reitl., *S. cf. endothyroides* var. *quadriloba* (Dain), *Chernyshinella cf. gelida* Durk., *C. ex gr. glomiformis* (Lip.), *Eotournayella?* sp., *Tournayellina beata* (Malakh.), *Palaeospiroplectammina cf. tschernyshensis* Lip., *Endothyra cf. latispiralis* Lip., *E. ptisca kirgisana* Raus., *E. cf. tenuiseptata* Lip., *E. cf. comi* Durk., *E. declica* Durk., *Eoendothyranopsis?* *transita* (Lip.) var. *minima* (Voiz.).

Следующую пачку (около 20 м) слагают серые и темно-серые в ряде случаев обломочные известняки с желваками голубовато-серых и черных кремней. Отдельные прослои содержат многочисленные жеоды белого кальцита с флюоритовой минерализацией. По всему разрезу отмечаются маломощные прослои известняковых песчаников, обломочный материал которых цементируется кристаллически-тонкозернистым доломитом.

Среди микропалеонтологических остатков в известняках определены фораминиферы *Archaeosphaera* sp., *Vicinesphaera squalida* Antrop., *Rauserina?* sp., *Earlandia?* sp., *Neoseptaglomospiranella* sp., *Chernyshinella ex gr. tumulosa* Lip., *Endothyra* sp., *Eoendothyranopsis* sp., *Planoendothyra?* sp.

#### ВИЗЕЙСКИЙ ЯРУС

Тундринская свита устанавливается по керну скважины T-151, где могут быть выделены следующие пачки.

Начинает разрез пачка (45 м) переслаивающихся серых и зеленовато-серых изредка известковистых доломитов и голубовато-серых ангидритов. Мощности отдельных прослоев 0,2-0,3 м. Доломиты тонко-микрозернистые. Среди них наблюдаются брекчированные разности, а также включения обломочного карбонатного материала песчаной и гравийной размерности. В строении средней пачки заметную роль играют мергели.

Вторая пачка (36 м) сложена пестроцветными (преимущественно красно-бурыми) мергелями, импрегнированными ангидритом. Последний иногда образует линзы и отдельные прослои. В ангидритах широко развиты включения кремней, имеющих сферолитовое строение. Сложенное мелкозернистым квартцем кремневое вещество содержит отдельные кристаллики бесцветного или светло-фиолетового флюорита размером до 1 мм по граням. В верхней части пачки наблюдаются прослои грубозернистых известняков, известняко-во-доломитовых и доломитовых песчаников. Округлые песчинки карбонатного вещества размером до 1,1 мм цементируются гидрослюдисто-хлоритовой с примесью кальцита массой. Тип цементации поровый.

Верхнюю пачку (53 м) слагают переслаивающиеся серые и зеленовато-серые известковые мергели, известняки и доломиты. В нижней части пачки в прослоях тонкозернистого глинисто-алевритистого доломита отмечаются рассеянные или концентрирующиеся в розетки кристаллы (0,5-1 мм по длиной оси) целестина. По всей пачке и практически во всех типах пород наблюдаются желваки кремней. Кремни имеют сферолитовое строение и слагаются мелкозернистым квартцем, содержащим выделения кристаллического бесцветного и светло-фиолетового флюорита, с четкими линиями спайности по двум направлениям.

Выше залегают угленосные отложения верхнего палеозоя.

#### ДОЛИНА Р. КУРЕЙКИ

#### ТУРНЕЙСКИЙ ЯРУС

##### Ханельбириинский горизонт

Обнажения пород турнейского яруса расположены в береговых обрывах. Курейки в 1,5 км ниже по течению от Курейского рудника. Они залегают

ют на породах ломской свиты верхнего девона, сложенной переслаивающимися глинистыми доломитами, аргиллитами алевритовыми и мелкозернистыми алевролитами с глинисто-доломитовым цементом, и представлены следующими породами (снизу вверх):

1. Известняки серые, массивные, тонкозернистые, глинистые, с линзовидными прослойками (от 2-3 до 7-10 см) узловатых кремнистых разностей. Узловатые известняки также в той или иной степени глинистые, на выветрелой поверхности покрыты гидроокисями марганца и железа. Глинистый материал образует в известняках прожилки, гнезда, линзовидные выделения диаметром до 0,5 мм. К ним часто приурочены скопления мелких (до 0,3 мм) зерен пирита. В узловатых разностях присутствует значительное количество аутигенного кварца крупнопесчаной и гравийной размерности. Кристаллы сильно корродированы кальцитом, местами разделены им на несколько частей. Эти же участки зачастую обогащены и пиритом. Описанная пачка глинистых известняков отличается от типичных турийских известняков, залегающих выше по разрезу, неравномерностью состава, линзовидным пересланием массивных и узловатых разностей, ожелезнением и омарганизеванием выветрелых поверхностей. Мощность пачки 90-95 см.

2. Известняки доломитовые, органогенно-обломочные, тонкозернистые, темно-серые, скрытослоистые (на выветрелой поверхности видна тонкая горизонтальная и волнистая слоистость), с линзами и линзовидными прослойками (до 0,2 м) ракушняково-детритовых известняков. Обломки раковин беспозвоночных сложены кальцитом. Местами кристаллы кальцита замещаются более мелкими ромбовидными кристаллами доломита, так что довольно широкое распространение в породе имеют пойкилитовые структуры. По данным В.С. Голубкова, А.И. Атласова, Г.Н. Гроздиловой (1962 г.), в этой пачке найдены брахиоподы *Schizophoria cf. resupinata* (Mart.), *Chonetes cf. hardrensis* (Phill.), *Chonetes* sp., *Camarotoechia cf. acutirugata* (Con.), *Spirifer cf. tornacensis* Kon., *S. ex gr. tornacensis* Kon., *Eomartiniopsis* sp., *Athyris cf. lamellosa* L. et Ev., *Athyris* sp., остатки криноидей, одиночных кораллов и трилобитов. Мощность пачки 2,8 м.

3. Известняки доломитовые и доломитистые, органогенно-обломочные, слабоглинистые в нижней части, тонкозернистые темно-серые с линзами ракушняково-детритовых мелкозернистых известняков. Мощность линз возрастает по сравнению с вышележащей пачкой до 0,5 м; ракушняковый детрит становится более крупным. Отдельные обломки раковин рассеяны по всей толще. Породы массивные, лишь в нижней части пачки — тонкоплитчатые. В верхней части хорошо выражены повторяющиеся через 2-3 см стилолитовые швы. Органогенные фрагменты выполнены кальцитом, реже кремнистым или кремнисто-кальцитовым материалом, включают россыпь идиоморфных микрокристаллов доломита. В породе точечные включения пирита. Этот минерал также часто подчеркивает стилолитовые швы. Характерны единичные включения актинолита, лучистые сростки которого местами инкрustируют органические остатки. Мощность пачки 4,1 м. Породы содержат остатки брахиопод *Spirifer ex gr. tornacensis* Kon., *Chonetes cf. znamenskensis* Sok. и кораллов.

4. Переслаивающиеся тонко- или мелкозернистые и органогенно-обломочные известняки в разной степени доломитовые, содержащие конкреционные кремнисто-карbonатные образования. Толщина прослоев 0,2-0,5 м. Микрозернистые известняки темно-серые среднеплитчатые с многочисленными (через 2-3 см) стилолитовыми швами. В средней части слоев отмеча-

ется обычно один или несколько прослоев (до 8 см) органогенно-обломочных мелко- или среднезернистых известняков. Эти прослои залегают на нижележащих известняках с резким контактом, а затем вверх по разрезу идет постепенное уменьшение зернистости до появления микрозернистых известняков с единичными остатками фауны.

Конкремионные разности представляют собой сложные образования, состоящие из концентрически-скрлуповатых овально-округлых кремнисто-карбонатных (в основном) конкреций (1-10 см в поперечнике), покрытых с поверхности белыми корками фарфоровидного облика и "погруженных" в темно-серую микрозернистую карбонатную массу, "обтекающую" конкреции, расположенные в основном уплощенными сторонами по напластованию. На горизонтальной поверхности эти образования имеют дендритовидную разветвленную форму.

Среди конкреционных образований выделяются сложенные в центральной части кремнистым материалом и магнезиальными силикатами. Между этими крайними членами есть целый ряд переходных форм, когда в центральной части конкреций в разных соотношениях присутствует и тот и другой компонент. Все разности в своем составе содержат кальцит и доломит. Микроскопическое изучение показало, что первоначально состав конкреций был кремнистым или кремнисто-карбонатным. В некоторых из них сохранились следы органической природы кремнистого материала в виде многочисленных спикул губок (спонголит). Каналы в них выполнены темным органическим веществом, образующим также в породе многочисленные густки неправильной формы с перекими краями. Некоторые густки замещены пиритом. Вмещающие известняки также зачастую содержат спикулы губок. Иногда спикулы выполнены одновременно кремнистым и карбонатным материалами. Кроме того, встречаются стяжения кремнистого состава в виде узких линз, местами прерывающихся. Часто кремнистый материал замещен карбонатным, так что иногда от кремния остается "решето". Характерна инкрустация кремнистых образований, а иногда почти полное замещение их тальком, амфиболами. Так образуются концентрически-скрлуповатые конкреционные образования, в которых отдельные оболочки сложены кальцитом, доломитом, магнезиальным кальцитом, тальком, амфиболами. Толщина оболочек изменяется от 1 до 6-10 мм. Иногда наблюдается инкрустация спицовидными сростками актинолита органических остатков. К этой пачке пород приурочены прожилки сениолита мощностью от 1,5-2 до 8 см. Все эти образования имеют, по-видимому, гидротермальную природу и связаны с внедрением интузий основного состава. В органогенно-обломочных разностях, по данным В.С. Голубкова и других, содержатся брахиоподы *Spirifer tornacensis* Kon., *Chonetes* sp., *Camarotoechia* sp., *Torynifer pseudolineatus* (Hall), *Athyris* sp. Мощность 1,5-5 м.

#### Серебрянский горизонт

1. Известняки, местами доломитовые, тонко-микрозернистые, мраморизованные (светло-серые до белого), массивные, с прослойками (до 0,2 м) органогенно-обломочных мелкозернистых. По всей пачке спорадически встречаются остатки фауны. Отмечены стяжения кремней бурого цвета (до 0,15 м), в той или иной степени замещенные карбонатами. В породе четко видны стилолитовые швы с черным налетом органического вещества на плоскостях. Верхняя часть слоя (9,0 м) представлена в основном белыми сахаровидными перекристаллизованными известняками. Мощность 15-16 м.

Выше по разрезу залегает слабосекущая пластовая интрузия или осадочные брекчии основания тундриинской свиты.

Общая мощность турнейских отложений 40,4 м.

## ВИЗЕЙСКИЙ ЯРУС

Тундриинская свита. 1. Конгломерато-брекчия, состоящая из обломков известняков серых и светло-серых, микрозернистых или пелитоморфных, изредка глинистых и в разной степени алевритистых, окремненных. Заполняющей массой служит глинисто-гематито-кремнистая алевритовая криптокристаллическая масса. Первоначально это был, по-видимому, красноцветный алевритистый аргиллит, превращенный в процессе вторичного окремнения в апоаргиллитовый силицит. Размер обломков 0,05–1,0 м по длиной оси, в среднем 0,2–0,4 × 0,1–0,2 м<sup>2</sup>. Обломки имеют субпараллельную ориентировку. Такая ориентировка, а также "струйчатая" текстура заполняющей массы позволяют предположить, что обломки известняков попали в полужидкий глинистый осадок, движущийся по склону. Нужно отметить брекчиевидность самих известняков, что хорошо видно на выветрелых поверхностях обломков. Контакты обломков с вмещающей массой весьма различны: от резких до постепенных. Окремнение носит явно вторичный, наложенный характер, о чем свидетельствует кроме сильного равномерного окремнения всей массы породы также "амбообразная" форма кремней. В обнажении хорошо прослеживается изменение красных цветов глинисто-кремнистой массы вдоль трещин и вблизи контактов на зеленоцветные.

Алевритовая примесь в виде обломков кварца присутствует как в известняках, так и в заполняющей массе аргиллита. Кроме того, встречаются единичные обломки (до 1 мм) вулканогенных пород, возможно туфов. Вся порода пронизана лучистыми сростками амфиболов типа актинолита – тремолита, часто встречаются новообразования эпидота – клиноцизита, образующие неправильной формы скопления и линзы до 0,8–1 мм, а также кристаллы (до 1,0 мм) кордиерита с характерным секториальным погасанием, включения лейкоксена в виде мелких, неправильной формы сгустков. Местами встречаются образования типа миндалин (до 0,5 мм), выполненные кварцем, крустифицирующим стенки, эпидотом, кальцитом, амфиболами. Иногда наблюдаются кристаллы аутигенного кварца (до 0,4 мм) с каемками халцедона.

Мощность пачки изменяется в пределах обнажения от 2,5 до 3,5 м.

2. Известняк брекчированный, зеленовато-серый, микрозернистый, мраморизованный. Заполняющей массой служит красно-коричневый и зеленовато-серый окремненный аргиллит, составляющий 5–10% породы. В средней части пачки присутствует линзовидный прослой известняка мощностью 0,7 м. Вся порода пронизана линзами, линзовидными прослойками, гнездами кремней мощностью до 0,3 м, имеющими иногда причудливую ветвящуюся форму. Цвета кремней – кремовый, красный, зелено-серый. В известняке местами отмечается тонкая волнистая, иногда линзовидная слоистость, подчеркнутая темным глинистым материалом. Микроскопически заполняющая масса представляет собой очень чистый окремненный аргиллит с примесью гематита. Глинистая часть сложена низкодувупреломляющей гидрослюдой и хлоритом. Заметны слабые реликты мелкообломочной структуры глинисто-кремнистой массы, так что не исключена туфогенная природа аргиллита. Отмечены единичные окатанные обломки кварца мелко-, среднеалевритовой размерности. Встречаются гнезда кальцита до 1 мм в диаметре. Мощность 1,7–3,5 м.

3. Брекчия известняка серого, тонкозернистого (величина обломков очень различна: от 0,05 до 1,5 м), погруженная в красноцветный окремненный аргиллит и пронизанная сетью прожилков, линз, гнезд, линзовидных прослоев красных, кремовых, серых кремней. Обломки ориентированы разнообразно. Местами количество глинисто-кремнистого материала преобладает. Известняки и аргиллиты взаимно ассимилируются: аргиллиты иногда известковистые, а известняки приобретают розовый цвет. Изредка встречаются крупные глыбы известняков, "пронизанные" сетью прожилков аргиллита, в основном по напластованию. Вокруг включений кремней окраска аргиллита изменяется на темно-серую. По трещинам развивается кальцит. В глинисто-кремнистой массе присутствуют обломки кварца, редко плагиоклазов мелко- и среднеалевритовой размерности, встречаются аутигенные кристаллики кварца до 0,05 мм. Характерны многочисленные новообразования эпидота и клиноцизита. Мощность 4,0–6,5 м.

4. Известняки серые глинистые (местами до известковых аргиллитов), с прослойми (до 20 см) зеленовато-серых аргиллитов. Породы тонковолнистослоистые, слоистость подчеркивается глинистым материалом. Встречаются желваки кремней желтого цвета до 0,2 м по длиной оси. Породы окремнены, содержат примесь терригенного кварца, редко – полевых шпатов алевритовой размерности. По полевым шпатам развиваются кальцит, серицит. Глинистая составляющая представляет собой низкодувупреломляющую массу гидрослюдисто-хлоритового состава. Характерны многочисленные сгустки лейкоксена. Мощность 1,5 м.

5. Аргиллиты зеленовато-серые, окремненные, с линзами до 5 × 30 см крипто- или микрозернистых серых известняков. В средней части пачки отмечен линзовидный прослой силициллов мощностью 0,3–0,5 м розовато-кремового цвета. Глинистый материал представлен однородной тонковолокнистой гидрослюдой. Терригенная примесь мелкоалевритовой размерности сложена обломками кварца, реже плагиоклазов, кремней. В известняках равномерно распределены многочисленные новообразования эпидота и клиноцизита в виде отдельных кристаллов и их сростков. Мощность 2 м.

6. Переслаивающиеся известняки микро- или криптозернистые и аргиллиты. Породы сероцветные. Мощности прослоев 0,1–0,5 м. Известняки имеют тонкую горизонтальную и волнистую слоистость, подчеркнутую глинистым материалом. В породе широко развиты новообразования минералов группы эпидота – цоизита. В средней части пачки встречен 10-сантиметровый горизонт с остатками остракод и брахиопод плохой сохранности. Мощность 6,5 м.

7. Известняки глинистые, пелитоморфные, зеленовато-серые, ороговиковые. Содержат гнезда до 0,8–1,5 см крупнокристаллического кальцита и хлорита, реже эпидота и цоизита. Присутствуют идиоморфные кристаллы пирита до 0,3 мм. Мощность 3,5 м.

8. Переслаивающиеся аргиллиты известковистые, известняки глинистые, доломиты глинистые и аргиллиты доломитовые. Мощность прослоев до 0,2 м. Породы сероцветные, тонкогоризонтальнослоистые, заметно метаморфизованы. Отдельные разности переходят друг в друга постепенно, иногда линзовидно выклиниваются в пределах обнажения. В средней части пачки выделяется горизонт с гнездами пирита диаметром до 1 см.

Глинистая составляющая сложена чешуйчатой однородной низкодувупреломляющей гидрослюдой, возможно, с примесью хлорита. Алевритовая терригенная примесь представлена кварцем, полевыми шпатами (в основном, плагиоклазами), составляющими до 30% обломков, и кремнями. Присутству-

ют новообразования минералов групп эпидота - цоизита, актинолита - треполита, альбит. Зерна альбита в центральной части содержат нередко карбонатный или глинистый материал.

Породы местами брекчированы, отмечены следы взмучивания осадка. Мощность 9 м.

Общая мощность отложений тундринской свиты 33 м.

Брусская свита. 1. Переслаивающиеся известняки, аргиллиты и их переходные разности. Для пород характерен голубовато-серый цвет, плитчатость (толщина плиток 1-2 см) при почти раковистом изломе, значительное обогащение алевритовым материалом. Всем разностям свойственна неравномерная, но заметная алевритовая примесь кварца и полевых шпатов (главным образом, плагиоклазов), редко кремни. Кварцевые обломки местами корродированы, зерна полевых шпатов несут следы регенерации, иногда по ним развиваются кальцит и доломит. Глинистая составляющая в глинисто-карбонатных разностях представлена тонкочешуйчатой низкодвупреломляющей гидрослюдой, а в алевритовых по ней развиваются актинолит, альбит, изредка кристаллы апатита до 0,1 мм по длиной оси. Отмечены включения пирита до 0,5 мм. Здесь же отмечены сложенные актинолитом выделения в виде пятен округлой формы, которые характерны для отложений брусской свиты р. Брус, где они, обособляясь местами из породы, дают у основания обнажений россыпь "горошков". Мощность 9-10 м.

2. После интрузии долеритов, слабосекущей или лишь раздвинувшей породы брусской свиты, на поверхность выходят переслаивающиеся мелко-, среднезернистые песчаники и алевролиты с глинисто-карбонатным цементом (мощность слоев 1-3 м). Цвет пород зеленовато- или серовато-белый. Известковый материал распределен в породах неравномерно, гнездообразно. Иногда по слоистости отмечаются линзы ( $0,5 \times 3$  см<sup>2</sup>) более известковистых разностей. Породы плитчатые (толщина плиток 2-6 см). Слоистость тоикая горизонтальная, подчеркнутая зеленым глинистым материалом. На поверхностях напластования местами видны знаки ряби, гидроокислы железа и марганца.

Породы в значительной степени метаморфизованы. Обломки представлены кварцем, кремнями, полевыми шпатами (плагиоклазами), встречаются обломки основных - средних эфузивов, изредка - микропегматиты. Кварц и полевые шпаты содержатся в примерно равных количествах. Зерна кварца, так же как и плагиоклазов, зачастую регенерированы. Полевые шпаты мутные, бурые, замещаются кальцитом, актинолитом. Регенерационные каемки обычно прозрачные, свободны от включений.

Цементирующая масса представлена агрегатом мелких кристаллов альбита, актинолита, кальцита. На некоторых участках отмечена пойкилитовая структура, крупные кристаллы кальцита "пронизаны" кристаллами альбита. Альбитовые кристаллы зачастую содержат включения актинолита. В цементе присутствует значительное количество титансодержащих лейкоксенитизированных зерен, мелкие (до 0,05 мм) кристаллики магнетита. Видимая мощность 15 м.

Видимая мощность отложений брусской свиты 25 м.

Общая мощность нижнекаменноугольных отложений в разрезе по р. Курайке 98 м.

## МЕЖДУРЕЧЬЕ НИЖНЕЙ И ПОДКАМЕННОЙ ТУНГУСКИ (бассейны рек Сухой Тунгуски, Фатьянихи и Дельтулы)

Джалтулинская свита впервые выделена И.В. Моисеевым и В.П. Тебеньковым в 1939 г. на р. Дельтуле (правый приток р. Бахты) как переходная толща между морскими карбонатными отложениями среднего девона и угленосной терригенной толщей верхнего палеозоя.

В стратотипическом разрезе на р. Дельтуле джалтулинская свита делится на три пачки (Вааг и др. 1973). Нижняя пачка залегает с размывом на известняках юктинской свиты среднего девона. Она сложена тонкослоистыми кварцевыми и полевошпатово-кварцевыми алевролитами с доломитово-известковым цементом, содержащим примесь глинистого материала. Местами в алевролитах встречаются мелкие прослои доломитовых алевритистых аргиллитов. В основании пачки алевролиты содержат значительную примесь песчаных и гравийных обломков кварца, кремней и карбонатных пород. В верхней половине пачки встречаются тонкие прослойки мелкозернистых песчаников с редкими окатанными обломками известняков, содержащих скелетные остатки. Мощность пачки 10-20 м.

Средняя пачка сложена разнозернистыми песчаниками и алевролитами. Характерная особенность песчаников - обилие в них известковых фрагментов: оолитов и обломков пелитоморфных и разнокристаллических известняков, содержащих остатки брахиопод, иглокожих и фораминифер. Среди последних Е.А. Рейтлингер обнаружила остатки *Endothyra* (?) cf. *taimyrica* Lip. и E. (?) ex gr. *latispiralis* Lip. Вне известняковых обломков встречаются окатанные членники криноидей и остатки игл морских ежей. Отличительной особенностью известковых фрагментов песчаников является их слюснугость, а в отдельных случаях раздавленность на контактах друг с другом или с силикатными зернами. Это создает впечатление, что взламыванию подвергался слаболитифицированный осадок. Цемент песчаников и алевролитов поровый или базальный известковый, корродирующий силикатные зерна. В цементе часто встречаются выделения радиально-лучистого халцедона и мелкие кристаллы пирита. Мощность пачки 15-20 м.

Верхняя пачка обнажена довольно плохо. Для нее характерно частое переслаивание известковых алевроаргиллитов и глинисто-алевритовых, реже песчаных известняков. Слоистость пород тонкая, горизонтальная или волнистая. В породах отмечаются слабое окремнение, выделения пирита и знаки ряби на плоскостях наслаждения. Мощность пачки около 25 м.

Наиболее полный разрез свиты и ее границы с подстилающими и перекрывающими отложениями вскрыты скважинами колонкового бурения на Сигово-Подкаменной площади (бассейн р. Сухой Тунгуски). Джалтулинская свита имеет здесь трехъярусное строение.

Нижняя пачка джалтулинской свиты известково-песчаная. Залегает с размывом на различных слоях среднекаларгонской подсвиты. Пачка сложена разнозернистыми известковыми песчаниками и песчанистыми алевролитами, переслаивающимися с подчиненными маломощными прослойками известковых алевроаргиллитов и песчано-алевритовых известняков. Состав пород настолько характерен, что позволяет выделять отложения нижней пачки, часто называемые "джалтулинскими песчаниками", даже в фрагментарных разрезах и элювиальных развалих. В основании пачки обычно залегает слой (0,5-1,2 м) неотсортированных гравийных песчаников, сложенных окатанными обломками кварца (52-60%), кремней и микрекварцитов (32-38%) и карбонатно-глинистых пород (3-11%). Полевые шпаты иногда присутствуют в

виде полуокатанных, алевритовых зерен в количестве не более 2-3% и представлены выветрелыми кислыми плагиоклазами и калишпатами (микроклиниами). Цемент базальный, известковый, микрокристаллический до пелитоморфного с незначительной (до 5,3%) примесью доломита. В отдельных прослойках количество цемента достигает 53-68% объема, т.е. практически породу можно называть песчаным известняком. Выше по разрезу размерность обломочного материала снижается и улучшается его отсортированность. Среди силикатных обломков также преобладают зерна кварца, кремней, микрокварцитов и халцедонов, встречаются обломки эфузивов, глинистых пород и единичные алевритовые зерна полевых шпатов. Главной особенностью пород является обилие (42-67%) обломков разнокристаллических и пелитоморфных известняков, известковых оолитов и псевдооолитов, внутри которых иногда содержатся остатки брахиопод, иглокожих и фораминифер, среди которых О.И. Богуш были определены *Septaglomospiranella* sp., *S. ex gr. primaeva* Raus., *Chernyshinella tumulosa* Lip., *Earlandia elegans* Raus. et Reitl., *Bisphaera minima* Lip., *Vicinesphaera squalida* Antrop., *V. angulata* Antrop., *Archaesphaera* sp., *Radiosphaera* sp. Часто встречаются окатанные членики криноидей, обломки игл морских ежей и раковин брахиопод. Для карбонатных обломков характерны вдавленность поверхности и сплюснутость песчинок на контактах, которые позволяют считать, что взламыванию и переотложению подвергался еще не полностью литифицированный осадок и возраст содержащихся в обломках остатков организмов близко соответствует возрасту пород. Цемент поровый и базальный известковый, часто корродирующий силикатные, особенно кремневые обломки. В цементе встречаются новообразования радиально-лучистого халцедона и микрокристаллического пирита. В верхних слоях пачки проходит неравномерно-ритмичное уменьшение количества и размерности обломочного материала и появляются прослойки глинисто-известковых пород. В алевритовых разностях обломочный материал представлен угловатыми, имеющими облик кристаллокластики, зернами кварца и полевых шпатов, при этом количество последних возрастает до 12-13%. Мощность пачки 12-13 м.

Средняя пачка известково-глинистая. Нижняя ее часть сложена серыми, темно- и зеленовато-серыми известковистыми и бескарбонатными аргиллитами с редкими мелкими (1-3 см) прослойками алевроаргиллитов. В верхней половине породы имеют более светлую окраску и представлены известковыми алевроаргиллитами, алевролитами и глинисто-алевритистыми известняками. В отдельных разрезах встречаются маломощные (до 0,3 м) прослои известковых туфоалевролитов и витро (?) - кристаллокластических туфлитов. Характерная черта пород пачки - их тонкослоистая (до "ленточной") текстура. Преобладают горизонтальная и волнистая типы слоистости, реже встречаются косоволнистослоистые разности, сопровождающиеся текстурами взмучивания осадка. Иногда в породах отмечаются стилолитовые швы. Мощность пачки 26-34 м.

Верхняя пачка (8,5-28,0 м; преобладают 11-15 м) песчано-алевритовая, сложена серыми и светло-серыми, иногда с зеленоватым оттенком, тонко- и мелкослоистыми известковисто-песчанистыми алевролитами с прослойми (0,05-0,35 м) алевроаргиллитов, разнозернистых песчаников, туфо-алевролитов и туфлитов. Количество и размерность обломочного материала, а также количество вулканокластики неравномерно изменяются по площади. Вверх по разрезу отмечается неравномерно-ритмичное уменьшение количества и размерности обломочного материала, увеличение глинистой составляю-

щей пород и некоторое увеличение примеси вулканокластики. Вещественный состав песчаников в целом сходен с таковым в нижней пачке. Отличием является меньшее количество (14-28%) карбонатных обломков, увеличение содержания обломков эфузивных пород (до 8%) и полевых шпатов, а в известковом цементе появляется заметная примесь глинистого материала. Количество вулканокластики и мощность содержащих ее прослоев по сравнению со средней пачкой также увеличивается.

Аналогичного строения отложения джалтулинской свиты вскрыты бурением на Маршрутнинской площади в бассейне р. Фатянихи (Васильева и др., 1975). В известняковых песчаниках нижней пачки джалтулинской свиты, обнажающихся по р. Маршрутной в 10-12 км от ее впадения в р. Фатяниху, обнаружены фораминиферы: *Evlania* (?) sp., *Moravammina* ex gr. *tatarstanica* Antrop., *Tournayella* cf. *discoidea* Dain, *Sep-tatournayella* (?) cf. *minuta* Lip., *Glomospira* (?) ex gr. *gordialis* Jones et Par *Glomospiranella* (?) cf. *asiatica* Lip., *Endothyra* sp. Характерно, что во всех известных достоверных разрезах джалтулинской свиты в ее основании залегают описанные выше "джалтулинские песчаники" нижней пачки. Вместе с тем в стратотипическом разрезе на р. Дельтуле "джалтулинскими песчаниками" сложена лишь вторая (средняя) пачка (Бааг и др., 1973), содержащая остатки верхнетурнейских фораминифер. Верхняя пачка стратотипического разреза уверенно со-поставляется со средними пачками разрезов, вскрытых в пределах Сигово-Подкаменной и Маршрутнинской площадей. Что касается верхней (третьей) пачки джалтулинской свиты, вскрытой на упомянутых площадях, то таковая в стратотипическом разрезе отсутствует (по-видимому, уничтожена пред-верхнепалеозойским размывом). Таким образом, нижняя пачка стратотипа несомненно древнее "джалтулинских песчаников". При решении вопроса о ее возрасте заслуживает внимания мнение геолога КГУ А.В. Турчина, считающего ее аналогом дядякинитской свиты, сопоставляемой с нижнекаларгонской подсвитой верхнего девона (Матухин, Менинер, 1974). Действительно, породы нижней пачки по вещественному составу (доломитисто-известковые алевролиты с примесью глинистого материала) вполне могут являться переходной разностью между существенно терригенными породами дядякинитской свиты, развитой в верховьях р. Бахты и на правобережье р. Подкаменной Тунгуски, и терригенно-карбонатными породами нижнекаларгонской подсвиты, вскрытой в пределах Сигово-Подкаменной и Маршрутнинской пло-щадей.

Фатяниховская свита впервые была описана в бассейне р. Фатянихи в составе нижнекаменноугольных отложений С.В. Обручевым (1932); в дальнейшем была выделена в самостоятельную свиту геологами ВАГГА Н.В. Дреновым и А.П. Степановым.

В стратотипическом разрезе (несколько изолированных обнажений на р. Фатянихе между Большим Порогом и Карскими Воротами) отложения свиты представлены тонкослоистыми зеленовато-серыми известковистыми алевролитами с примесью пеплового материала (хлоритизация которого обусловливает зеленоватую окраску пород), с подчиненными прослойками мелко-зернистых кварцево-кремневых песчаников, содержащих примесь гравийных обломков осадочных пород и туфлитов. Цемент пород глинисто-хлоритовый или кремнисто-кальцитовый. В средней и верхней частях разреза встречаются карбонатные стяжения диаметром до 10 см, иногда содержащие раковины брахиопод *Spirifer* ex gr. *striatus* Mart., *Spiriferina* sp., *Productus* sp. Видимая мощность свиты на р. Фатянихе до 30 м. Ниж-

ний контакт свиты нигде не вскрыт и подстилающие ее отложения не известны. Пересягают свиту породы зеленоярской свиты, условно датируемые верхами позднего карбона – низами ранней перми.

Полный разрез фатьяниховской свиты и ее взаимоотношения с подстилающими и перекрывающими отложениями впервые были изучены в пределах Сигово-Подкаменной площади (Вааг и др., 1976), где фатьяниховская свита залегает с более или менее четко выраженным размывом на породах верхней пачки джалтулинской свиты и перекрывается с размывом четвертичными отложениями или угленосными толщами верхнего палеозоя. В последнем случае отложения свиты венчают пласт (до 0,6 м) выветрелых рыхлых известковисто-глинистых песков.

Фатьяниховская свита (до 63 м) сложена в разной степени известковистыми и бескарбонатными алевролитами, песчанистыми алевролитами и песчаниками, содержащими большую или меньшую примесь вулканокластики, с прослойями аргиллитов, глинисто-алевритовых и песчанистых известняков и кристалло-витрокластических туфлитов и туфов. В распределении пород по разрезу наблюдается разнопорядковая неравномерная ритмичность (цикличность). Разрез свиты можно расчленить на три части: нижнюю – известковую, песчаную; среднюю – известковистую туфоалевритовую и верхнюю – практически бескарбонатную туфопесчаную (туфоалевритово-туфопесчаную). Текстура пород слоистая. Преобладают горизонтальная и волнистая слоистости, наряду с ними широко развиты косоволнистая и косая пологая слоистости, а также разнообразные текстуры взмучивания осадка. Вещественный состав пород очень пестрый и зависит от изменения интенсивности поступления вулканокластического и терригенного материала в бассейн осадконакопления. В песчаных и крупноалевритовых разностях содержание кварца колеблется от 15 до 83%, кремней 4–25%, полевых шпатов 2–58%, обломков глинистых и карбонатных пород 9–45%, "свежих" и в различной степени хлоритизированных или пелитизированных эфузивов 3–21%, обломков кристаллических и слюдистых сланцев 2–6%, измененных пород невыясненного первичного состава 2–9%. В нижних слоях встречаются единичные обломки фосфоритов. Песчаный и алевритовый материал в прослоях терригенных пород обычно хорошо окатан, имеет кремне-кварцевый состав со значительной примесью обломков глинистых и карбонатных пород, а также измененных, в том числе выветрелых, пород иного состава. Содержание алевритовых зерен полевых шпатов составляет 5–7%. Цемент известковый или известково-глинистый. В нижней части, а иногда и в верхней половине разреза встречаются прослои известковых песчаников с обломками известняков и оолитов, содержащих остатки фораминифер. В характерных для фатьяниховской свиты породах, сформировавшихся преимущественно за счет на-копления вулканокластического и тектогенного (переотложенная пироклазика) материала, преобладают неокатанные, угловатые, часто удлиненные или причудливой формы обломки, в составе которых резко возрастает количество и размерность зерен полевых шпатов, сравнительно свежих и пелитизированных эфузивов и вулканического стекла. Обломки последнего большей частью хлоритизированы или замещены кальцитом. В цементе вулканомиктовых пород имеется значительная примесь хлорита и новообразования кремней. Почти непрерывное, но различной интенсивности поступление в бассейн осадконакопления вулканокластики обусловило возникновение в отложениях фатьяниховской свиты многочисленных переходных разностей между вулканомиктовыми и терригенными породами, наличие которых позволяет надежно отличать породы фатьяниховской свиты от других отложений, в том числе и от пород джалтулинской свиты.

## НИЖНЕКАМЕНОУГОЛЬНЫЕ ОТЛОЖЕНИЯ КЮТЮНГДИНСКОГО ГРАБЕНА

Впервые выходы нижнекаменоугольных отложений в бассейне нижнего течения р. Оленек были установлены в 1951 г. В.М. Муравленко. В дальнейшем они изучались рядом исследователей, работами которых разрез нижнего карбона был расчленен на 4 толщи (снизу): терригенную, нижнюю карбонатную, гипсоносную красноцветную и верхнюю карбонатную. Нижняя карбонатная толща по фауне брахиопод была отнесена к верхнему турне, а верхняя – по фауне брахиопод, фораминифер и мшанок – к пограничным слоям турнейского и визейского ярусов (Лапина, 1962; Рейтлингер и др., 1973). В последнее время (Натапов, 1973) высказано мнение о наличии в Кютюнгдинском разрезе нижнего карбона не двух, а всего одной карбонатной толщи, залегающей над красноцветной гипсоносной толщей, которая была отнесена к девону. Проведенными в 1973 г. исследованиями нижнекаменоугольных отложений описываемого района (Грайзер и др., 1974) были получены дополнительные данные, позволяющие прийти к выводу о правильности первоначальной точки зрения.

Терригенная толща обнажается в пределах западного (р. Нучча-Юрэгэ) и северного (р. Югюс-Юройэ) бортов Кютюнгдинского грабена. Вещественный состав слагающих толщу пород, характер их распределения и ее мощность различны, что определяет необходимость выделения двух типов разрезов.

Западный тип разреза. Отложения терригенной толщи вскрываются в четырех изолированных обнажениях по левому берегу р. Нучча-Юрэгэ в 1,4–2,1 км от устья (здесь и далее расстояния указываются по прямой). В двух из них непосредственно на эродированной, закарстованной поверхности известняков и известняково-глинистых доломитов верхнего кембия залегают:

1. Пачка валунно-галечных карбонатных конгломератов и гравелитов. Крупноразмерный (5–35 см по длиной оси) обломочный материал на 90–95% сложен хорошо окатанными уплощенными гальками и валунами в большей или меньшей мере глинистых известняков, известковых доломитов и известково-доломитовых аргиллитов, различных по окраске и структурно-текстурному облику. В незначительном количестве присутствуют гальки окремненных тонкослонистых аргиллитов, роговиков, кремней и микрокварцитов. В составе гравийно-мелкогалечного материала (менее 5,0 см) соотношение между карбонатными и силикатными (особенно кремневыми) обломками меняется в сторону увеличения количества последних, причем тем большего, чем меньше размерность обломков, достигая в мелкогравийной (0,1–0,5 см) размерности 50–60%. Следует отметить также общее увеличение количества силикатных обломков в верхних слоях пачки. Заполняющей массой конгломератов является разнозернистый алевритистый песчаник, содержащий примесь частиц гравийной размерности. Состав песчаников преимущественно кремне-кварцевый (более 60% зерен) с примесью карбонатных частиц, реже присутствуют ороговикованные глинистые породы, эфузивы и единичные зерна полевых шпатов. Цементом пород служит разнокристаллическая доломитисто-известковая масса с незначительной примесью глинистого материала. Мощность 3,2–5,0 м.

2. Над конгломератами согласно залегает пласт разнозернистых известковисто-доломитовых песчаников. В нижней части пласта (около 0,3 м)

порода имеет серо-зеленую окраску, массивный облик и содержит включения "плавающей" гальки и гравия преимущественно кремневого состава. В верхней части пласта породы приобретают коричневато- и желтовато-серую окраску и тонкую прерывистую горизонтальную слоистость. Здесь появляются линзовидные прослойки (1-1,5 см) серых доломитистых алевроаргиллитов. В песчаниках и алевролитах содержание карбонатных и силикатных обломков примерно равно. Последние представлены преимущественно кварцем (30%), реже полевыми шпатами (7-10%) и кремнями (7-10%), а также немногочисленными обломками глинистых и эфузивных пород и мелкими чешуйками слюдистых минералов. Цемент песчаников и алевролитов базальный, доломитовый, с примесью глинистого и известкового материала. Мощность 1,2-1,3 м.

3. Вверх по разрезу песчаники сменяются маломощной пачкой тонко- и мелкослоистых глинисто-алевролитовых доломитов и доломито-глинистых алевролитов. Породы окрашены в темные красно-бурые тона и практически повсеместно содержат примесь (3-10%) песчаного материала. Вещественный состав обломков практически идентичен таковому в подстилающем слое. Мощность 1,5-1,7 м.

4. Верхняя пачка сложена часто переслаивающимися песчаниками и песчанистыми алевролитами с подчиненными прослойками (до 0,3 м) аргиллитов и глинисто-алевритовых доломитов. Слоистость пород горизонтальная и косоволнистая пологая. Иногда на поверхности напластования отмечаются знаки ряби. Окраска пород желтовато-серая и серая. В нижней части пачки (6-7 м) встречаются линзовидные прослои (0,1-0,4 м) коричневых, буро-вато-красных и реже серо-зеленых относительно рыхлых песчаников и алевролитов. В верхних слоях особенно среди глинистых и глинисто-карбонатных разностей породы часто окрашены в светло- и голубовато-серые тона. Вверх по разрезу наблюдается неравномерное уменьшение размерности и количества обломочного материала и увеличение содержания глинистой и карбонатной составляющей. Так, если в нижней части пачки встречаются прослон (15-30 см) разнозернистых гравийных песчаников, то в верхней лишь незначительная примесь (до 10%) зерен мелкопесчаной размерности. Вещественный состав обломочного материала весьма характерен. Обломки гравийно-песчаной размерности (0,25-3,0 мм) представлены главным образом кремнями, кварцем и обломками карбонатных пород, реже встречаются обломки эфузивных, глинистых и метаморфических пород (главным образом, роговики). Полевые шпаты отмечены лишь в единичных случаях. В мелко-песчаной (0,1-0,25 мм) и особенно в алевритовой составляющей соотношение между минеральными компонентами меняется: преобладающими становятся зерна кварца и полевых шпатов, в меньшем количестве встречаются обломки кремней, глинистых и карбонатных пород и практически исчезают обломки эфузивных и метаморфических пород. Повсеместно в породах присутствуют многочисленные мелкие чешуйки слюдистых минералов. В составе цемента песчаников и алевролитов преобладают доломит (пелитоморфный или раскристаллизованный) и содержится большая или меньшая примесь известкового и глинистого материала. Мощность 16-20 м.

Самые верхние слои терригенной толщи и ее контакт с перекрывающими отложениями описаны в обрывах левого берега р. Нуича-Юрэгэ в 9 км от устья. Здесь над серыми мелкозернистыми слюдисто-глинистыми, кварцевыми песчаниками (0,5 м) залегает пачка (до 22 м) серых, коричневато- и голубовато-серых песчанистых аргиллитов с плитчатой отдельностью и стяжениями пирита, выше которой развиты известково-доломитовые поро-

ды, относящиеся к нижней карбонатной толще. В зависимости от того, насколько этот разрез может быть сопоставим с верхней пачкой разреза пристьеевой части р. Нуича-Юрэгэ или же он надстраивает ее, мощность терригенной толщи в западной части Кютюнгдинского грабена может колебаться от 25-30 до 40-45 м.

Северный тип разреза. Отложения терригенной толщи обнажаются по правому склону долины р. Югюс-Юрюйэ на расстоянии 5,5 км к востоку от устья. Непосредственный контакт с подстилающими отложениями кембрия не обнаружен.

1. Пачка (более 8 м) валунно-галечных светло-серых известковых конгломератов и гравелитов слагает кустообразный скальный обрыв высотой 3,5-8,5 м и протяженностью (с перерывами) около 1,5 км в верхней кромке правого борта долины. Ниже коренного обнажения 40-50 м склона скрыто под крупноглыбовыми развалами и курумником тех же конгломератов (относительная гипсометрическая разница между коренными выходами конгломератов нижнего карбона и пестроцветных доломитов кембра съыше 70 м). Характерной их чертой является значительно меньшая по сравнению с западным типом разреза пестроцветность обломочного материала. Галечный материал почти на цело (более 95%) сложен сильно уплощенными (лепешковидными), реже овальными, хорошо окатанными обломками (до 20 см по длиной оси) слабоглинистых, иногда окремненных (?), большей частью пелитоморфных и доломитистых известняков. Все обломки ориентированы в горизонтальной плоскости (вся толща, в том числе и вышележащие отложения, слабо наклонена - 2-3° к юго-западу), что придает конгломератам слоистую текстуру, подчеркивающую еще и гравийно-песчаными прослойками, характерную грубую плитчатую отдельность и нечетко выраженное ритмичное строение. Заполняющей массой конгломератов служат гравийной и песчаной размерности окатанные обломки карбонатных пород (70-75%), кварца, кремней, немногочисленных эфузивов и единичных зерен полевых шпатов. Цементом служит хорошо раскристаллизованный кальцит, лишь в отдельных участках содержащий незначительную примесь глинистого и, возможно, доломитового материала. Мощность более 8 м.

2. На конгломератах с постепенным переходом (песчано-гравийный прослой мощностью 20-25 см) залегает пачка светло- и кремово-серых известково-доломитовых песчанистых алевролитов и коричневато-серых доломитовых песчаников с подчиненными прослойками глинисто-алевритовых доломитов. Слоистость пород тонкая и мелкая горизонтальная, пологая косая и волнистая. Песчано-алевритовый материал представлен хорошо и довлетворительно окатанными зернами пелитоморфных или кристаллических известняков (возможно, среди них имеются замещенные кальцитом силикатные породы) и известковых доломитов (40-60%), кварца (20-25%), кремней (5-10%), полевых шпатов (10-20%), редких обломков эфузивных и глинистых пород и мелких слюдистых минералов. Цемент песчаников и алевролитов базальный, доломитовый с большей или меньшей примесью глинистого и известкового материала. Мощность 5,5-8,0 м.

Вверх по разрезу наблюдается постепенное уменьшение количества и размерности обломочного, увеличение количества карбонатного и частично глинистого материала и происходит постепенная смена пород терригенной толщи доломитами нижней карбонатной толщи. Общая мощность терригенной толщи, по-видимому, не превышает 20-25 м.

Таким образом, отличия отложений терригенной толщи северного типа разреза от западного заключаются в следующем: а) меньшая мощность отло-

жений в целом при значительно большей мощности конгломератовой пачки; б) сероцветность разреза при полном отсутствии красноцветных разностей; в) повышенная карбонатность разреза вообще и известковистость в частности.

Отложения нижней карбонатной (доломитовой) толщи вскрываются в западной и северной частях Кютюнгдинского грабена и, по-видимому, повсеместно согласно залегают на породах терригенной толщи. Слагающие породы в виде фрагментарных разрезов обнажаются в береговых обрывах нижнего течения р. Толупки (средние слои) и левобережья р. Нучча-Юрэгэ в 2,3-5,0 км от устья (нижние и средние слои), в пойме левого берега р. Оленек в 1,5-3,0 км ниже устья р. Кютюнгдэ в районе берега Кысыл-Хая (верхние слои), в пойме и береговом обрыве левого берега р. Оленек в 1,0-1,5 км выше устья р. Югюс-Юройэ (средние слои) и на ее водоразделе с р. Оленек, где отложения карбонатной толщи образуют скальные гребни и эоловиальные развалины протяженностью свыше 1,5 км (нижние слои).

Внешний облик и вещественный состав слагающих толщу пород повсеместно остаются практически неизменными. Это различных оттенков серые, коричневато- или желтовато-серые доломиты, известковистые доломиты и доломитовые известняки, содержащие в отдельных прослоях меньшую или большую примесь глинистого (до мергелей), алевритового и песчаного материала или известково-доломитовых аргиллитов и алевролитов. В большинстве случаев породы имеют слоистую текстуру. Преобладает тонкая и мелкая горизонтальная неравномерно-ритмичная слоистость, реже встречаются волнисто- и косоволнистослоистые разности. Местами наблюдаются текстуры взмучивания осадка. Кроме того, довольно часто, особенно в нижних и средних слоях толщи, встречаются прослои (0,05-0,5 м) массивных или комковатых глинистых доломитов или глинисто-доломитовых известняков. Здесь же в нижних и средних слоях часто встречаются неправильной формы, несколько уплощенные и вытянутые (3-20 см) стяжения кремней, достигающие максимальных размеров на водоразделе рек Оленек и Югюс-Юройэ, где они образуют концентрически-зональные караваебразные стяжения (до 1,2 x 0,5 x 0,2 м). В прослоях массивных и комковатых пород отмечаются скопления относительно изометричных выделений кальцита, а в верхних слоях иногда и гипса, по которым на дневной поверхности образуются пустоты вышелачивания. В верхних слоях толщи (мощность 6-7 м с учетом коренных выходов на дне реки), обнажающейся в районе берега Кысыл-Хая, породы имеют серую и темно-серую окраску со слабым зеленым оттенком, содержат больше глинистого материала и слабо загипсованы, а в кровле (верхние 2 м) появляется обильная вкрапленность и тонкие (0,5-1,5 см) прослойки зеленовато-серого гипса. Вещественный состав обломочного материала сходен с таковым для нижней толщи. В мелкоалевритовой размерности примерно в равных количествах присутствуют кварц и полевые шпаты с примесью мелких чешуек слюдистых минералов. В крупноалевритовой и песчаной размерности возрастает содержание кварца по сравнению с полевыми шпатами и появляются обломки кремней, кремнисто-глинистых и карбонатных пород, количество которых увеличивается по мере увеличения размерности обломков.

В породах толщи встречается значительное количество органических остатков. В наиболее терригенных разностях на плоскостях наслаждения часто имеются присыпки растительного детрита. Известково-доломитовые породы часто обогащены обломками раковин (до органогенно-детритовых разностей), а отдельные прослои содержат остатки брахиопод и пелепицопод хорошей сох-

ранности. Из коллекций М.И. Грайзера и Ф.С. Ульмасовой (Грайзер и др., 1974), собранных из обнажений по рекам Толупка и Нучча-Юрэгэ, Т.Г. Сарычевой, О.А. Эрлангер и Н.Н. Манаковым определены брахиоподы *Ovata laevicosta* (White), *Tomiproductus elegantulus* (Tolm.), *Camarotoechia* (*Camarotoechia*) *panderi* (Sem. et Moell.), *Schuchertella lens* (White), *Setigerites* sp., *Avonia* sp., *Orbiculidea* sp., наиболее близкие к комплексу фауны тайдонского горизонта Кузбасса. К аналогичному выводу ранее (1962) пришла Н.Н. Лапина, изучавшая коллекции брахиопод, собранных геологами ВАГГа. Из этой же толщи в коллекции М.И. Грайзера и Ф.С. Ульмасовой, К.А. Урбайтис были определены пелепицоподы *Leptodesma sibirica* Nal. – форма, известная из нижнего турне Рудного Алтая и Прибалхашья. Из коллекций М.В. Михайлова и Л.Ф. Штейн (ВСЕГЕИ) по р. Нучча-Юрэгэ В.А. Муромцевой определены пелепицоподы *Capricardinia bistrigata* Portl., *Sanguinolites abdenensis* Ether., *Leicpteria rostrata* Kon. В обнажении по левому берегу р. Оленек в 1,5 км выше устья р. Югюс-Юройэ определен *Pernopecten tenuis* Kon., а в верхних слоях толщи (берег Кысыл-Хая) *Cipricardinia bistrigata* Portl., *Leptodesma* sp., *Aviculopores praelineatus* Kon.

Наиболее полный разрез красноцветной гипсонасной толши и контакт с подстилающими отложениями обнажается в районе берега Кысыл-Хая по левобережью р. Оленек ниже устья р. Кютюнгдэ, где она согласно залегает на породах нижней карбонатной толщи. По характеру распределения в ней сульфатного, карбонатного и терригенного материала толща расчленяется здесь на 5 пачек.

1. Пачка (15-16 м) пестроцветных, преимущественно красноцветных бескарбонатных или доломитистых, интенсивно гипсонасных алевроаргиллитов. Гипсы составляют 60-65% объема пачки. Они образуют различные по мощности (3-40 см) прослои и секущие прожилки, придающие пачке сетчатую ("неправильная разночленная сеть") текстуру. По структурному облику среди гипсов преобладают кристаллические (сахаровидные) разности, реже встречаются волокнистые. В гипсах практически повсеместно присутствуют тонкие (1-3 мм) ветвящиеся прослойки глин или дисперсионрассеянный глинистый материал, придающие им зеленоватую или розовато-оранжевую окраску. Терригенная составляющая пачки представлена относительно плотными алевритистыми аргиллитами или вязкими глинами красного, буровато-красного, бурого, кремового, голубовато- или серо-зеленого цвета. Глинистые и глинисто-алевритовые породы распределены между гипсами неравномерно, отдельными слоями от 3-5 до 40-50 см.

2. Пачка (26-27 м) пестроцветных, преимущественно красноцветных, относительно слабо загипсованных (количество сульфатов не превышает 8-10% породы, хотя в отдельных прослоях достигает 30-35%), слабоизвестковистых глин и рыхлых алевроаргиллитов красного, буровато-красного и светло-коричневого цвета с неправильной формой пятнами и линзовидными прослойками (до 25 см) вязких или рыхлых алевроаргиллитов, количество и размерность последних возрастает вверх по разрезу. Кровля пачки (1,8 м) сложена "мелкосетчатыми" гипсонасными аргиллитами, в которых прослойки и прожилки розоватого гипса не превышают по мощности 0,2-0,5 м.

3. Пачка (9,5-10,0 м) гипсонасных красноцветных глинистых алевролитов. Прослойки и прожилки кристаллических (сахаровидных) и волокнистых гипсов составляют от 40% в нижних слоях до 75-80% объема породы вверху пачки. Венчается пачка слоем (1,7 м) розовато-оранжевых кристал-

лических краеведческих гипсовых, содержащих познавательную пропись диспергированного глинистого материала.

4. Начка ( $3,8-4,0$  м) построена из преимущественно бирюзовых, извостково-доломитовых терригенных пород. В составе начки с разным контактом, а возможно с разрывом на гипсах третьей начки залегают единицами ( $0,5$  м) извостково-доломитовых гравелитов и разнозернистых песчаников. Обломочный материал гравелитов хорошо в удовлетворительной степени и более чем на 50% представлен обломками кремней, в меньшем количестве (по отнесенности преобладания) присутствуют обломки глинистого и кремнистого карбонатных пород, раскристаллизованных доломитов, обломки халиедитов и аргиллитов, кварца киммерия. В побочанных разностях качественный состав обломочного материала остается идентичным, но разнообразие содержания обломков карбонатных, преимущественно извостковых пород (до 80%) и кварца (20-50%). Цемент гравелитов и песчаников доломитового известняка в изначальной примесью глинистого материала. Составность пород горизонтальная (наличие слойков в сокорных румбах пологоволнистости) и горизонтальная (перекрестная). Выше залегают тонкие и малоизмененные вероятные извостковые алевролиты, малокарбонатные песчаники и песчано-алевролитовые доломитовые напластования с прослоями ( $1-6$  см) буровато-серых и красношокотных доломитово-извостковых организмов и глинистых алевролитов, поддерживших разношерстную карбонатность и чистоту ( $0,8-1,0$  см) прослоев гипса. В составе обломочного материала песчаников и алевролитов преобладают ( $40\%-60\%$ ) обломки полихромных единичных и групповых карбонатных пород, кварца, пылевые шпаты, кремни и редкие чешуйки единичных минералов.

Б. Водички разреза пресноводной толщи почва (видимая мощность 0,8-1,0 м) пресноводных глинистых аргиллитов и алевролитов. В основании почки лежат глины (0,1-0,2 м) розового-оранжевого цвета садисто-коричневатого оттенка, содержащего параллельно расположенные пропласты и чешуйки (до 0,5 см) погибшей пресной водной-грунтовой материи. Выше глины залегают «чайка» и подгрунтовые доломитистые-карбонатные породы буровато-серого, серого и кремового цвета с нодами (до 2-3 см) пылевидной текстуры и покрытыми прожилками риолитов.

Общий мощность промышленной земли в обнажении Кимми-Хий составляет 77,000 м<sup>2</sup>. Пороки пакета приводят к тому, чтобы потенциальная продуктивность

Верхняя часть пролонгированной долин и ее контрагены с верхнепролонгированными отложениями изогнуты в ряде обрывов в Северо-Кавказских образований и по склонам долин реки Боржоми и ее левых притоков (реки Удокань, Сен, Буйварийца).

Следующий этап превращения пищевой единицы начинается от уровня воды 4,0 м) скотина голубоватого-серая краево-ржавчистых промежуточных гипсовых обнажающихся в кругой излучине десного берега р. Киренгуда и Амур в районе села от устья р. Буйбаранцы. Рекорд этой пищевой единицы позволяет ему включаться в гипсоглиссии третьей «подгруппы» пятой пачки разреза реки Бирюса Киселев-Холм.

Выщелоченный почвенный (Глубо-м) профиль почвенных рыхлодельных, в различной степени изогнутых почвенных, архипелагах и пойменных озерно-подзолистых профилях (до 0,3 м) почвенных гумусовых почвенных подпочвенных почвами, так же как и общая почвенностность почв, увеличивающейся вправо по разрезу. Судя по типам почвенных распределений в разрезе почвоподзолистых профилей и виду отдельных почвенных (0,1-0,3 м), в тяжелых в юго-западных и юго-восточных профильных (0,1-0,3 м). В профиле поч-

и замещает первичной мощности (0,35-1,8 м) пласт белого кембрийско-титанистого сахаровидного гипса. Общая мощность краевошовистой толщи 0,5-0,8 м.

Верхний карбонатный (каустический) горизонт развит в южной части Кью-Тонгдинского грабена, где обнажается по берегам рек Удокан, Сын, Бурбаш-кын и Булбарын-Юрага, слагают верхнюю часть склонов их долин и образуют элювиальные развалины. На высоких подгорных земельных пространствах этих рек

Подобно вижнай карбонатной толще, пронзивший облик и вещественный состав пород верхней карбонатной толщи совместно остаётся практический неизменным. Толща сложена первоначально ритмично-переслаивающейся субштольни и откосогородью кислосернистой. Её стволы слабо дифференцированы известниками сростных, жёлтковато-, промежуточно-серых и серых цветов с подчинёнными прослоистыми водно-глинистых карбонатово-серых известняково-глинистых архимитами. На плюскостях следований известников часто отмечаются залежи раков и токсигуры, похожие на трещинные устьяканы, заполненные красноглинистым известком.

Продюс (15-40 см) однотипных разностей содержит первично-горизонтальные единичные точечки и мелкие (0,5-2,0 см) сплошные подгруппы орбитальных единичных и разноцветных точечек (антисимметриков). Однотипность горизонтальных и вертикальных участков при деградации роже отмечается фактурой излучинами волнико и проекциями. В отдельных пропластках обнаруживаются пологоногие и пологоногие обводки рифов.

Максимальные размеры (до 10 см) представляются подгравийными или подгравийно-зандровыми валунами. Текстура пород однородная или неоднородная, реже гранулометрическая. Поверхность грунтовых вод может быть подгравийных наростников. Составочная. Нагорная ветровая линия и единичных проходок и продольной изолинией (до 0,7%) приводят однородных пород квартза, подпорных шанцев, гравия, щебня, гравийных минералов и редких обитателей гравийных пород и вращений. Для пород верхней части дна характерны пиритовые и аргиллитовые выделения, кристаллического породы. Многие ветровые поверхности имеют форму изогипсической кривой видимого плодородия вращений, реже выраженные подгравийные вращения. В прижизненной полости изогипса обнаруживаются морские (до 0,1%) приводящие выделения ветровой природы.

В прошлом "Информика" включалась в перечень изданий в разделе новостей информационных областей, разработки и корпоративной безопасности, форматифер, браузеров, гипертекстовых приложений и членов консорциума.

В первичных породах карбонатной зоны НАУ выделены три группы определены остряковым Роговиковым методом Запад. Пр. обект Митро. Пр. Амурский (4-я и 5-я), Сиртлеровским методом Запад. обл. Запад. Северная склоновая Запад. Ср. восточноуральской Запад. Маньчжурской аномалии Тюбиль. № (7) определено Запад. Калмыцкой аномалии карбонатные склоновые амфилиты Калмыцкой зоны Амурской склоновой амфилитовой Псаммо. Типа № 100-101 и 102-103 синекзиститы Южно-Сарбонита (?) ядринки Запад. Вост. Урала по Н.Н. Баранов (1998) первичные бриллианты Алтынгире (Алтынгиринский) карбонатного пояса (Тюбиль). В водородоводных кампаниях этой зоны Н.Н. Григорьевский (Григорьевский, 2007) определил бриллианты избирательные пр. и Пр. речного Чаганского р.б. Ср. Вост. Урала в южном Ср. Вост. в первичных карбонатных склонах подстилающих горизонты Карабанта и Северного Урала.

*Iaeospirolectammina* aff. *diversa* (N.Tchern.), *Plectogyrina* cf. *fomichaensis* (Leb.), *Endothyra perfida* Leb., E. aff. *latisspiralis* Lip., E. aff. *pepeljaevi* Bog. et Yus., E. aff. *granularis* Ros., E. aff. *tantala* (D. Zeller), *Eoendothyranopsis ermannensis* (Leb.), E. *pressa* (Grozd.), *Eoendothyranopsis* sp. Ранее E.A. Рейтлингер отсюда был определен *Eoendothyranopsis* sp.

### КЕТА-ИРБИНСКАЯ ПЛОЩАДЬ

Нижнекаменноугольные отложения Кета-Ирбинской площади охарактеризованы кернами скважин ЮИС-5, ЮИС-6, ЮИС-13 и представлены породами турнейского яруса. Подстилающие отложения представлены пестро- и сироцветными доломитами, мергелями с прослойками ангидритов фокинской свиты верхнего девона.

Турнейский ярус нижнего карбона представлен ханельбириным и серебрянским горизонтами.

1. Нижняя граница ханельбиринского горизонта проводится в основании пачки карбонатных брекчий. Сложены брекчии обломками известняков и доломитов (от 2-3 до 20 см в поперечнике), сцепментированными доломитово-известковым, иногда с примесью гидрослюдистых глин, материалом. Встречаются также окатанные песчаной размерности обломки гидрослюдистых аргиллитов, окруженные обычно каемкой тонкозернистого кальцита шириной до 0,8 мм. Мощность пачки 2-3 м.

2. Органогенно-обломочные известняки серого и темно-серого цвета, массивные или с тонкой волнистой слоистостью (последняя наблюдается в глинистых разностях). Для пачки характерно присутствие кремнистых образований округлой или линзообразной формы (до 7 см в диаметре) серого или светло-серого цвета. В шлифах часто наблюдается замещение органогенных остатков кремнистым материалом. Известняки обычно микро- и тонкозернистые, прослойками брекчированые. Глинистый материал зеленовато-серого цвета присутствует в них как в равномерно рассеянном состоянии, так и в виде примазок и слойков толщиной до 2 мм. В нижней части пачки отмечены прослои известняковых брекчий.

Наряду с известняками здесь присутствуют, иногда в значительном количестве (скв. ЮИС-6), доломитовые известняки и доломиты.

Мощность пачки 5-11 м.

3. Органогенно-обломочные известняки с многочисленными фораминиферами, брахиоподами, остракодами и другими органическими остатками. В этой органогенно-известняковой пачке в разрезе скважины ЮИС-5, наиболее полно охарактеризованном фораминиферами, отчетливо выделяются две части.

Внизу залегают известняки органогенно-обломочные серые, темно-серые мелкозернистые с включениями (до 1 см) кремней голубовато-белого цвета. В известняках отмечаются стилолитовые швы с черным органическим материалом на соприкасающихся поверхностях. Местами заметна тонкая горизонтально-волнистая слоистость. Известняки содержат многочисленные турнейеллиды, среди которых преобладают чернышиеллы, септабрунзии и септаглоспирланеллы. Здесь встречены: *Glomospiranella rara* Lip., *Septaglomospiranella primaeva* (Raus.), S. *primaeva* (Raus.) var. *kazakhstanica* Reitl., S. *compressa* Lip., S. *post-*

*kazakhstanica* Brazhn., S. (?) *aleussica* Bog., *Cherhyshirella glomiformis* (Lip.), C. *paraglomiformis* Lip., C. aff. *paraglomiformis* Lip., C. *paucicamerata* Lip., C. *tumulosa* Lip., C. *tumulosa* var. *multicamerata* Lip., *Septabrunsiina minuta* Lip. (многочисленные), S. *krainica* (Lip.), редкие *Tournayella kisella* Malakh., T. *discoidea* Dain, T. *discoidea* var. *angusta* Lip., *Tournayellina beata* (Malakh.). Особенно обильны в отдельных про слоях *Septabrunsiina minuta* Lip. и чернышиеллы. В меньшем количестве присутствуют вицинесферы, паратураммины, эрландии, радиосферы, переходящие в вышележащие отложения. Из эндотир встречаются лишь немногочисленные примитивные *Endothyra parakosvensis* Lip., E. *chernyshinelliformis* Lip. и медиэндиры.

Верхнюю часть слагают известняки органогенно-обломочные мелкозернистые темно-серого цвета с прослойками (до 20-30 см) микрозернистого известняка. Кремнистый материал присутствует в виде неопределенной формы стяжений, а также местами выполняет внутренние полости раковин, в то время как перегородки их бывают сложены кальцитом. Породы содержат многочисленные эндотиры и планоэндиры, не встреченные ниже. Отсюда определены: *Endothyra parakosvensis* Lip., E. *tuberculata* var. *magna* Lip., E. *chernyshinelliformis* Lip., E. aff. *distincta* Schlyk., E. aff. *cuneata* Malakh., E. *kosvensis* Lip., E. aff. *kosvensis* Lip., E. *solida* Conil et Lys, E. ex gr. *recta* Lip., E. *piluginensis* Lip., E. *antiqua* var. *concavacamerata* Lip., E. cf. *quaesita* Gan., E. cf. *honesta* (Schlyk.), *Planoendothyra compta* Schlyk., P. aff. *compta* Schlyk., P. aff. *diserta* Leb., P. cf. *rctai* (Dain), P. aff. *rotai* (Dain), P. aff. *umbonata* Bog. et Yus.

А.В. Санисара (Лисенков и др., 1973 г.) из этой пачки определены брахиоподы: *Fusella ussiensis* (Tolm.), F. *tornacensis* (Kon.), F. *crenistria* (Kon.), F. *mediocris* (Tolm.), *Orbiculoidea* sp., *Pustula pustulosiformis* Rot., *Schuchertella* cf. *magna* Tolm., S. cf. *valentirae* Sok., *Rugosochonetes* sp., *Rhipidomella* cf. *burlingtonensis* (Hall), *Rhynchotreta* sp., *Punctospirifer kusbassicus* Besn. *Girtyella taidonensis* (Tolm.)

Мощность пачки 25-34 м.

4. Известники серые, часто доломитистые, глинисто-алевритистые. Эта пачка пород отличается от нижележащих почти полным отсутствием определимых остатков фауны. В шлифах изредка встречаются лишь очень плохо сохранившиеся, часто окатанные обломки раковин брахиопод. Характерно также отсутствие остатков фораминифер.

Пачки бесфораминиферовых пород разной мощности отмечены во всех изученных разрезах.

На Кета-Ирбинской площади, где турнейские известняки перекрывают верхнепалеозойскими отложениями, эта пачка пород представлена известняками и доломитистыми известняками мелко-среднезернистыми, иногда комковатыми, часто с примесью мелкоалевритовых обломков кварца и полевых шпатов. Местами в комочках видны перекристаллизованные остатки раковин.

Мощность пачки 5-12 м.

Общая мощность турнейских отложений на площади 52-53 м.

## ЗАПАДНО-ПЯСИНСКАЯ ПЛОЩАДЬ

Разрез нижнекаменноугольных отложений Западно-Пясинской площади охарактеризован по кернам скважин П-10, П-15, П-8бис.

### ТУРНЕЙСКИЙ ЯРУС

Турнейские отложения Западно-Пясинской площади залегают на отложениях фокинской свиты верхнего девона и представлены ханельбирийским горизонтом.

Нижняя граница ханельбирийского горизонта проводится в основании пачки карбонатных брекчий мощностью 3-4 м. Брекчии сложены обломками (1-10 см в диаметре) известняков и доломитов и сцементированы глинисто-карбонатным материалом. Выше породы представлены в основном органогенно-обломочными известняками серого и темно-серого цвета, массивными или с тонкой волнистой слоистостью, приуроченной к прослойям глинистых разностей. Характерно присутствие кремнистых образований (до 7 см в диаметре) округлой или линзообразной форм серого или светло-серого цвета. В шлифах неоднократно наблюдается замещение органогенных обломков кремнистым материалом. Известняки обычно микр- и тонкозернистые, прослойями брекчированы. Глинистый материал зеленовато-серого цвета присутствует как в равномерорассеянном состоянии, так и в виде примазок и слойков мощностью до 2 мм. В ханельбирийском горизонте по скважине П-15 определены фораминыферы *Archaesphaera* sp., *Vicinesphaera squalida* Antrop., *Tournayella kisella* Malakh., *T. discoidea* Dain, *Septabrunsiina krainica* (Lip.), *S. minuta* (Lip.), *Chernyshinella paraglomiformis* Lip., *Endothyra* cf. *quaesita* Gan., *E. aff. distincta* (Schlyk.), *Planoendothyra* aff. *umbonata* Bog. et Yuf. Мощность 35-55 м.

Верхи турне в нижней части сложены органогенно-обломочными известняками, часто доломитовыми или доломитистыми. Вверх по разрезу количество органических остатков резко снижается до полного исчезновения, в разрезе большое место занимают доломиты, известковые доломиты и их глинистые разности. Породы массивны, имеют темно-серый или серый цвет. Органогенные обломки, выполненные известняковым материалом разной зернистости, цементируются пелитоморфным известняком. Местами породы имеют пятнистую окраску за счет примазок и слойков (до 2 мм) глинистого материала зеленовато-серого цвета. В шлифах ясно видно, что глинистый материал приурочен к прожилкам причудливой конфигурации (типа стилолитовых) с частыми раздувами мощности. Здесь же присутствует значительное количество кристаллов пирита до 0,5x1 мм. Венчается разрез доломитовыми известняками, микрозернистыми, с округлыми выделениями (до 1x2 мм) крупнокристаллического кальцита. Последний выполняет также трещины в породе (до 3 мм). Внутри крупных кристаллов кальцита зачастую присутствуют ромбические кристаллы доломита. Мощность 12-16 м.

Общая мощность турнейских отложений 52-67 м.

### ТУНДРИНСКАЯ СВИТА

Известняки турне на Пясинской площади сменяются сульфатоносной глинисто-карбонатной толщей тундринской свиты. Нижняя граница последней проводится в основании пачки карбонатных брекчий, постепенно переходящих вверх по разрезу в слабо брекчированные разности пород.

1. Брекчии сложены обломками (3-7 см в поперечнике) доломитов, известняков и реже ангидритов, сцементированных известково-глинистым или глинисто-доломитовым материалом. Глинистый материал желтого цвета с чешуйчато-волокнистой структурой. Располагается в интерстициях между кристаллами кальцита, а также образует линзы размером до 1x2 мм. В верхней части пачки количество обломков уменьшается и они, как бы "плывают" в глинисто-карбонатной массе. В ряде шлифов в цементирующем масле отмечено небольшое количество обломков кварца средне- и мелкоалевритовой размерности.

Присутствующий в породе кремнистый материал образует отдельные гнезда диаметром до 0,05-0,5 мм. Для всей пачки характерно наличие желваков (0,5-5,0 мм в поперечнике) и отдельных кристаллов пирита. Некоторые поры в карбонатных брекчиях выполнены чистым тонковолокнистым гидрослюдистым или кремнисто-гидрослюдистым материалом. Местами ориентировка глинистых частиц параллельна или субпараллельна, что создает видимость как бы "моноцирстиков", пронизанных обломками карбонатов.

В брекчиях встречаются линзочки целестина размером до 2x4 мм. Мощность пачки 9-10 м.

2. Над брекчиями залегает пачка пород преимущественно доломитового состава. В керне скважины П-15 это глинистые светло-серые массивные тонкозернистые, местами брекчированные доломиты, содержащие прослойки (до 3 см) темно-серого аргиллита и гнезда (до 3-5 мм в поперечнике) пирита. Иногда в доломитах содержится небольшое количество мелкоалевритовых обломков кварца. В шлифах видны неправильной формы выделения кристаллов кальцита, иногда окруженных каемками доломита, и целесстини размером 0,2-0,3 мм.

Мощность 6 м.

Разрез этой пачки в керне скважины П-10 отличается несколько большей мощностью (11 м) и обилием кварцево-кремнистого материала. Доломиты на отдельных участках бывают инъецированы кальцитово-кремнистым веществом, образующим линзы и прожилки (до 5 см). В отдельных частях пачки наблюдаются кварцево-кремнистые образования в виде розеток, а также отдельных кристаллов и их сростков размером до 0,5x1 - 1x2 мм. Отмечены линзочки (до 3 мм) глинисто-органического, черного в проходящем свете материала, содержащего очень мелкие кристаллики титанистых минералов и пирита.

В разрезе скважины П-8бис мощность описываемой пачки увеличивается до 55 м. Кроме сероцветных глинистых доломитов здесь, в верхней половине разреза, присутствуют прослон ангидритов и мергелей. Всю среднюю часть пачки занимает пласт ангидрита (25 м) светло-серого цвета, крупнозернистого, массивного, местами с прослойками (до 0,1 м) черных тонкозернистых доломитов и аргиллитов.

В верхней части пачки количество глинистого материала настолько увеличивается, что глинистые доломиты сменяются доломитовыми мергелями. Глинистая составляющая представлена гидрослюдами, присутствующими в интерстициях между доломитовыми кристаллами, а также в виде линз и ветвящихся прожилков толщиной до 1 см.

Породы пачки отличаются несколько повышенной строицненностью.

Целестин, иногда вместе с ангидритом, образует в доломитах и в одном случае в алеврите микрозернистом известняке небольшие линзочки и гнезда толщиной до 0,2-0,5 мм.

### 3. Переслаивающиеся известняки и гипс-ангидриты.

Мощность отдельных прослоев 2-5 м.

Описываемая пачка отличается от нижележащих пестрой окраской, чередованием серых, зеленовато-серых, коричневых и красно-коричневых цветов. Красно-коричневые и зеленые цвета преобладают в нижней половине пачки, верхняя – преимущественно сероцветна.

Гипс-ангидритовые породы образуют крупно- и мелкозернистые разности. Отмечаются гнезда (до 3x2 мм) и единичные кристаллы (до 2x2 мм) аутигенного кварца, а также включения кристаллов кальцита. Глинистый материал присутствует в виде линз (до 10x1 мм) зеленовато-желтых мелкочешуйчатых и чешуйчато-волокнистых гидрослюд. Имеются прослои известняковых брекчий с гипс-ангидритовым цементом.

Карбонатные прослои представлены известняками микро-, тонко-, реже мелкозернистыми, в единичных случаях – средне-крупнозернистыми. Глинистые разности чаще всего красноцветны, карбонатные – сероцветны. Известняки серого и светло-серого цвета микро- и тонкозернистые глинистые, местами с прослойями гидрослюдистых глин. В этих прослоях глинистый материал окрашивается местами в темно-бурый, почти черный цвет, к нему же бывает приурочено большое количество зерен аутигенного кварца размером до 1x2 мм. В верхней части пачки породы часто брекчированы. Цементом известняковых брекчий (величина обломков до 10 см) служит обычно более глинисто-карбонатный материал.

Известковые прослои содержат многочисленные включения гипс-ангидрита в виде гнезд, прожилков и отдельных кристаллов. Местами наблюдается пойкилитовое прорастание гипсовых монокристаллов кристаллами карбонатов, кварца.

В описываемой пачке в керне скважин П-15 и П-8бис встречен прослой (0,5 и 1,3 м) кремнистой конгломерато-брекции. Обломки величиной до 3 см цементируются разнозернистой (тонко-крупнозернистой) известняковой массой, содержащей большое количество разнозернистого кремнистого материала и целестина. Здесь же отмечены отдельные сростки актинолита, тонкие (до 1-2 мм) прожилки пальгорскита. Для пачки характерно почти повсеместное присутствие аутигенных кремней и кварца, образующих включения до 2x3 мм. В ряде случаев отмечается следы внутриформационных разрывов.

Разрез известняковой пачки по скважине П-10 отличается очень широким развитием кремней, аутигенного кварца, регенерационных каемок вокруг обломочных зерен, полным отсутствием сульфатов (как кальциевых, так и строицневых). Кроме того, породы содержат местами плохой сохранности неопределенные остатки фауны, что не характерно для других разрезов, в составе глинистой фракции содержится повышенное по сравнению с другими разрезами количество хлорита.

Мощность известняковой пачки изменяется от 48 до 78 м.

4. Выше по разрезу в керне скважины П-8бис с постепенным переходом залегает пачка известковых алевритовых мергелей. Состав алевроглинистых и карбонатных компонентов здесь не претерпевает качественных изменений. Мощность 12 м.

Общая мощность тундринской свиты изменяется в широких пределах, от 62 до 156 м.

## СТАНЦИЯ ТУНДРА, СКВ. С-12

В районе ст. Тундра нижнекаменноугольные отложения вскрыты скважиной С-12. Турнейская часть разреза подразделяется здесь на две пачки.

1. Нижняя пачка (интервал 495-470 м) сложена темно-серыми известняками и доломитами, содержащими многочисленные линзы голубовато-серых кремней. Известняки микро-, тонко- и среднезернистые, более или менее доломитизированные. В виде отдельных прослоев наблюдаются органогенные и псевдооолитовые разности. Отмечен прослой известнякового песчаника мощностью около 2 м. Доломиты обычно известковистые, мелкозернистые, глинистые. По всему разрезу отмечаются многочисленные стилолитовые швы. В основании пачки залегают пласти (до 2 м) известково-доломитовых брекчий. (Матухин и др., 1966).

В известняках нижней части разреза определены брахиоподы *Spirifer ussiersis* Tolm., *Chonetes ex gr. znamenskiensis* Sok., *Pustula pixidiformis* (Kon.), а в верхней – фораминиферы *Vicinesphaera angulata* Antrop., *Septaglomospiranella endothyroides* var. *quadriloba* (Dain), *Chernyshinella glomiformis* Lip., *Septaglomospiranella daina* Lip., *Endothyra taimyrica* Lip. и *E. rjausakensis* N. Tchern.

2. Верхняя пачка (интервал 470-446 м) преимущественно известняковая. Доломиты в ней образуют лишь единичные прослои. Известняки темно-серые и серые с многочисленными линзами голубовато-серых кремней. Среди большого количества остатков фораминифер в известняках определены *Archaesphaera minima* Sul., *Vicinesphaera angulata* Antrop., *V. squalida* Antrop., *Parathurammina stellata* Lip., *Eovolutina elemente* Antrop., *Bisphaera elegans* Viess., *Earlandia moderata* (Malakh.), *E. minor* (Raus.), *E. elegans* (Raus. et Reitl.), *Eotuberitina reitlingerae* M. Maclay, *Glomospira cf. subglobosa* Malakh., *Glomospiranella glebovskaya* Dain, *G. rara* Lip., *Septaglomospiranella aff. endothyroides* (Dain), *Tournayella discoidea* Dain, *T. discoidea* Dain forma maxima, *T. cf. costata* Lip., *T. pigmea* Leb., *Septatournayella aff. malakhovae* Lip., *Endothyra inflata* Lip. forma mirima, *E. rjausakensis* N. Tchern., *E. corallovajaensis* Voiz., *E. tuberculata* Lip., *E. tuberculata* var. magna Lip., *E. kosvensis* Lip., *E. prisca* prisca Raus. et Reitl., *E. prisca kirgisana* Raus., *E. grata* Voiz., *E. schlykovae* Voiz., *E. cf. menneri* Bog. et Yuf., *E. latispinalis* Lip., *E. nebulosa* Malakh., *E. similis* Raus. et Reitl., *E. cf. zakharovi* Bog. et Yuf., *E. margarita* Malakh., *Planoendothyra* (?) *minima* (Voiz.), *P. cf. arta* (Leb.), *Chernyschinella glomiformis* (Lip.), *C. tumulosa* Lip.

Вышележащая часть разреза (интервал 446-328 м) выделена Г.Д.Масловым в тундринскую свиту\*. Это серые, реже зеленовато-серые мергельные, известковые и доломитовые брекчии, разделенные прослойями глинистых доломитов, глинистых и алевритистых известняков и мергелей. Цемент брекчий кальцитовый мелко-среднезернистый. Обломки имеют угловатую форму, размеры их 0,1-8 см. В кровле свиты залегают зеленовато-серые, массивные мергели с кремнями.

В базальной брекчии обнаружены остатки турнейских фораминифер, являющиеся, по всей видимости, переотложенными.

\* В данном интервале кроме осадочных пород вскрыта интрузия габбро-долерита мощностью 28 м.

## ПРИЛОЖЕНИЕ

### ФОТОТАБЛИЦЫ

#### ТАБЛИЦА I

##### Миоспоры

Фиг. 1, 2. *Verrucosisporites verrucatus* Drjagina sp. nov. x 500. 1 - голотип, обр. 10509/4, палинологическая лаборатория ЗСГУ, правобережье р. Томи, тайдонский горизонт нижнего карбона; 2 - местонахождение и возраст те же.

Фиг. 3, 4. *Verruciretusispira salebrosa* Drjagina sp. nov. x 500. 3 - голотип, обр. 6012/1, палинологическая лаборатория ЗСГУ, правобережье р. Томи, обнажение по левому берегу р. Захаровки, острогская свита нижнего карбона. 4 - там же, шурф 924, мазуровская свита среднего карбона.

Фиг. 5, 6. *Antissporites magnus* Drjagina gen. et sp. nov. 5 - голотип x 500, обр. 19531/2, палинологическая лаборатория ЗСГУ, правобережье р. Томи, тайдонский горизонт нижнего карбона; 6 - паратип x 250, там же.

Фиг. 7. *Camptotriletes crispatus* Drjagina sp. nov. x 500. Голотип, обр. 19531/1, палинологическая лаборатория ЗСГУ, правобережье р. Томи, турнейский ярус нижнего карбона.

Фиг. 8, 9. *Lophozonotriletes kuzbassicus* Drjagina sp. nov. x 500. 8 - голотип, обр. 15860/2, палинологическая лаборатория ЗСГУ, правобережье р. Томи, верхтомский горизонт нижнего карбона; 9 - паратип, там же.

Фиг. 10. *Lophozonotriletes unilateralis* Drjagina sp. nov. x 600. Неотип, обр. ВП-64, спорово-пыльцевая лаборатория ЯГУ, Вилюйская синеклиза, онкучанская свита.

Фиг. 11. *Umbonatisporites sibiricus* (Pash.) Pash. comb. nov. x 600 обр. К-2-533, Кемпендейская впадина, II пачка курунгуряской свиты.

Фиг. 12. *Hymenozonotriletes kurungurachus* Pash. x 600. Обр. К-4-876, Кемпендейская впадина, II пачка курунгуряской свиты.

#### ТАБЛИЦА II

##### Миоспоры

Фиг. 1, 2. *Neogemina angaria* Pash. gen. et sp. nov. x 600. 1 - голотип, обр. К-4-693, спорово-пыльцевая лаборатория ЯГУ, Кемпендейская впадина, III пачка курунгуряской свиты; 2 - паратип, обр. Р-1-1365, там же.

Фиг. 3, 4. *Neogemina rugosa* Pash. sp. nov. x 600. 3 - голотип, обр. Р-1-1365, спорово-пыльцевая лаборатория ЯГУ, Кемпендейская впадина, III пачка курунгуряской свиты; 4 - дистальная сторона, там же.

Фиг. 5, 6. *Neogemina tungusika* Pash. sp. nov. x 600. 5 - голотип, обр. К-3-906, спорово-пыльцевая лаборатория ЯГУ, Кемпендейская впадина, IУ пачка курунгуряской свиты; 6 - дистальная сторона разорванной споры, видна индексина, там же.

Фиг. 7. *Apiculiretusispora ciliaris* Peterson sp. nov. x 500. Голотип обр. № 1334, спорово-пыльцевая лаборатория КГУ, Тунгусский бассейн, р. Тасеева, скв. 1, гл. 123,7 м, нижний карбон, кокуйская свита.

Фиг. 8. *Viduusisporites viduus* (Medv.) Pash. comb. nov. x 600. Плэзотип, обр. К-3-906, спорово-пыльцевая лаборатория ЯГУ, Кемпендейская впадина, IУ пачка курунгуряской свиты.

Фиг. 9-12. *Viduusisporites mutabilis* Pash. sp. nov. x 600. 9 - голотип, обр. К-4-695, спорово-пыльцевая лаборатория ЯГУ, Кемпендейская впадина, IУ пачка курунгуряской свиты; 10-12 - формы, иллюстрирующие изменчивость признаков, там же.

Фиг. 13, 14. *Endoculeospora pallentis* (Luber) Pash. comb. nov. x 600. Обр. 36543, междуречье Непы и Большой Еремы, скв. 67, чедедуйская толща (материалы Л. А. Филимоновой); 14 - форма с тонкой индексиной, у которой не видно "центрального тела", обр. К-3-906, Кемпендейская впадина, IУ толща курунгуряской свиты.

#### ТАБЛИЦА III

##### Миоспоры и акритархи

Фиг. 1, 2. *Vallatisporites acerosus* Peterson sp. nov. 1 - голотип x 500, обр. № а 8149, спорово-пыльцевая лаборатория КГУ, Тунгусский бассейн, р. Чуня, шушукская свита; 2 - паратип x 600, обр. К-4-695, спорово-пыльцевая лаборатория ЯГУ, Кемпендейская впадина, IУ пачка курунгуряской свиты.

Фиг. 3, 4. *Vallatisporites notabilis* Peterson sp. nov. 3 - голотип x 500, обр. № а 8148, спорово-пыльцевая лаборатория КГУ, Тунгусский бассейн, шушукская свита; 4 - паратип x 600, обр. Р-1-1365, спорово-пыльцевая лаборатория ЯГУ, Кемпендейская впадина, скв. Р-1, гл. 1365-1369 м, III пачка курунгуряской свиты.

Фиг. 5. *Vallatisporites vulgaris* Pash. sp. nov. x 600. Голотип, обр. Р-1-1365, спорово-пыльцевая лаборатория ЯГУ, Кемпендейская впадина, скв. Р-1, гл. 1365-1369, III пачка курунгуряской свиты.

Фиг. 6. *Tumulispora var verrucata* Staplin et Jansonius. x 600. Кемпендейская впадина, скв. К-3, гл. 906 м, IУ пачка курунгуряской свиты.

Фиг. 7. *Tumulispora sorosa* Pash. sp. nov. x 600. Голотип, обр. К-4-695, спорово-пыльцевая лаборатория ЯГУ, Кемпендейская впадина, скв. К-4, гл. 695 м, IУ пачка курунгуряской свиты.

Фиг. 8, 9. *Tumulispora malevkensa* (Kedo) Pash. comb. nov. x 600. Плэзотип, обр. К-3-906, спорово-пыльцевая лаборатория ЯГУ, Кемпендейская впадина, скв. К-3, гл. 906 м, IУ пачка курунгуряской свиты; 9 - там же.

Фиг. 10. *Asperispora naumova* Staplin et Jansonius. x 600. Кемпендейская впадина, скв. К-2, гл. 425 м, IУ пачка курунгуряской свиты.

Фиг. 11, 12. *Asperispora nova* Pash. sp. nov. x 600. 11 - голотип, обр. Р-1-1365, спорово-пыльцевая лаборатория ЯГУ, Кемпендейская впадина, III пачка курунгуряжской свиты; 12 - паратип, там же.

Фиг. 13. *Densosporites dentatus* (Pash.) Pash. comb. nov. x 600. Кемпендейская впадина, скв. К-4, гл. 695 м, IV пачка курунгуряжской свиты.

Фиг. 14. *Lycospora capillata* Drjagina sp. nov. x 600. Неотип, обр. К-4-812, спорово-пыльцевая лаборатория ЯГУ, Кемпендейская впадина, скв. К-4, гл. 812 м, III пачка курунгуряжской свиты.

Фиг. 15, 16. *Zonaletes saccatus* Trosckova sp. nov. 15 - голотип x 500, обр. № 7592, спорово-пыльцевая лаборатория КГУ, Тунгусский бассейн, р. Погромная, скв. 243, гл. 190,1 м, кукуйская свита; 16 - x 600, Кемпендейская впадина, IV пачка курунгуряжской свиты (материалы Н.Г. Пашкевич).

Табл. IY-XI (фораминиферы) и табл. ХП (водоросли); шлифы хранятся в Музее ИГиГ СО АН СССР, колл. 357 и 406.

#### ТАБЛИЦА IY

Фиг. 1. *Archaeosphaera minima* Suleimanov. № 406/1, x 100; Кузбасс, левый берег р. Томь между деревнями Мозжуха и Денисово, обр. 11-2<sup>a</sup>, шлиф 10; верхний турне, пограничные отложения тайдонского и фоминского горизонтов.

Фиг. 2. *Vicinesphaera squalida* Antropov. № 406/2, x 100; Кузбасс, р. Большая Мозжуха у деревень Силино и Благодатное, обр. 1-6<sup>a</sup>, шлиф 6; нижний турне, абышевский горизонт.

Фиг. 3. *Parathurammina cf. stellata* Lipina. № 406/3, x 100; Сибирская платформа, район ст. Тундра, скв. С-12, МС-12, обр. 28<sup>a</sup>-1, шлиф. 2; верхний турне, ханельбиринский горизонт.

Фиг. 4. *Bithurammina?* sp. № 406/4, x 100; Сибирская платформа, местонахождение и возраст те же, обр. МС-12-28<sup>a</sup>-1, шлиф 3.

Фиг. 5. *Eovolutina elementa* Antropov. № 406/5, x 100; Сибирская платформа, местонахождение и возраст те же, гл. 477,3 м, шлиф 4.

Фиг. 6. *Eovolutina* sp. № 406/6<sup>a</sup>, x 100; Сибирская платформа, восточное побережье оз. Пясино, скв. Т-185, обр. Т-185-100, шлиф 2; верхний турне, ханельбиринский горизонт. От E. elementa отличается большими размерами.

Фиг. 7. *Bisphaera elegans* Vissarionova. № 406/7<sup>a</sup>, x 60; Кузбасс, р. Большая Мозжуха между деревнями Силино и Благодатное, обр. 1-6, шлиф 9; нижний турне, абышевский горизонт.

Фиг. 8. *Bisphaera irregularis* Birina. № 406/8, x 60; Кузбасс, местонахождение и возраст те же, обр. 1-6<sup>a</sup>, шлиф. 4.

Фиг. 9. *Bisphaera malevkensis* Birina. № 406/7<sup>b</sup>, x 60; Кузбасс, местонахождение и возраст те же, обр. 1-6, шлиф 9.

Фиг. 10. *Corbiella* sp. № 406/9, x 60; Кузбасс, местонахождение и возраст те же, обр. 1-6, шлиф 6.

Фиг. 11. *Eotuberitina reitlingerae* M.- Maclay. № 406/10<sup>a</sup>, x 100; Сибирская платформа, район ст. Тундра, скв. С-12, гл. 477,3 м, шлиф 3; верхний турне, ханельбиринский горизонт.

Фиг. 12. *Earlandia minima* (Birina). № 406/11, x 60; Кузбасс, ле-

вобережье р. Чумыш выше дер. Костенково, левый склон руч. Березового обр. 421-2, шлиф 1; верхний турне.

Фиг. 13. *Earlandia elegans* (Rauser et Reitlinger). № 406/12, x 60; Кузбасс, р. Артышта у дер. Артышта, обр. 423-2<sup>b</sup>, шлиф 8; верхний турне, фоминский горизонт.

Фиг. 14. *Earlandia vulgaris* (Rauser). № 406/124, x 60; Кузбасс, местонахождение и возраст те же, обр. 423-3<sup>c</sup>, шлиф 1.

Фиг. 15, 16. *Tournayella?* (Eotournayella?) kisella Malakhova, с. 121-122. 15 - осевое сечение, № 406-13<sup>a</sup>, x 60; Сибирская платформа, район оз. Кета, скв. ЮИС-5, гл. 317 м, шлиф 3; верхний турне, ханельбиринский горизонт; 16 - сечение, близкое к срединному, № 406/14, x 60; Сибирская платформа; местонахождение и возраст те же, гл. 300,2 м, шлиф 1.

Фиг. 17-20. *Tournayella* (Tournayella) discoidea Dain., с. 122-123. 17 - осевое сечение, № 406/15<sup>a</sup>, x 60; Кузбасс, р. Томь между деревнями Мозжуха и Денисово, обр. 11-2<sup>a</sup>, шлиф 8; верхний турне, пограничные отложения тайдонского и фоминского горизонтов; 18 - осевое сечение, № 406/16<sup>a</sup>, x 60; Сибирская платформа, р. Фокина в 1 км выше устья р. Серебряной, обр. Ф-3-11, шлиф 11; верхний турне, ханельбиринский горизонт (стратотип); 19 - срединное сечение, № 406/16<sup>b</sup>, x 60, Сибирская платформа, местонахождение и возраст те же, обр. Ф-3-11, шлиф 11; 20 - осевое сечение, № 406/17, x 60, Сибирская платформа, район оз. Кета, скв. ЮИС-5, гл. 304 м, шлиф 1; верхний турне, ханельбиринский горизонт.

Фиг. 21-22. *Tournayella* (Tournayella) discoidea var. angusta Lipina. 21 - осевое сечение, № 406/18<sup>a</sup>, x 60 Сибирская платформа, местонахождение и возраст те же, гл. 317,5 м, шлиф. 4; 22 - скошенное срединное сечение, № 406/19<sup>a</sup>, x 60, местонахождение и возраст те же, гл. 317,5 м, шлиф 2.

Фиг. 23-25. *Tournayella* (Tournayella) moelleri Malakhova, с. 124-125. 23 - срединное сечение, № 357/79, x 60; Горловский бассейн, руч. Рябника, левый приток р. Укроп, в с. Укроп; обр. Т-60, шлиф 1; китернинская свита, верхний турне, верхняя часть фоминского горизонта; 24 - осевое сечение, № 357/80, x 60, р. Укроп в 0,2 км ниже устья руч. Большой, обр. Т-54, шлиф 4; китернинская свита, верхнекитернинская подсвита, верхний турне, верхняя часть фоминского горизонта; 25 - скошенное срединное сечение, № 406/20<sup>a</sup>, x 60; Кузбасс, нижнее течение р. Большая Мозжуха, старый карьер у дер. Мозжуха, обр. 9-3, шлиф 2; верхний турне.

Фиг. 26. *Septatournayella* (Septatournayella) lebedevaе Pojarkov, с. 125. Скошенное срединное сечение, № 406/21, x 60; Кузбасс, р. Томь между деревнями Мозжуха и Денисово, обр. 11-2<sup>a</sup>, шлиф 7; верхний турне, пограничные отложения тайдонского и фоминского горизонтов.

#### ТАБЛИЦА IY

Фиг. 1. *Septatournayella* (Septatournayella) aff. pseudocamerata Lipina, с. 125. Сечение, близкое к срединному, № 357/56, x 60; Горловский бассейн, р. Шипуниха, карьер в южном конце с. Ургун, обр. 338, шлиф 5; верхний турне. Отличается менее правильным навиванием.

Фиг. 2-4. *Septatournayella* (*Neoseptatournayella*) *gorlovskensis* Bogush sp. nov., с. 126. 2 - голотип, сечение, близкое к осевому, № 357/82<sup>a</sup>, х 60; Горловский бассейн, р. Укроп в 0,2 км ниже устья руч. Большой, обр. Т-54<sup>B</sup>, шлиф 3; верхнекитеринская подсвита, верхний турне, верхняя часть фоминского горизонта; 3 - косое сечение, № 357/83<sup>a</sup>, х 60; местонахождение и возраст те же, обр. Т-54, шлиф 3; 4 - сечение, близкое к осевому, № 406/22, х 60; Кузбасс, левый берег р. Чумыш около 3,5 км юго-западнее дер. Костенково, обр. 420-18<sup>a</sup>, шлиф 4; верхний турне, фоминский горизонт.

Фиг. 5-9. *Septatournayella* (*Neoseptatournayella*) *evoluta* (Lebedeva), с. 127. 5 - осевое сечение, № 357/81<sup>b</sup>, х 60; Горловский бассейн, р. Укроп, 0,2 км ниже устья руч. Большой, обр. Т-54, шлиф 8; верхний турне, верхнекитеринская подсвита, верхняя часть фоминского горизонта; 6 - срединное сечение, № 357/84, х 60; местонахождение и возраст те же, обр. Т-54, шлиф 5; 7 - осевое сечение, № 406/23, х 60; Кузбасс, р. Чумыш выше дер. Костенково, обр. 421-78<sup>F</sup>, шлиф 1; верхний турне, фоминский горизонт; 8 - срединное сечение, № 406/68, х 60; местонахождение и возраст те же, обр. 421-82, шлиф 2; 9 - срединное сечение, № 406/69, х 60; Кузбасс, р. Томь между деревнями Мозжуха и Денисово, обр. 12-13<sup>F</sup>, шлиф 1; верхний турне, фоминский горизонт.

Фиг. 10-12. *Septatournayella* (*Neoseptatournayella*) *mraassensis* (Lebedeva), с. 129. 10 - срединное сечение, № 406/70<sup>a</sup>, х 60; Северо-Западный Алтай, р. Локтевка у с. Курья; праволоктевская свита, верхний турне; 11 - сечение, близкое к срединному, № 406/70<sup>a</sup>, х 60; Горловский бассейн, р. Шипуниха у с. Ургун, обр. 383, шлиф 1; верхний турне, фоминский горизонт; 12 - косое сечение, № 406/70<sup>b</sup>, х 60, местонахождение и возраст те же.

Фиг. 13. *Septatournayella* (*Neoseptatournayella*) *repentina* Bogush sp. nov., с. 128. Сечение, близкое к осевому, № 406/71, х 60; Северо-Западный Алтай, р. Локтевка, у с. Курья, обр. 101, шлиф 8; праволоктевская свита, визе (?).

#### ТАБЛИЦА У1

Фиг. 1-5. *Septatournayella* (*Neoseptatournayella*) *repentina* Bogush sp. nov., с. 128. 1 - сечение, параллельное осевому, № 406/72, х 60; Кузбасс, в 4 км северо-восточнее с. Крапивино, скв. 11700, гл. 252-255, обр. 252-255B, шлиф 4; верхний турне, верх фоминского горизонта; 2 - осевое сечение, голотип, № 406/73<sup>a</sup>, х 60; Кузбасс, левый берег р. Чумыш выше дер. Костенково, обр. 421-31<sup>B</sup>, шлиф 2; верхний турне, фоминский горизонт; 3 - осевое сечение, № 406/74<sup>a</sup>, х 60; Кузбасс, р. Томь между деревнями Мозжуха и Денисово, обр. 119, шлиф 13; верхний турне, пограничные отложения тайдонского и фоминского горизонтов; 4 - сечение, близкое к срединному, № 406/74<sup>b</sup>, х 60; местонахождение и возраст те же; 5 - сечение, близкое к срединному, № 406/75, х 60, Кузбасс, правый берег р. Полуденный Шурал у деревень Федоровка и Бирюля, обр. 488-9, шлиф 5; визе, подъяковский горизонт, мозжухинская толща.

Фиг. 6, 7. *Septatournayella* *mraassensis* (Lebedeva), с. 129. 6 - срединное сечение, № 406/76, х 60; Кузбасс, 4 км северо-восточнее с. Крапивино, скв. 11700, гл. 245,8-248 м, обр. 245,8-248A, шлиф 6; верхний турне, фоминский горизонт; 7 - срединное сечение, № 406/77, х 60; Северный Алтай, кл. Филаретов у дер. Черемшанка, обр. 559<sup>a</sup>, шлиф 4; верхний турне, фоминский горизонт.

Фиг. 8, 9. *Septabrunsiina* *kraainica* Lipina, с. 129. 8 - осевое сечение, № 406/6<sup>F</sup>, х 60; Сибирская платформа, восточное побережье оз. Пясино, скв. Т-185, обр. Т-185-100, шлиф 1; верхний турне, ханельбирийский горизонт; 9 - срединное сечение, № 406/78, х 60; Кузбасс, левый берег р. Чумыш выше дер. Костенково, обр. 421-85<sup>F</sup>, шлиф 10; верхний турне, фоминский горизонт.

Фиг. 10, 11. *Septabrunsiina* *kingirica* (Reitlinger), с. 130. 10 - срединное сечение, № 357/93, х 60; Горловский бассейн, правобережье р. Китерия, в 1 км ниже устья руч. Доловушка Первая, обр. 360-3, шлиф 5; нижнекитеринская подсвита, верхний турне, тайдонский горизонт; 11 - осевое сечение, № 406/79, х 60; Кузбасс, р. Томь между деревнями Мозжуха и Денисово, обр. 433/26, шлиф 2; верхний турне, низы фоминского горизонта.

Фиг. 12. *Septabrunsiina* *sibirica* Bogush sp. nov., с. 131. Срединное сечение, голотип, № 406/6<sup>d</sup>, х 60; Сибирская платформа, восточное побережье оз. Пясино, скв. Т-185, обр. Т-185-100, шлиф 1; верхний турне, ханельбирийский горизонт.

Фиг. 13-15. *Septabrunsiina* *minuta* Lipina, с. 132. 13 - срединное сечение, № 406/80, х 60; Сибирская платформа, район оз. Кетта, скв. ЮИС-5, гл. 329 м, шлиф 2; верхний турне, ханельбирийский горизонт; 14 - осевое сечение, № 406/81, х 60; местонахождение и возраст те же, скв. ЮИС-5, гл. 328,7 м; 15 - деформированное срединное сечение, № 406/82, х 60; Кузбасс, р. Томь между деревнями Мозжуха и Денисово, обр. 11-2<sup>a</sup>, шлиф 3; верхний турне, пограничные отложения тайдонского и фоминского горизонтов.

Фиг. 16, 17. *Septabrunsiina* aff. *donica* Lipina. 16 - осевое сечение, № 406/83, х 60; Кузбасс, местонахождение и возраст те же, обр. 122, шлиф 5; 17 - осевое сечение, № 406/61<sup>b</sup>, х 60; Сибирская платформа, р. Фокина в 1 км выше устья р. Серебряной, обр. Ф-3-10, шлиф 1; верхний турне, ханельбирийский горизонт. От *Septabrunsiina* *donica* Lip. отличается меньшей высотой последнего оборота.

#### ТАБЛИЦА УП

Фиг. 1. *Septabrunsiina* (*Rectoseptabrunsiina*) *postchusoverensis* Lipina. Осевое сечение, № 406/25, х 60; Кузбасс, р. Томь между деревнями Мозжуха и Денисово, обр. 11-2<sup>a</sup>, шлиф 2; верхний турне, пограничные отложения тайдонского и фоминского горизонтов.

Фиг. 2. *Septaglomospiranella* (*Septaglomospiranella*) *primaeva* (Rauser), с. 133. № 406/26, х 60; Сибирская платформа, восточное побережье оз. Пясино, скв. Т-185, обр. Т-185-100, шлиф 3; верхний турне, ханельбирийский горизонт.

Фиг. 3-5. *Septaglomospiranella* (*Septaglomospiranella*) *kazakhstanica* Reitlinger, с. 134. 3 - № 406/27, х 60; Кузбасс, левый берег р. Томь между деревнями Мозжуха и Денисово, обр. Т-185-100, шлиф 3; верхний турне, ханельбирийский горизонт.

вый берег р. Чумыш около 3,5 км юго-западнее дер. Костенково, обр. 420-18<sup>a</sup>, шлиф 1; верхний турне, фоминский горизонт; 4 - № 406/28<sup>a</sup>, x 60; Сибирская платформа, восточное побережье оз. Пясино, скв. Т-185, обр. Т-185-100, шлиф 2; верхний турне, ханельбирийский горизонт; 5 - № 406/29, x 60; Сибирская платформа, район оз. Кета, скв. ЮИС-5, гл. 325,6 м, шлиф 2; верхний турне, ханельбирийский горизонт.

Фиг. 6, 7. *Septaglomospiranella* (*Septaglomospiranella*) *compressa* Lipina, с. 135. 6 - № 406/30, x 60; Кузбасс, правый берег р. Малый Бачат у бывшей деревни Семенушкино, обр. 163-4, шлиф 3; верхний турне; 7 - № 406/31, x 60; Кузбасс, р. Томь между деревнями Мозжуха и Денисово, обр. 122, шлиф 6; верхний турне, пограничные отложения тайдонского и фоминского горизонтов.

Фиг. 8-10. *Septaglomospiranella?* *aleuensis* Bogush, с. 136. 8 - № 357/50<sup>a</sup>, x 60; Горловский бассейн, водораздел рек Осиновка и Каменушка, в 1 км восточнее восточной окраины с. Каменушка; обр. С-90(3); нижнекитеринская подсвита, верхний турне, тайдонский горизонт; 9 - № 357/50<sup>b</sup>, x 60; местонахождение и возраст те же, обр. С-90(3); 10 - № 406/32, x 60; Кузбасс, нижнее течение р. Большой Мозжухи у дер. Мозжуха, обр. 6-10, шлиф 1; верхний турне, тайдонский горизонт.

Фиг. 11, 12. *Septaglomospiranella* (*Neoseptaglomospiranella*) *daina* Lipina, с. 137. 11 - № 406/33, x 60; Кузбасс, нижнее течение р. Большой Мозжухи, северный конец нового карьера в 1 км северо-западнее дер. Мозжуха, обр. 4, шлиф 3; верхний турне, тайдонский горизонт; 12 - № 406/10<sup>b</sup>, x 60; Сибирская платформа, район ст. Тундра, скв. С-12, гл. 477,3 м, шлиф 3; верхний турне, ханельбирийский горизонт.

Фиг. 13-14. *Septaglomospiranella* (*Neoseptaglomospiranella*) *quadriloba* Dain, с. 137. 13 - № 406/34, x 60; Кузбасс, нижнее течение р. Большой Мозжухи у дер. Мозжуха, обр. 6-10<sup>b</sup>, шлиф 3; верхний турне, тайдонский горизонт; 14 - № 406/28<sup>b</sup>, x 60; Сибирская платформа, восточное побережье оз. Пясино, скв. Т-185, обр. Т-185-100, шлиф 2; верхний турне, ханельбирийский горизонт.

Фиг. 15-17. *Septaglomospiranella* (*Neoseptaglomospiranella*) *oviformis* Brazhnikova, с. 138. 15 - № 357/53<sup>a</sup>, x 60; Горловский бассейн, р. Китерня, 0,2-1 км выше устья руч. Бердюжиха, обр. К-37-1, шлиф 7; нижнекитеринская подсвита, верхний турне, тайдонский горизонт; 16 - № 406/35, x 60; Сибирская платформа, район оз. Кета, скв. ЮИС-5, гл. 318 м, шлиф 2; верхний турне, ханельбирийский горизонт; 17 - № 406/36, x 60; местонахождение и возраст те же, гл. 318 м, шлиф 1.

Фиг. 18-21. *Chernyshinella glomiformis* Lipina, с. 139. 18 - *forma typica*, № 406/37, x 60; Сибирская платформа, район ст. Тундра, скв. С-12, обр. МС-12-28<sup>a</sup>-6, шлиф 1; верхний турне, ханельбирийский горизонт; 19 - *forma maxima*, № 406/38, x 60; Сибирская платформа, район оз. Кета, скв. ЮИС-5, гл. 331,5 м, шлиф 1; верхний турне, ханельбирийский горизонт; 20 - *forma minima*, № 406/39, x 60; местонахождение и возраст те же, гл. 329 м, шлиф 1; 21 - уклонающаяся форма с более низким последним оборотом, № 406/40, x 60; местонахождение и возраст те же, гл. 328,1 м, шлиф 2.

Фиг. 22, 23. *Chernyshinella tundrica* Bogush sp. nov., с. 140. 22 - голотип, № 406/41, x 60; Сибирская платформа, район ст. Тундра, скв. С-12, обр. МС-12-28<sup>a</sup>-4, шлиф 2; верхний турне, ханельбирийский горизонт; 23 - № 406/42, x 60; Сибирская платформа, район оз. Кета, скв. ЮИС-5, гл. 328,1 м, шлиф 1; возраст тот же.

Фиг. 24, 25. *Chernyshinella paucicamerata* Lipina, с. 140. 24 - № 406/43, x 60; местонахождение и возраст те же, гл. 332,8 м, шлиф 1; 25 - № 406/44, x 60; Кузбасс, р. Томь между деревнями Мозжуха и Денисово, обр. 433-32, шлиф 2; верхний турне, фоминский горизонт.

Фиг. 26, 27. *Chernyshinella tumulosa* Lipina, с. 141. 26 - № 406/45, x 60; Сибирская платформа, район ст. Тундра, скв. С-12, обр. МС-12-28<sup>a</sup>-2, шлиф 1; верхний турне, ханельбирийский горизонт; 27 - № 406/46, x 60; Кузбасс, р. Томь между деревнями Мозжуха и Денисово, обр. 433-28, шлиф 1; верхний турне, фоминский горизонт.

Фиг. 28, 29. *Chernyshinella multicamerata* Lipina, с. 141. 28 - № 406/47, x 60; местонахождение то же, обр. 122, шлиф 2; пограничные отложения тайдонского и фоминского горизонтов. 29 - № 406/13<sup>b</sup>, x 60; Сибирская платформа, район оз. Кета, скв. ЮИС-5, гл. 317 м, шлиф 3; верхний турне, ханельбирийский горизонт.

Фиг. 30. *Tournayellina beata*, (Malakhova) c. 142. 30 - № 357/62<sup>B</sup>, x 60; Горловский бассейн, левый берег р. Китерня, водораздел рек Осиновка и Каменушка, в 2 км восточнее восточной окраины с. Каменушка, обр. С-90(1); нижнекитеринская подсвита, верхний турне, тайдонский горизонт.

Фиг. 31-33. *Granuliferella nana sibirica* Bogush subsp. nov. с. 144. 31 - голотип, № 406/48, x 60; Колымский массив, правобережье р. Поповка, руч. Каменка, 4 1/2-5 км выше устья, обр. 5/47, шлиф 2; верхний турне; 32 - № 406/19<sup>b</sup>, x 60; Сибирская платформа, район оз. Кета, скв. ЮИС-5, гл. 317,5 м, шлиф 2; верхний турне, ханельбирийский горизонт; 33 - № 406/49, x 60; местонахождение и возраст те же, гл. 323 м, шлиф 1.

Фиг. 34-36. *Granuliferella borealis* Bogush sp. nov., с. 145. 34 - № 406/50, x 60; местонахождение и возраст те же, скв. ЮИС-5, гл. 317,5 м, шлиф 3; 35 - № 406/51, x 60; Сибирская платформа, район оз. Кета, скв. ЮИС-6, гл. 629,9-633,0 м, шлиф 2; верхний турне, ханельбирийский горизонт; 36 - голотип, № 406/52, x 60; Сибирская платформа, район ст. Тундра, скв. С-12, обр. МС-12-28<sup>a</sup>-8, шлиф 3; верхний турне, ханельбирийский горизонт.

Фиг. 37. *Palaeospiroplectammina* aff. *diversa* (Tchernysheva). № 406/53, x 60; Сибирская платформа, правобережье р. Оленек, бассейн р. Кютюнгэ (реки Булбарангда и Сээн), обр. ВО-53-3<sup>a</sup>, шлиф 1; верхняя известняковая пачка, визе. От *P. diversa* отличается меньшим числом камер в двурядной части и малыми размерами.

#### ТАБЛИЦА III

Фиг. 1, 2. *Palaeospiroplectammina tchernyshinensis* tchernyshinensis (Lipina). 1 - № 406/6<sup>b</sup>, x 60; Сибирская платформа, восточное побережье оз. Пясино, скв. Т-185, обр. Т-185-100.

шлиф 2; верхний турне, ханельбиринский горизонт; 2 - экз. 357/65, № 60; Горловский бассейн, правый склон р. Шипуника у северного конца с. Шадрино, обр. 334, шлиф 6; верхний турне, тайдонский горизонт.

Фиг. 3. *Palaeospiroplectammina tchernyshinensis globata* (Lipina), с. 146. № - 406/54, № 60; Колымский массив, правобережье р. Поповка, руч. Каменка, 41/2-5 км выше устья, обр. 44, шлиф 1; верхний турне.

Фиг. 4, 5. *Palaeospiroplectammina diversa* (N. Tchernysheva), с. 147. 4 - № 406/55<sup>a</sup>, № 60; Кузбасс, правый берег р. Малый Бачат у бывшей деревни Семенушкино, обр. 402-р, шлиф 2; визе; подъяковский горизонт, семенушкинская толща; 5 - № 406/56, № 60; местонахождение и возраст те же, обр. 402-р, шлиф 4.

Фиг. 6, 7. *Endothyra parakosvensis* Lipina. 6 - осевое сечение, № 406/57, № 60; Сибирская платформа, район оз. Кета, скв. ЮИС-5, гл. 326,5 м, шлиф 2; верхний турне, ханельбиринский горизонт; 7 - срединное сечение, № 406/20<sup>b</sup>, № 60; Кузбасс, нижнее течение р. Большой Мозжухи, старый карьер у дер. Мозжуха, обр. 9-3, шлиф 2; верхний турне.

Фиг. 8. *Endothyra pauciseptata* Rauser. № 406/58, № 60; Кузбасс, правый берег р. Малый Бачат у бывшей деревни Семенушкино, обр. 163-4, шлиф 8, верхний турне.

Фиг. 9, 10. *Endothyra chernyshinelliformis* Lipina. 9 - срединное сечение, № 406/59<sup>a</sup>, № 60; Кузбасс, левый берег р. Чумыш, около 3,5 км юго-западнее дер. Костенково, обр. 420-36к, шлиф 4; верхний турне, фоминский горизонт; 10 - срединное сечение, № 406/60, № 60; Сибирская платформа, район оз. Кета, скв. ЮИС-5, гл. 336,3 м, шлиф 1; верхний турне, ханельбиринский горизонт.

Фиг. 11, 12. *Endothyra tuberculata* Lipina. 11 - срединное сечение, № 406/61<sup>a</sup>, № 60; Сибирская платформа, р. Фокина в 1 км выше устья р. Серебряной, обр. Ф-3-10, шлиф 1; верхний турне, ханельбиринский горизонт; 12 - срединное сечение, № 406/15<sup>b</sup>, № 60; Кузбасс, р. Томь между деревнями Мозжуха и Денисово, обр. 11-2<sup>a</sup>, шлиф 8; верхний турне, пограничные отложения тайдонского и фоминского горизонтов.

Фиг. 13. *Endothyra juncta* Voizekhovskaja. Сечение, близкое к осевому, № 406/62, № 60; Кузбасс, местонахождение и возраст те же, обр. 119, шлиф 2.

Фиг. 14. *Endothyra kosvensis* Lipina. Осевое сечение, № 406/63, № 60; Кузбасс, местонахождение то же, обр. 433-29, шлиф 3; верхний турне, фоминский горизонт.

Фиг. 15, 16. *Endothyra piluginensis* Lipina. 15 - осевое сечение, № 406/18<sup>b</sup>, № 60; Сибирская платформа, район оз. Кета, скв. ЮИС-5, гл. 317,5 м, шлиф 4; верхний турне, ханельбиринский горизонт; 16 - осевое сечение, № 406/64, № 60; Кузбасс, р. Томь между деревнями Мозжуха и Денисово, обр. 119, шлиф 10; верхний турне, пограничные отложения тайдонского и фоминского горизонтов.

Фиг. 17. *Endothyra prisca* Rauser. Осевое сечение, № 406/6<sup>b</sup>, № 60; Сибирская платформа, восточное побережье оз. Пясино, скв. Т-185, обр. Т-185-100, шлиф 1; верхний турне, ханельбиринский горизонт.

Фиг. 18. *Endothyra paraprisca* Schlykova. Сечение, близкое к осевому, № 406/65, № 60; Кузбасс, левый берег р. Чумыш, выше

дер. Костенково, обр. 421/23<sup>a</sup>, шлиф 2; верхний турне, фоминский горизонт.

Фиг. 19. *Endothyra grata* Voizekhovskaja. Срединное сечение, № 406/66, № 60; Кузбасс, р. Артышта у дер. Артышта, обр. 151, шлиф 5; верхний турне, фоминский горизонт.

Фиг. 20. *Endothyra amplis* Schlykova. Сечение, близкое к осевому, № 406/55<sup>b</sup>, № 60; Кузбасс, правый берег р. Малый Бачат у бывшей деревни Семенушкино, обр. 402-р, шлиф 2; визе, подъяковский горизонт, семенушкинская толща.

Фиг. 21. *Endothyra inflata* Lipina. Осевое сечение, № 406/67, № 60; Кузбасс, р. Томь, между деревнями Мозжуха и Денисово, обр. 433-33, шлиф 6; верхний турне, фоминский горизонт.

#### ТАБЛИЦА IX

Фиг. 1. *Endothyra excelsa* Ganelina. Осевое сечение, № 406/84, № 60; Кузбасс, р. Артышта, у дер. Артышта, обр. 428-11<sup>b</sup>, шлиф 3; визе, подъяковский горизонт, мозжухинская толща.

Фиг. 2. *Endothyra tantilla* Schlykova. Осевое сечение, № 406/85, № 60; Кузбасс, местонахождение то же, обр. 427-1<sup>c</sup>, шлиф 1; визе, подъяковский горизонт, семенушкинская толща.

Фиг. 3, 4. *Endothyra excelsaformis* Bogush sp. nov., с. 147. 3 - осевое сечение, голотип, № 406/86, № 60; Кузбасс, местонахождение и возраст те же, обр. 429-1<sup>b</sup>, шлиф 3; 4 - осевое сечение, № 406/87, № 60; местонахождение и возраст те же, обр. 429-1<sup>b</sup>, шлиф 5.

Фиг. 5. *Endothyra chumyshensis* Lebedeva, с. 148. Осевое сечение, № 406/88, № 60; Кузбасс, р. Томь около 5 км выше дер. Фомиха, обр. 90; верхний турне.

Фиг. 6. *Endothyra honesta* Schlykova, с. 149. Осевое сечение, № 406/89, № 60; Кузбасс, р. Томь между деревнями Мозжуха и Денисово, обр. 433-26, шлиф 1; верхний турне, фоминский горизонт.

Фиг. 7-10. *Endothyra perfida* Lebedeva, с. 149. Осевое сечение, № 406/90, № 60; местонахождение то же, обр. 119, шлиф 12; верхний турне, пограничные слои тайдонского и фоминского горизонтов; 8 - осевое сечение, № 406/91<sup>a</sup>, № 60; Кузбасс, р. Чумыш выше дер. Костенково, обр. 421-85<sup>a</sup>, шлиф 2; верхний турне, фоминский горизонт; 9 - осевое сечение, № 406/92, № 60; Сибирская платформа, правобережье р. Оленек, бассейн р. Кютюнгэ (реки Булбарангда и Сээн), обр. ВО-53-3<sup>b</sup>, шлиф 1; верхняя известняковая пачка, визе; 10 - осевое сечение, № 406/93, № 60; Кузбасс, 4 км северо-восточнее с. Крапивино, скв. 11700, гл. 255-258 м, обр. 255-258<sup>a</sup>, шлиф 1; верхний турне, верх фоминского горизонта.

Фиг. 11-13. *Endothyra kjutjungdersis* Bogush sp. nov., с. 150. 11 - осевое сечение, голотип, № 406/94<sup>a</sup>, № 60; Сибирская платформа, правобережье р. Оленек, бассейн р. Кютюнгэ (реки Булбарангда и Сээн), обр. ВО-56-2<sup>a</sup>, шлиф 1; верхняя известняковая пачка, визе; 12 - сечение, близкое к осевому, № 406/94<sup>b</sup>, № 60; местонахождение и возраст те же, обр. ВО-56-2<sup>a</sup>, шлиф 1; 13 - сечение, близкое к срединному, № 406/95, № 60; местонахождение и возраст те же, обр. 56-2<sup>a</sup>, шлиф 3.

Фиг. 14. *Endothyra* aff. *pepeljaevi* Bogush et Juserev. Сечение, близкое к осевому, № 406/96<sup>a</sup>, x 60; местонахождение и возраст те же, обр. ВО-56-2<sup>a</sup>, шлиф 7.

Фиг. 15, 16. *Plectogyrina?* aff. *somichaensis* Lebedeva. 15 - сечение, близкое к осевому, № 406/97, x 60; местонахождение и возраст те же, обр. ВО-56-2<sup>a</sup>, шлиф 5; 16 - сечение, близкое к срединному, № 406/96<sup>b</sup>, x 60; местонахождение и возраст те же, обр. ВО-56-2<sup>a</sup>, шлиф 7.

Фиг. 17, 18. *Plectogyrina admiranda* Lebedeva. 17 - срединное сечение, № 406/98, x 60; Кузбасс, р. Томь между деревнями Мозжуха и Денисово, обр. 11-2<sup>a</sup>, шлиф 12; верхний турне, пограничные отложения тайдонского и фоминского горизонтов; 18 - срединное сечение, № 406/61<sup>b</sup>, x 60; Сибирская платформа, р. Фокина в 1 км выше устья р. Серебряной, обр. Ф-3-10, шлиф 1; верхний турне, ханельбиринский горизонт.

#### ТАБЛИЦА X

Фиг. 1, 2. *Planoendothyra rotai* (Dain), c. 151. 1 - осевое сечение, № 406/99, x 60; Кузбасс, р. Томь между деревнями Мозжуха и Денисово, обр. 433-29, шлиф 1; верхний турне, фоминский горизонт; 2 - осевое сечение, № 406/100, x 60; местонахождение и возраст те же, обр. 433-28, шлиф 2.

Фиг. 3-6. *Planoendothyra compta* (Schlykova), c. 152. 3 - осевое сечение, № 406/59<sup>b</sup>, x 60; Кузбасс, левый берег р. Чумыш около 3,5 км юго-западнее дер. Костенково, обр. 420-36<sup>c</sup>, шлиф 4, верхний турне, фоминский горизонт; 4 - осевое сечение, № 406/101, x 60; Сибирская платформа, район оз. Кета, скв. ЮИС-5, гл. 323 м, шлиф 2; верхний турне, ханельбиринский горизонт; 5 - срединное сечение, № 406/102, x 60; местонахождение и возраст те же, скв. ЮИС-5, гл. 316,2 м, шлиф 1; 6 - осевое сечение (forma sigma), № 406/103, x 60; Кузбасс, р. Томь между деревнями Мозжуха и Денисово, обр. 433-24<sup>c</sup>, шлиф 2; верхний турне, пограничные отложения тайдонского и фоминского горизонтов.

Фиг. 7-9. *Planoendothyra* aff. *compta* Schlykova. 7 - срединное сечение, № 406/104, x 60; Северо-Западный Алтай, р. Локтевка у с. Курья, обр. 28, шлиф 4; праволоктевская свита, верхний турне; 8 - осевое сечение, № 406/24<sup>b</sup>, x 60; местонахождение и возраст те же, обр. 28, шлиф 2; 9 - осевое сечение, № 406/105, x 60; местонахождение и возраст те же, обр. 27, шлиф 1. Отличается от типичной большей высотой последнего оборота.

Фиг. 10. *Planoendothyra arta* Lebedeva. Сечение, близкое к осевому, № 406/106, x 60; Кузбасс, р. Томь между деревнями Мозжуха и Денисово, обр. 433-33, шлиф 1; верхний турне, фоминский горизонт.

Фиг. 11. *Planoendothyra obscura* (Brazhnikova). Осевое сечение, № 406/107, x 60; Кузбасс, местонахождение то же, обр. 122, шлиф 3; верхний турне, пограничные отложения тайдонского и фоминского горизонтов.

Фиг. 12. *Planoendothyra* aff. *procera* Schlykova. Осевое сечение, № 406/108, x 60; Северо-Западный Алтай, р. Локтевка у с.

Курья, обр. 28, шлиф 1; праволоктевская свита, верхний турне. Отличается от типичной резким возрастанием высоты последнего оборота и крупными размерами.

Фиг. 13, 14. *Globoendothyra kuzbassica* Bogush sp. nov., c. 153. 13 - осевое сечение, № 406/109, x 60; Кузбасс, левый берег р. Чумыш около 3,5 км юго-западнее дер. Костенково, обр. 420-36<sup>d</sup>, шлиф 5; верхний турне, фоминский горизонт; 14 - срединное сечение, голотип, № 406/110, x 60; местонахождение и возраст те же, обр. 420-37<sup>d</sup>, шлиф 5.

Фиг. 15. *Globoendothyra inconstans* Grozdilova. Сечение, близкое к осевому, № 406/11, x 60; Кузбасс, правый берег р. Томь у дер. Подъяково, обр. 12-2<sup>a</sup>, шлиф 1; визе, подъяковский горизонт, мозжухинская толща.

Фиг. 16, 17. *Globoendothyra ignota* Bogush sp. nov., c. 154. 16 - косое сечение, близкое к продольному, № 406/73<sup>b</sup>, x 60; Кузбасс, р. Чумыш у дер. Костенково, обр. 421-31<sup>b</sup>, шлиф 2; верхний турне, фоминский горизонт; 17 - срединное сечение, голотип, № 406/91<sup>b</sup>, x 60; местонахождение и возраст те же, обр. 421-85<sup>b</sup>, шлиф 2.

#### ТАБЛИЦА XI

Фиг. 1. *Globoendothyra mikutzkii* Lebedeva. Срединное сечение, № 406/112<sup>a</sup>, x 60; Кузбасс, правый берег р. Томь у дер. Подъяково, обр. 12-5, шлиф 2; визе, подъяковский горизонт, щегловская толща.

Фиг. 2-5. *Eoendothyranopsis pressa* Grozdilova, c. 154. 2 - осевое сечение, № 406/112<sup>b</sup>, x 60; местонахождение и возраст те же, обр. 12-5, шлиф 2; 3 - осевое сечение, № 406/113<sup>a</sup>, x 60; Сибирская платформа, правобережье р. Оленек, бассейн р. Кютонгэ (реки Булбарангда и Сээн), обр. ВО-53-3<sup>b</sup>, шлиф 7; визе; 4 - срединное сечение, № 406/113<sup>b</sup>, x 60; местонахождение и возраст те же, обр. ВО-53-3<sup>b</sup>, шлиф 7; 5 - осевое сечение, № 406/114<sup>a</sup>, x 60; Кузбасс, правый берег р. Полуденный Шурап у деревень Федоровка и Бирюля, обр. 488-11, шлиф 1; визе, подъяковский горизонт, мозжухинская толща.

Фиг. 6-9. *Eoendothyranopsis ermakiensis* (Lebedeva), c. 155. 6 - осевое сечение, № 406/115, x 60; Восточный Таймыр, бассейн р. Нюнькараку-Тари, руч. Бокситовый, обр. 16-30, шлиф 4; визе, сырадасайский горизонт; 7 - осевое сечение, № 406/116, x 60; Кузбасс, правый берег р. Полуденный Шурап у деревень Федоровка и Бирюля, обр. 488-11, шлиф 2; визе, подъяковский горизонт, мозжухинская толща; 8 - осевое сечение, № 406/117, x 60; Сибирская платформа, правобережье р. Оленек, бассейн р. Кютонгэ (реки Булбарангда и Сээн), обр. 53-3<sup>b</sup>, шлиф 6; 9 - срединное сечение, № 406/118, x 60; местонахождение и возраст те же, обр. 53-3<sup>b</sup>, шлиф 8.

Фиг. 10. *Eoendothyranopsis* aff. *subtilis* M.F. Solovjeva. Осевое сечение, № 406/114<sup>b</sup>, x 60; Кузбасс, правый берег р. Полуденный Шурап у деревень Федоровка и Бирюля, обр. 488-11, шлиф 1, визе, подъяковский горизонт, мозжухинская толща. Отличается от типично мене скатой раковиной и более углубленными пупками.

- Фиг. 11. *Eoendothyranopsis* sp. Осевое сечение, № 406/114<sup>a</sup>, x 60; местонахождение и возраст те же, обр. 488-11, шлиф 1.
- Фиг. 12. *Tetrataxis eominima* Rauser. № 406/119, x 60; Кузбасс, р. Артышта у дер. Артышта, обр. 423<sup>a</sup>-4, шлиф 6, верхний турне, фоминский горизонт.
- Фиг. 13. *Tetrataxis brazhnikovae* Bogush et Juserev. № 406/120, x 60; местонахождение и возраст те же, обр. 155, шлиф 1.
- Фиг. 14. *Tetrataxis paraminima* Vissarionova. № 406/121, x 60; местонахождение и возраст те же, обр. 423<sup>a</sup>-15<sup>a</sup>, шлиф 3; визе.
- Фиг. 15. *Tetrataxis digna* Grozdilova. № 406/122, x 60; местонахождение то же, обр. 153, шлиф 1, верхний турне, фоминский горизонт.
- Фиг. 16. *Tetrataxis media* Vissarionova. № 406/123, x 60; Кузбасс, правый берег р. Малый Бачат у бывшей деревни Семенушкино, обр. 401д, шлиф 1; верхний турне, фоминский горизонт.

## ТАБЛИЦА ХП

## Водоросли

- Фиг. 1. *Kamaena* sp. № 406/37а, x 60; Сибирская платформа, район ст. Тундра, скв. С-12, обр. МС-12-28а-6, шлиф 1; верхний турне, ханельбирийский горизонт.
- Фиг. 2. *Kamaena* (?) sp. № 406/125, x 60; местонахождение и возраст те же, обр. МС-12-28а-11, шлиф 2.
- Фиг. 3, 4. *Kamaena* sp. 3 - № 406/126, x 60; Кузбасс, р. Малый Бачат у бывшей деревни Семенушкино, погра ничные отложения турне и визе; 4 - № 406/127, x 60; Кузбасс, р. Большая Мозжуха у деревень Благодатное и Силино, обр. 1-6, шлиф 3; нижний турне, абышевский горизонт.
- Фиг. 5, 6. *Menselina* sp. 5 - № 406/128, x 60; Колывань-Томская зона, Мильтиюшский прогиб, р. Койниха у дер. Таскаево, обр. 308-2, шлиф 3; нижний турне; 6 - № 406/129, x 60; местонахождение и возраст те же, обр. 308-3, шлиф 2.
- Фиг. 7. *Girvanella* sp. № 406/130, x 60; Кузбасс, р. Большая Мозжуха у деревень Благодатное и Силино, обр. 1-6а, шлиф 8, нижний турне.
- Фиг. 8. *Asphaltina* sp. № 406/131, x 60; Кузбасс, р. Томь между деревнями Мозжуха и Денисово, обр. 433-24<sup>a</sup>, шлиф 2; верхний турне, низы фоминского горизонта.
- Фиг. 9-11. *Ungdarellaaceae*. 9 - № 406/132, x 60; Кузбасс, р. Артышта у дер. Артышта, обр. 430-1д, шлиф 2; верхний турне, фоминский горизонт; 10 - № 406/133, x 60; Кузбасс, р. Артышта у дер. Артышта, обр. 151, шлиф 10; возраст тот же; 11 - № 406/134, x 60; Сибирская платформа, район ст. Тундра, скв. 12, обр. 3М-26, шлиф 1; верхний турне, ханельбирийский горизонт.
- Фиг. 12, 13. *Parachaetetes* sp. 12 - № 406/135, x 60; Кузбасс, р. Иня у дер. Абышево, обр. 515-2, шлиф 2; нижний турне, абышевский горизонт; 13 - № 406/136, x 60; Кузбасс, местонахождение и возраст те же, обр. 515-2, шлиф 1.

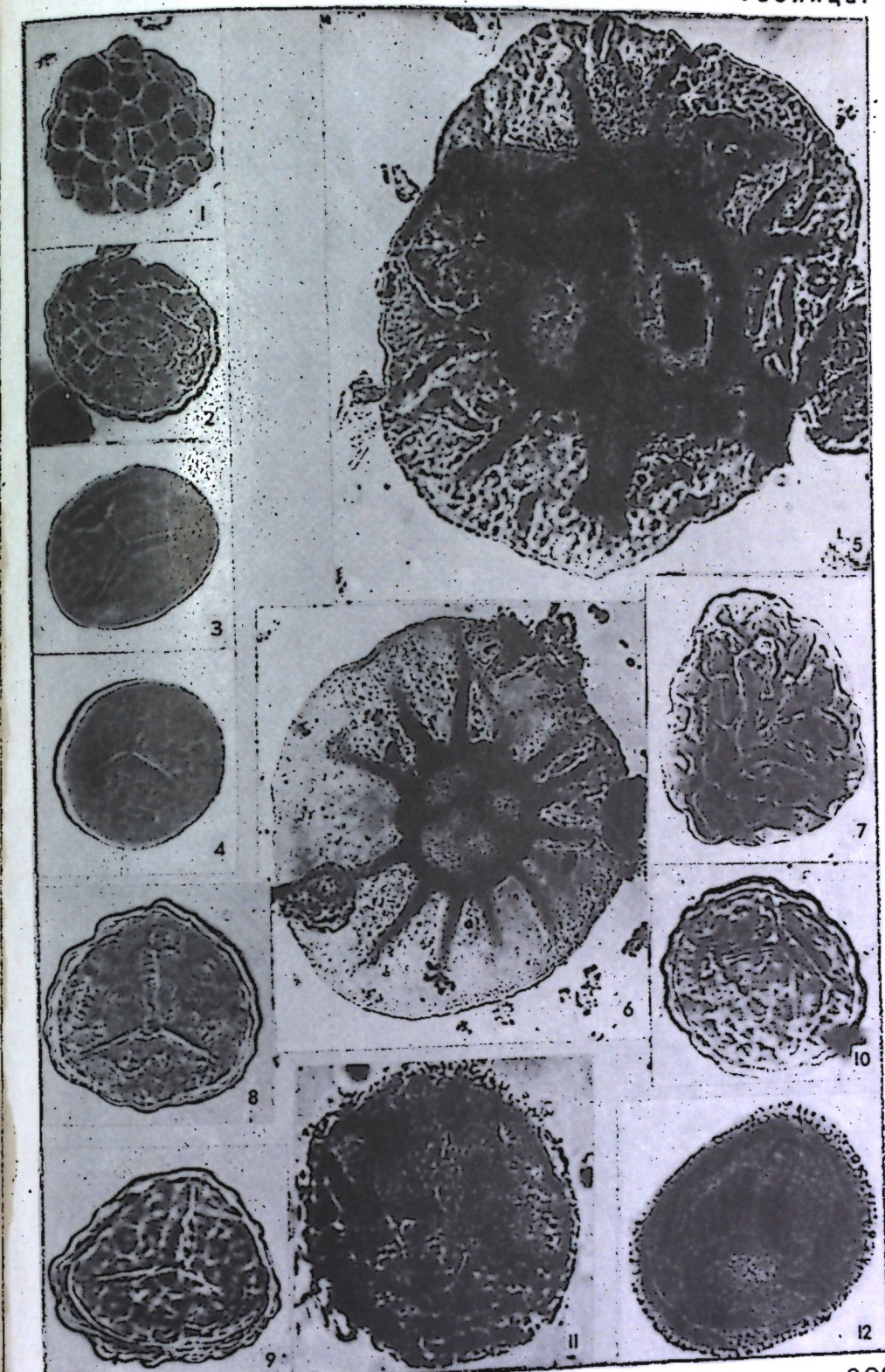


Таблица II

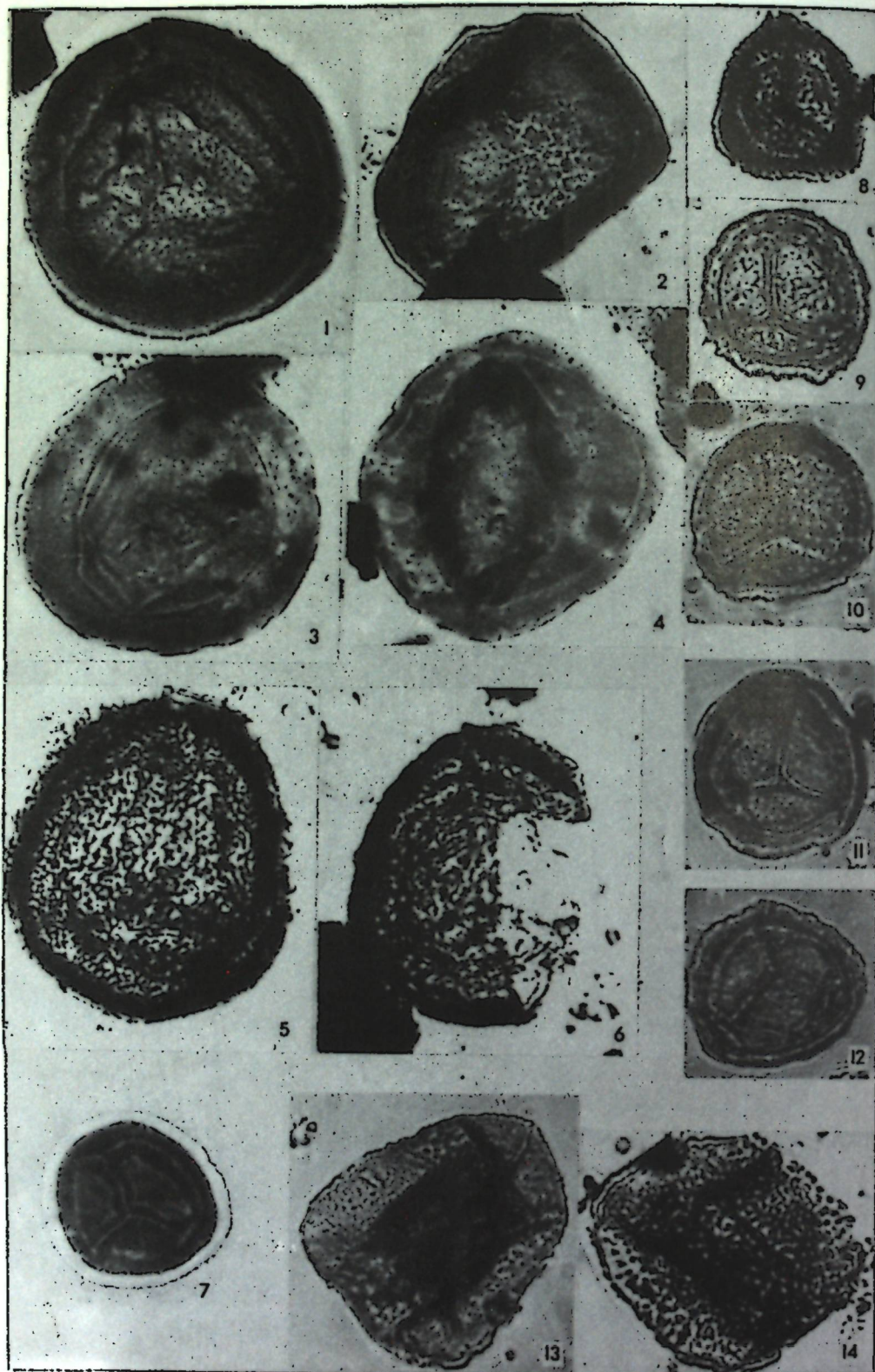


Таблица III

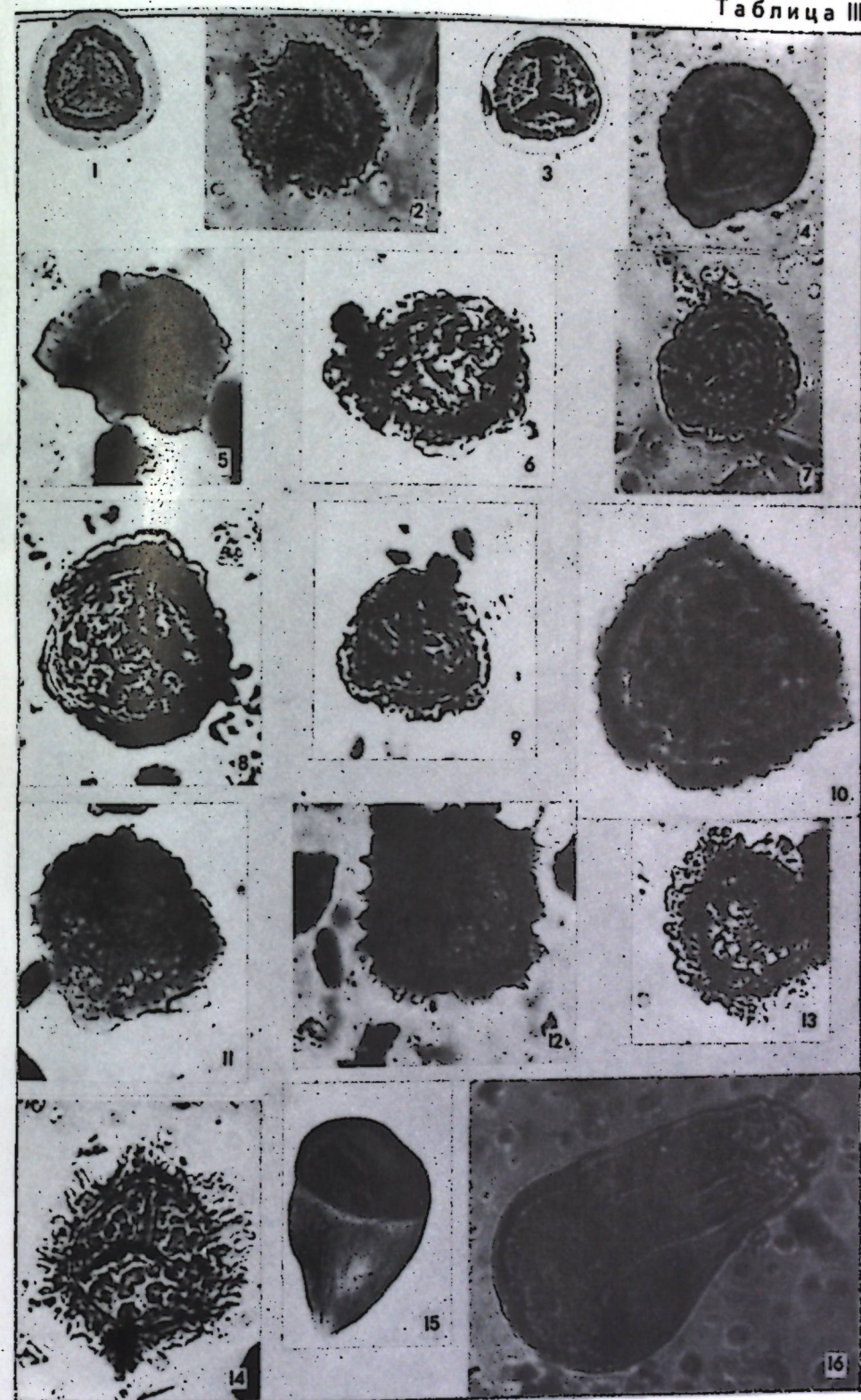


Таблица IV

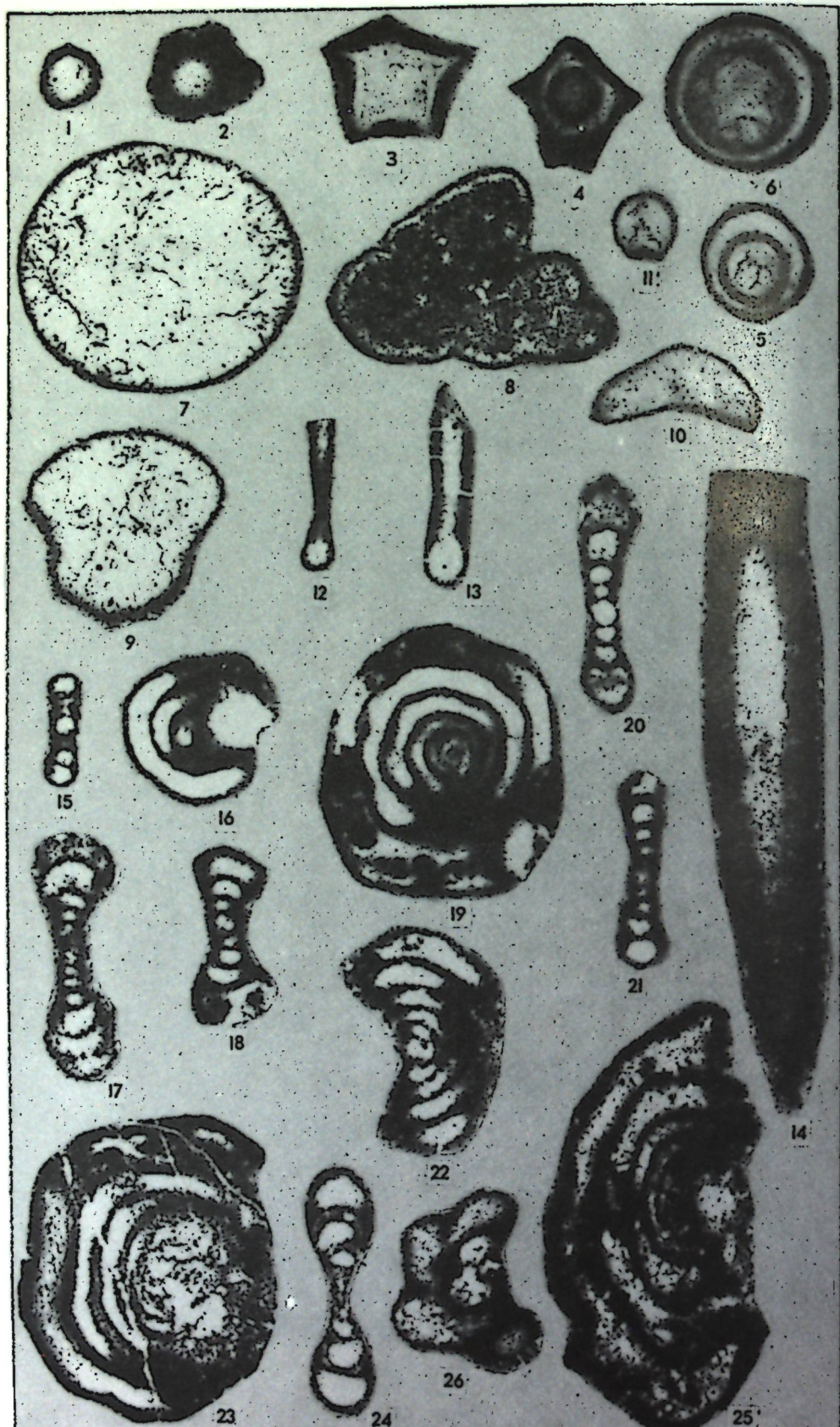


Таблица V

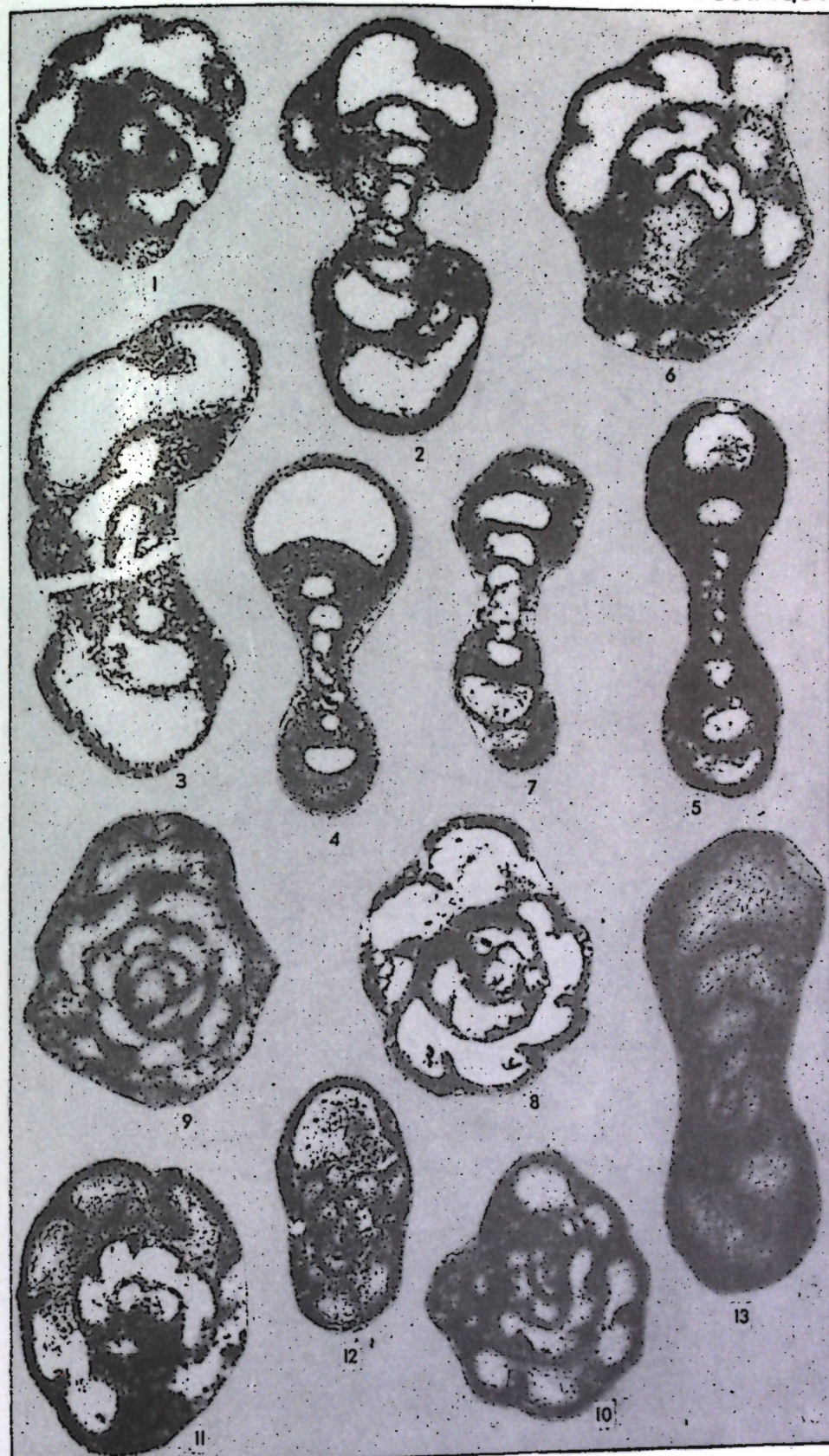


Таблица VI



Таблица VII

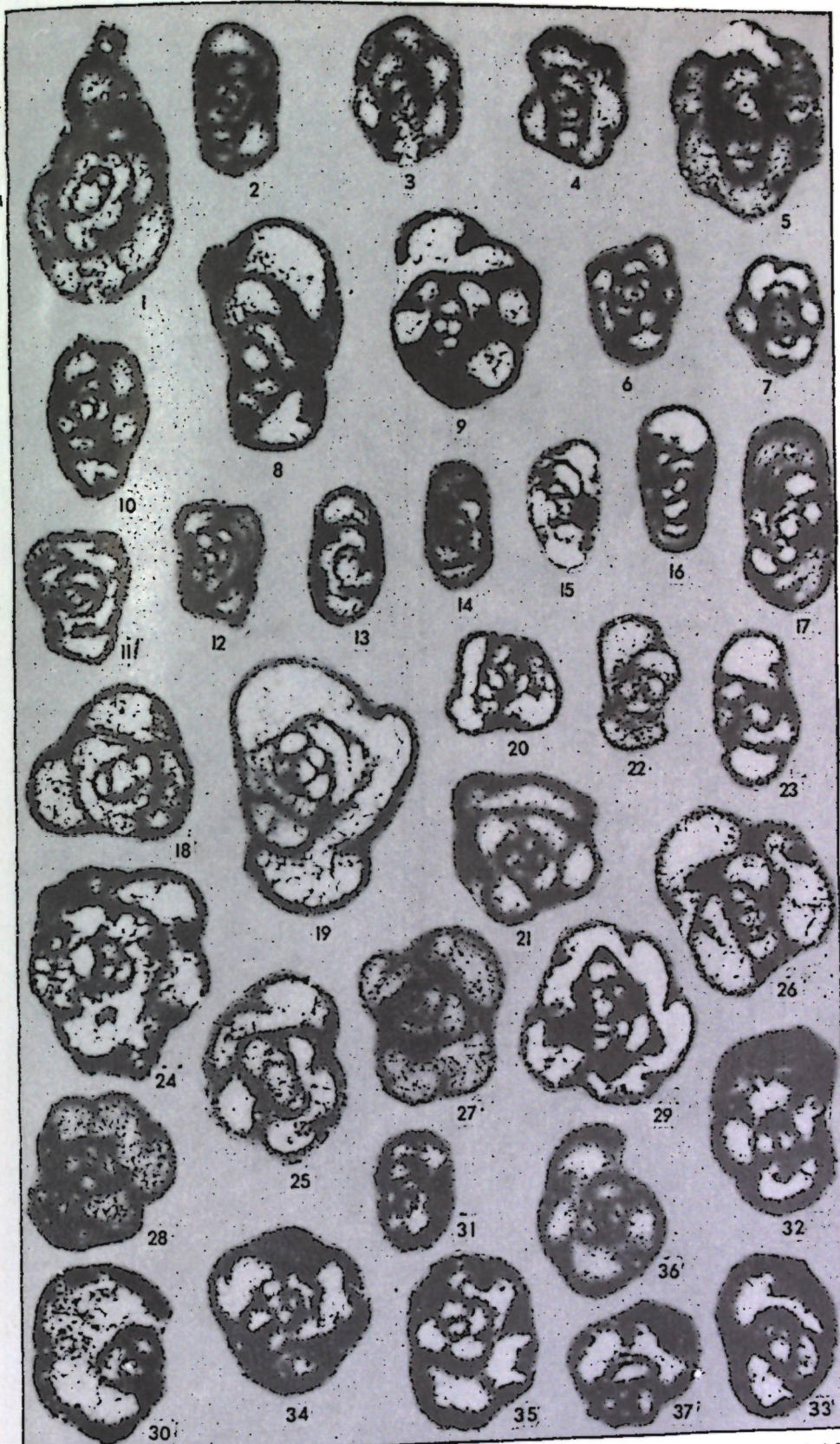


Таблица VIII



Таблица IX



Таблица X

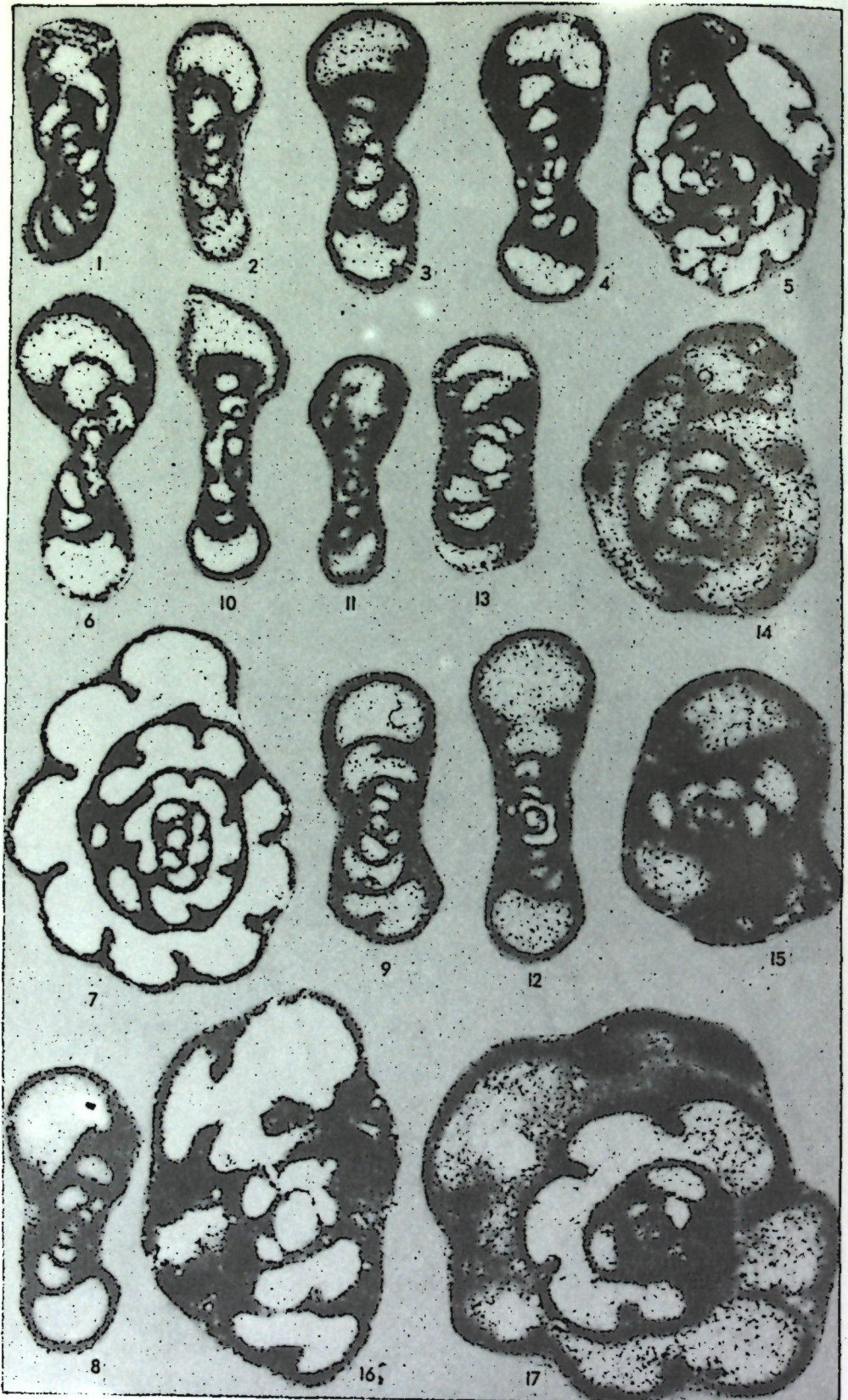


Таблица XI

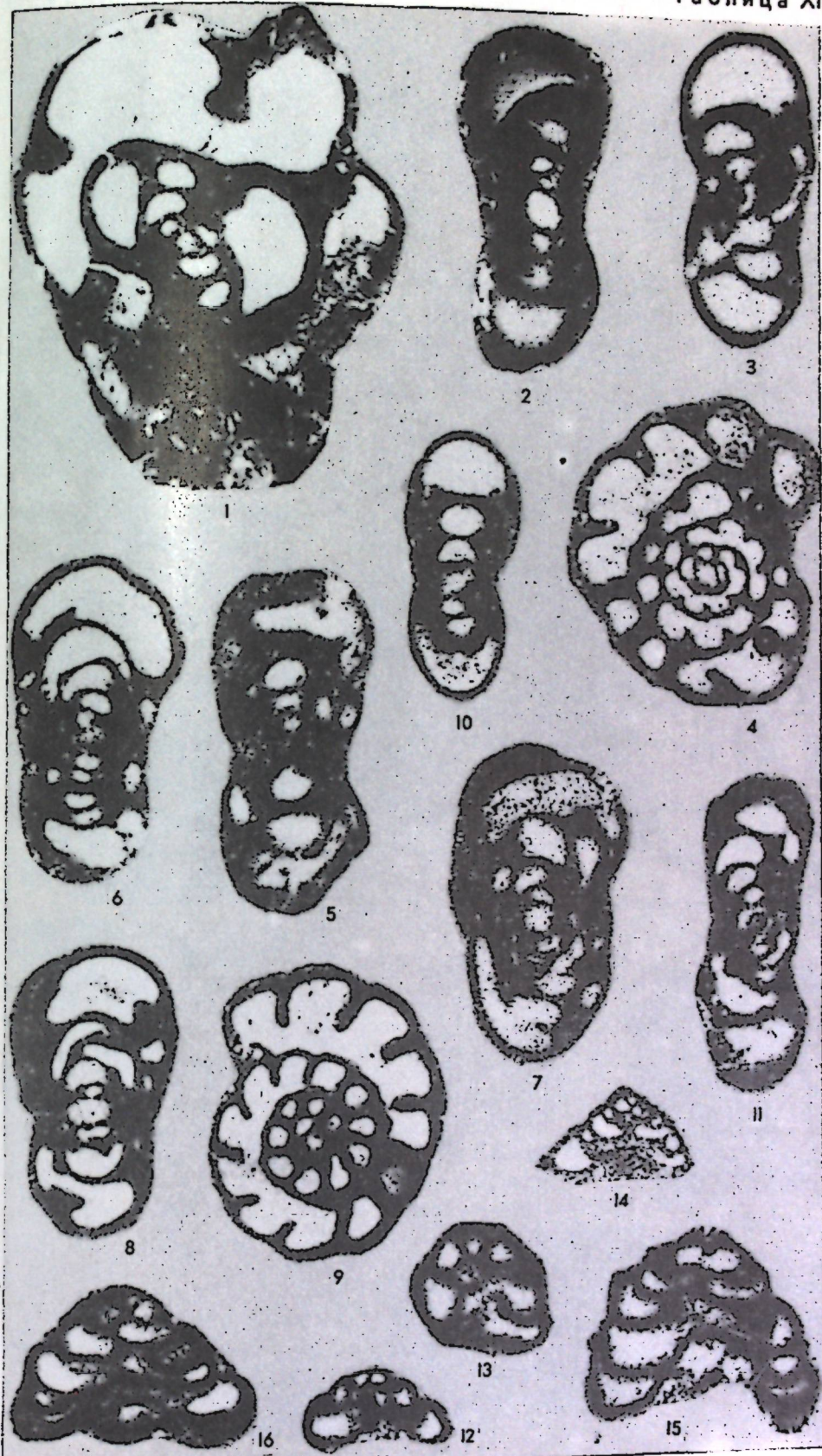
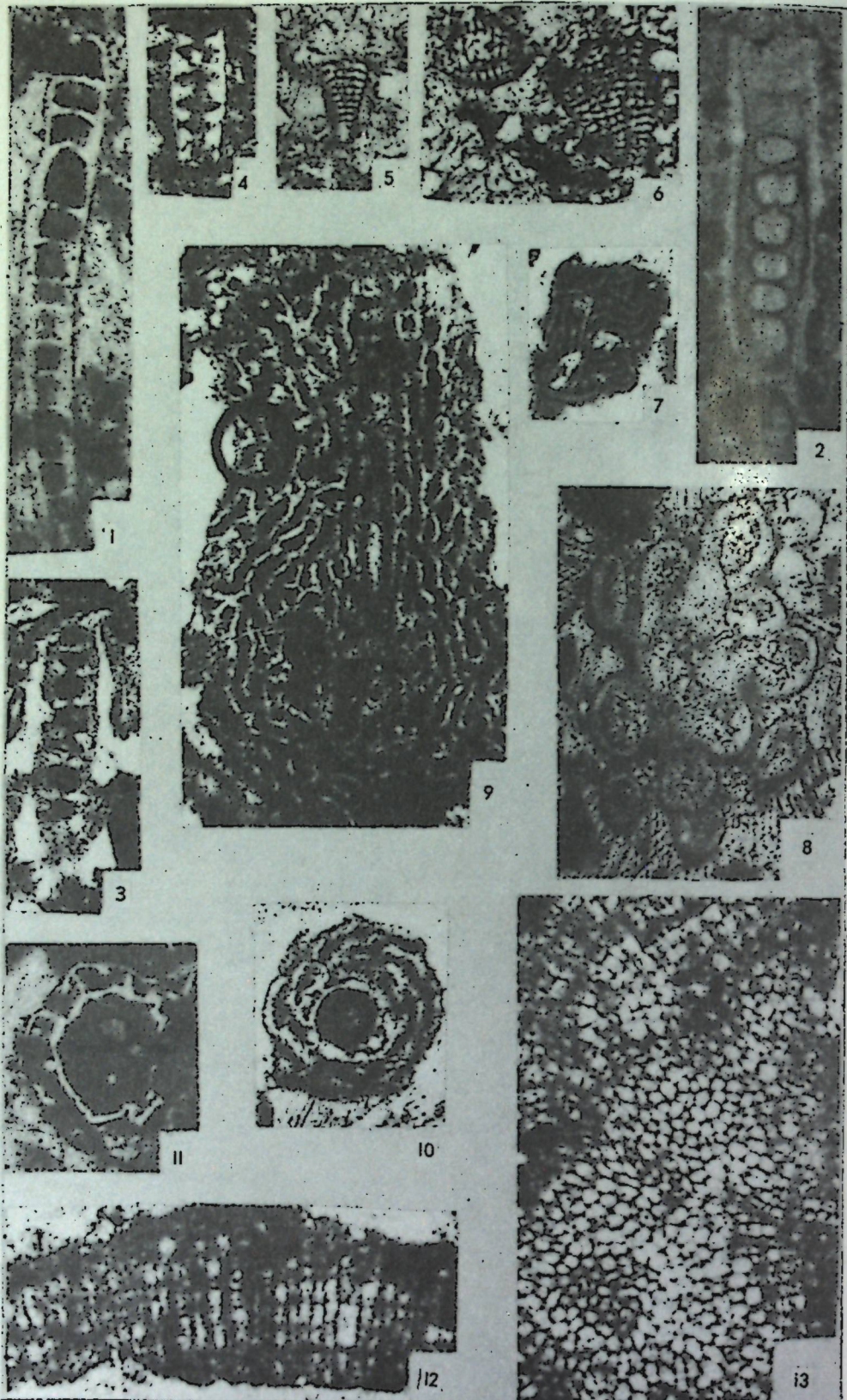


Таблица XII



## ОГЛАВЛЕНИЕ

Предисловие (О.В. Юферев) . . . . .	3
Стратиграфия нижнекаменноугольных отложений Средней Сибири . . . . .	5
Сибирская платформа . . . . .	6
1. Северо-западная, западная, юго-восточная, восточная и северо-восточная части платформы (О.И. Богуш, О.В. Бааг, Т.А. Дивина, Л.Л. Дрягина, К.Е. Колодезников, Р.Г. Матухин, Н.Г. Пашкевич, Л.Н. Петерсон, Г.С. Фрадкин, О.В. Юферев) . . . . .	6
П. Юго-западная и южная части платформы (М.И. Грайзер, Л.Н. Петерсон, Ф.С. Ульмасвай) . . . . .	19
Саяно-Алтайская горная область . . . . .	26
1. Западная часть Саяно-Алтайской горной области (О.И. Богуш, О.В. Юферев) . . . . .	26
П. Восточная часть Саяно-Алтайской горной области (В.А. Ананьев, М.И. Грайзер) . . . . .	48
Типы пород нижнего карбона Сибирской платформы (О.В. Бааг, Т.А. Дивина, Р.Г. Матухин, Ф.С. Ульмасвай) . . . . .	61
Условия осадконакопления (О.В. Бааг, Т.А. Дивина, М.И. Грайзер, Р.Г. Матухин, Ф.С. Ульмасвай) . . . . .	72
Палеобиогеографическое районирование (О.И. Богуш, О.В. Юферев) . . . . .	85
Описание органических остатков . . . . .	104
1. Миоспоры (Л.Л. Дрягина, Н.Г. Пашкевич, Л.Н. Петерсон) . . . . .	-
П. Акритархи (Н.Г. Пашкевич) . . . . .	121
III. Фораминиферы (О.И. Богуш) . . . . .	-
Литература . . . . .	157
Приложение 1. Описание основных разрезов нижнекаменноугольных отложений Сибирской платформы . . . . .	165
Долина р. Брус (О.В. Бааг, Т.А. Дивина) . . . . .	-
Долина р. Фокина (Т.А. Дивина, Р.Г. Матухин) . . . . .	170
Восточно-Пясинская площадь (Р.Г. Матухин) . . . . .	172
Долина р. Курейки (О.В. Бааг, Т.А. Дивина) . . . . .	173
Междуречье Нижней и Подкаменной Тунгуски (О.В. Бааг) . . . . .	179
Нижнекаменноугольные отложения Кютюнгдинского грабена (О.В. Бааг, М.И. Грайзер) . . . . .	183
Кета-Ибринская площадь (Т.А. Дивина, Р.Г. Матухин) . . . . .	190
Западно-Пясинская площадь (Т.А. Дивина, Р.Г. Матухин) . . . . .	192
Станция Тундра, скв. С-12 (Р.Г. Матухин, О.И. Богуш, О.В. Юферев) . . . . .	195
Приложение 2. Фототаблицы . . . . .	196

В СИБИРСКОМ ОТДЕЛЕНИИ

ИЗДАТЕЛЬСТВА "НАУКА"  
ГОТОВЯТСЯ К ВЫПУСКУ СЛЕДУЮЩИЕ КНИГИ:

Четвертичное оледенение Западной Сибири и других областей северного полушария

Среда и жизнь в геологическом прошлом. Палеоландшафты и биофации

Палеозой Западно-Сибирской низменности и ее горного обрамления

Палинология кайнозоя Якутии

Книги высылаются наложенным платежом.

Заказы направляйте по адресу:

630090, Новосибирск, 90, Морской проспект, 22.

Магазин "Наука".

ИБ № 10442

Сдано в набор 08.06.78. Подписано в печать 16.10.80.  
МН - 05068 Формат 70x100/16. Бумага типографская № 2.  
Офсетная печать. Усл. печ. л. 16,9+1,3 на мел. бумаге + 1 вкл.  
Заказ № 322 Тираж 750 экз. Цена Зр 30 к  
Уч.-изд. ч. 19,6.

Издательство "Наука", Сибирское отделение. 630099. Новосибирск, 99,  
Советская, 18.

4-я типография издательства "Наука", 630077, Новосибирск, 77, Станиславского, 25.

Для получения книг почтой  
заказы просим направлять по адресу:

- 480091 Алма-Ата, ул. Фурманова, 91/97  
370005 Баку, ул. Джапаридзе, 13  
320005 Днепропетровск, проспект Гагарина, 24  
734001 Душанбе, проспект Ленина, 95  
335009 Ереван, ул. Туманяна, 31  
664033 Иркутск, ул. Лермонтова, 289  
252030 Киев, ул. Ленина, 42  
252030 Киев, ул. Пирогова, 2  
252142 Киев, проспект Вернадского, 79  
252030 Киев, ул. Пирогова, 4  
277001 Кишинев, ул. Пирогова, 28  
343900 Краматорск, Донецкой обл., ул. Марата, 1  
660049 Красноярск, проспект Мира, 84  
443002 Куйбышев, проспект Ленина, 2  
192104 Ленинград, д=120, Литейный проспект, 57  
199164 Ленинград, Таможенный пер., 2  
196034 Ленинград, В/О, 9 линия, 16  
220012 Минск, Ленинский проспект, 72  
103009 Москва, ул. Горького, 8  
117312 Москва, ул. Вавилова, 55/7  
630076 Новосибирск, Красный проспект, 51  
630090 Новосибирск, Академгородок, Морской проспект, 22  
142292 Пущино Московской обл., 4 "Академкнига"  
620151 Свердловск, ул. Мамина-Сибиряка, 137  
700029 Ташкент, ул. Ленина, 73  
700100 Ташкент, ул. Шота Руставели, 43  
700187 Ташкент, ул. Дружбы народов, 6  
634050 Томск, наб. реки Ушайки, 18  
450059 Уфа, ул. Зорге, 10  
450025 Уфа, ул. Коммунистическая, 49  
720001 Фрунзе, бульвар Дзержинского, 42  
310003 Харьков, ул. Чернышевского, 87